

# الهندسة الإقليدية المتقدمة

تأليف

ألفرد إس. بوسمنتير

ترجمة

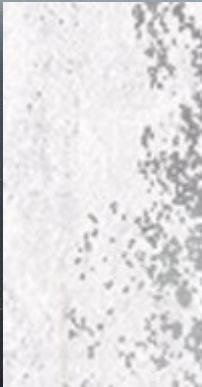
د. عبدالله بن محمد الجوعري



جامعة الملك سعود  
النشر العلمي والمطابع







[www.ksu.edu.sa](http://www.ksu.edu.sa)

ISBN 9786035070355



9 786035 070355

ردمك  
35-5









# الهندسة الإقليدية المتقدمة

تأليف

ألفرد إس. بوسمستير

أستاذ تعليم الرياضيات بجامعة سيتي بنيويورك

ترجمة

د. عبد الله بن محمد الجوعي

الأستاذ المشارك بقسم الرياضيات بكلية المعلمين

جامعة الملك سعود

النشر العلمي والمطابع - جامعة الملك سعود

ص.ب ٦٨٩٥٣ - الرياض ١١٥٣٧ - المملكة العربية السعودية





ح جامعة الملك سعود، ١٤٣٣هـ (٢٠١٢م)

هذه ترجمة عربية مصرح بها من قبل مركز الترجمة بالجامعة لكتاب:

Advanced Euclidean Geometry

By Alfred S. Posamentier

© Key college publishing, 2002

فهرسة مكتبة الملك فهد الوطنية أثناء النشر

إس ، بوسمنتير، الفرد

الهندسة الإقليدية المتقدمة . / ألفرد إس. بوسمنتير ؛ عبدالله بن محمد الجوعي

- الرياض ، ١٤٣٣هـ

٣٩٤ ص؛ ١٧ سم × ٢٤ سم

ردمك : ٥-٥٣٥-٠٧-٥٠٧-٦٠٣-٩٧٨

١- الهندسة ٢- الرياضيات التطبيقية الجوعي، عبدالله محمد (مترجم)

أ- العنوان

١٤٣٣/٦١٢٠

ديوي ، ٥١٦

رقم الإيداع : ١٤٣٣/٦١٢٠

ردمك : ٥-٥٣٥-٠٧-٥٠٧-٦٠٣-٩٧٨

حكمت هذا الكتاب لجنة متخصصة، وقد وافق المجلس العلمي على نشره في اجتماعه

التاسع عشر للعام الدراسي ١٤٣٢/١٤٣٣هـ، المعقود بتاريخ ٢٢/٦/١٤٣٣هـ،

الموافق ١٣/٥/٢٠١٢م

النشر العلمي والمطابع ١٤٣٣هـ



## مقدمة المترجم

تعد الهندسة الإقليدية من أقدم فروع الرياضيات وأغزرها أفكاراً ومفاهيم، وتتسم بالمرونة والتنوع حتى تجاوزت الطرائق المختلفة لبرهنة حقيقة واحدة، مثل نظرية فيثاغورس ثلاثمائة طريقة مختلفة. كما تستخدم الهندسة الإقليدية معظم الفروع الأخرى للرياضيات كالمنطق والجبر وحساب المثلث وغيرها.

ورغم أهمية وقدم هذا الفرع من الرياضيات إلا أن كثيراً من الدول تقتصر في دراسته على المرحلة الثانوية، ولا تعطي أي مقرر في جامعاتها في الهندسة الإقليدية المتقدمة، ولم تكن المملكة العربية السعودية بمعزل عن هذا التوجه، فلا تكاد تجد مقرراً جامعياً يعنى بهذا الفن؛ وكنتيجة لذلك فقد أصبحت الكتب العربية في الهندسة الإقليدية شحيحة جداً، وظلت نظريات ومفاهيم جميلة حبيسة الكتب الأجنبية كنظرية شيففا، ونظرية ميכול، ونظرية ستيوارت، وخط سيمسون، ودائرة النقاط التسع ونحوها. وقد عزز من أهمية هذا الموضوع كونه حقلاً من حقول أربعة معتمدة في مادة الأولياد الدولي للرياضيات، والذي تكون أسئلته - عادة - غاية في الصعوبة.

لقد وقع الاختيار على كتاب " الهندسة الإقليدية المتقدمة لمؤلفه " ألفرد بو سمنتير" للترجمة إلى العربية لعدة عوامل، منها سلاسة الكتاب وأسلوبه الجميل،



ومنها شموله للموضوعات المتقدمة وعرضه إياها بطريقة متدرجة ، كما أن الكتاب أساساً تم تأليفه لمعلمي وطلاب المرحلة الثانوية ، فهو ينطلق من أساسيات وخلفية تلك المرحلة ويعطي مزيداً من التفاصيل والنتائج. هذا بالإضافة إلى كونه يعتمد آليات بناء وإنشاء الأشكال الهندسية مستخدماً المسلمات والنتائج السابقة. ومما يتميز به هذا الكتاب ربطه هندسة إقليدس بفروع الرياضيات الأخرى ، كما فعل المؤلف في الفصل الحادي عشر.

لقد قمت بتصحيح بعض الأخطاء المطبعية والحسابية مثل منطوق وبرهان نظرية 11-12. وأشار هنا إلى أن الكتاب الأصيل تم رسم كافة أشكاله باستخدام برنامج Geomete's Sketchpad لتكون أشكالاً تفاعلية تتم دراستها بالاستعانة بـ CD مرفق بالنسخة الإنجليزية ، وهو ما لا يتوافر في هذه الترجمة العربية. ولذا ، فكل ما ورد ذكر الـ CD في ثنايا هذه الترجمة فيقصد به الكتاب الأصيل دون هذه الترجمة.

وأود أن أقدم شكري العميق لسعادة الأستاذ / طارق سلامة صابر الذي راجع مسودة هذه الترجمة وساعد كثيراً في تلافي الأخطاء والسقطات حتى جاءت الترجمة بصورة مقبولة. كما أتقدم بالشكر لسعادة الأستاذ / صفوت الطناني الذي راجع المسودة النهائية لهذه الترجمة.

أعتقد أن هذا الكتاب مناسب لبناء قاعدة صلبة في الهندسة الإقليدية تهيئ القارئ لمواجهة مسائل غير تقليدية في الهندسة الإقليدية ، كما تهيئه لقراءة مزيد من المفاهيم المتقدمة في هذا المضمار.

## مقدمة المؤلف

إلى القرن التاسع عشر، كان يُعتقد أن النتائج المهمة حول هندسة المثلث والدائرة قد تم اكتشافها بواسطة إقليدس والسابقين له. وفي القرن التاسع عشر، ظهرت نتائج غزيرة عممت النتائج السابقة وأضافت لها عدة علاقات مهمة تم اكتشافها، أضفت الحياة من جديد على الهندسة الإقليدية. هذا الكتاب يقدم خطوطاً عريضةً للجديد في هذا المجال بطريقة مشوقة. باختصار، هذا الكتاب صُمم ليعطي نظرة شمولية للهندسة الإقليدية من أجل بناء وتعزيز خلفية معلم المرحلة الثانوية.

خلال القرون الثلاثة الماضية، تم كتابة الكثير من الكتب المنهجية لإظهار "عناصر" إقليدس للمشهد المدرسي. أكثر تلك الكتب إشراقاً كتاب "عناصر إقليدس" (Elements of Euclid) الذي ظهر أولاً عام ١٧٥٦م لمؤلفه روبرت سيمسون Robert Simson وكتاب أدرين لجندر Adrien Legendre (( عناصر الهندسة )) الذي طبع بالفرنسية عام ١٧٩٤م وتمت مراجعته وترجمته إلى الإنجليزية عام ١٨٢٨م بواسطة الأستاذ الجامعي تشارلز ديفيز Charles Davies. كتاب ديفيز ( لجندر ) المترجم أصبح يستخدم بشكل واسع ككتاب مقرر في الولايات المتحدة الأمريكية خلال القرن التاسع عشر، ولعل له الأثر الأكبر في صياغة كتب الهندسة المدرسية اليوم.



هندسة لجندر لم تذكر النظريات بصيغة عامة، إنما استعانت بالأشكال لتوضيح النظريات المختلفة. هذا التحول من هندسة إقليدس تم تصحيحه بواسطة ديفيز، حيث أعطى نظريات عامة متنوعة بشروحات مدعمة بأشكال. هذا الكتاب يستخدم تلك الآليات بالتناوب حسب مقتضى الحال.

دراستنا للهندسة - الهندسة الإقليدية المتقدمة - تبدأ من حيث انتهى مستوى منهج المرحلة الثانوية. ولكن لا يحاول هذا الكتاب استقصاء الدراسة لجميع مفاهيم تلك الموضوعات المتقدمة، وهو أمر مستحيل في كتاب صغير بهذا الحجم، وبدلاً من ذلك سنركز اهتمامنا على موضوعات تهتم من أتقن موضوعات المرحلة الثانوية ولديه رغبة في الاستزادة، وحتماً سيلامس الجمال الكامن في دراسة الهندسة الإقليدية المتقدمة.

إحدى المزايا الفريدة لهذا الكتاب تضمين أشكال هندسية تفاعلية موجودة في قرص صلب CD-ROM تستخدم برنامج Geometer's Sketchpad. غالباً، تُقدم الهندسة بطريقة ثابتة ولا يُعرض فيها المفهوم كما ينبغي. والقارئ مدعو إلى الاطلاع على الأشكال عبر القرص الصلب المرفق وتحريك الأشكال بطرق مختلفة وملاحظة ما يحدث.

لفهم وتدریس أي موضوع هنا بطريقة جيدة، يجب الإلمام بأكثر مما يعطى في التدريس. المادة المقدمة هنا تم اختبارها وتقويمها عبر خمس وعشرين سنة من الاستخدام بواسطة عدد هائل من معلمي المرحلة الثانوية في جامعة سيتي في نيويورك استقبلت خلالها عدة اقتراحات قيمة ظهر أثرها بين دفتي هذا الكتاب.

الدعم الفني لهذا الكتاب قامت به كوكبة من المختصين أشكرهم بعمق، وقد أعدوا برنامج Geometer's Sketchpad الذي رسم الأشكال، الثابت منها والتفاعلي

بطريقة خلاصة. وأقدم شكراً خاصاً لـ Jan Siwanowic . كما أشكر David Linker الذي قرأ وراجع مسودة الكتاب كاملة. وفي إطار تطوير دليل المعلم، أشكر مجموعة من الطلاب الموهوبين الذين كانت لهم حلول غير تقليدية لبعض مسائل الكتاب تم إدراجها في دليل المعلم، ومن هؤلاء الطلاب Leo ، Seth Kleinerman ، Kamaldeep Gandhi ،

Jan Siwanowic ، Peter Ruse ، Oana Pascu ، Nguyen

الطبعة الأولى للكتاب تمت بشكل رائع بواسطة Sandra Finken . وبشكل عام، فإنني أشكر مئات الطلاب (وهم معلمون ميدانيون) الذين استخدموا جزءاً من هذا الكتاب خلال الأعوام القليلة المنصرمة وأثروا مادته بملاحظاتهم وتعليقاتهم. هذه الملاحظات جعلتني يقظاً لما أكتب طوال الوقت.

ألفرد بوسمنتير



## مدخل

هذا الكتاب يعالج موضوعات هندسية أعلى في مستواها من الموضوعات المدرجة تحت مواد الصفوف العليا في التعليم العام، ولكن هذه المعالجة تتم باستخدام طرق ونظريات أولية. لهذا السبب؛ فقد يكون هذا الكتاب سهل الفهم بالنسبة لطلاب الصفوف العليا المتميزين في هذا المجال. مع العلم أن المستهدف من هذا الكتاب بالدرجة الأولى هم معلمو الرياضيات للصفوف العليا.

إن استخدام لغة رياضية مألوفة في هذا الكتاب يعني أن القارئ لا يحتاج إلى معرفة مفاهيم ونظريات جديدة، وذلك لأن ما في الكتاب عبارة عن استخدامات جديدة لمفاهيم أولية، كما أن الكتاب أيضا يتضمن أفكاراً غنية ستساعد معلمي الصفوف العليا في تطوير برنامجهم التعليمي.

الفصل الأول من هذا الكتاب يتحدث عن أسس الهندسة المعروفة في مواد الصفوف العليا، وقد تضمن بعض التمارين من نمط مختلف والتي هي عبارة عن حقائق تصاغ بطريقة معينة لتنتج نتائج خاطئة، والمقصود من هذه التمارين هو اكتشاف الأخطاء من خلالها، والذي يتطلب مهارات تفكير عليا.

الفصلان الثاني والثالث يدوران حول محور واحد يشمل موضوعات التقاء المستقيمات في نقطة مشتركة، ووجود النقاط على استقامة واحدة. وهي الموضوعات التي لم تلق مزيد عناية في مواد الصفوف العليا في التعليم العام. وقد برهنت بعض النظريات خلال هذين الفصلين (والتي من الصعوبة برهنتها خلال الحصص الدراسية) بطرق بسيطة. وقد تم استخدام الرسوم الهندسية كتأكيد لصحة هذه النظريات، كما أنها استخدمت أيضا لتعطي تصورا مباشرا عن المفاهيم بحيث يستطيع القارئ من خلالها أن يفترض بعض الحالات ويعالجها. سنتمكن من تطوير بعض النظريات الرياضية من خلال استخدام معرفتنا بحالات التقاء المستقيمات في نقطة مشتركة وحالات وجود أكثر من نقطتين على استقامة واحدة، كما سيعرض في هذا الفصل.

سيكون التركيز على المثلثات خلال الفصلين الرابع والخامس. الفصل الرابع سيتناول الحديث عن بعض النقاط المثلثية الخاصة غير المألوفة. وفي الفصل الخامس سيكون التركيز على القطع المستقيمة داخل المثلث (والتي يشار لها غالبا بقطع شيفا)، ومن هذه القطع: منصفات الزوايا، والمتوسطات، كما أن هناك عددا من الحقائق المثلثية الجديدة عرضت خلال هذين الفصلين.

معلوم أن تناول الرباعيات الدائرية في الصفوف العليا يقتصر على الرباعيات الخاصة كالمربع والمعين والمستطيل ومتوازي الأضلاع وشبه المنحرف. سيكون الطرح في الفصل السادس من الكتاب مفترضا أن القارئ له معرفة بخصائص هذه الرباعيات. سيبدأ الفصل بمعالجة الرباعي المحذب بشكل عام وسينتهي بتناول الرباعيات الدائرية، وباستخدام نظرية بطليموس سنستنتج العديد من العلاقات الهندسية المفيدة.

في الصفوف العليا في التعليم العام، تتم دراسة الدائرتين الداخلية والخارجية للمثلث كجزء من مادة الهندسة المقررة. وكما هو معلوم أن الدائرة الداخلية تمس

الأضلاع الثلاثة، من المحتمل أن تفترض دائرة أخرى خارج المثلث تمس أحد أضلاعه بالإضافة إلى امتداد الضلعين الآخرين، وبالتالي يكون للمثلث ثلاث دوائر من هذا النمط. إن هذه الدوائر الثلاث بالإضافة إلى الدائرة الداخلية هي محور الدراسة في الفصل السابع، حيث سيتم خلاله اكتشاف عددٍ من العلاقات المفيدة التي تربط هذه الدوائر معا.

من الموضوعات المشهورة في الهندسة الإقليدية المتقدمة، والتي تتضمن عددا من الخصائص المدهشة دائرة النقاط التسع. في الفصل الثامن، سنتناول من محور آخر الحديث عن خصائص ارتفاعات المثلث بالإضافة إلى المثلث المتشكل منها، والذي سيسمح لنا بتطوير بعض الخصائص المتعلقة بدائرة النقاط التسع.

من المسائل الأكثر تحديا في الهندسة، المسائل المتعلقة بكيفية إنشاء مثلث محدد بمجرد معرفة ثلاثة أجزاء منه، كمعرفة أطوال المتوسطات، أو معرفة أطوال الارتفاعات، أو معرفة قياس زاويتين بالإضافة إلى الضلع المشترك بينهما. في الفصل التاسع، سيتم عرض عدد من المسائل المتعلقة بالإنشاءات والتي لا تتطلب معرفة نظرية أكثر مما هو موجود في مادة الهندسة للصفوف العليا. المسائل الإنشائية تعد من المسائل الأكثر تحديا في الهندسة الإقليدية، وهي أيضا تتضمن بعض المسائل التي تتحدى عباقرة الهندسة.

المسألة المعروفة بمسألة "أبولونيوس" كانت قد شغلت أجيالا من الرياضيين على مدار التاريخ. في الفصل العاشر، سيتم عرض عددٍ من التطبيقات المتعلقة بإنشاءات الدوائر، والتي تتطلب عددا من الحالات غير العشوائية، كأن تمر الدائرة بنقطة ثابتة، أو أن تمس مستقيما معلوما، أو أن تمس دائرة معينة. هذه الإنشاءات قد تبدو بسيطة في بعض الحالات، ولكنها في حالات أخرى تبدو أكثر تحديا، وهي - كما هو معلوم - محط تركيز الرياضيين في القرنين السابع عشر والثامن عشر.



الهدف من الفصل الأخير يكمن في إيضاح العلاقة بين الهندسة الإقليدية وبين فروع أخرى من الرياضيات. وهذا الفصل يتضمن أعداد فيبوناتشي والنسبة الذهبية ويلقي الضوء على تلك العلاقة. هذا الفصل - بكل تفاصيله - يمس طرفاً من موضوع غني جداً في الرياضيات، وأما الجزء الأخير منه وهو جزء التمارين المكثفة فيُعدّ بداية طريق لاستنتاجات أكثر وأكثر.

## نبذة عن المؤلف

ألفرد بوسمستير، الأستاذ الجامعي في تعليم الرياضيات، عميد كلية التربية في كلية سيتي الجامعية في نيويورك. كما أنه مؤلف ومؤلف مشارك في العديد من كتب الرياضيات للمدرسين في الخدمة ومدرسي المستقبل ولطلاب المدارس الثانوية. تركز منشوراته على تدريس الرياضيات وحل المسائل وتطوير الموضوعات في الهندسة الإقليدية المتقدمة. هذا الكتاب ثمرة العديد من سنوات الخبرة في العمل مع مدرسي الصفوف العليا لإثراء تدريسهم الهندسي.

حصل الدكتور بوسمستير على الدكتوراه في تعليم الرياضيات من جامعة فورد هام بعد ست سنوات من تدريس الصفوف العليا والتحق الدكتور بوسمستير بهيئة التدريس في كلية سيتي، وبعد ذلك بوقت بدأ بتطوير المقررات لمعلمي الرياضيات في المدارس الثانوية. حالياً يشارك الدكتور في العمل مع مجموعة من مدرسي الرياضيات، سواء في الولايات المتحدة أو دولياً؛ ليساعدهم في فهم أفضل الأفكار المقدمة في هذا الكتاب بحيث يمكنهم دمج الأفكار بشكل مريح في برنامجهم التعليمي العادي. كما أنه زميل فخري لدى جامعة ساوث بانك في لندن في إنجلترا. ولقد كان أستاذاً جامعياً في جامعة فينّا، كما كان أستاذاً زائراً لمجموعة من الجامعات الأوروبية منها جامعة فينّا التقنية وجامعة همبولت في برلين.

عرف الدكتور بوسمثير بتدريسه المتميز ، سواء في أوروبا أو الولايات المتحدة. لقد حصل على لقب معلم العام سنة ١٩٩٣ من قبل رابطة خريجي كلية سيتي. كما منح وسام الشرف الكبير عام ١٩٩٧ من مدينة فينا (النمسا). كما حصل مؤخراً على لقب الأستاذ الجامعي للجامعات النمساوية ١٩٩٩.

بعد أكثر من اثنين وثلاثين عاماً على كلية (CCNY)، لا يزال الدكتور يتمتع بالحماس والطاقة المتزايدة لقسم الرياضيات وتعليم الرياضيات. وبشكل خاص، يمكن الشعور بمدى حبه للهندسة في صفحات هذا الكتاب. وبالنظر إلى بعض الموضوعات، فإنها كثيراً ما تهمل أو تدفع بعيداً عن الأضواء من أجل عدد أكبر من الموضوعات (الجذابة). كما يأمل في إعادة هذه المادة العريقة إلى الواجهة بمساعدة أحدث التقنيات.

## المحتويات

هـ.....	مقدمة المترجم
ز.....	مقدمة المؤلف
ك.....	مدخل
س.....	نبذة عن المؤلف
١.....	الفصل الأول: مراجعة أساسيات الهندسة الإقليدية
١.....	لنسترجع بعض أساسيات ومفاهيم الهندسة الإقليدية
١٨.....	لتتعلم من المغالطات الهندسية
٣٠.....	التسميات الشائعة
٣٢.....	تدريبات
٣٩.....	الفصل الثاني: تلاقي المستقيمات في مثلث
٣٩.....	مقدمة
٤٢.....	نظرية شيفا
٤٩.....	تطبيقات على نظرية شيفا
٥٦.....	نقطة جيرجون
٥٨.....	تدريبات

٦٥	الفصل الثالث: نقاط على استقامة واحدة
٦٥	الثنوية
٦٧	نظرية منيلوس
٧٢	تطبيقات على نظرية منيلوس
٧٨	نظرية ديزارغ
٨٤	نظرية باسكال
٨٩	نظرية برايشون
٩٢	نظرية بابوس
٩٥	خط سميسون
١٠٥	المحاور الأساسية
١١٤	تدريبات
١١٩	الفصل الرابع: نقاط متماثلة في المثلث
١١٩	مقدمة
١٢٠	نقطة تساوي الزوايا
١٢٥	من خصائص المثلثات المتطابقة الأضلاع
١٢٨	نقطة المسافة الصغرى
١٣٢	تدريبات
١٣٥	الفصل الخامس: المزيد من خصائص المثلثات
١٣٥	مقدمة
١٣٥	منصفات الزوايا
١٤٨	نظرية ستيوارت

١٥٦	..... نظرية مايكل
١٦٣	..... المتوسطات
١٧٧	..... تدريبات
١٨١	..... الفصل السادس : الأشكال الرباعية
١٨٤	..... مراكز الشكل الرباعي
١٩٠	..... الأشكال الرباعية الدائرية
١٩٧	..... نظرية بطليموس
٢٠٣	..... تطبيقات على نظرية بطليموس
٢١٥	..... تدريبات
٢١٩	..... الفصل السابع : الدائرة الداخلية والدوائر الخارجية للمثلث
٢١٩	..... نقاط التماس
٢٢٦	..... أنصاف أقطار الدوائر الأربع للمثلث
٢٣٥	..... تدريبات
٢٣٩	..... الفصل الثامن : دائرة النقاط التسع
٢٣٩	..... نبذة حول دائرة النقاط التسع
٢٤٧	..... ارتفاعات المثلث
٢٥٦	..... دائرة النقاط التسع - مرة أخرى
٢٦٠	..... تدريبات
٢٦٣	..... الفصل التاسع : إنشاءات المثلث
٢٦٣	..... مقدمة
٢٧٥	..... بعض الإنشاءات المختارة للمثلث
٣٠٢	..... تدريبات



٣٠٥	الفصل العاشر: إنشاءات الدائرة
٣٠٥	مقدمة
٣٠٥	مسألة أبولتيوس
٣٢٠	تدريبات
٣٢٧	الفصل الحادي عشر: النسبة الذهبية وأعداد فيوناتشي
٣٢٧	النسبة الذهبية
٣٣٣	أعداد فيوناتشي
٣٤٤	أعداد لوكاس
٣٥٠	أعداد فيوناتشي وأعداد لوكاس في الهندسة
٣٥٦	المستطيل الذهبي - مرة أخرى
٣٦٣	المثلث الذهبي
٣٦٧	تدريبات
٣٧٧	ثبت المصطلحات
٣٧٧	أولاً: عربي - إنجليزي
٣٨٥	ثانياً: إنجليزي - عربي
٣٩٣	كشاف الموضوعات

## مراجعة أساسيات الهندسة الإقليدية

لنسترجع بعض أساسيات ومفاهيم الهندسة الإقليدية

يحتوي مقرر الهندسة الإقليدية للمرحلة الثانوية على الكثير من النظريات التي ليس من السهولة تذكرها، لذلك كان علينا أن نلقي نظرة وجيزة على هذه النظريات - مع العلم أنه إذا كانت هذه النظريات تقابلك للمرة الأولى، فإن ذلك سيكون أكثر صعوبة - وقد قسمنا هذه النظريات وفقاً للموضوعات التي ليس من الضروري أن تكون ضمن سلسلة الموضوعات المقدمة أصلاً، ولكننا نقدمها نظراً لأهميتها في شكل واضح ووجيز.

### I- الأشكال الرباعية *Quadrilaterals*

A : طرق إثبات أن الشكل الرباعي متوازي أضلاع

لإثبات أن الشكل الرباعي متوازي أضلاع عليك أن تسلك إحدى هذه الطرق :

1. إثبات أن كل ضلعين متقابلين متوازيان .
2. إثبات أن كل ضلعين متقابلين متطابقان .

3. إثبات أن ضلعين متقابلين متطابقان ومتوازيان .
4. إثبات أن كل زاويتين متقابلتين متطابقتان .
5. إثبات أن زاويتين متقابلتين متطابقتان وضلعين متقابلين متوازيان .
6. إثبات أن القطرين ينصف كل منهما الآخر .

*B* : طرق إثبات أن الشكل الرباعي مستطيل

لإثبات أن الشكل الرباعي مستطيل ، عليك أن تسلك إحدى هذه الطرق :

1. إثبات أن كل زاوية من زواياه الأربعة قائمة .
2. إثبات أن الشكل متوازي أضلاع ، وأنه يحوي زاوية واحدة قائمة .
3. إثبات أن الشكل متوازي أضلاع ، وأن قطريه متطابقان .

*C* : طرق إثبات أن الشكل الرباعي معين

لثبت أن الشكل الرباعي معين ، عليك أن تسلك إحدى هذه الطرق :

1. إثبات أن أضلاعه الأربعة متطابقة .
2. إثبات أن الشكل متوازي أضلاع به ضلعان متتاليان متطابقان .
3. إثبات أن الشكل متوازي أضلاع وأن قطريه ينصفان زوايا رؤوسه .
4. إثبات أن الشكل متوازي أضلاع وأن قطريه متعامدان .

*D* : طرق إثبات أن الشكل الرباعي مربع

لثبت أن الشكل الرباعي مربع ، عليك أن تسلك إحدى هذه الطرق :

1. إثبات أن الشكل مستطيل به ضلعان متتاليان متطابقان .
2. إثبات أن الشكل مستطيل وأن قطريه ينصفان زوايا رؤوسه .
3. إثبات أن الشكل مستطيل وأن قطريه متعامدان .
4. إثبات أن الشكل معين يحوي زاوية واحدة قائمة .

5. إثبات أن الشكل معين وأن قطريه متطابقان .

*E* : طرق إثبات أن شبه المنحرف متطابق الساقين .

ولتثبت أن شبه المنحرف متطابق الساقين ، عليك أن تسلك إحدى هذه الطرق :

1. إثبات أن الضلعين غير المتوازيين متطابقان.

2. إثبات أن زاويتي القاعدة متطابقتان .

3. إثبات أن كل زاويتين متقابلتين متكاملتان .

4. إثبات أن قطري شبه المنحرف متطابقان .

ملاحظة : نستطيع تعريف شبه المنحرف على أنه شكل رباعي له بالضبط ضلعان متقابلان متوازيان.

### II – خط منتصف للمثلث *Midline of a Triangle*

A. القطعة الواصلة بين منتصفي ضلعين في مثلث هو خط منتصف للمثلث.

B. كل خط منتصف للمثلث مار بضلعين يوازي الضلع الثالث.

C. طول أي خط منتصف للمثلث مار بضلعين يساوي نصف طول الضلع الثالث.

D. الخط المرسوم من منتصف أحد أضلاع مثلث موازياً لضلعاً آخر ينصف الضلع الثالث للمثلث.

### III – التشابه *Similarity*

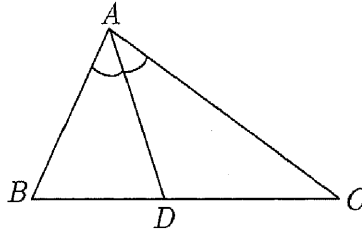
A : إذا كان لدينا خط يوازي أحد أضلاع مثلث

1. إذا كان هناك مستقيم يوازي أحد أضلاع مثلث ويقطع الضلعين الآخرين ، فإنه يقسمهما إلى قطع أطوالها متناسبة .
2. إذا قطع مستقيم ضلعي مثلث وقسمهما إلى قطع أطوالها متناسبة ، فإن هذا القاطع يوازي الضلع الثالث في المثلث .

$B$  : تناسب يتضمن منتصف الزاوية

1. منتصف الزاوية الداخلية لأي مثلث يقسم الضلع المقابل لهذه الزاوية إلى جزأين النسبة بين طوليهما تساوي النسبة بين طولي ضلعي الزاوية .
- على (الشكل 1-1) ينصف  $AD$  الزاوية  $A$  في  $\Delta ABC$ .

$$\frac{CD}{DB} = \frac{CA}{AB}$$

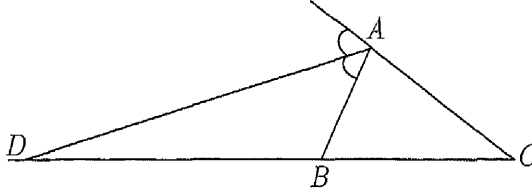


شكل 1-1

2. عندما يلاقي منتصف الزاوية الخارجية امتداد الضلع المقابل لتلك الزاوية في نقطة ، فإن بعد تلك النقطة عن كل من الرأسين الآخرين

للمثلث تتناسبان مع طولي ضلعي الزاوية. في الشكل ( 2 - 1 ) ،  $\overline{AD}$  ينصف الزاوية  $A$  من الخارج في  $\Delta ABC$ .

$$\frac{CD}{DB} = \frac{CA}{AB}$$



شكل 2 - 1

$C$  : طرق إثبات أن المثلثين متشابهان

1. إذا شابه مثلثان مثلثاً ثالثاً، فإن المثلثات الثلاثة تتشابه .
2. يتشابه المثلثان إذا تطابقت زاويتان من أحدهما نظيرتيهما من المثلث الآخر.
3. يتشابه المثلثان إذا تناسب طولاً ضلعين من أحدهما نظيريهما من المثلث الآخر، وتطابقت الزاويتان المحصورتان بين هذين الضلعين في كل من المثلثين .
4. يتشابه المثلثان إذا تناسبت أطوال أضلاعهما المتناظرة.

$D$  : المتوسط المناسب في المثلث القائم

1. الارتفاع على الوتر من الزاوية القائمة في المثلث القائم الزاوية والذي يقسم الوتر إلى جزأين يجعل طول أحد ضلعي القائمة متوسطاً متناسباً بين طول الوتر وطول الجزء المجاور من الوتر لضلع القائمة المذكور.



2. الارتفاع على الوتر في المثلث القائم الزاوية يكون متوسطاً متناسباً بين طولي قطعتي الوتر المستقيمتين الناتجتين من تقاطع الارتفاع والوتر.

#### IV- نظرية فيثاغورس Pythagorean Theorem

- A : مجموع مربعي طولي ضلعي القائمة في مثلث قائم يساوي مربع طول الوتر.  
 B : ( عكس نظرية فيثاغورس ) إذا كان مجموع مربعي طولي ضلعين في مثلث يساوي مربع طول الضلع الثالث ، فإن الزاوية المقابلة لهذا الضلع تكون قائمة.

C : في المثلث المتطابق الضلعين والقائم الزاوية.

1. طول الوتر يساوي  $\sqrt{2}$  طول ضلع القائمة.

2. طول ضلع القائمة يساوي  $\frac{\sqrt{2}}{2}$  طول الوتر.

D : في المثلث الثلاثيني الستيني ( قياسات زواياه  $90^\circ - 60^\circ - 30^\circ$  ).

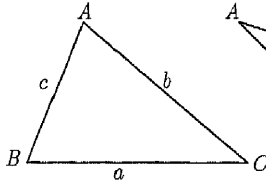
1. طول الضلع المقابل للزاوية التي قياسها  $30^\circ$  يساوي نصف طول الوتر.

2. طول الضلع المقابل للزاوية التي قياسها  $60^\circ$  يساوي  $\frac{\sqrt{3}}{2}$  طول الوتر.

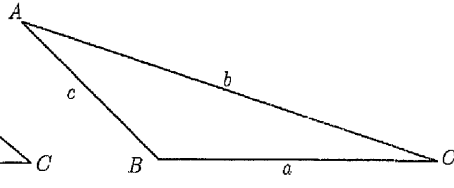
3. طول الوتر يساوي  $\frac{2\sqrt{3}}{3}$  طول الضلع المقابل للزاوية التي قياسها  $60^\circ$ .

4. طول ضلع القائمة الأكبر يساوي  $\sqrt{3}$  طول ضلع القائمة الأصغر

E : متباينات فيثاغورس



شكل 1-3



شكل 1-4

1. في أي مثلث حاد الزوايا ( شكل 1-3 ) مربع طول أي ضلع في المثلث أقل من مجموع مربعي طولي الضلعين الآخرين .

$$a^2 + b^2 > c^2$$

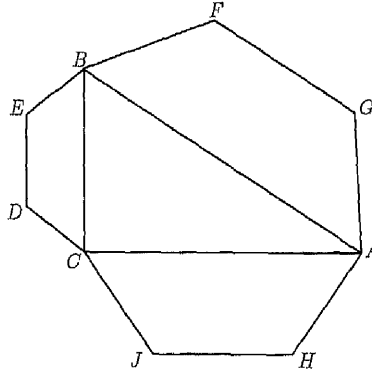
2. في أي مثلث منفرج الزاوية ( شكل 1-4 ) مربع طول الضلع الأطول أكبر من مجموع مربعي طولي الضلعين الآخرين .

$$a^2 + b^2 < c^2$$

$F$  : توسعة نظرية فيثاغورس

إذا أنشئت مضلعات متشابهة على أضلاع مثلث قائم الزاوية ( على أن يكون من ضمن الأضلاع المتناظرة للمضلعات أضلاع المثلث القائم الزاوية ) فإن مساحة المضلع المنشأ على الوتر تساوي مجموع مساحتي المضلعين المنشأين على الضلعين الآخرين للمثلث . ففي الشكل ( 1-5 ) :

$$\text{مساحة } ABFG = \text{مساحة } BCDE + \text{مساحة } ACJH$$



شكل 5 - 1

G : ثلاثيات فيثاغورس .

عندما :  $a^2 + b^2 = c^2$  ، ضع  $a = m^2 - n^2$  ،  $b = 2mn$  ،  $c = m^2 + n^2$  ،

حيث  $m > n$  لتحصل على ثلاثيات تعرف باسم ثلاثيات فيثاغورس.

بعض ثلاثيات فيثاغورس الأولية فيما بينها

$(3, 4, 5)$  ،  $(5, 12, 13)$  ،  $(7, 24, 25)$  ،  $(8, 15, 17)$

$(9, 40, 41)$  ،  $(11, 60, 61)$  ،  $(12, 35, 37)$  ،  $(20, 21, 29)$

لاحظ أنه من الممكن الحصول على عدد غير منته من ثلاثيات فيثاغورس

وذلك بضرب الأعداد الثلاثة في عدد طبيعي واحد .

#### V- علاقات الدائرة Circle Relations

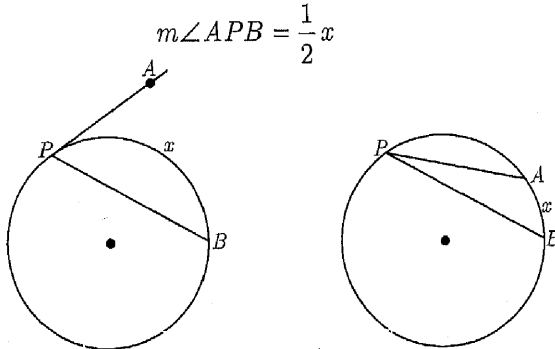
A . قياس الزاوية في حالاتها مع الدائرة

1. قياس الزاوية المحيطة يساوي نصف قياس القوس المقابل لها .

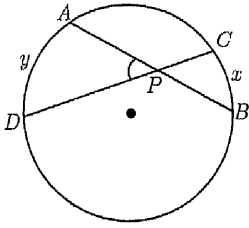
2. قياس الزاوية المحصورة بين مماس ووتر في الدائرة يساوي نصف قياس القوس المقابل للوتر من جهة الزاوية .
3. قياس الزاوية الناتجة من تقاطع وترين داخل دائرة يساوي نصف مجموع قياسي القوسين الذين أحدهما مقابل للزاوية والآخر مقابل للزاوية التي تقابلها بالرأس .
4. قياس الزاوية الناتجة من تقاطع قاطعين للدائرة في نقطة خارجها يساوي نصف الفرق بين قياسي القوسين المقابلين لهذه الزاوية .
5. قياس الزاوية الناتجة من تقاطع قاطع ومماس لدائرة في نقطة خارجها يساوي نصف الفرق بين قياسي القوسين المقابلين لهذه الزاوية .
6. قياس الزاوية الناتجة من تقاطع مماسين للدائرة يساوي نصف الفرق بين قياسي القوسين المقابلين لهذه الزاوية .
7. مجموع قياس الزاوية الناتجة من تقاطع مماسين والقوس الأصغر المقابل لها يساوي  $180^\circ$  .

وبطريقة بديلة نستطيع عرض النقاط السبع السابقة كما يلي :

1. إذا وقع رأس زاوية على محيط دائرة فإن قياس هذه الزاوية يساوي نصف قياس القوس المقابل لها ( شكل 1 - 6 ) .



شكل 1 - 6



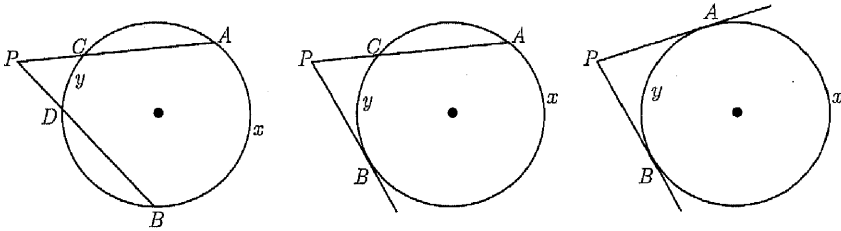
شكل 1-7

2. إذا وقع رأس زاوية داخل دائرة ( شكل 1-7 ) فإن قياس هذه الزاوية يساوي نصف مجموع قياسي القوسين المقابلين لها.

$$m\angle APD = \frac{1}{2}(x + y)$$

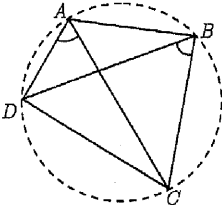
3. إذا وقع رأس زاوية خارج دائرة فإن قياس هذه الزاوية يساوي نصف الفرق بين قياسي القوسين المقابلين لها ( شكل 1-8 ).

$$m\angle APB = \frac{1}{2}(x - y)$$



شكل 1-8

B . طرق إثبات أن أربع نقاط تقع على محيط دائرة واحدة ( الرباعي الدائري هو شكل رباعي تقع رؤوسه الأربعة على دائرة واحدة ) .

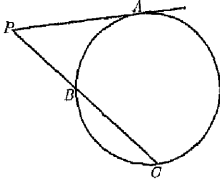


شكل 1-9

1. إذا قابل أحد أضلاع الرباعي زاويتين متطابقتين عند الرأسين الآخرين من الرباعي ، فإن الشكل الرباعي يكون دائرياً في شكل (1-9) ،  
ABCD دائري لأن

$$\angle DAC \cong \angle CBD$$

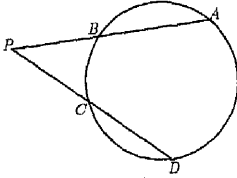
2. في أي شكل رباعي، إذا وجد زاويتان متقابلتان متكاملتان ( مجموع قياسيهما =  $180^\circ$  )، فإن الرباعي يكون دائرياً.  
 C. المماس ، القاطع ، الأوتار في الدائرة .



شكل 10 - 1

1. القطعتان المماستان لدائرة المرسومتان من نقطة خارجها متطابقتان.  
 2. إذا رسمنا من نقطة خارج دائرة قطعة مماسة وقاطع لها فإن مربع طول القطعة المماسية للدائرة يساوي حاصل ضرب طول القاطع، وطول الجزء الخارجي من القاطع ( شكل 10-1 ).

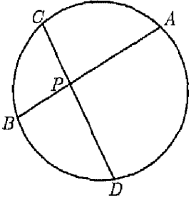
$$(AP)^2 = (PC)(PB)$$



شكل 11 - 1

3. إذا تقاطع قاطعتان لدائرة واحدة في نقطة خارجها، فإن حاصل ضرب طول القاطع الأول بطول الجزء الخارجي منه يساوي ضرب طول القاطع الآخر بطول الجزء الخارجي منه. ( شكل 11-1 ). أي أن  
 $(AP)(BP) = (DP)(CP)$





شكل 1-12

4. إذا تقاطع وتران في نقطة داخل دائرة، وقسمت نقطة التقاطع كل وتر إلى جزأين، فإن حاصل ضرب طولي جزئي الوتر الأول يساوي حاصل ضرب طولي جزئي الوتر الآخر (شكل 1-12).

$$(AP)(BP) = (DP)(CP)$$

#### VI- التقاطع في نقطة Concurrency

A : الأعمدة المنصفة لأضلاع مثلث تتقاطع جميعاً في نقطة واحدة هي مركز الدائرة الخارجية لهذا المثلث .

B : ارتفاعات المثلث *Altitudes* الثلاثة تتقاطع جميعاً في نقطة واحدة تسمى نقطة تقاطع الارتفاعات في المثلث *The Oorthocenter* .

C : متوسطات المثلث *Medians* الثلاثة تتقاطع في نقطة واحدة تقسم كل متوسط بنسبة 1:2 من جهة القاعدة ، وتسمى هذه النقطة مركز الثقل *The Centroid* .

D : منصفات زوايا المثلث تتقاطع جميعاً في نقطة واحدة هي مركز الدائرة الداخلية لهذا المثلث .

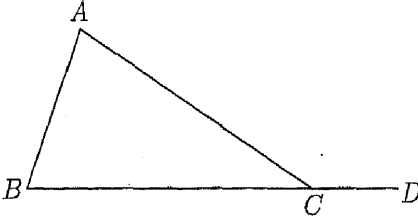
#### VII- المتباينات Inequalities

A : قياس الزاوية الخارجية للمثلث أكبر من قياس أي زاوية فيه عدا المجاورة

لها، في  $\triangle ABC$  الشكل 1-13.

$$m\angle ACD > m\angle A$$

$$m\angle ACD > m\angle B$$



شكل 1-13

$B$  : إذا اختلف طولاً ضلعين في مثلث،  
فأكبرهما في الطول تقابله زاوية أكبر في  
القياس.

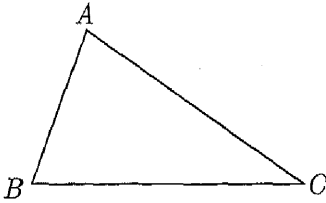
في  $\triangle ABC$  (الشكل 1-14):

$$AC > AB \Rightarrow m\angle B > m\angle C$$

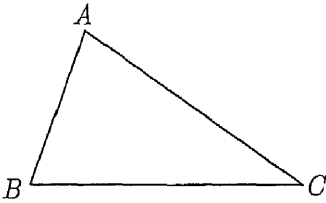
$C$  : إذا اختلف قياساً زاويتين في مثلث،  
فإن الزاوية الكبرى في القياس يقابلها  
ضلع أكبر في الطول.

في  $\triangle ABC$  (الشكل 1-15):

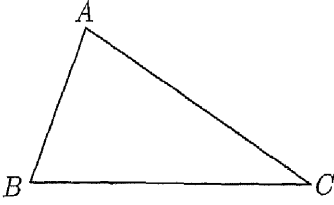
$$m\angle A > m\angle C \Rightarrow BC > AB$$



شكل 1-14



شكل 1-15



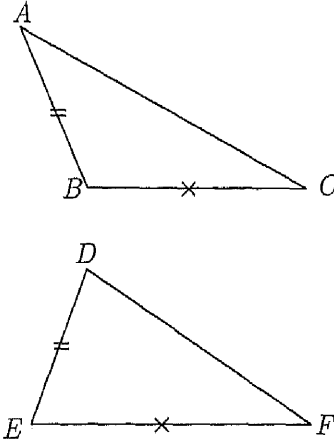
$D$ : مجموع طولي أي ضلعين في مثلث أكبر من طول الضلع الثالث. في  $\triangle ABC$  (الشكل 1-16)

$$AB + AC > BC$$

$$AB + BC > AC$$

$$AC + BC > AB$$

شكل 1-16



$E$ : إذا ساوى طولاً ضلعين في مثلث طولي ضلعين في مثلث آخر على الترتيب، وكان قياس الزاوية المحصورة بين الضلعين في المثلث الأول أكبر من قياس الزاوية المحصورة بين الضلعين في المثلث الآخر، فإن طول الضلع المقابل لهذه الزاوية في المثلث الأول يكون أكبر من طول الضلع المقابل للزاوية التي في المثلث الآخر.

شكل 1-17

في  $\triangle ABC, \triangle DEF$  (الشكل 1-17):

$$AB = DE, BC = EF, m\angle B > m\angle E$$

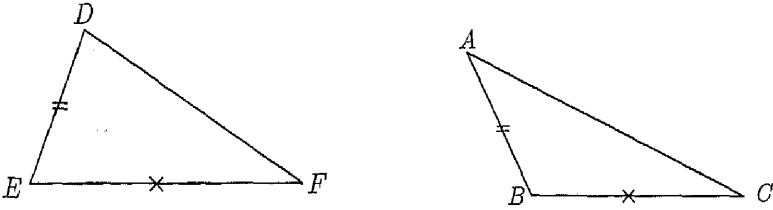
$$\Rightarrow AC > DF$$

$F$ : إذا ساوى طولاً ضلعين في مثلث طولي ضلعين في مثلث آخر على الترتيب، وكان طول الضلع الثالث المقابل للزاوية المحصورة بين هذين الضلعين في المثلث الأول

أكبر من طول الضلع الثالث في المثلث الآخر، فإن قياس الزاوية المقابلة لهذا الضلع في المثلث الأول يكون أكبر من قياس الزاوية المقابلة للضلع الثالث في المثلث الآخر.

في  $\triangle ABC, \triangle DEF$  (الشكل 1-18):

$$AB = DE, BC = EF, AC > DF \Rightarrow m\angle B > m\angle E$$



شكل 1-18

$G$ : في المثلث الحاد الزوايا، مربع طول أي ضلع من أضلاعه أقل من مجموع مربعي طولي الضلعين الآخرين.

$H$ : في المثلث المنفرج الزاوية، مربع طول أطول الأضلاع أكبر من مجموع مربعي طولي الضلعين الآخرين.

### VIII - المساحة Area

$A$ : مساحة المربع تساوي مربع طول ضلعه.

مساحة المربع  $= s^2$  حيث  $s$  طول الضلع.

$B$ : مساحة المربع تساوي نصف مربع أحد قطريه.

مساحة المربع  $= \frac{1}{2}d^2$  حيث  $d$  طول القطر.

$C$ : مساحة المثلث القائم الزاوية تساوي نصف حاصل ضرب ضلعي القائمة.

مساحة المثلث القائم الزاوية  $= \frac{1}{2}(l_1 \cdot l_2)$  حيث  $l_1, l_2$  طولاً ضلعي القائمة.

$D$  : إذا تطابقت قاعدتا مثلثين فإن النسبة بين مساحتهما تساوي النسبة بين طولي ارتفاعيهما.

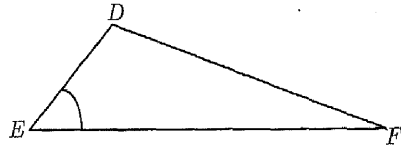
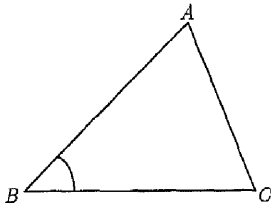
$E$  : إذا تطابق ارتفاعا مثلثين فإن النسبة بين مساحتهما تساوي النسبة بين طولي قاعدتيهما .

$F$  : مساحة أي مثلث تساوي نصف حاصل ضرب طولي أي ضلعين في جيب الزاوية المحصورة بينهما

$$\text{مساحة المثلث} = \frac{1}{2}(ab) \cdot \sin \angle C$$

$G$  : النسبة بين مساحتي مثلثين تتطابق فيهما زاويتان متناظرتان تساوي النسبة بين حاصل ضرب طولي ضلعي هاتين الزاويتين في كل مثلث. ففي  $\triangle ABC, \triangle DEF$  (الشكل 1-19)، وإذا رمزنا لمساحة المثلث  $ABC$  بالرمز  $[ABC]$ ، فإن

$$\angle B \cong \angle E \Rightarrow \frac{[\triangle ABC]}{[\triangle DEF]} = \frac{(AB)(BC)}{(DE)(EF)}$$



شكل 1-19

$H$  : مساحة المثلث المتطابق الأضلاع تساوي  $\frac{\sqrt{3}}{4}$  مربع طول ضلع المثلث .

أي أن مساحة المثلث المتطابق الأضلاع =  $\frac{s^2\sqrt{3}}{4}$  حيث  $s$  طول ضلع المثلث.

$I$  : مساحة المثلث المتطابق الأضلاع تساوي  $\frac{\sqrt{3}}{3}$  مربع طول ارتفاع المثلث .

أي أن مساحة المثلث المتطابق الأضلاع =  $\frac{h^2\sqrt{3}}{3}$  حيث  $h$  ارتفاع المثلث.

$J$  : مساحة أي مثلث أطوال أضلاعه  $a, b, c$  تساوي  $\sqrt{s(s-a)(s-b)(s-c)}$

حيث  $s = \frac{a+b+c}{2}$  ( نصف طول محيط المثلث ).

$K$  : مساحة متوازي الأضلاع تساوي حاصل ضرب طول قاعدته في طول الارتفاع المقام عليها.

أي أن مساحة متوازي الأضلاع =  $b \cdot h$

$L$  : مساحة المعين تساوي نصف حاصل ضرب طولي قطريه ، أي أن مساحة المعين =  $\frac{1}{2}(d_1 \cdot d_2)$

$M$  : مساحة شبه المنحرف تساوي حاصل ضرب نصف مجموع طولي القاعدتين المتوازيتين في طول الارتفاع.

أي أن مساحة شبه المنحرف =  $\frac{1}{2}h(b_1 + b_2)$  = القاعدة المتوسطة  $\cdot h$

$N$  : مساحة المضلع المنتظم تساوي حاصل ضرب نصف طول العمود المقام ( العمود المقام من مركز المضلع المنتظم إلى منتصف أحد أضلاع المضلع ) في محيط المضلع

المنتظم . مساحة المضلع المنتظم =  $\frac{1}{2}a \cdot p$

$O$  : مساحة القطاع الدائري الذي طول نصف قطره  $r$  وقياس زاويته المركزية  $n$  =

$$\frac{n}{360} \cdot \pi r^2$$

$P$  : النسبة بين مساحتي المثلثين المتشابهين تساوي مربع نسبة التشابه بينهما .  
 $Q$  : نسبة التشابه بين أي زوج من المثلثات المتشابهة تساوي الجذر التربيعي للنسبة بين مساحتهما .

$R$  : النسبة بين مساحتي المضلعين المتشابهين تساوي مربع نسبة التشابه بينهما .  
 $S$  : نسبة التشابه بين أي زوج من المضلعات المتشابهة تساوي الجذر التربيعي للنسبة بين مساحتهما .

ملاحظة : نستطيع الحصول على نسبة التشابه عن طريق إيجاد النسبة بين أي زوج من الأضلاع المتناظرة، الارتفاعات، المتوسطات، منصفات الزوايا أو أي من القطع المستقيمة المتناظرة.

### لنتعلم من المغالطات الهندسية

يقول جورج بوليا وهو يعد واحداً من أعظم الرياضيين المعاصرين : " الهندسة هي الاستنتاج الصحيح من الأشكال غير الصحيحة ". وسوف نوضح في هذا القسم أن تكوين نتائج مبنية على رسومات غير صحيحة يمكن أن يؤدي بنا إلى نتائج مستحيلة، بل إن العبارات التي تحوي مغالطات تبدو غريبة. ومع ذلك عليك أن تتبّع البرهان وتتعرف على الأخطاء.

والمغالطة الأولى هي واحدة من أشهر المغالطات في الهندسة وتستند على غياب مفهوم معين في كتاب العناصر لإقليدس .

**المغالطة الأولى : أي مثلث مختلف الأضلاع هو مثلث متطابق الضلعين**

## الإثبات

لإثبات أن المثلث المختلف الأضلاع  $ABC$  هو مثلث متطابق الضلعين، نرسم منصفاً للزاوية  $C$ ، وكذلك نرسم منصفاً عمودياً للضلع  $\overline{AB}$  ليتقاطعا في  $G$ ، والتي يخرج منها عمودان يقطعان  $\overline{AC}, \overline{CB}$  في  $D, F$  على الترتيب. لتكن  $E$  منتصف الضلع  $\overline{AB}$ .

عليك أن تلاحظ أن هناك أربع إمكانيات للوضع السابق يمثل الأنواع الممكنة من المثلثات المختلفة الأضلاع.

الشكل 20-1: عندما  $\overline{CG}, \overline{EG}$  يتقاطعان داخل المثلث.

الشكل 21-1: عندما  $\overline{CG}, \overline{EG}$  يتقاطعان على  $\overline{AB}$ .

الشكل 22-1: عندما  $\overline{CG}, \overline{EG}$  يتقاطعان خارج المثلث، ولكن العمودين  $\overline{GD}, \overline{GF}$  يقعان على  $\overline{AC}, \overline{CB}$ .

الشكل 23-1: عندما  $\overline{CG}, \overline{EG}$  يتقاطعان خارج المثلث، ولكن العمودين  $\overline{GD}, \overline{GF}$  يقعان على  $\overline{CA}, \overline{CB}$  خارج المثلث.

برهان هذه المغالطة يتحقق لأي شكل من الأشكال الأربعة؛ ولذا اتبع البرهان على شكل واحد والباقي بالمثل.

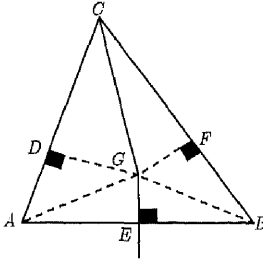
المعطيات:  $ABC$  مثلث مختلف الأضلاع

المطلوب: أثبت أن  $AC = BC$  (أو  $\triangle ABC$  متطابق الضلعين)

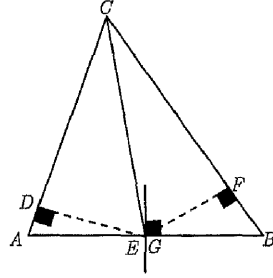
البرهان: لأن  $\angle ACG \cong \angle BCG$ ، والزائتين  $\angle CDG, \angle CFG$  قائمتان، فإن هذا يؤدي تطابق المثلثين  $\triangle CDG, \triangle CFG$  (باستخدام زاويتين وضلع  $SAA$ ) ومنه نستنتج أن  $DG = FG, CD = CF$ . الآن لدينا  $AG = BG$  (لأن النقطة على المنصف العمودي للقطعة المستقيمة تبعد البعد نفسه عن طرفيها) ولدينا  $\angle ADG, \angle BFG$



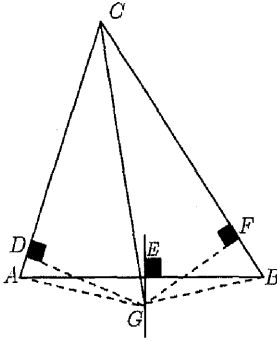
قائمتان ، وهذا يؤدي أيضاً إلى تطابق المثلثين  $\Delta DAG, \Delta FBG$  (وتر وضع قائمة) ومن ذلك نستنتج أن  $DA = FB$  وهذا بالطبع يقودنا إلى أن  $AC = BC$  (بالجمع في شكلي 1-20 ، 1-21 وبالطرح في 1-22 ، 1-23) ●



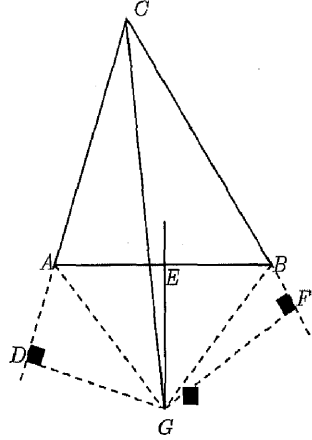
شكل 1-20



شكل 1-21



شكل 1-22

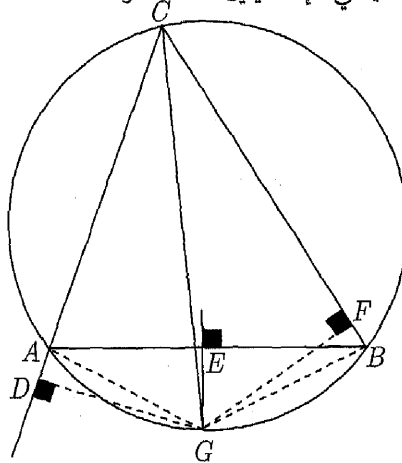


شكل 1-23

عند هذه النقطة قد تنزعج بعض الشيء ، وتتساءل أين ارتكبنا الخطأ والذي سمح بهذه المغالطة ، ولكنك بالإنشاء الدقيق سوف تجد الخطأ الماكر في الرسم ، وتستنتج أن جميع الأشكال الأربعة المفترضة غير صحيحة.

a. إن النقطة  $G$  يجب أن تكون خارج المثلث.  
 b. عندما يلتقي العمودان مع ضلعي المثلث في  $D, F$  فإن إحدى هاتين النقطتين ستكون بين رأسين من رؤوس المثلث أما الثانية فستقع خارج المثلث.  
 وحسب القواعد العامة التي يستخدمها إقليدس، فإن هذه المعضلة لا تزال لغزاً لأنه لم يتم بتعريف مفهوم البينية في كتابه العناصر. في المناقشة التالية، سوف نثبت أن هذا الخطأ ارتكب عند إثبات المغالطة السابقة، وبرهاننا سوف يستخدم الطرق الإقليدية ولكن مع فرض تعريف للبينية.

وسنبداً بإنشاء دائرة محيطة بالمثلث  $ABC$  (انظر الشكل 1-24). إن منتصف  $\angle ACB$  لابد أن يمر بمنتصف القوس  $AB$  (لأن  $\angle ACG$  تطابق  $\angle BCG$  - زاويتان محيطيتان متطابقتان)، ولنسم ذلك المنتصف  $G$ . أيضاً، المنتصف العمودي للقطعة المستقيمة  $AB$  لابد أن يمر بمنتصف  $\widehat{AB}$ ؛ وعليه لابد أن يمر بالنقطة  $G$ ، أي أن منتصف  $\angle ACB$  والمنتصف العمودي للقطعة المستقيمة  $AB$  يتقاطعان خارج المثلث في  $G$ ، وهذا يلغي الإمكانيتين 1-20 و 1-21.



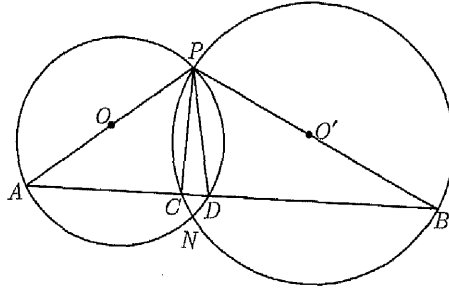
شكل 1 - 24

والآن لننظر للشكل الرباعي الدائري  $ACBG$  الذي فيه  
 $\angle CAG + \angle CBG = 180^\circ$  ، نجد أنه في حالة  $\angle CAG \equiv \angle CBG = 90^\circ$  فإن  
القطعة المستقيمة  $CG$  تكون قطراً للدائرة وهذا يجعل المثلث  $ABC$  مثلثاً متطابق  
الضلعين ، ولكن ذلك مرفوض لأن المثلث  $ABC$  مختلف الأضلاع. إن هذا يعني أن  
 $\angle CAG, \angle CBG$  ليستا قائمتين وأن إحداهما حادة والأخرى منفرجة .  
وبفرض  $\angle CBG$  حادة تكون  $\angle CAG$  منفرجة ، ومنه فإن ارتفاع المثلث  
 $CBG$  على الضلع  $CB$  يقع داخل المثلث ، وفي المثلث المنفرج الزاوية  $CAG$   
الارتفاع على الضلع  $AC$  يقع خارج المثلث. ( هذا يقبل عادة بدون برهان ولكن من  
السهل إثباته). إن حقيقة أن واحداً واحداً فقط من الارتفاعين يقطع ضلعاً من أضلاع  
المثلث بين رأسين فيه يدحض "إثبات" المغالطة.

المغالطة الثانية : يمكن رسم عمودين مختلفين على مستقيم واحد من نقطة خارجه.

### الإثبات

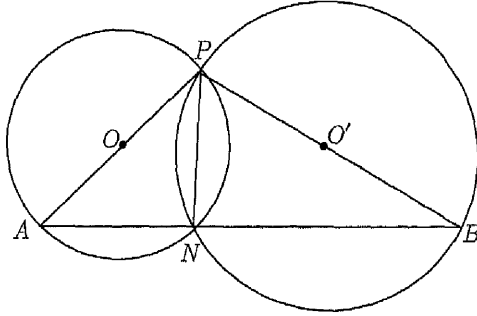
لإثبات العبارة السابقة ، نرسم دائرتين  $O, O'$  تتقاطعان في  $P, N$  ( كما في  
الشكل 25 - 1 ) ، ثم نرسم القطرين  $PA, PB$  في كل دائرة ، ثم نصل  $AB$  الذي  
يقطع الدائرة  $O$  في  $D$  ، والدائرة  $O'$  في  $C$  ، ومن هذا نجد أن  $\angle PDA, \angle PCB$   
قائمتان لأنهما منشأتان في نصفي الدائرتين  $O, O'$  على الترتيب ، إذن  $\overline{PC}, \overline{PD}$   
عمودان على  $\overline{AB}$  . أي أنه يوجد خطان مستقيمان مختلفان عموديان على خط  
مستقيم ثالث مما يعني أن مجموع زوايا المثلث  $BCD$  أكبر من  $180^\circ$  - وهذه مزعجة  
جداً في هندسة إقليدس ! ●



شكل 25 - 1

والمغالطة هنا تظهر بفعل التقاطع الخاطئ للقطعة  $\overline{AB}$  مع الدائرتين والتي من السهل إثبات أن  $\overline{AB}$  تقطع الدائرتين عند النقطة  $N$ ، وذلك عن طريق رسم  $\overline{AN}, \overline{BN}, \overline{PN}$  (انظر الشكل 26-1)، لأن  $\angle ANP$  و  $\angle BNP$  كل منهما منشأة في نصف دائرة، إذن هما زاويتان قائمتان، وكما نخبّرنا مسلمة إقليدس الخامسة بأنه لا يمكن لنا سوى إنشاء عمود وحيد على مستقيم من نقطة تقع على هذا المستقيم. ولذلك فالعمودان  $\overline{AN}, \overline{BN}$  على  $\overline{PN}$  يقطعانها في  $N$ ، وبالتالي هما قطعتان تقعان على مستقيم واحد  $\overline{ANB}$ . هذا يثبت أنه عندما نرسم  $\overline{AB}$  للمرة الأولى يجب ألا يقطع الدائرتين في نقطتين  $C, D$  بل في نقطة واحدة  $N$  والتي هي نقطة تقاطع الدائرتين. ويتضح الآن أن "إثبات" المغالطة معتمد على فرض وجود النقطتين  $C, D$ .\*

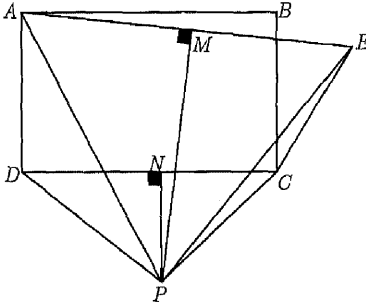
\* لأولئك الذين يشعرون بالانزعاج حول دحض المغالطة مع الفرضية نفسها التي برهنت عليها (لا يمكن رسم مستقيمين مختلفين متعامدين على مستقيم ثالث)، نستطيع استخدام مسلمة بليفيير لإثبات أن كلاً من  $\overline{AN}, \overline{BN}$  يوازي  $\overline{OO'}$  ولذا يجب أن يكونا جزأين من  $\overline{ANB}$ .



شكل 1 - 26

المغالطة الثالثة : الزاوية القائمة لها نفس قياس الزاوية المنفرجة .

### الإثبات



شكل 1 - 27

بداية إثباتنا سيكون برسم  
 المستطيل  $ABCD$  ، ثم نرسم  
 $\overline{CE}$  خارجه بحيث  $AD \cong CE$  ،  
 ثم نرسم المتوسطين العموديين  
 لكل من  $\overline{AE}, \overline{CD}$  ، يقطعانها في  
 $M, N$  على الترتيب ويتقاطعان  
 في  $P$  ، وأخيراً نرسم

$\overline{DP}, \overline{AP}, \overline{EP}, \overline{CP}$  كما في الشكل 1-27 .

ولأن  $AP = EP, DP = CP$  (كل نقطة تقع على النصف العمودي لقطعة  
 مستقيمة تبعد المسافة نفسها عن طرفي القطعة المستقيمة) ، فإن  $\triangle ECP \cong \triangle ADP$

ونستنتج من التطابق أن  $m\angle ECP = m\angle ADP$ . ولكن  $\triangle PDC$  متطابق الضلعين مما يعني أن  $m\angle DCP = m\angle CDP$ . بالطرح نصل إلى أن الزاوية المنفرجة  $\angle ECD$  تساوي الزاوية القائمة  $\angle ADC$  ●

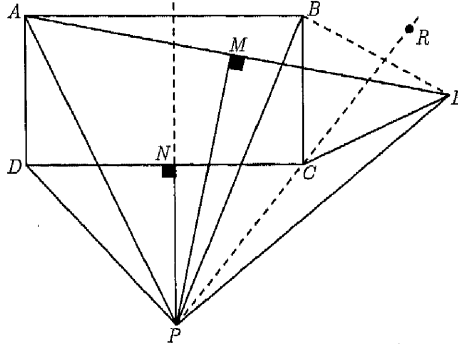
قد ترغب في دراسة الحالتين اللتين فيهما تقع النقطة  $P$  على  $\overline{DC}$  أو داخل المستطيل  $ABCD$ ، ولكن المناقشة السابقة تتحقق فيهما أيضاً. حتى الآن قد تجد أن أفضل طريقة للعثور على الخطأ في الإثبات السابق هو رسم هندسي دقيق، ولكن بدلاً من محاولة اكتشاف الخطأ عن طريق الرسم سوف نقوم بتحليل الوضع القائم.

سوف نلاحظ أن  $\overline{NP}$ ,  $\overline{MP}$  منصفان عموديان لكل من  $\overline{AB}$ ,  $\overline{AE}$  على الترتيب يتقاطعان في النقطة  $P$  التي هي مركز الدائرة المحيطة بالمثلث  $ABE$ ، وهذا يعني أن النقطة  $P$  تقع أيضاً على المنصف العمودي للضلع الثالث  $\overline{BE}$ ، ومن المعطيات لدينا  $BC = EC$  وبالتالي فالنقطة  $C$  يجب أن تقع أيضاً على المنصف العمودي للضلع الثالث  $\overline{BE}$  (انظر الشكل 28 - 1)، إن  $\overline{PC}$  هو المنصف العمودي للقطعة المستقيمة  $\overline{BE}$ ، وكذلك المنصف الداخلي للزاوية  $\angle BCE$ . نعلم أن الزاوية المنعكسة هي الزاوية التي قياسها بين  $180^\circ$  و  $360^\circ$ . وباعتبار الزاوية المنعكسة  $\angle ECP$  التي قياسها يساوي  $m\angle PCR + m\angle RCE$ ، نجد أن  $\overline{EP}$  ضلع في  $\triangle ECP$  يقع مقابل النقطة  $C$  خارج المستطيل.

وهذا يجعل الخطوة الأخيرة في "برهان" المغالطة غير صحيح؛ لأن

$$m\angle ECP \neq m\angle ECD + m\angle DCP$$

وينبغي أن نضع في اعتبارنا أن إقليدس لم يستخدم مصطلحات (داخل وخارج) في براهينه. وإنما كان يستخدمها فقط للإشارة إلى أشكال محددة. ونحن عموماً قادرون على مناقشة هذه المغالطة باستخدام تلك المصطلحات.

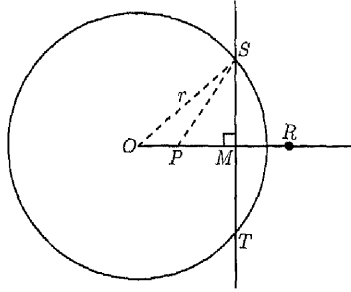


شكل 1 - 28

المغالطة الرابعة: أي نقطة داخل الدائرة تكون على الدائرة.

الإثبات

لتكن النقطة  $P$  تقع داخل الدائرة  $O$ ، واخترنا النقطة  $R$  واقعة على  $OP$ ،  
 بحيث  $(OP)(OR) = r^2$  حيث  $r$  طول نصف قطر الدائرة  $O$ . ولنفرض أن  $ST$   
 هو المنصف العمودي للقطعة  $PR$  والذي يقطع الدائرة في  $S, T$ ، حيث  $M$  منتصف  
 $PR$  (الشكل 1 - 29).



شكل 1 - 29

لاحظ أن

$$OP = OM - MP \quad (I)$$

$$OR = OM + MR = OM + MP \quad (II)$$

بضرب (I), (II) نجد أن:

$$(OP)(OR) = (OM - MP)(OM + MP) \quad \text{أو}$$

$$(OP)(OR) = (OM)^2 - (MP)^2 \quad (III)$$

وباستخدام نظرية فيثاغورس نجد:

$$(OM)^2 + (MS)^2 = (OS)^2 \quad \text{أو}$$

$$(OM)^2 = (OS)^2 - (MS)^2 \quad (IV)$$

أيضا



$$\text{أو } (MP)^2 + (MS)^2 = (PS)^2$$

$$(MP)^2 = (PS)^2 - (MS)^2 \quad (V)$$

والآن بالتعويض من (V)، (IV) في (III) نجد أن:

$$(OP)(OR) = [(OS)^2 - (MS)^2] - [(PS)^2 - (MS)^2] \quad (III)$$

$$(OP)(OR) = (OS)^2 - (PS)^2 \quad (VI)$$

ولأن  $\overline{OS}$  نصف قطر الدائرة  $O$ ، لدينا:

$$(OS)^2 = r^2 = (OP)(OR) \quad (VII)$$

وبالتعويض من (VII) في (VI) نحصل على:

$$(OP)(OR) = (OP)(OR) - (PS)^2 \quad (VII)$$

وهذا يؤدي إلى أن  $PS = 0$ ، والذي يقتضي بدوره أن النقطة  $P$  يجب أن تقع على

محيط الدائرة. ●

لاكتشاف المغالطة في البرهان السابق، نفرض أن  $OP = a$  ومنها  $OR = \frac{r^2}{a}$

ولأن  $r > a$  ومربع العدد الحقيقي غير الصفري دائما موجب، إذن  $(r - a)^2 > 0$ ،

والتي يمكن صياغتها على الصورة  $r^2 - 2ra + a^2 > 0$  ومنها  $r^2 + a^2 > 2ra$

وبضرب المتباينة السابقة في  $\frac{1}{2a}$  نحصل على  $\frac{1}{2}\left(\frac{r^2}{a} + a\right) > r$  والتي تكافئ

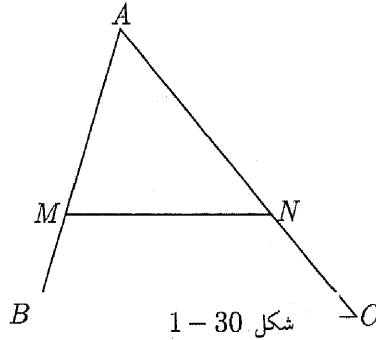
الدائرة، وعليه فإن النقطتين  $S, T$  ليس لهما وجود، وهذا ما يفند "البرهان" السابق.

**المغالطة الخامسة:** أي قطعتين مستقيمتين غير متساويتين هما في الحقيقة متساويتان.

### الإثبات

في المثلث  $ABC$  لدينا  $\overline{MN} \parallel \overline{BC}$  حيث  $\overline{MN}$  تقطع  $\overline{AB}, \overline{AC}$  في  $M, N$  على الترتيب ( انظر شكل 1-30 ). والآن سنثبت أن  $\overline{BC} = \overline{MN}$ .

لأن  $\overline{MN} \parallel \overline{BC}$ ، فإن  $\triangle AMN \sim \triangle ABC$ . إذن  $\frac{BC}{MN} = \frac{AB}{AM}$ ، التي منها نستنتج أن  $(BC)(AM) = (AB)(MN)$ . بضرب طرفي المتساوية في  $(BC - MN)$  نحصل على:



---


$$(\text{المترجم}) \quad \frac{1}{2}(OR + OP) = \frac{1}{2}(OP + PR + OP) = \frac{1}{2}(2OP + 2PM) = \frac{1}{2}(2OM) = OM > r \quad *$$

$$(BC)(AM)(BC - MN) = (AB)(MN)(BC - MN)$$

والتي يمكن صياغتها على الصورة :

$$(BC)^2(AM) - (BC)(MN)(AM) = (AB)(MN)(BC) - (AB)(MN)^2$$

بإضافة  $(BC)(MN)(AM) - (AB)(MN)(BC)$  للطرفين نحصل على :

$$(BC)^2(AM) - (AB)(MN)(BC) = (BC)(MN)(AM) - (AB)(MN)^2$$

والتي يمكن كتابتها على الصورة :

$$(BC)[(BC)(AM) - (AB)(MN)] = (MN)[(BC)(AM) - (AB)(MN)]$$

بالقسمة على العامل المشترك  $(BC)(AM) - (AB)(MN)$  نحصل على

$$\bullet. BC = MN$$

ما من مناقشة كاملة للمغالطات الرياضية دون أن يكون هناك مثال لمشكلة تنتج

عن القسمة على صفر، ونحن اقتربنا هذا الخطأ الرياضي عندما قسمنا على صفر

والذي كان على الصورة

$$* (BC)(AM) - (AB)(MN)$$

حيث إنه نتيجة لتشابه المثلثين المذكورين آنفاً\*.

### التسميات الشائعة common nomenclature

الشكل 31-1 يوضح بعض التفاصيل والمسميات التي علينا أخذها في

الاعتبار عند قراءتنا لهذا الكتاب، وقد وضعناها بشكل منهجي في قائمة، ولكننا

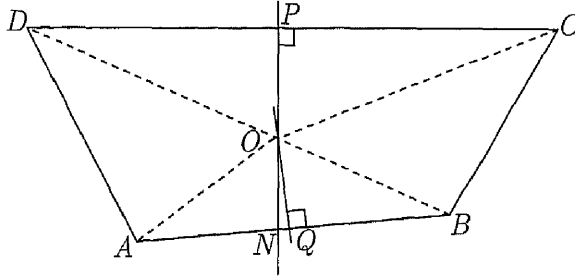
\* من نتائج تشابه  $\Delta AMN \sim \Delta ABC$  أن

$$(المترجم) \frac{BC}{MN} = \frac{AB}{AM} \Rightarrow (BC)(AM) = (AB)(MN)$$

عندما نستخدم رمزاً غامضاً سوف نوضحه حتى لا يكون هناك التباس ، وبالتالي قد نستخدم  $b$  للتعبير عن اسم ضلع مثلث أو قياسه ، والذي سيوضح ذلك السياق ذاته. فالغموض ناتج من الخيارات المتعددة وليس من الجهل بالترميز، وهدفنا دائماً سيكون الوضوح. وبغير شك، فإن الدقة والإحكام تدعم المادة المقدمة وبخاصة في المواضيع الضبابية من مناقشاتنا.

$a, b, c$	<i>Sides</i>	الأضلاع
$\alpha, \beta, \gamma$	<i>Angles</i>	الزوايا
$A, B, C$	<i>Vertices</i>	الرؤوس
$h_a, h_b, h_c$	<i>Altitudes</i>	الارتفاعات
$H_a, H_b, H_c$	<i>Feet of the altitudes</i>	مواقع الارتفاعات على الأضلاع المقابلة
$H$	<i>Orthocenter</i>	نقطة تقاطع الارتفاعات في المثلث
$m_a, m_b, m_c$	<i>Medians</i>	متوسطات المثلث
$M_a, M_b, M_c$	<i>Midpoints of sides</i>	منتصفات الأضلاع
$G$	<i>Centroid</i>	نقطة تقاطع المتوسطات في المثلث
$t_a, t_b, t_c$	<i>Angle bisectors</i>	منصفات زوايا المثلث الداخلية
$T_a, T_b, T_c$	<i>Feet of Angle bisectors</i>	مواقع منصفات الزوايا على الأضلاع المقابلة
$I$	<i>Incenter</i>	نقطة تقاطع منصفات زوايا المثلث الداخلية ومركز الدائرة الداخلية للمثلث
$r$	<i>Inradius</i>	نصف قطر الدائرة الداخلية للمثلث
$O$	<i>Circumcenter</i>	نقطة تقاطع الأعمدة المنتصفة لأضلاع المثلث ومركز الدائرة المحيطة للمثلث
$R$	<i>Circumradius</i>	نصف قطر الدائرة المحيطة للمثلث
$s = \frac{1}{2}(a+b+c)$	<i>Semiperimeter</i>	نصف المحيط ( نصف مجموع أطوال أضلاع المثلث)





شكل 32 - 1

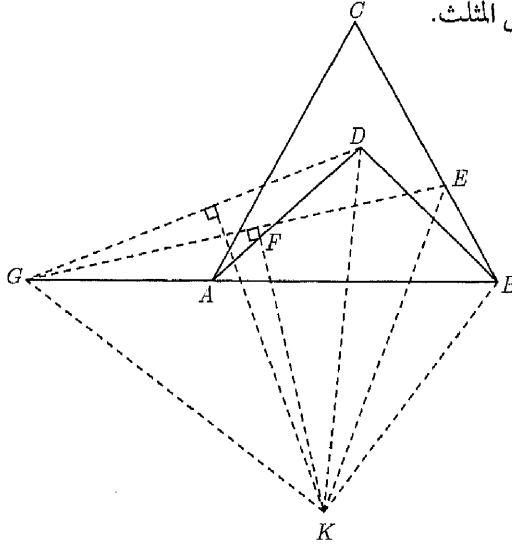
لأن  $O$  تقع على المنصف العمودي للضلع  $\overline{DC}$ ، فإن  $\overline{DO} \cong \overline{CO}$ ، وبالمثل  
 $\overline{OA} \cong \overline{OB}$ ، ولدينا المعطى  $AD = BC$ ، مما يؤدي إلى أن  $\triangle ADO \cong \triangle BCO$  (SSS).  
 ومن التطابق نستنتج أن  $m\angle AOD = m\angle BOC$ .

ويمكننا بسهولة إثبات أن  $m\angle DOP = m\angle COP$ ، وبإضافة  
 $m\angle AOD = m\angle BOC$  نحصل على  $m\angle AOP = m\angle BOP$ ، وبما أن  $N$  تقع  
 على  $\overline{PO}$ ، إذن  $m\angle AON = m\angle BON$ ، ولكن  $\triangle AOQ \cong \triangle BOQ$  (SSS) ولكن  
 ومن هذا التطابق نستنتج  $m\angle AOQ = m\angle BOQ$ ، ولأنه لا يوجد سوى منصف  
 واحد فقط للزاوية فإن  $\overline{ON}, \overline{OQ}$  يجب أن ينطبق كل منهما على الآخر ( $N$  تنطبق على  
 $Q$ ) مما يؤدي إلى أن  $\overline{PN}$  عمودي على  $\overline{AB}$ ، وهذا يعني أن:  $\bullet \overline{AB} \parallel \overline{DC}$   
 كرر البرهان إذا كانت  $O$  خارج الشكل الرباعي، ثم كرر البرهان عندما  $O$  تقع  
 على  $\overline{DC}$ .

2. اكتشف المغالطة في البرهان التالي:  $45^\circ = 60^\circ$ .

"البرهان"

لننشئ المثلث المتطابق الأضلاع  $ABC$  (انظر الشكل 33-1)، ثم ننشئ المثلث القائم والمتطابق الضلعين  $ABD$  على الضلع  $AB$  بحيث يكون  $AB$  وتراً لهذا المثلث و  $D$  داخل المثلث.

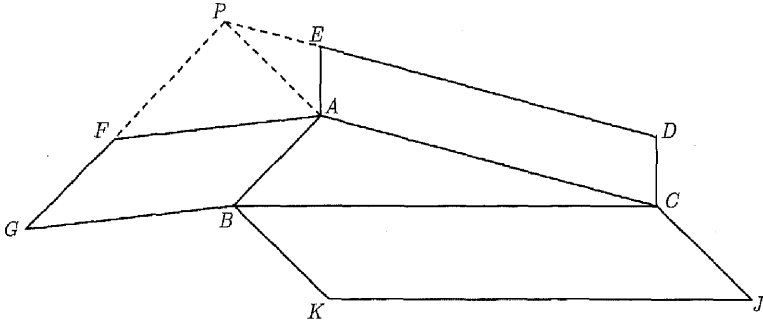


شكل 33 - 1

لنكن  $E$  نقطة تقع على  $BC$  بحيث  $\overline{BE} = \overline{BD}$ . نصل النقطة  $E$  بنقطة منتصف  $AD$  ولتكن  $F$ ، ثم نمد  $EF$  ليقطع  $BA$  في  $G$ . نرسم  $GD$ ، وننشئ العمود المنصف لكل من  $GD, GE$ . ولأن  $GD, GE$  غير متوازيين فإن منصفيهما العموديين يلتقيان في نقطة ولتكن  $K$ . نصل  $K$  بكل من  $G, D, E, B$ . ولأن  $GK = KD, GK = KE$  (النقطة التي تقع على العمود المنصف لقطعة مستقيمة تكون على أبعاد متساوية من نهايتي هذه القطعة) نستنتج أن  $KD = KE$ ، ولكن من الإنشاء الأول  $BE = BD$ ، وهذا يجعل  $\triangle KBD \cong \triangle KBE$  (SSS). ومن

هذا التطابق نستنتج  $m\angle KBD = m\angle KBE$  بالطرح نحصل على  $m\angle DBG = m\angle EBG$  ، ولكن  $m\angle DBG = 45^\circ$  ،  $m\angle CBG = 60^\circ$  ، أي أن  $45^\circ = 60^\circ$  . ●

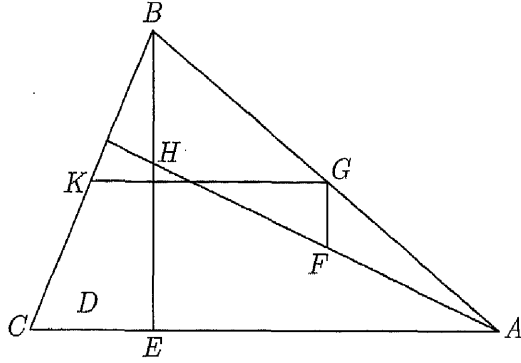
3. على الضلعين  $\overline{AB}, \overline{AC}$  في المثلث الاختياري  $ABC$  ، أنشأنا متوازيي الأضلاع  $\overline{DE}, \overline{GF}$  ، يتقاطعان في  $P$  . كما أنشأنا على الضلع  $\overline{BC}$  متوازي الأضلاع  $BCJK$  بحيث  $\overline{BK} \parallel \overline{PA}, \overline{BK} \cong \overline{PA}$  . ( انظر الشكل 34 - 1 ) .  
من هذا التكوين قدم بابوس ( ٣٠٠ بعد الميلاد ) مقترحه لتوسعة نظرية فيثاغورس ، وقد أثبت أن مجموع مساحتي متوازيي الأضلاع  $ABGF, ACDE$  تساوي مساحة متوازي الأضلاع  $BCJK$  . أثبت هذه العلاقة حيث المثلث  $ABC$  اختياري ( ملاحظة : قد ترغب تتبع برهان إقليدس لنظرية فيثاغورس ) .



شكل 34 - 1

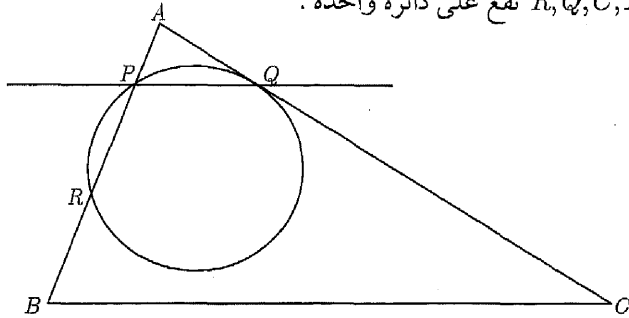
4. لدينا الارتفاعان  $\overline{BE}, \overline{AD}$  في المثلث  $ABC$  يتقاطعان في  $H$  . فإذا كانت النقاط  $F, G, K$  منتصفات كل من  $\overline{AH}, \overline{AB}, \overline{BC}$  على الترتيب ( انظر الشكل 35 - 1 ) .  
أثبت أن  $\angle FGK$  زاوية قائمة .





شكل 1-35

5. الخط المستقيم  $\overline{PQ}$  يوازي  $\overline{BC}$  حيث  $\overline{BC}$  قاعدة المثلث  $ABC$  ويقطع كلاً من  $\overline{AB}$ ,  $\overline{AC}$  في  $P, Q$  على الترتيب (انظر الشكل 1-36)، الدائرة التي تمر بالنقطة  $P$  وتمس  $\overline{AC}$  عند  $Q$  تقطع  $\overline{AB}$  مرة أخرى في  $R$ . أثبت أن النقاط  $R, Q, C, B$  تقع على دائرة واحدة.



شكل 1-36

أثناء متابعة ما تبقى من هذا الكتاب ، قد ترغب في العمل على بعض التدريبات

الإضافية.

لهذا الغرض حاول أن تستخدم كتاب :

"*Challenging Problems in Geometry*"

للمؤلفين

A. S. Posamentier and C. T. Salkind  
(New York: Dover, 1996)



### تلاقي المستقيمات في مثلث

#### مقدمة

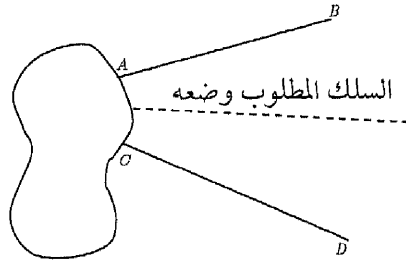
على الرغم من أهمية مفهوم التقاطع في نقطة (أي تقاطع ثلاثة أو أكثر من المستقيمات في نقطة واحدة)، فإن هذا الموضوع لا يأخذ حقه في منهج الهندسة الأساسي؛ وذلك بسبب وجود مفاهيم أخرى ذات أولوية. ولعل الحصول على نتائج سهلة وجميلة حول هذا المفهوم يتطلب المزيد من النظريات التي لا يسمح بها الوقت - عادة - في برنامج الهندسة الدراسي الأولي.

الحالات المألوفة للتقاطع في نقطة مثل المتوسطات، منصفات الزوايا، والارتفاعات في المثلث، تم ذكرها سابقاً. ولكن لم يتم إثباتها في كثير من الأحيان. وإدخال نظريات جديدة قليلة يجعل موضوع التقاطع في نقطة سهلاً جداً، ويفتح أفقاً جديداً في الهندسة الإقليدية.

هذا الفصل يبدأ ببرهان أهمية وضع التقاطع في نقطة، وذلك بمساعدة نظرية مهمة، قدمها جيوفاني شيفا Giovanni Ceva في عام ١٦٧٨ م، وكذلك سنقدم مجموعة متنوعة من العلاقات الشيقة والنظريات، وسترى لاحقاً كيف نوضح ببساطة إثبات بعض النظريات الصعبة السابقة.

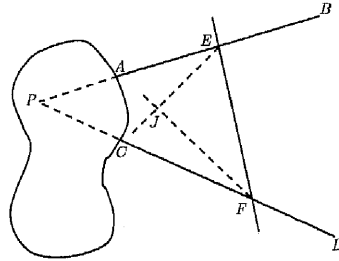
ولأننا نريد أن نوضح أهمية التقاطع في نقطة، دعونا ندرس المثال التالي  
**مثال** : تم وضع اثنين من الأسلاك المستقيمة داخل منطقة، فالتقيا في نقطة يصعب الوصول إليها ( انظر الشكل 1 - 2 ).

كيف يمكنك تحديد موقع مناسب لوضع سلك ينصف الزاوية التي شكلها السلكان دون لمس هذه المنطقة؟



شكل 1 - 2

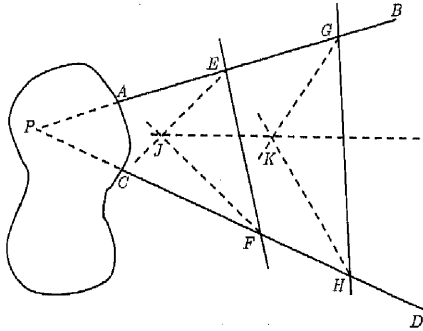
على الرغم من أن هناك طرقاً كثيرة ممكنة لحل هذه المشكلة، إلا أننا اخترنا الحل التالي للسبب الذي سيتضح لاحقاً.



شكل 2 - 2

## الحل

لنرسم خطاً مستقيماً يقطع كلاً من  $\overline{AB}, \overline{CD}$  في  $E, F$  على الترتيب ( انظر الشكل 2-2 )، وكذلك ننشئ منصفى الزاويتين  $\angle AEF, \angle CFE$  ليتقاطعا في  $J$ . لنفرض اكتمال المثلث  $PEF$ . وعليه، فمنصف الزاوية  $\angle P$  يمر بالنقطة  $J$  ( لأن منصفات الزوايا الداخلية للمثلث تتقاطع جميعاً في نقطة واحدة ). لنكرر هذه العملية مع مستقيم ثان وليكن  $\overline{GH}$  والذي يقطع  $\overline{AB}, \overline{CD}$  في  $G, H$  على الترتيب ( انظر الشكل 2-3 ). وبالمثل ننصف الزاويتين  $\angle AGH, \angle CHG$  بمنصفين يتقاطعان في  $K$ ، ومرة أخرى يجب أن تقع النقطة  $K$  على منصف الزاوية  $\angle P$ ، أي أن منصف الزاوية  $\angle P$  تقع عليه النقطتان  $J, K$ . وهذا يعني أن النقطتين  $J, K$  تحددان موضع الخط المستقيم المطلوب، الذي هو موضع السلك الذي يجب تثبيته. ●



شكل 2-3

هذا الحل يعتمد على فكرة أن منصفات الزوايا في المثلث تتقاطع في نقطة واحدة. وكما أشرنا، فإن موضوع التقاطع في نقطة في المثلث يستحق اهتماماً أكبر في مقرر الهندسة الأساسي الدراسي.

بطريقة سهلة للغاية، سوف نبرهن أن منصفات زوايا المثلث الداخلية تتقاطع في نقطة واحدة، ولكن أولاً يجب أن نؤسس بعض العلاقات المهمة، وعلينا أن نتذكر الأساسيات الهندسية التي نتجربنا أن للمثلث العديد من المراكز والتي منها على سبيل المثال.

- نقطة تقاطع المتوسطات Centroid - مركز ثقل المثلث.
- نقطة تقاطع ارتفاعات المثلث Orthocenter.
- مركز الدائرة الداخلية للمثلث Incenter. ويتم تعيينه من تقاطع منصفات زوايا المثلث الداخلية .
- مركز الدائرة المحيطة بالمثلث Circumcenter - ويتم تعيينه من تقاطع المنصفات العمودية لأضلاع المثلث .

تطبيقات عديدة على مراكز المثلث يتم دراستها في مقرر الهندسة الأساسي، ويعتمد عليها الطلاب في كثير من الأحيان في التطبيقات العملية التي تعتمد على خاصية التقاطع في نقطة والتي تنتج من النقاط (المراكز) السابقة. سنقدم أحد هذه التطبيقات في بداية هذا الفصل.

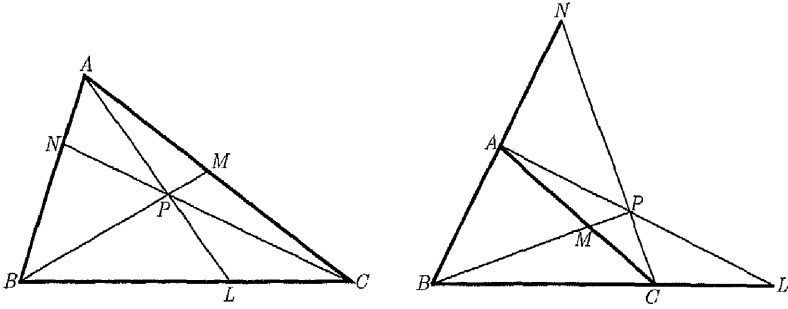
ولأن البراهين التقليدية مرهقة بعض الشيء، فإن كثيراً من هذه العلاقات تكون مقبولة بدون برهان. بمساعدة نظرية مشهورة قدمها الرياضي الإيطالي جيوفاني شيفا Giovanni Ceva (١٦٤٧ - ١٧٣٤ م) والتي تحمل اسمه، سنستنتج براهين لعلاقات التقاطع في نقطة التي سبق الحديث عنها بالإضافة إلى علاقات عديدة أخرى.

### نظرية شيفا Ceva's Theorem

الخطوط المستقيمة الثلاثة المارة برؤوس المثلث ABC لتقطع الأضلاع المقابلة في النقاط  $L, M, N$  على الترتيب تتقاطع في نقطة واحدة إذا وفقط إذا كان

$$\frac{AN}{NB} \cdot \frac{BL}{LC} \cdot \frac{CM}{MA} = 1$$

نظرية 1-2



شكل 2 - 4

لإثبات هذه النظرية ، علينا أن نلاحظ أولاً أن هناك حالتين ممكنتين لتقاطع ثلاثة خطوط مستقيمة تخرج من رؤوس مثلث إلى الأضلاع المقابلة من مثلث (كما بالشكل 4-2). ربما من الأسهل متابعة البرهان مع الرسم الأيسر والتحقق من الخطوات من الرسم على الجهة اليمنى ، وعلى أي حال فإن البرهان التالي يتحقق مع كلا الشكلين. ويحتاج إثبات نظرية شيفا إلى برهانين ( أحدهما معكوس للآخر ) لأنها علاقة تكافؤ ( إذا فقط إذا ) ، وستثبت أولاً أنه إذا مرت ثلاثة مستقيمات برؤوس المثلث ABC وقطعت أضلاع المثلث المقابلة في النقاط  $L, M, N$  والتقت في نقطة واحدة ، فإن  $\frac{AN}{NB} \cdot \frac{BL}{LC} \cdot \frac{CM}{MA} = 1$  ، وسنقدم ثلاثة براهين لإثبات ذلك. الأول منها على الرغم أنه ليس أبسطها إلا أنه لا يحتاج أي إنشاء هندسي.

### البرهان I

على الشكل (2-4) ،  $\overline{AL}, \overline{BM}, \overline{CN}$  تتقاطع جميعاً في النقطة P ، ولأن

المثلثين  $ABL, SCL$  لهما نفس الارتفاع ( الخارج من الرأس A ) فإن



$$\frac{[\Delta ABL]}{[\Delta ACL]} = \frac{BL}{LC} \quad (I)$$

(رمزنا لمساحة المثلث  $ABC$  بالرمز  $[\Delta ABC]$ ). بالمثل

$$\frac{[\Delta PBL]}{[\Delta PCL]} = \frac{BL}{LC} \quad (II)$$

من (I), (II)

$$\frac{[\Delta PBL]}{[\Delta PCL]} = \frac{[\Delta ABL]}{[\Delta ACL]}$$

بتطبيق خاصية التناسب التالية  $\left(\frac{w}{x} = \frac{y}{z} = \frac{w-y}{x-z}\right)$  ، نحصل على

$$\frac{BL}{LC} = \frac{[\Delta ABL]}{[\Delta ACL]} = \frac{[\Delta PBL]}{[\Delta PCL]} = \frac{[\Delta ABP]}{[\Delta ACP]} \quad (III)$$

وبتكرار العملية السابقة على  $\overline{BM}$  بدلاً من  $\overline{AL}$  نحصل على

$$\frac{CM}{MA} = \frac{[\Delta BMC]}{[\Delta BMA]} = \frac{[\Delta PMC]}{[\Delta PMA]}$$

ومنها

$$\frac{CM}{MA} = \frac{[\Delta BMC] - [\Delta PMC]}{[\Delta BMA] - [\Delta PMA]} = \frac{[\Delta BCP]}{[\Delta BAP]} \quad (IV)$$

مرة أخرى، نكرر نفس العملية على  $\overline{CN}$  بدلاً من  $\overline{AL}$  لنجد أن

$$\frac{AN}{NB} = \frac{[\Delta ACN]}{[\Delta BCN]} = \frac{[\Delta APN]}{[\Delta BPN]}$$

ومنها

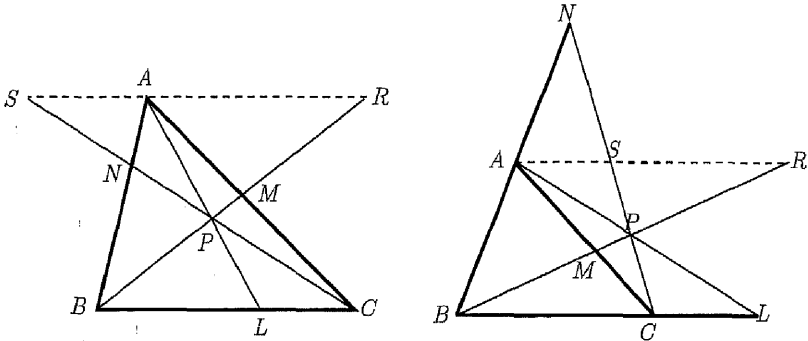
$$\frac{AN}{NB} = \frac{[\Delta ACN] - [\Delta APN]}{[\Delta BCN] - [\Delta BPN]} = \frac{[\Delta ACP]}{[\Delta BCP]} \quad (V)$$

بضرب (III), (IV), (V) نحصل على المطلوب :

$$\frac{BL}{LC} \cdot \frac{CM}{MA} \cdot \frac{AN}{NB} = \frac{[\Delta ABP]}{[\Delta ACP]} \cdot \frac{[\Delta BCP]}{[\Delta BAP]} \cdot \frac{[\Delta ACP]}{[\Delta BCP]} = 1$$

●

## البرهان II



شكل 2 - 5

بالعمل على الشكل 2-4 وإضافة  $\overline{SR}$  والذي يمر بالنقطة  $A$  ويوازي  $\overline{BC}$ ويقطع  $\overline{BM}$ ,  $\overline{CN}$  في  $R, S$  على الترتيب، (انظر الشكل 2-5).

الخطوط المتوازية تمكننا من وضع الأزواج التالية من المثلثات المتشابهة.

$$\Delta AMR \sim \Delta CMB \Rightarrow \frac{AM}{MC} = \frac{AR}{CB} \quad (I)$$

$$\Delta BNC \sim \Delta ANS \Rightarrow \frac{BN}{AN} = \frac{CB}{SA} \quad (\text{II})$$

$$\Delta CLP \sim \Delta SAP \Rightarrow \frac{CL}{SA} = \frac{LP}{AP} \quad (\text{III})$$

$$\Delta BLP \sim \Delta RAP \Rightarrow \frac{BL}{RA} = \frac{LP}{AP} \quad (\text{IV})$$

من (III), (IV) نحصل على  $\frac{CL}{SA} = \frac{BL}{RA}$  ، والتي يمكن صياغتها كالتالي :

$$\frac{CL}{BL} = \frac{SA}{RA} \quad (\text{V})$$

بضرب (I), (II), (V) نحصل على :

$$\frac{AN}{NB} \cdot \frac{BL}{LC} \cdot \frac{CM}{MA} = 1 \quad \bullet$$

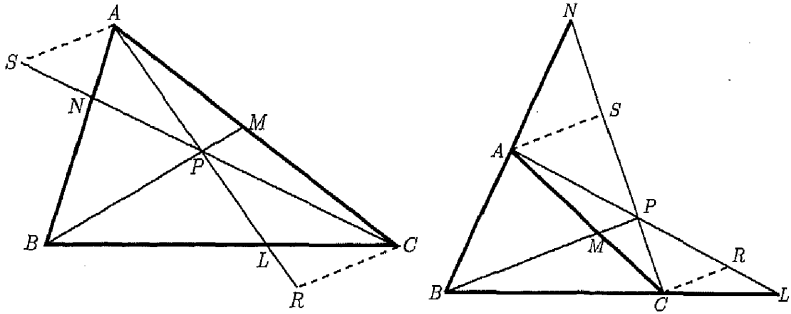
( نفس الاستنتاج الذي وصلنا إليه في البرهان الأول )

### البرهان III

بالعمل مرة أخرى على الشكل 4 - 2 وإضافة خطين مستقيمين لكل رسم من الرأسين  $A, C$  يوازيان  $\overline{BP}$  ، ويقطعان  $\overline{CP}, \overline{AP}$  في  $S, R$  على الترتيب ، ( انظر الشكل 6 - 2 ).

$$\Delta ASN \sim \Delta BPN \Rightarrow \frac{AN}{NB} = \frac{AS}{BP} \quad (\text{I})$$

$$\Delta BPL \sim \Delta CRL \Rightarrow \frac{BL}{LC} = \frac{BP}{CR} \quad (\text{II})$$



شكل 6 - 2

$$\Delta PAM \sim \Delta RAC \Rightarrow \frac{CA}{MA} = \frac{RC}{PM}$$

ويمكننا صياغة العلاقة السابقة على الصورة:

$$CA = \frac{(RC)(MA)}{PM} \quad (\text{III})$$

$$\Delta PCM \sim \Delta SCA \Rightarrow \frac{CM}{CA} = \frac{PM}{AS}$$

كما يمكننا صياغة العلاقة الأخيرة على الصورة:

$$CA = \frac{(AS)(CM)}{PM} \quad (\text{IV})$$

من (III), (IV)، نحصل على:

$$\frac{(RC)(MA)}{PM} = \frac{(AS)(CM)}{PM}$$

وأخيراً يمكننا كتابة العلاقة

السابقة بعد تبسيطها على الصورة :

$$\frac{CM}{MA} = \frac{RC}{AS} \quad (V)$$

بضرب (I), (II), (V) نحصل على :

$$\frac{AN}{NB} \cdot \frac{BL}{LC} \cdot \frac{CM}{MA} = \frac{AS}{BP} \cdot \frac{BP}{CR} \cdot \frac{RC}{AS} = 1 \quad \bullet$$

لإكمال برهان نظرية شيفا علينا أن نثبت عكس ما أثبتناه سابقاً، أي سنثبت الآن أنه إذا كانت الخطوط المستقيمة الخارجة من رؤوس المثلث  $ABC$  نحو أضلاعه المقابلة والتي تقطعها في  $L, M, N$  على الترتيب تحقق العلاقة  $\frac{AN}{NB} \cdot \frac{BL}{LC} \cdot \frac{CM}{MA} = 1$ ، فإن الخطوط المستقيمة الثلاثة تتقاطع جميعاً في نقطة واحدة.

**البرهان**

نفرض أن  $\overline{BM}, \overline{AL}$  يتقاطعان في النقطة  $P$ ، ونرسم  $\overline{PC}$  والذي يتقاطع مع

$\overline{AB}$  في  $N'$ . الآن

كل من  $\overline{AL}, \overline{BM}, \overline{CN'}$  تتقاطع جميعاً في نقطة واحدة. وعليه، يمكننا استخدام الجزء الذي أثبتناه في نظرية شيفا سابقاً للوصول إلى أن

$$\frac{AN'}{N'B} \cdot \frac{BL}{LC} \cdot \frac{CM}{MA} = 1$$

ولكن من المعطى لدينا

$$\frac{AN}{NB} \cdot \frac{BL}{LC} \cdot \frac{CM}{MA} = 1$$

إذن  $\frac{AN'}{N'B} = \frac{AN}{NB}$ . أي أن النقطة  $N'$  تنطبق على النقطة  $N$ ، وهذا يثبت المطلوب.  $\bullet$

## تطبيقات على نظرية شيفا

إن من أفضل الوسائل التي تكشف لنا مدى الاستفادة من نظرية شيفا هي برهنة مشكلة تقاطع القطع المستقيمة المختلفة والتي نواجهها في الهندسة الأولية . وأبسط هذه التطبيقات هو إثبات تقاطع متوسطات المثلث في نقطة واحدة. ولعل أفضل تقدير لقوة نظرية شيفا هو أن تثبت أن متوسطات المثلث تتقاطع في نقطة واحدة بالطريقة التقليدية وسيكفي أن تقول عند ذلك أنه إثبات طويل جدا ومعقد. وبالمقارنة مع هذا الإثبات المرهق ، فإن الطريقة التي نستخدمها هنا ينبغي أن تثير بعض التشويق حول نظرية شيفا.

تطبيق 1

أثبت أن متوسطات المثلث جميعاً تتقاطع في نقطة واحدة.

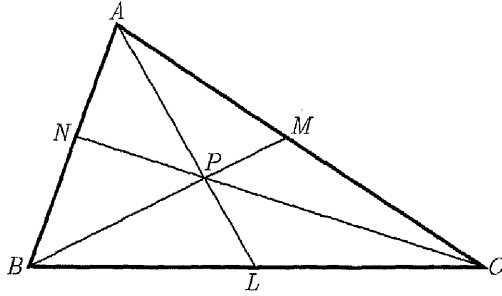
## البرهان

القطع المستقيمة  $\overline{AL}, \overline{BM}, \overline{CN}$  متوسطات في  $\triangle ABC$  ( انظر الشكل

7-2 )، ولذا  $AN = NB, CM = MA, BL = LC$ . بالضرب نحصل على:

$$(AN)(BL)(CM) = (NB)(LC)(MA) \Rightarrow \frac{AN}{NB} \cdot \frac{BL}{LC} \cdot \frac{CM}{MA} = 1$$

إذن من نظرية شيفا  $\overline{AL}, \overline{BM}, \overline{CN}$  تتقاطع جميعاً في نقطة واحدة. ●



شكل 7 - 2

تطبيق 2

أثبت أن ارتفاعات المثلث جميعاً تتقاطع في نقطة واحدة.

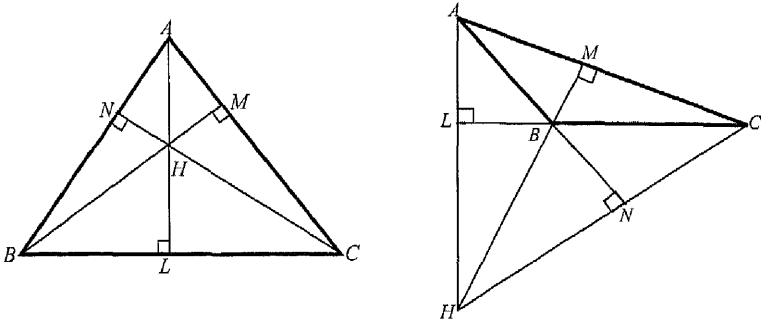
البرهان

في  $\triangle ABC$  ، ارتفاعات  $\overline{AL}, \overline{BM}, \overline{CN}$  ، يمكن تتبع البرهان التالي في الرسمين الموضحين في الشكل 8 - 2 لأن الإثبات يتحقق للمثلث الحاد الزوايا والمثلث المنفرج الزاوية على السواء .

$$\triangle ANC \sim \triangle AMB \Rightarrow \frac{AN}{MA} = \frac{AC}{AB} \quad (I)$$

$$\triangle BLA \sim \triangle BNC \Rightarrow \frac{BL}{NB} = \frac{AB}{BC} \quad (II)$$

$$\triangle CMB \sim \triangle CLA \Rightarrow \frac{CM}{LC} = \frac{BC}{AC} \quad (III)$$



شكل 8 - 2

بضرب (I)، (II)، (III) نحصل على :

$$\frac{AN}{MA} \cdot \frac{BL}{NB} \cdot \frac{CM}{LC} = \frac{AC}{AB} \cdot \frac{AB}{BC} \cdot \frac{BC}{AC} = 1$$

إذن من نظرية شيفا، ارتفاعات المثلث تتقاطع جميعاً في نقطة واحدة ●.

إثبات أن منصفات زوايا المثلث تتقاطع في نقطة واحدة تم تركه كتمرين ،

والبرهان التالي سيساعدك في حله.

### تطبيق 3

أثبت أن المنصف الداخلي لأي زاوية في مثلث غير متطابق الضلعين يتقاطع في

نقطة واحدة مع المنصفين الخارجيين للزاويتين الأخرين .

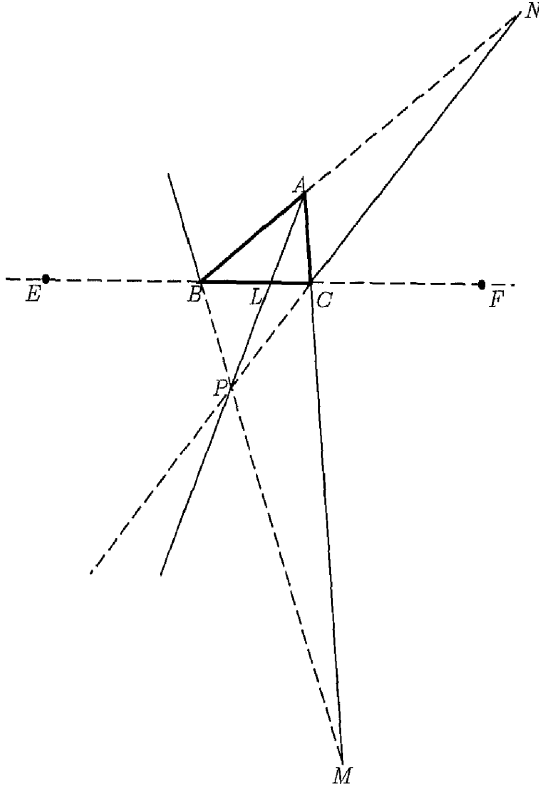
### البرهان

في  $\triangle ABC$ ،  $\overline{AL}$  ينصف  $\angle BAC$  ويقطع  $\overline{BC}$  في  $L$ ،  $\overline{BM}$  منصف

خارجي للزاوية  $\angle ABE$  ويقطع  $\overline{AC}$  في  $M$ ،  $\overline{CN}$  منصف خارجي للزاوية

$\angle ACF$  ويقطع  $\overline{AB}$  في  $N$  ( انظر الشكل 9-2).





شكل 9 - 2

لأن منتصف الزاوية الداخلية في المثلث  $\overline{AL}$  يقسم الضلع المقابل إلى جزأين متناسبين مع الضلعين الباقيين في المثلث أي أن:

$$\frac{BL}{LC} = \frac{AB}{AC} \quad (I)$$

المنصف الخارجي أيضاً يقسم الضلع الذي يقطعه إلى جزأين متناسبين مع الضلعين الباقيين في المثلث، وهذه الخاصية تعطينا التناسبين التاليين:

للمنصف  $\overline{BM}$ :

$$\frac{CM}{MA} = \frac{BC}{AB} \quad (\text{II})$$

للمنصف  $\overline{CN}$ :

$$\frac{AN}{NB} = \frac{AC}{BC} \quad (\text{III})$$

بضرب (I)، (II)، (III) نحصل على:

$$\frac{BL}{LC} \cdot \frac{CM}{MA} \cdot \frac{AN}{NB} = \frac{AB}{AC} \cdot \frac{BC}{AB} \cdot \frac{AC}{BC} = 1$$

من نظرية شيفا نستطيع استنتاج أن  $\overline{AL}$ ,  $\overline{BM}$ ,  $\overline{CN}$  تتقاطع جميعاً في نقطة واحدة. ●  
في بعض الأحيان، قد يأتي سؤال التقاطع في نقطة بصورة غير مباشرة، كما في التطبيق التالي.

#### تطبيق 4

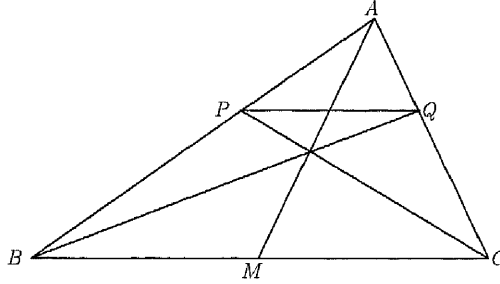
في  $\Delta ABC$ ،  $\overline{PQ} \parallel \overline{BC}$  ويقطع  $\overline{AB}$ ,  $\overline{AC}$  في  $P, Q$  على الترتيب (انظر الشكل 10-2). أثبت أن  $\overline{PC}$ ,  $\overline{QB}$  يتقاطعان في نقطة تقع على المتوسط  $\overline{AM}$ .

البرهان

لأن  $\overline{PQ} \parallel \overline{BC}$ ، فلدينا:

$$\frac{AP}{PB} = \frac{AQ}{QC} \Rightarrow \frac{AP}{PB} \cdot \frac{QC}{AQ} = 1 \quad (I)$$

ولأن  $\overline{AM}$  متوسط في المثلث، إذن  $BM = MC$  أو



شكل 10 - 2

$$\frac{BM}{MC} = 1 \quad (II)$$

فبضرب (I) و (II) نحصل على:

$$\frac{AP}{PB} \cdot \frac{QC}{AQ} \cdot \frac{BM}{MC} = 1$$

إذن، من نظرية شيفا  $\overline{AM}, \overline{QB}, \overline{PC}$  تتقاطع جميعاً في نقطة واحدة، أو

●  $\overline{AM}$  يتقاطعان في نقطة تقع على المتوسط  $\overline{AM}$ .

حتى هذه اللحظة فإن جميع التطبيقات السابقة احتاجت أن نثبت التقاطع في

نقطة، ولكن التطبيق التالي سيوضح استخداماً مختلفاً لنظرية شيفا.

## تطبيق 5

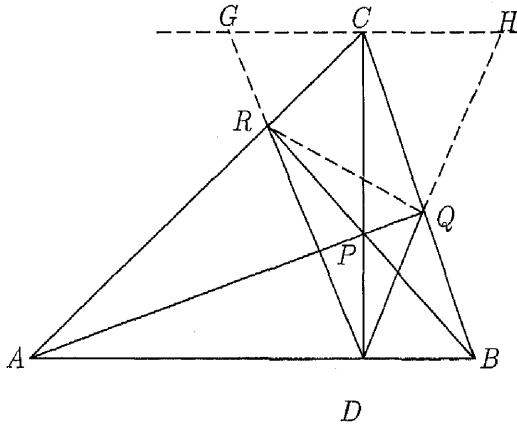
في  $\Delta ABC$  ،  $\overline{CD}$  ارتفاع على  $\overline{AB}$  أي نقطة تقع على  $\overline{DC} \cdot \overline{AP}$   
 تقطع  $\overline{BC}$  في  $Q$  ،  $\overline{BP}$  تقطع  $\overline{AC}$  في  $R$  ( انظر الشكل 11-2 ) . أثبت أن  
 $\angle RDC \cong \angle QDC$

## البرهان

نرسم  $\overline{DR}$  ،  $\overline{DQ}$  يقطعان الخط المستقيم المار بالنقطة  $C$  والموازي للضلع  $\overline{AB}$   
 في  $G, H$  على الترتيب لنجد أن

$$\Delta CGR \sim \Delta ADR \Rightarrow \frac{CR}{RA} = \frac{GC}{AD} \quad (\text{I})$$

$$\Delta BDQ \sim \Delta CHQ \Rightarrow \frac{BQ}{QC} = \frac{DB}{CH} \quad (\text{II})$$



شكل 11-2

والآن سنطبق نظرية شيفا على  $\Delta ABC$  لنحصل على

$$\frac{CR}{RA} \cdot \frac{AD}{DB} \cdot \frac{BQ}{QC} = 1 \quad (\text{III})$$

بالتعويض من (I), (II), (III) :

$$\frac{GC}{AD} \cdot \frac{AD}{DB} \cdot \frac{DB}{CH} = 1 \Rightarrow \frac{GC}{CH} = 1$$

أي أن  $GC = CH$  ، إذن  $\overline{CD}$  هو المنصف العمودي للقطعة المستقيمة  $\overline{GH}$  ، وعليه

فإن  $\Delta GCD \cong \Delta HCD$  ومنه فإن  $\angle RDC \cong \angle QDC$  ●

لقد رأينا في التطبيقات السابقة كيف يسرت لنا نظرية شيفا إثبات النظريات التي كان إثباتها معقداً. ومرة أخرى، توضح لنا نظرية شيفا أهميتها في مساعدتنا في إثبات نقطة تقاطع أخرى شيقة في المثلث تسمى نقطة جيرجون Gergonne point

### نقطة جيرجون Gergonne point

قدم الرياضي الفرنسي جوزيف - دياز جيرجون Joseph-Diaz Gergonne (١٧٧١ - ١٨٥٩م) نقطة تقاطع رائعة في المثلث. ويحتل جيرجون مكانة متميزة في تاريخ الرياضيات، وقد بدأت شهرته عام ١٨١٠م عندما أسس مجلة الرياضيات البحثية والتي كانت تسمى "دوريات الرياضيات البحثية والتطبيقية" Annales des mathematiques pures et appliqués ، وكانت تصدر شهرياً حتى عام ١٨٣٢م، وعرفت باسم مجلة جيرجون. وأثناء صدور المجلة قدم جيرجون حوالى مائتي بحث ومقال وخاصة في الهندسة. وقد لعبت مجلة جيرجون دوراً مهماً في تأسيس الهندسة الإسقاطية والهندسة الجبرية، وأعطت الفرصة للعقول العظيمة في ذلك الوقت لتبادل المعلومات.

وسندرس هنا نظرية بسيطة نوعاً ما قدمها جيرجون حول التقاطع في نقطة،  
ومن السهل إثباتها بنظرية شيفا.

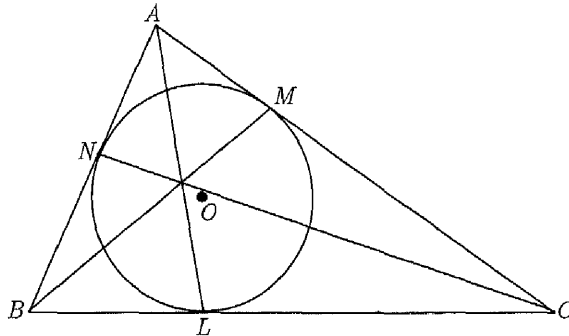
الخطوط المستقيمة المارة برؤوس المثلث ونقاط تماس الدائرة  
الداخلية له الواقعة على أضلاع المثلث المقابلة لكل رأس تتقاطع  
جميعاً في نقطة واحدة. ( هذه النقطة يطلق عليها اسم نقطة  
جيرجون Gergonne point للمثلث ).

نظرية 2-2

البرهان

الدائرة  $O$  تمس أضلاع المثلث  $\overline{AB}, \overline{AC}, \overline{BC}$  في النقاط  $N, M, L$  على الترتيب (انظر  
الشكل 12 - 2). ومن ذلك نستنتج المساويات  $AN = AM, BL = BN, CM = CL$   
والتي يمكن  
صياغتها على الصورة:

$$\frac{AN}{AM} = 1, \frac{BL}{BN} = 1, \frac{CM}{CL} = 1$$



شكل 2 - 12

ويضرب النسب الثلاث السابقة، نحصل على:

$$\frac{AN}{AM} \cdot \frac{BL}{BN} \cdot \frac{CM}{CL} = 1 \Leftrightarrow \frac{AN}{BN} \cdot \frac{BL}{CL} \cdot \frac{CM}{AM} = 1$$

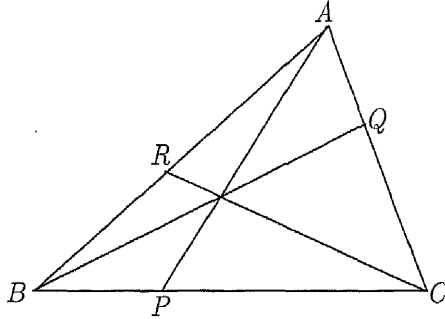
من نظرية شيفا، المتساوية السابقة تؤدي إلى أن  $\overline{AL}, \overline{BM}, \overline{CN}$  تتقاطع في نقطة واحدة هي نقطة جيرجون للمثلث  $ABC$ .

### تدريبات

1. أثبت أن منصفات زوايا المثلث الداخلية تتقاطع في نقطة واحدة.
2. تقع النقطة  $P$  على الضلع  $\overline{BC}$  بحيث  $AB + BP = AC + CP$ ، وتقع النقطة  $Q$  على الضلع  $\overline{AC}$  بحيث  $BC + CQ = AB + AQ$ ، وكذلك تقع النقطة  $R$  على الضلع  $\overline{AB}$  بحيث  $AB + BP = AC + CP$ . أثبت أن  $\overline{AP}, \overline{BQ}, \overline{CR}$  تتقاطع جميعاً في نقطة واحدة. (انظر الشكل 13-2). (تُعرف نقطة التقاطع هذه بنقطة ناجل \* Nagel point للمثلث  $ABC$ ).

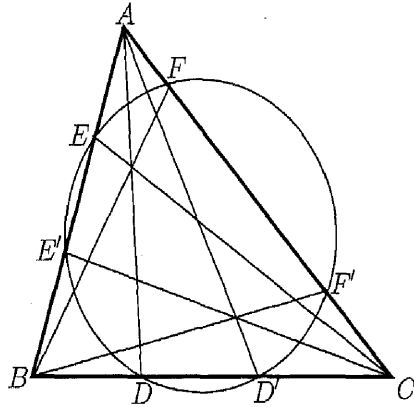
---

\* اكتشفها ناجل C. H. Nagel (١٨٠٣ - ١٨٨٢ م)، وهذه النقطة أيضاً يمكن وصفها على أنها نقطة تقاطع المستقيمات المارة برؤوس مثلث ونقاط تماس الدوائر الخارجية للمثلث الواقعة على الأضلاع المقابلة لها في المثلث (الدائرة الخارجية للمثلث هي الدائرة التي تمس أحد أضلاع المثلث من الخارج وتمس امتداد الضلعين الآخرين).



شكل 2-13

3. على الشكل (2-14)، المثلث  $ABC$  يقطع الدائرة في النقاط  $E, E', D, D', F, F'$ . أثبت أنه إذا تقاطع كل من  $AD, BF, CE$  في نقطة واحدة، فإن  $AD', BF', CE'$  تقاطع في الأخرى في نقطة واحدة.

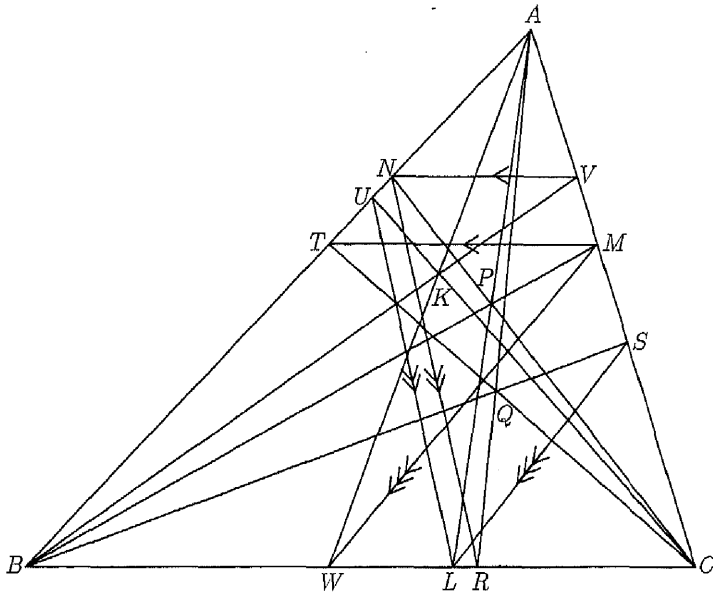


شكل 2-14

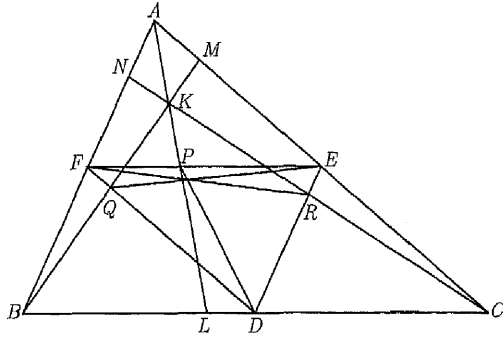
4. في المثلث  $ABC$  (الشكل 2-15)،  $\overline{AL}, \overline{BM}, \overline{CN}$  تقاطع في النقطة  $P$ . النقاط  $L, S, T$  تقع على  $\overline{BC}, \overline{AC}, \overline{AB}$  على الترتيب، بحيث  $\overline{LS} \parallel \overline{AB}$ ،  $\overline{NR} \parallel \overline{AC}$ ،  $\overline{MT} \parallel \overline{BC}$ . أثبت أن  $\overline{AR}, \overline{BS}, \overline{CT}$  تقاطع في نقطة (عند النقطة  $Q$ ).



5. في المثلث  $ABC$  (الشكل 2-15)  $\overline{AL}, \overline{BM}, \overline{CN}$  تتقاطع في النقطة  $P$ . النقاط  $U, V, W$  تقع على  $\overline{AB}, \overline{AC}, \overline{BC}$  على الترتيب، بحيث  $\overline{MW} \parallel \overline{AB}$ ،  $\overline{LU} \parallel \overline{AC}$ ،  $\overline{NV} \parallel \overline{BC}$ . أثبت أن  $\overline{AW}, \overline{BV}, \overline{CU}$  تتقاطع في نقطة (عند النقطة  $K$ ).
6. في المثلث  $ABC$  (الشكل 2-16)  $\overline{AL}, \overline{BM}, \overline{CN}$  تتقاطع في النقطة  $K$ . النقاط  $L, M, N$  تقع على  $\overline{BC}, \overline{AC}, \overline{AB}$  على الترتيب، والنقاط  $P, R, Q$  منتصفات  $\overline{AL}, \overline{CN}, \overline{BM}$ . أثبت أن  $\overline{DP}, \overline{EQ}, \overline{FR}$  تتقاطع في نقطة إذا كانت النقاط  $D, E, F$  منتصفات  $\overline{BC}, \overline{AC}, \overline{AB}$  على الترتيب.

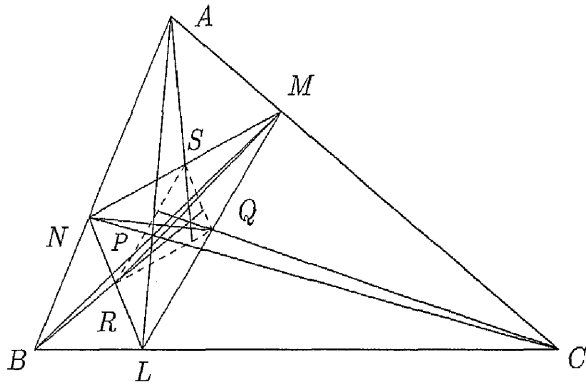


شكل 2-15



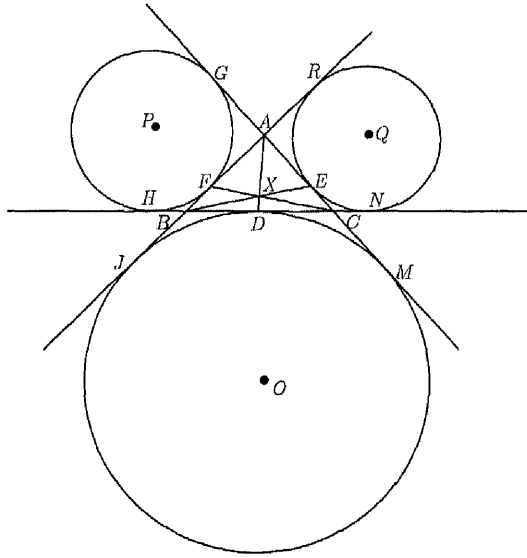
شكل 2 - 16

7. في المثلث  $ABC$  (الشكل 2-17)  $\overline{AL}, \overline{BM}, \overline{CN}$  تتقاطع في النقطة  $P$ . النقاط  $S, Q, R$  منتصفات  $\overline{MN}, \overline{ML}, \overline{NL}$ . أثبت أن  $\overline{AS}, \overline{BR}, \overline{CQ}$  تتقاطع في نقطة.



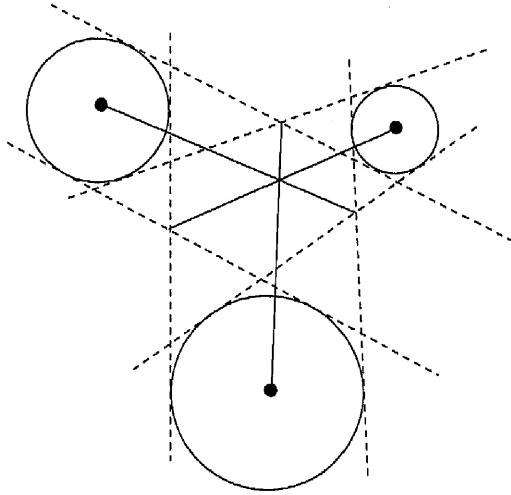
شكل 2 - 17

8. في المثلث  $ABC$  (الشكل 2-17)،  $\overline{AL}, \overline{BM}, \overline{CN}$  تتقاطع في النقطة  $P$ . النقاط  $S, Q, R$  تقع على  $\overline{MN}, \overline{ML}, \overline{NL}$  على الترتيب. إذا تقاطعت  $\overline{LS}, \overline{MR}, \overline{NQ}$  في نقطة واحدة، فأثبت أن  $\overline{AS}, \overline{BR}, \overline{CQ}$  تتقاطع في نقطة.
9. الدوائر  $P, O, Q$  خارجية بالنسبة للمثلث  $ABC$  (أي تمس أحد أضلاعه وامتداد الضلعين الآخرين)، و تمس أضلاعه في النقاط الموضحة بالشكل 2-18. أثبت أن  $\overline{AD}, \overline{BE}, \overline{CF}$  تتقاطع في نقطة واحدة.



شكل 2-18

10. ثلاث دوائر مختلفة غير متداخلة ولا متقاطعة، يصل بين كل دائرتين مشني مشني مماسان خارجيان مشتركين يتقاطعان في نقطة (كما في الشكل 2-19). أثبت أن المستقيمات التي تمر بمراكز هذه الدوائر ونقاط تقاطع المماسات تتقاطع في نقطة واحدة.



شكل 19 - 2



## نقاط على استقامة واحدة

### الثنوية Duality

في الهندسة الإقليدية، هناك أوضاع كثيرة تظهر فيها علاقات بين النقاط والمستقيمات، وفي الحالة التي تتعلق بشأن النقاط والمستقيمات في المستوى، عندما نضع كلمة نقطة محل كلمة مستقيم وكلمة مستقيم محل كلمة نقطة في العبارات التي نستخدم فيها هاتين الكلمتين، فإن العبارة الجديدة يقال عنها إنها ثنوية العبارة الأصلية. وفي بعض الأحيان قد تحتاج العبارة إلى بعض التعديلات لتحافظ على بنيتها الرياضية السليمة.

وقد اكتشف تشارلز جوليان براينشون ( ١٧٨٥ - ١٨٦٤ ) Charles Julien

Brianchon مبدأ الثنوية أو المقابلة أثناء استخدام هذه العلاقة على نظرية باسكال، وسوف نتطرق إلى هذه النظريات لاحقاً في هذا الفصل. وعند انتقالنا من الفصل الثاني إلى الفصل الثالث سنأخذ في اعتبارنا مبدأ الثنوية أو المقابلة؛ وذلك لأن التقاطع في نقطة بالنسبة للمستقيمتين يقابل وضع نقاط على استقامة واحدة بالنسبة للنقاط. إن المقصد الأول من هذا الفصل هو وقوع نقاط على استقامة واحدة. دعونا أولاً نقدم مثلاً على مبدأ الثنوية أو المقابلة.

## العبارة المقابلة

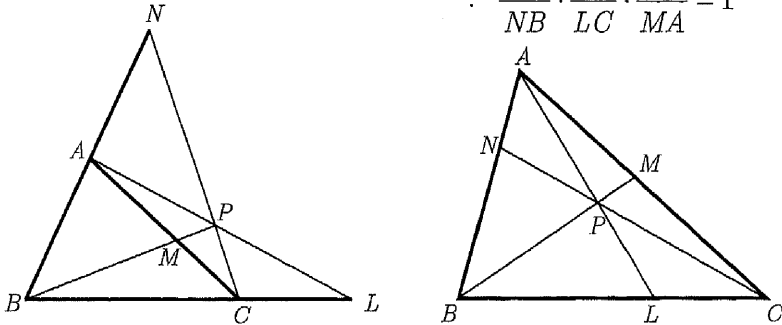
## العبارة

- ١- أي مستقيمين مختلفين (غير متوازيين ولا متطابقين) يعينان نقطة وحيدة .  
 ٢- أي مستقيم يحوي عدداً غير منتهٍ من النقاط .  
 ٣- بثلاثة مستقيمات غير ملتقية في نقطة واحدة نحصل على ثلاثي أضلاع وحيد.

- ١- أي نقطتين مختلفتين (غير متطابقتين) تعينان مستقيماً وحيداً .  
 ٢- أي نقطة تحوي عدداً غير منتهٍ من المستقيمات .  
 ٣- بثلاث نقاط ليست على استقامة واحدة نحصل على مثلث وحيد.

المثال الأخير يوضح أننا يجب أن نعدل قليلاً عند صياغة العبارة المقابلة ؛ ولذا ، وعلى وجه التحديد نجد أن " التقاطع في نقطة واحدة concurrent " يقابل " نقاط على استقامة واحدة collinear " كما في لفظ " مثلث " triangle ، والمقابل لها لفظ " ثلاثي أضلاع " trilateral .  
 والآن دعونا نستدعي نظرية شيفا مرة أخرى ( انظر الشكل 1 - 3 ) والتي تنص على أنه " إذا كان لدينا ثلاثة مستقيمات تحوي الرؤوس  $A, B, C$  من المثلث  $ABC$  ، وتقطع الأضلاع المقابلة في النقاط  $L, M, N$  على الترتيب ، فإنها تتقاطع في نقطة واحدة إذا فقط إذا كان

$$\frac{AN}{NB} \cdot \frac{BL}{LC} \cdot \frac{CM}{MA} = 1$$



شكل 1-3

وقبل ذلك ، نستطيع أن نقول إنه في معظم الأحيان فإن ثنوية (مقابل) المسلمة هو أيضاً مسلمة ، وأن ثنوية (مقابل) التعريف هو أيضاً تعريف ، وبالتالي في معظم الأحيان أيضاً ، فإنه إذا كانت العبارة نظرية ، فإن ثنويتها (مقابلها) بالمثل هو نظرية\* .

و على أي حال ، فنحن في النهاية نود أن نمتلك عبارة تكون مؤهلة لتصبح نظرية. على وجه التحديد ، ماذا نريد أن نبحث هنا؟ مع معرفتنا بمبدأ الثنوية ، سنحاول صياغة العبارة المقابلة لنظرية شيفا ، والتي هي في الواقع إعادة اكتشاف للنظرية المهملة للرياضي الإسكندري المعروف منيلوس Menelaus\*\* والتي سوف نناقشها في الجزء القادم ، وهي التي قادت جيوفاني شيفا لاستنتاج نظريته التي ظهرت في كتابه الأول ( ميلانو ١٦٧٨ ) بواسطة مبدأ الثنوية - لاحظ نظرية منيلوس التالية وعلاقة التقابل بين النظريتين .

النقاط الثلاث  $P, Q, R$  والتي تقع على الترتيب على الأضلاع  $\overline{AC}, \overline{AB}, \overline{BC}$  في المثلث  $ABC$  ( انظر الشكل 2-3 ) تكون على استقامة واحدة إذا وفقط إذا كان : \*\*\*

$$\frac{AQ}{QB} \cdot \frac{BR}{RC} \cdot \frac{CP}{PA} = -1$$

### نظرية منيلوس Menelaus's Theorem

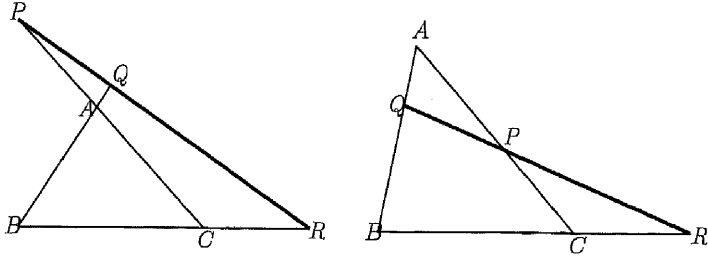
قدم منيلوس الإسكندري ( ١٠٠ بعد الميلاد ) في عمله الذي يحمل عنوان " الكروية " نظريته المعروفة والتي نقدمها هنا ، مطبقاً ذلك في المستوى أولاً ، بغرض تطوير أطروحته الأصلية على الأشكال

\* يتفرد النظام الهندسي بأنه يستند إلى مسلمات وتعريف ، وتكون ثنوية تلك العبارات كلها صحيحة ، وثنوية كل نظرية هي أيضاً صحيحة ، ويبرر ذلك الادعاء أن برهان ثنوية النظرية يتم استنتاجه بسهولة باستبدال كل عبارة في هذا البرهان بالعبارة الثنوية لها (المقابلة لها) في النظرية الأصلية.

\*\* في العصور المظلمة ، كثير من الرياضيات اليونانية التقليدية فقدت ونسيت.

\*\*\* سيتم توضيح سبب وجود الإشارة السالبة عند شرح إثبات النظرية.





شكل 3-2

الكروية\*، وكما ذكرنا فإن هذه النظرية التي تحمل اسم منيلوس لم تدخل حيز الشهرة قبل إعادة إحيائها بواسطة جيوفاني شيفا كجزء من عمله في عام ١٦٧٨ م.

(نظرية منيلوس) النقاط الثلاث  $P, Q, R$  والتي تقع على الترتيب على الأضلاع  $\overline{AC}, \overline{AB}, \overline{BC}$  في المثلث  $ABC$  (انظر لشكل 3-2) تكون على استقامة واحدة إذا وفقط إذا كان

$$\frac{AQ}{QB} \cdot \frac{BR}{RC} \cdot \frac{CP}{PA} = -1$$

كما في نظرية شيفا، فإننا نحتاج أن نتحرك في اتجاهين عند الإثبات، فلدينا عبارتان وسنستخدم واحدة للوصول إلى الأخرى ثم العكس، وسنبداً أولاً بإثبات أنه

$$\frac{\sin \widehat{AQ}}{\sin \widehat{QB}} \cdot \frac{\sin \widehat{BR}}{\sin \widehat{RC}} \cdot \frac{\sin \widehat{CP}}{\sin \widehat{PA}} = -1 : \text{ABC المثلث الكروي 3-1 في الصورة الكروية المناظرة لنظرية 1-3}$$

نظرية 1-3

إذا كانت النقاط  $P, Q, R$  تقع على الترتيب على الأضلاع  $\overline{AC}, \overline{AB}, \overline{BC}$  في

$$\frac{AQ}{QB} \cdot \frac{BR}{RC} \cdot \frac{CP}{PA} = -1 \text{ فإن استقامة على المثلث } ABC \text{ تكون على استقامة فإن}$$

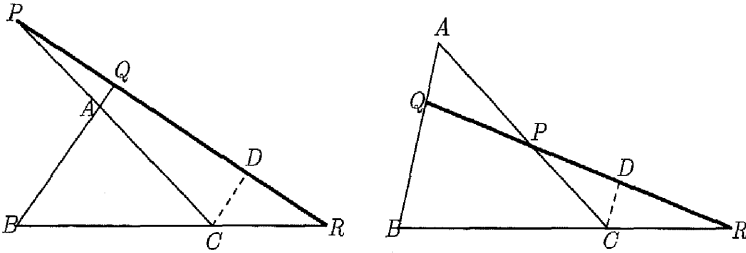
### البرهان I

نرسم من النقطة  $C$  المستقيم  $\overline{CD}$  يوازي  $\overline{AB}$  ويقطعه في  $D$  ( انظر الشكل

3-3 ).

$$\Delta DCR \sim \Delta QBR \Rightarrow \frac{DC}{QB} = \frac{RC}{BR} \quad \text{or} \quad DC = \frac{(QB)(RC)}{BR} \quad (\text{I})$$

$$\Delta PDC \sim \Delta PQA \Rightarrow \frac{DC}{AQ} = \frac{CP}{PA} \quad \text{or} \quad DC = \frac{(AQ)(CP)}{PA} \quad (\text{II})$$



شكل 3-3

من (I), (II) نحصل على :

$$\frac{(QB)(RC)}{BR} = \frac{(AQ)(CP)}{PA} \quad \text{or} \quad (QB)(RC)(PA) = (AQ)(CP)(BR)$$

وهذا يعني أن :

$$\frac{AQ}{QB} \cdot \frac{BR}{RC} \cdot \frac{CP}{PA} = 1$$

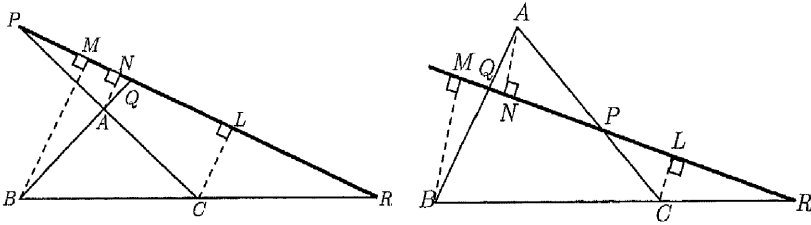
باتخاذ الاتجاه في الاعتبار في الرسم الأيسر من الشكل 3-3 سنرى أن النسب

هي  $\frac{BR}{RC}$  ،  $\frac{AQ}{QB}$  ،  $\frac{CP}{PA}$  كلها سالبة بينما على الرسم الأيمن سنجد أن النسبة  $\frac{BR}{RC}$

النسبة الوحيدة السالبة ؛ ولذا ففي الحالتين عدد فردي من النسب السالبة أي أن

$$\bullet \frac{AQ}{QB} \cdot \frac{BR}{RC} \cdot \frac{CP}{PA} = -1$$

## البرهان II



شكل 3-4

مرة ثانية، سنبدأ بفرض أن النقاط  $P, Q, R$  تقع على استقامة واحدة، ثم نرسم  $\overline{BM} \perp \overline{PR}$ ,  $\overline{AN} \perp \overline{PR}$  وكذلك نرسم  $\overline{CL} \perp \overline{PR}$  (انظر الشكل 3-4).

$$\Delta BMQ \sim \Delta ANQ \Rightarrow \frac{AQ}{QB} = \frac{AN}{BM} \quad (I)$$

$$\Delta LCP \sim \Delta NAP \Rightarrow \frac{CP}{PA} = \frac{LC}{AN} \quad (II)$$

$$\Delta MRB \sim \Delta LRC \Rightarrow \frac{BR}{RC} = \frac{BM}{LC} \quad (III)$$

من (I), (II), (III) نحصل على :

$$\frac{AQ}{QB} \cdot \frac{CP}{PA} \cdot \frac{BR}{RC} = \frac{AN}{BM} \cdot \frac{LC}{AN} \cdot \frac{BM}{LC} = 1$$

في الرسم الأيسر من الشكل 4 - 3 سنرى أن  $\frac{AQ}{QB}$  نسبة سالبة وكذلك  $\frac{CP}{PA}$ ,  $\frac{BR}{RC}$

نسبتان سالبتان، إذن :

$$\frac{AQ}{QB} \cdot \frac{BR}{RC} \cdot \frac{CP}{PA} = -1$$

وفي الرسم الأيمن من الشكل 4 - 3 سنرى أن  $\frac{AQ}{QB}$ ,  $\frac{CP}{PA}$  نسبتان موجبتان بينما

$\frac{AQ}{QB}$  نسبة سالبة، إذن :

$$\frac{AQ}{QB} \cdot \frac{BR}{RC} \cdot \frac{CP}{PA} = -1 \bullet$$

لإكمال برهان نظرية منيلوس علينا أن نثبت عكس ما أثبتناه سابقاً، أي سنثبت الآن أنه إذا كانت النقاط الثلاث  $P, Q, R$  تقع على المستقيمات  $\overline{AC}, \overline{AB}, \overline{BC}$  على

الترتيب بحيث  $\frac{AQ}{QB} \cdot \frac{BR}{RC} \cdot \frac{CP}{PA} = -1$ . فإن  $P, Q, R$  تقع على استقامة واحدة.

البرهان

في الشكل 2 - 3 نفرض أن المستقيم الذي تقع عليه النقطتان  $R, Q$  يقطع  $\overline{AC}$  في النقطة  $P'$ ، ويمكننا استخدام الجزء الذي أثبتناه في النظرية آنفاً. نعلم أن :

$$\frac{AQ}{QB} \cdot \frac{BR}{RC} \cdot \frac{CP'}{P'A} = -1$$

ولكن لدينا الفرضية ( المعطى ) التي تقول :

$$\frac{AQ}{QB} \cdot \frac{BR}{RC} \cdot \frac{CP}{PA} = -1$$

إذن  $\frac{CP'}{P'A} = \frac{CP}{PA}$  ، أي أن النقطة  $P$  تنطبق على النقطة  $P'$  ، وهذا يثبت وقوع

النقاط الثلاث على استقامة واحدة . ●

ستوفر لنا نظرية منيلوس طريقاً مفيداً لإثبات وقوع ثلاث نقاط على استقامة واحدة .

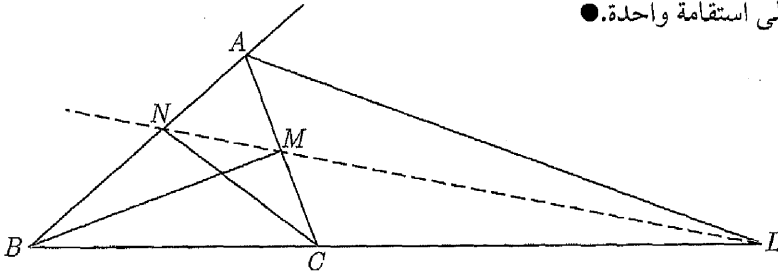
### تطبيقات على نظرية منيلوس

قبل بحث النظريات المشهورة التي نستخدم نظرية منيلوس في إثباتها، سنقوم بدراسة بعض تطبيقات هذه النظرية، حيث كل من هذه التطبيقات التي لا تحمل أسماء ستقدم لنا بعض النتائج القليلة الشيقة، والتي يمكن بسهولة إثباتها بواسطة نظرية منيلوس .

#### تطبيق 1

أثبت أن المنصفين الداخليين لزاويتين في مثلث مختلف الأضلاع، والمنصف الخارجي للزاوية الثالثة من نفس المثلث تلاقي الأضلاع المقابلة في ثلاث نقاط تقع

على استقامة واحدة. ●



شكل 5-3

## البرهان

في المثلث  $ABC$ ،  $BM, CN$  منصفان داخليان للزاويتين  $\angle ABC, \angle ACB$ ،  $AL$  منصف خارجي للزاوية الثالثة عند النقطة  $A$  (انظر الشكل 3-5). ولأن منصف الزاوية (الداخلي أو الخارجي) يجزئ الضلع المقابل

إلى جزأين يتناسبان مع ضلعي المثلث الآخرين. من ذلك نحصل على

$$\frac{AM}{MC} = \frac{AB}{BC}, \frac{BN}{NA} = \frac{BC}{AC}, \frac{CL}{BL} = \frac{AC}{AB}$$

بالضرب نحصل على:

$$\frac{AM}{MC} \cdot \frac{BN}{NA} \cdot \frac{CL}{BL} = \frac{AB}{BC} \cdot \frac{BC}{AC} \cdot \frac{AC}{AB} = 1$$

وبما أن  $\frac{CL}{BL} = \frac{-CL}{LB}$ ، فإن:

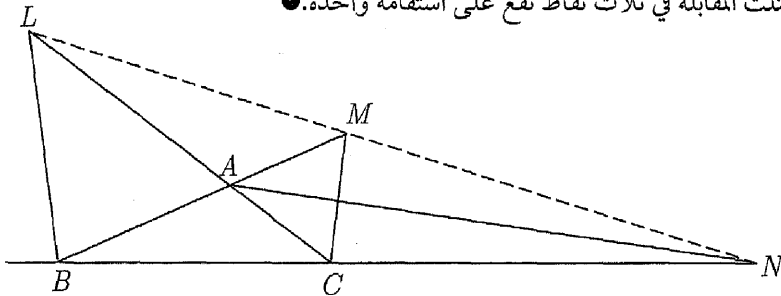
$$\frac{AM}{MC} \cdot \frac{BN}{NA} \cdot \frac{CL}{BL} = -1$$

إذن من نظرية منيلوس، النقاط  $P, Q, R$  تقع على استقامة واحدة.

## تطبيق 2

أثبت أن المنصفات الخارجية لزاوية مثلث مختلف الأضلاع تلاقى أضلاع نفس

المثلث المقابلة في ثلاث نقاط تقع على استقامة واحدة. ●



شكل 3-6

## البرهان

في المثلث  $ABC$ ، المنصفات الخارجية للزوايا عند الرؤوس  $A, B, C$  تلاقي أضلاع المثلث أو امتداداتها في  $N, L, M$  على الترتيب (انظر الشكل 6-3). ولأن منصف الزاوية (الداخلي أو الخارجي) يجزئ الضلع المقابل إلى جزأين يتناسبان مع ضلعي المثلث الآخرين؛ إذن:

$$\frac{CL}{AL} = \frac{BC}{AB}, \frac{AM}{BM} = \frac{AC}{BC}, \frac{BN}{CN} = \frac{AB}{AC}$$

أي أن:

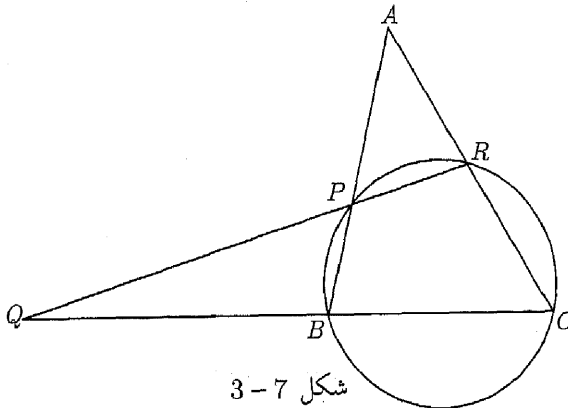
$$\frac{CL}{AL} \frac{AM}{BM} \frac{BN}{CN} = \frac{BC}{AB} \frac{AC}{BC} \frac{AB}{AC} = -1 \quad (\text{لأن كل النسب سالبة})$$

وعليه؛ فمن نظرية منيلوس، النقاط  $P, Q, R$  تقع على استقامة واحدة.

## تطبيق 3

إذا كان لدينا دائرة تمر بالرأسين  $B, C$  في المثلث  $ABC$ ، وتقطع كلاً من  $\overline{AB}, \overline{AC}$  في  $P, R$  على الترتيب، و  $\overrightarrow{PR}$  يلاقي  $\overline{BC}$  في النقطة  $Q$ ، فأثبت أن

$$\bullet \frac{QC}{QB} = \frac{(RC)(AC)}{(PB)(AB)}$$



شكل 3-7

## البرهان

في المثلث  $ABC$ ، حيث  $\overline{QPR}$  قاطع لأضلاعه (انظر الشكل 7-3)،  
وباستخدام نظرية منيلوس  $-\frac{RC}{AR} \cdot \frac{AP}{PB} \cdot \frac{QB}{CQ} = -1$ ، وبأخذ القيمة المطلقة نحصل

على

$$\frac{QC}{QB} = \frac{RC}{AR} \cdot \frac{AP}{PB} \quad (I)$$

ولكن  $(AP)(AB) = (AR)(AC)$ . (إذا تقاطع قاطعان لدائرة في نقطة خارجها، فإن حاصل ضرب القاطع الأول في جزئه الخارج عن الدائرة يساوي القاطع الثاني في جزئه الخارج عن الدائرة). إذن،

$$\frac{(AP)}{(AR)} = \frac{(AC)}{(AB)} \quad (II)$$

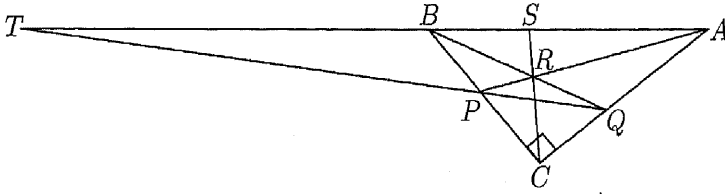
$$\bullet \frac{QC}{QB} = \frac{(RC)(AC)}{(PB)(AB)} \text{ نحصل على (I) في (II)}$$

غالباً ما نحتاج نظرية منيلوس ومقابلها نظرية شيفا لحل المشكلات أو إثبات النظريات.  
التطبيق التالي يؤكد ذلك.

## تطبيق 4

في المثلث القائم  $ABC$ ، النقطتان  $P, Q$  تقع على  $\overline{BC}, \overline{AC}$  على الترتيب،  
بحيث  $CP = CQ = 2$ ، تتقاطع القطعتان  $\overline{BQ}, \overline{AP}$  في النقطة  $R$ ، رسمنا  $\overline{CR}$   
يمر بالرأس  $C$  وبالنقطة  $R$  ويقطع  $\overline{AB}$  في  $S$ ، ورسمنا  $\overline{QP}$  يقطع  $\overline{AB}$  في  $T$ ،  
فإذا كان طول الوتر  $AB = 10$ ،  $AC = 8$ . أوجد  $TS$ . (الشكل 8-3).





شكل 8-3

## البرهان

في المثلث القائم  $ABC$  ، طول الوتر  $AB = 10$  ،  $AC = 8$  ، إذن بتطبيق نظرية فيثاغورس  $BC = 6$  ، وكذلك في نفس المثلث ، بتطبيق نظرية شيفا حيث  $\overline{AP}, \overline{BQ}, \overline{CS}$  تتقاطع في نقطة . إذن :

$$\frac{AQ}{QC} \cdot \frac{CP}{PB} \cdot \frac{BS}{SA} = 1$$

بالتعويض نحصل على :

$$\frac{6}{2} \cdot \frac{2}{4} \cdot \frac{BS}{10 - BS} = 1 \Rightarrow BS = 4$$

والآن ، بما أن  $QPT$  قاطع للمثلث  $ABC$  ، وبتطبيق نظرية ميلوس :

$$\frac{AQ}{QC} \cdot \frac{CP}{PB} \cdot \frac{BT}{TA} = -1$$

ولأننا لا نتعامل مع قطع مستقيمة موجهه ، نستطيع صياغة العلاقة السابقة كالتالي :

$$(AQ) \cdot (CP) \cdot (BT) = (QC) \cdot (PB) \cdot (TA)$$

بالتعويض نجد أن :

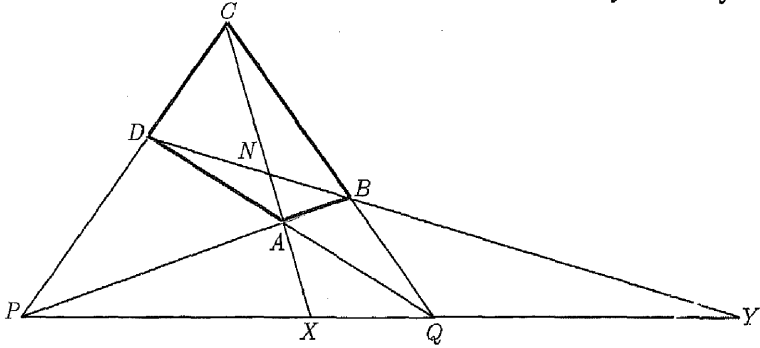
$$(6) \cdot (2) \cdot (BT) = (2) \cdot (4) \cdot (BT + 10)$$

●.  $BT = 20 \Rightarrow TS = 24$  ، إذن

## تطبيق 5

في الشكل الرباعي  $ABCD$ ، يتقاطع كل من  $\overline{AB}$ ،  $\overline{CD}$  في  $P$  بينما يتقاطع القطران  $\overline{AC}$ ،  $\overline{BD}$  يقطعان  $\overline{PQ}$  في  $X, Y$  على الترتيب. أثبت أن

$$\bullet \cdot \left( \text{انظر الشكل 3-9} \right) \cdot \frac{PX}{XQ} = -\frac{PY}{YQ}$$



شكل 3-9

البرهان

بتطبيق نظرية شيفا في المثلث  $PQC$  حيث  $\overline{PB}$ ،  $\overline{QD}$ ،  $\overline{CX}$  تتقاطع في نقطة، إذن :

$$\frac{PX}{XQ} \cdot \frac{QB}{BC} \cdot \frac{CD}{DP} = 1 \quad (\text{I})$$

والآن بما أن  $\overline{DBY}$  قاطع للمثلث  $PQC$  وتطبيق نظرية مينيلوس :

$$\frac{PY}{YQ} \cdot \frac{QB}{BC} \cdot \frac{CD}{DP} = -1 \quad (\text{II})$$

من (I)، (II) نحصل على :

$$\bullet \cdot \frac{PX}{XQ} = -\frac{PY}{YQ}$$

والآن دعونا ندرس بعض النظريات الشهيرة والتي نستطيع إثباتها باستخدام نظرية منيلوس.

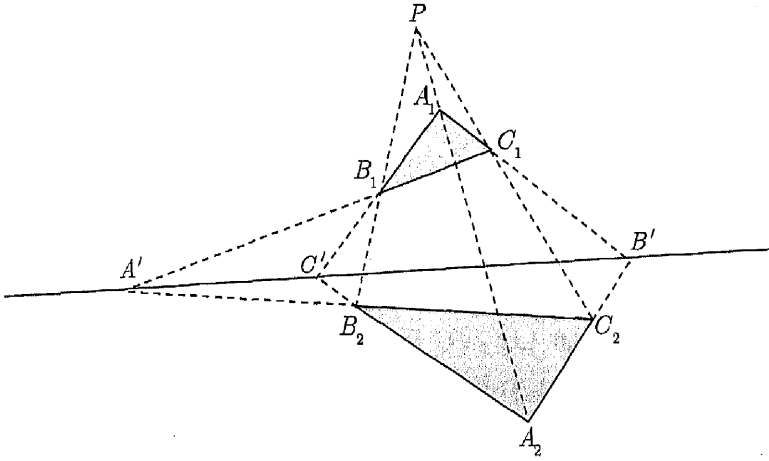
### نظرية ديزارغ Desargues's Theorem

لم يحظ جيرارد ديزارغ (١٥٩١-١٦٦١) Gerard Desargues طوال حياته بالاهتمام مثلما حظي به آخر حياته. وكانت قلة شعبيته تلك ترجع في جزء منها لتطوير الهندسة التحليلية على يد رينيه ديكارت (١٥٩٦ - ١٦٥٠) Rene Descartes، وبالإضافة إلى ذلك، كان في أطروحات ديزارغ الكثير من المصطلحات الجديدة غير المألوفة إلى حد كبير. (وبالنسبة نحن نبذل قصارى جهدنا لتلافي أي مصطلحات أو مسميات جديدة في هذا الكتاب. إننا نريد أن نتعلم مما حصل للعالم ديزارغ).

وفي العام ١٦٤٨م، طبع تلميذه في درجة الماجستير أبراهام بوس Abraham Boss كتاباً بعنوان "طريقة ديزارغ العالمية للتدريب على التنظير" Maniere universelle de M.Desargues, pour pratiquer la perspective والذي لم ينتشر إلا بعد قرنين. وقد احتوى هذا الكتاب على نظرية أصبحت واحدة من المقترحات الأساسية للهندسة الإسقاطية في القرن التاسع عشر. وهذه النظرية هي التي تهمننا هنا والتي تنطوي على وضع أي مثلثين في وضع يتيح لثلاثة مستقيمتان تمر بالرؤوس المتناظرة في المثلثين أن تتقاطع في نقطة واحدة بحيث يتحقق أن كل ضلعين متناظرين في المثلثين يتقاطعان في ثلاث نقاط على استقامة واحدة. وسوف نثبت نظرية ديزارغ بواسطة نظرية منيلوس.

## نظرية 2-3

إذا تم وضع  $\Delta A_1 B_1 C_1, \Delta A_2 B_2 C_2$  بحيث كانت المستقيمات  $\overline{A_1 A_2}, \overline{B_1 B_2}, \overline{C_1 C_2}$  والتي تمر برؤوسهما المتناظرة تتقاطع في نقطة واحدة، فإن أزواج الأضلاع المتناظرة فيهما تتقاطع في ثلاث نقاط تقع على استقامة واحدة.



شكل 10 - 3

البرهان

في الشكل 10-3 تلتقي المستقيمات  $\overleftrightarrow{A_1 A_2}, \overleftrightarrow{B_1 B_2}, \overleftrightarrow{C_1 C_2}$  في نقطة واحدة ولكن  $P$ ، وبفرض  $\overleftrightarrow{C_1 B_1}, \overleftrightarrow{C_2 B_2}$  تلتقي في نقطة  $A'$ ، و  $\overleftrightarrow{C_1 A_1}, \overleftrightarrow{C_2 A_2}$  تلتقي في نقطة  $B'$ ، و  $\overleftrightarrow{B_1 A_1}, \overleftrightarrow{B_2 A_2}$  تلتقي في نقطة  $C'$ . وباستخدام نظرية منيولوس حيث  $\overleftrightarrow{A' B' C'}$  قاطع لأضلاع المثلث  $PB_2 C_2$  نحصل على :

$$\frac{PB_1}{B_1B_2} \cdot \frac{B_2A'}{A'C_2} \cdot \frac{C_2C_1}{C_1P} = -1 \quad (I)$$

بالمثل  $\overline{C'B_1A_1}$  قاطع للأضلاع المثلث  $PB_2A_2$  ، إذن

$$\frac{PA_1}{A_1A_2} \cdot \frac{A_2C'}{C'B_2} \cdot \frac{B_1B_2}{B_1P} = -1 \quad (II)$$

وكذلك  $\overline{B'A_1C_1}$  قاطع للمثلث  $PA_2C_2$  ، إذن

$$\frac{PC_1}{C_1C_2} \cdot \frac{C_2B'}{B'A_2} \cdot \frac{A_1A_2}{A_1P} = -1 \quad (III)$$

بضرب (I), (II), (III) نحصل على :

$$\frac{B_2A'}{A'C_2} \cdot \frac{A_2C'}{C'B_2} \cdot \frac{C_2B'}{B'A_2} = -1$$

وهذا يحقق نظرية ميلوس على المثلث  $C_2B_2A_2$  ، ويجعل النقاط  $C', B', A'$  على

● استقامة واحدة.

جدير بالملاحظة أن عكس نظرية ديزارغ هو أيضاً صحيح ، فهو المفهوم الثنوي

لنظرية الأصلية ، ولكننا سنترك إثبات ذلك تمريناً.

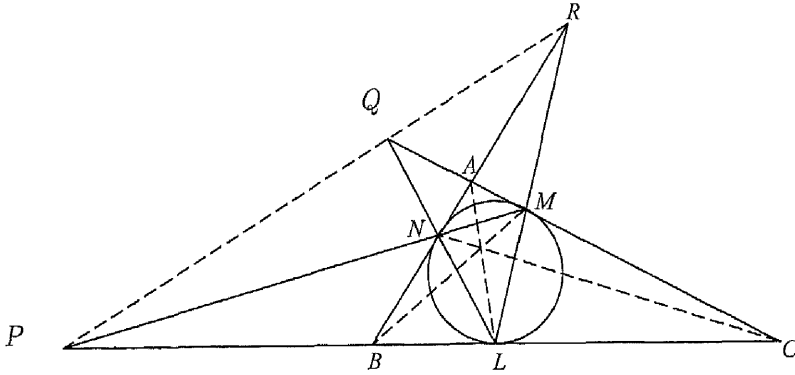
ولتقدير قيمة نظرية ديزارغ ، سنقدم أمثلة لبعض التطبيقات التي بالطبع يمكن

حلها بطرق أخرى ، ولكننا سنطبق نظرية ديزارغ في إثباتها .

## تطبيق 6

أنشئت دائرة لمس أضلاع المثلث  $ABC$  من الداخل في النقاط  $L, M, N$  على الترتيب ، يتقاطع كل من  $\overline{MN}, \overline{BC}$  في  $P$  ،  $\overline{NL}, \overline{AC}$  في  $Q$  ،  $\overline{ML}, \overline{AB}$  في

● . أثبت أن النقاط  $P, Q, R$  تقع على استقامة واحدة. (انظر الشكل 11-3)



شكل 11 - 3

## البرهان

لأن القطعتين المماسيتين للدائرة من نقطة خارجها متطابقتان، إذن

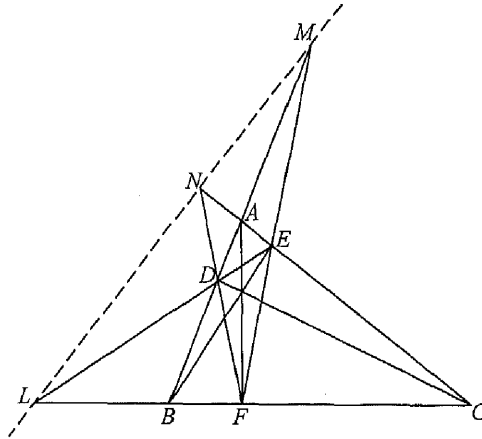
$$AN = AM , NB = BL , MC = LC$$

ومن ذلك :

$$\frac{AN}{NB} \cdot \frac{BL}{LC} \cdot \frac{MC}{AM} = 1$$

ويتطبيق نظرية شيفا نستنتج أن  $AL, BM, CN$  تتقاطع في نقطة واحدة، ولأن هذه المستقيمات تمر بالرؤوس المتناظرة للمثلثين  $\Delta ABC, \Delta LMN$ ، ويتطبيق نظرية ديزاغ نستنتج أن الأزواج المتناظرة من أضلاع المثلثين تتقاطع في ثلاث نقاط تقع على استقامة واحدة، أي أن  $P, Q, R$  تقع على استقامة واحدة. ●

## تطبيق 7



شكل 12-3

تتكون النقاط  $F, E, D$  نقاط تقاطع ارتفاعات المثلث مع أضلاعه من الرؤوس  $A, B, C$  على الترتيب، وأضلاع مثلث المساقط\*  $FED$ ،  $\overline{EF}, \overline{DF}, \overline{DE}$  تقطع أضلاع المثلث  $ABC$ ،  $\overline{AB}, \overline{AC}, \overline{BC}$  في  $M, N, L$  على الترتيب. أثبت أن النقاط  $L, M, N$  تقع على استقامة واحدة. (انظر الشكل 12-3) ●

البرهان

لتكن  $F, E, D$  هي الرؤوس المتناظرة لكل من  $\Delta ABC, \Delta FED$ ، ولأن  $\overline{AF}, \overline{CD}, \overline{BE}$  تتقاطع في نقطة واحدة (ارتفاعات المثلث  $\Delta ABC$ )، إذن

\* مثلث المساقط (مثلث معطى) هو المثلث الذي رؤوسه هي نقاط تقاطع الأعمدة الساقطة على أضلاع المثلث من أي نقطة اختيارية.

بتطبيق نظرية ديزارغ نستنتج أن نقاط تقاطع الأضلاع المتناظرة  $\overline{FE}, \overline{BA}$  ،  $\overline{DE}, \overline{BC}$  ،  $\overline{FD}, \overline{CA}$  الثلاث تقع على استقامة واحدة ●.

### نظرية باسكال Pascal's Theorem

يعتبر بليز باسكال (١٦٢٣-١٦٦٢) Blaise Pascal الذي كان أحد معاصري ديزارغ واحداً من أكثر الرياضيين عبقرية في تاريخ الرياضيات. وعلى الرغم من أن غرابة أطواره قد قللت الكثير من ظهور إمكاناته الحقيقية، إلا أنه يعد واحداً من أرسوا مبادئ علم الاحتمالات (ثمرة مراسلاته مع فيرما Fermat)، كما قدم مساهمات مهمة عديدة في فروع أخرى من الرياضيات، وسوف نهتم هنا بواحدة من إسهاماته في الهندسة.

ففي عام ١٦٤٠م، عندما بلغ السادسة عشرة من عمره، قدم مقالاً عن القطوع المخروطية من ورقة واحدة بعنوان "مقال في هندسة المخروطيات Essay pour les coniques" واحتوى هذا المقال على النظرية التي أشار إليها باسكال بعنوان "السداسي العجيب mysterium hexagrammicum" والتي أثارت إعجاب ديكارت Descartes للغاية وكأنه لم يصدق أنها من صنع فتى في السادسة عشرة من عمره، وتنص هذه النظرية على أن أضلاع الشكل السداسي المرسوم داخل قطع مخروطي تتقاطع في نقاط تقع على استقامة واحدة، وسوف ندرس فقط الحالة التي يكون فيها القطع المخروطي دائرة ولا يوجد ضلعان متوازيان متقابلان في ذلك السداسي، وهذا ما رأينا أنه يخدم غرضنا في هذا الفصل.

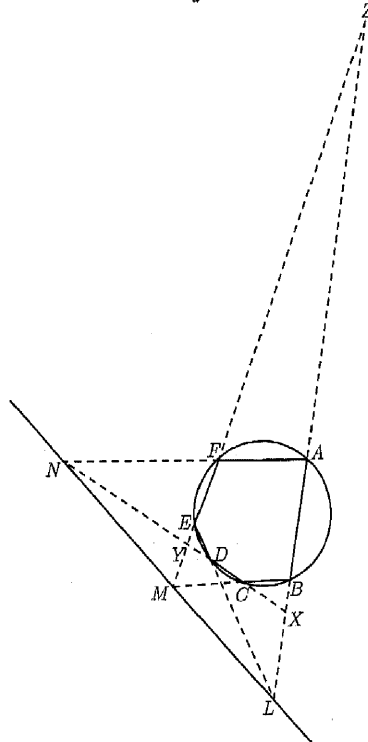


إذا رسم سداسي غير منتظم داخل دائرة بحيث كانت أضلاعه المتقابلة غير متوازية، فإن نقاط تقاطع هذه الأضلاع المتقابلة تقع على استقامة واحدة.

### نظرية باسكال 3-3

#### البرهان

السداسي  $ABCDEF$  مرسوم داخل دائرة ( انظر الشكل 3-13 ) ويلتقي أضلاعه  $\overleftrightarrow{AB}, \overleftrightarrow{DE}$  في النقطة  $L$ ،  $\overleftrightarrow{CB}, \overleftrightarrow{EF}$  في النقطة  $M$ ،  $\overleftrightarrow{CD}, \overleftrightarrow{AF}$  في النقطة  $N$ ، وكذلك  $\overleftrightarrow{AB}, \overleftrightarrow{CN}$  في النقطة  $X$ ،  $\overleftrightarrow{EF}, \overleftrightarrow{CN}$  في النقطة  $Y$ ،  $\overleftrightarrow{EF}, \overleftrightarrow{AB}$  في النقطة  $Z$ .



شكل 3-13

باستخدام نظرية منيلوس حيث  $\overrightarrow{BC}$  قاطع لأضلاع المثلث  $\Delta XYZ$  نحصل على :

$$\frac{ZB}{BX} \cdot \frac{XC}{CY} \cdot \frac{YM}{MZ} = -1 \quad (\text{I})$$

وباعتبار  $\overrightarrow{AF}$  قاطعاً لأضلاع المثلث  $\Delta XYZ$  ، وباستخدام نظرية منيلوس مرة ثانية نجد أن :

$$\frac{ZA}{AX} \cdot \frac{YF}{FZ} \cdot \frac{XN}{NY} = -1 \quad (\text{II})$$

وأيضاً باعتبار  $\overrightarrow{DE}$  قاطعاً لأضلاع المثلث  $\Delta XYZ$  ، وباستخدام نظرية منيلوس نجد أن :

$$\frac{XD}{DY} \cdot \frac{YE}{EZ} \cdot \frac{ZL}{LX} = -1 \quad (\text{III})$$

بضرب (I), (II), (III) نحصل على :

$$\frac{YM}{MZ} \cdot \frac{XN}{NY} \cdot \frac{ZL}{LX} \cdot \frac{(ZB)(ZA)}{(EZ)(FZ)} \cdot \frac{(XD)(XC)}{(AX)(BX)} \cdot \frac{(YE)(YF)}{(DY)(CY)} = -1 \quad (\text{IV})$$

عند رسم قاطعين لدائرة من نقطة خارجة ، فإن حاصل ضرب طول القاطع الأول و الجزء الخارجي منه يساوي حاصل ضرب طول القاطع الثاني و الجزء الخارجي منه ،

إذن

$$\frac{(ZB)(ZA)}{(EZ)(FZ)} = 1 \quad (\text{V})$$

$$\frac{(XD)(XC)}{(AX)(BX)} = 1 \quad (\text{VI})$$

$$\frac{(YE)(YF)}{(DY)(CY)} = 1 \quad (\text{VII})$$

إذن باستخدام نظرية منيلوس ،  $P, Q, R$  تقع على استقامة واحدة. ●  
ومن المثير للاهتمام ملاحظة أن نظرية باسكال من الممكن أن تتوسع حسب

النسق التالي

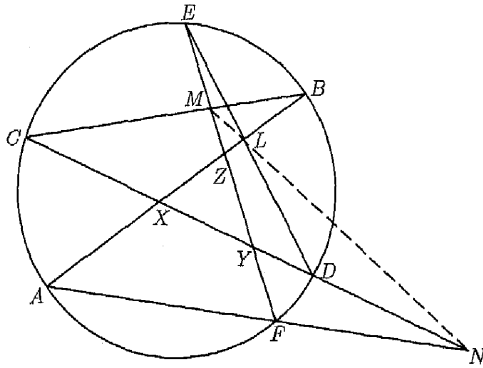
إذا وقعت رؤوس سداسي غير منتظم على دائرة (بأي ترتيب) فإن  
نقاط تقاطع الأضلاع المتقابلة (إذا وجدت) تقع على استقامة  
واحدة.

نظرية 3-4

(تطوير نظرية

باسكال)

وكمثال على هذا التطوير ، ندعوك لبرهنة نظرية 3-4 على الشكل  
3-14 ، حيث هناك تعديل بسيط واحد فقط يجب أن يتم ليكون السبب في الوصول  
من المعادلة (V) إلى المعادلة (VII). لاحظ أن نفس الأزواج من الأضلاع المتقابلة  
ستستخدم هنا كما استخدمناها سابقا.



شكل 3-14

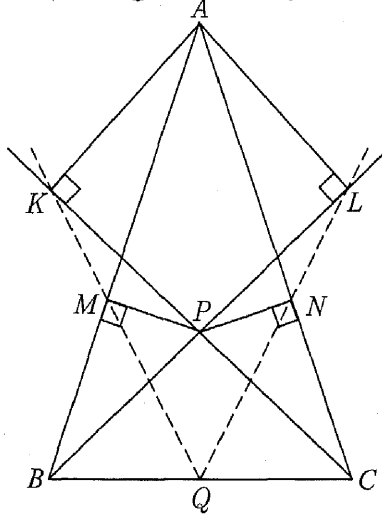
لنظرية باسكال العديد من التطبيقات وسندرس الآن بعض هذه التطبيقات .

## تطبيق 8

إذا كانت النقطة  $P$  تقع داخل المثلث  $ABC$ ، وكانت  $M, N$  نقطتي تقاطع العمودين من  $P$  على الضلعين  $\overline{AB}, \overline{AC}$  على الترتيب،  $\overline{AK} \perp \overline{CP}$  في النقطة  $K$ ،  $\overline{AL} \perp \overline{BP}$  في النقطة  $L$ ، (انظر الشكل 3-15). أثبت أن  $\overline{KM}, \overline{LN}, \overline{BC}$  تتقاطع في نقطة واحدة. ●

## البرهان

يمكننا بسهولة إثبات أن النقاط  $A, K, M, P, N, L$  تقع على دائرة واحدة نصف قطرها  $\overline{AP}$ ، ويمكننا توضيح ذلك بأن الزاويتين القائمتين  $\angle AKP, \angle AMP$  مرسومتان على نفس نصف الدائرة، وكذلك نفس الحالة بالنسبة الزاويتين القائمتين  $\angle ALP, \angle ANP$ ، وباستخدام تطوير نظرية باسكال (نظرية 4-3)، نلاحظ أن السداسي  $AKMPNL$  أزواج أضلاعه تتقاطع كما يلي



شكل 3-15

$$\overline{AM} \cap \overline{LP} = B$$

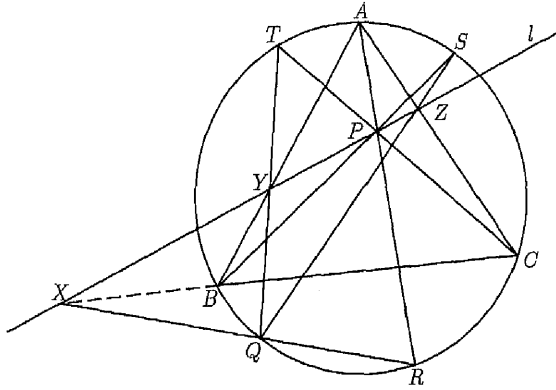
$$\overline{AN} \cap \overline{KP} = C$$

$$\overline{KM} \cap \overline{LN} = Q$$

باستخدام نظرية باسكال ، نصل إلى أن النقاط  $B, C, Q$  تقع على استقامة واحدة ، وهذا ما يجعلنا نستطيع القول بأن  $\overline{KM}, \overline{LN}, \overline{BC}$  تتقاطع في نقطة واحدة. ●

### تطبيق 9

سنختار أي نقطة  $P$  تقع داخل  $\Delta ABC$  ، ونسعى إلى لخط المستقيم  $l$  الذي يقطع أضلاع المثلث  $\overline{AC}, \overline{AB}, \overline{BC}$  في النقاط  $Z, Y, X$  على الترتيب. وإذا كانت  $\overline{AP}, \overline{BP}, \overline{CP}$  تقطع الدائرة المحيطة بالمثلث  $\Delta ABC$  في النقاط  $R, S, T$  على الترتيب (انظر الشكل 16-3). أثبت أن  $\overline{RX}, \overline{SZ}, \overline{TY}$  تتقاطع في نقطة واحدة. ●



شكل 16-3

## البرهان

ليكن  $\overline{RX}$  يقطع الدائرة المحيطة في النقطة  $Q$ ، ولنطبق نظرية باسكال على السداسي  $ACRQB$  حيث  $\overline{AR} \cap \overline{AB}$  هو النقطة  $P$ ،  $\overline{RQ} \cap \overline{CB}$  هو النقطة  $X$ ،  $\overline{TQ} \cap \overline{AB}$  هو نقطة تقع على

المستقيم  $l$  والتي يجب أن تكون النقطة  $Y$  (لأن  $\overline{AB} \cap l$  هو النقطة  $Y$ ).

والآن لندرس السداسي  $ASCRQB$  الذي فيه  $\overline{AR} \cap \overline{AB}$  هو النقطة  $P$ ،  $\overline{RQ} \cap \overline{CB}$  هو النقطة  $X$ ،  $\overline{SQ} \cap \overline{AC}$  هو نقطة تقع على الخط المستقيم  $l$  والتي يجب أن تكون النقطة  $Z$ . إذن  $\overline{RX}, \overline{SZ}, \overline{TY}$  تتقاطع في نقطة واحدة. ●

## نظرية براينشون Brianchon's Theorem

في عام ١٨٠٦ م عندما كان طالباً بمدرسة البوليتكنيك في سن الواحدة والعشرين، قدم تشارلز جوليان براينشون (١٧٨٥-١٨٦٤) Charles Julian Brianchon مقالاً في مجلة المدرسة Journal de L'Ecole Polytechnique، أصبح بعد ذلك من الإسهامات الأساسية في دراسة القطوع المخروطية في الهندسة الإسقاطية. وقد أدت هذه الإسهامات لإعادة صياغة ما تم نسيانه بعض الشيء من نظرية باسكال وامتدادها. وبعد ذلك نشر براينشون نظريته الجديدة التي تحمل اسم نظرية براينشون Brianchon's Theorem والتي تنص على أن "الأقطار الثلاثة لأي سداسي يحيط بقطع مخروطي، تتقاطع في نقطة واحدة" \*.

الغريب أن ذلك يحمل تشابهاً مع نظرية باسكال، ولكن في الحقيقة كل منهما ثبوتية للأخرى ويتضح ذلك بسهولة عند مقارنة نصيهما كما يلي

## نظرية باسكال

نقاط تقاطع الأضلاع المتقابلة في السداسي  
المرسوم داخل قطع مخروطي تقع على  
استقامة واحدة .

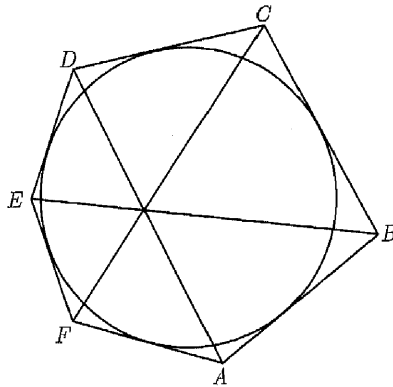
## نظرية براينشون

المستقيمت المارة بالرؤوس المتقابلة  
لسداسي يحيط بقطع مخروطي تتقاطع  
في نقطة واحدة.

نلاحظ أن النصين السابقين هما على حد سواء ما عدا الكلمات التي تحتها خط،  
والتي كل منها تعد ثنوية للأخرى، وكما فعلنا في نظرية باسكال سنعمل فقط على  
حالة أن القطع المخروطي دائرة.

( نظرية براينشون ) إذا أنشأ سداسي يحيط بدائرة فإن المستقيمت  
المازة برؤوس السداسي المتقابلة تتقاطع في نقطة واحدة ( انظر  
الشكل 17 - 3).

## نظرية 3-5



شكل 17 - 3

أبسط البراهين لهذه النظرية تتطلب معرفة بعض مفاهيم الهندسة الإسقاطية. وعلى الرغم من أننا عند هذه المرحلة نستطيع تقديم برهان لهذه النظرية باستخدام طرق الهندسة الإقليدية، إلا أن برهاننا سيكون أكثر إيجازاً إذا انتظرنا قليلاً حتى ندرس المحاور الأساسية في هذا الفصل.

اقترح براينشون التطبيقات التالية بعد نشر نظريته الجديدة مباشرة.

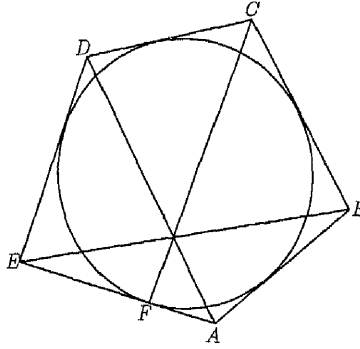
### تطبيق 10

إذا رُسم الخماسي  $ABCDE$  محيطةً بدائرة ويمسها في النقاط  $F, M, N, R, S$ ، وتقاطع قطراه  $AD, BE$  في النقطة  $P$ . فأثبت أن النقاط  $C, P, F$  تقع على استقامة واحدة (انظر الشكل 18-3).

البرهان

لنعتبر أن الشكل السداسي الذي يحيط بدائرة في الشكل 17-3 فيه الضلعان  $\overline{AF}, \overline{EF}$  اندججا معاً في قطعة مستقيمة واحدة. إذن،  $\overline{AFE}$  هو الآن ضلع من أضلاع الخماسي الذي يحيط بالدائرة، والنقطة  $F$  هي نقطة تماس (انظر الشكل 18-3). وهكذا نستطيع أن نرى الخماسي في الشكل 18-3 والذي تولد من السداسي. والآن، ببساطة يمكننا تطبيق نظرية براينشون على الشكل الجديد للحصول على المطلوب النهائي الذي هو أن  $\overline{AD}, \overline{BE}, \overline{CF}$  تتقاطع في نقطة واحدة هي  $P$ ، أو نقول إن النقاط  $C, P, F$  تقع على استقامة واحدة.



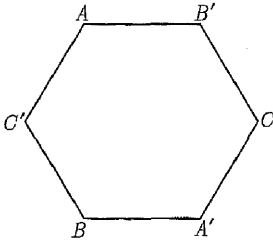


شكل 18 - 3

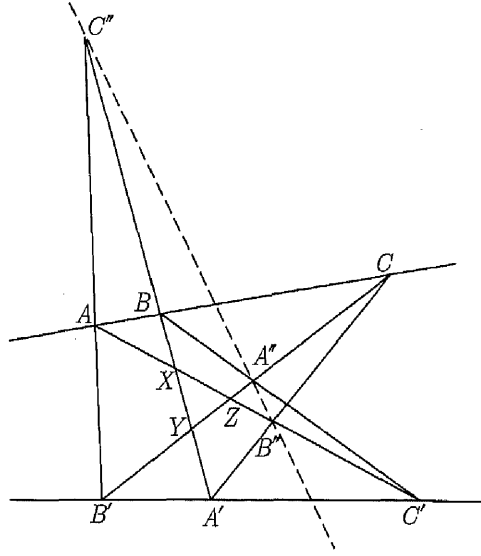
### نظرية بابوس Pappus's Theorem

إذا نظرنا لرؤوس السداسي  $AB'CA'BC'$  (الشكل 19-3) ووضعناها بالتبادل على خطين مستقيمين (انظر الشكل 20-3). ثم رسمنا الخطوط المستقيمة التي كانت تصل بين رؤوس الشكل الأول على الشكل الثاني، والتي ستتقاطع في ثلاث نقاط (تنتج من تقاطع كل ضلعين متقابلين في الشكل الأول) سنجد أن هذه النقاط تقع على استقامة واحدة. هذا الاستنتاج قدمه بابوس الإسكندري Pappus of Alexandria في مجموعته الرياضية Mathematical Collection في حوالي عام ٣٠٠ بعد الميلاد.

لكي نقدم الدليل على صحة هذه النظرية، دعونا نكررها وسرعان ما نلاحظ أننا سنستخدم في إثباتها نظرية منيلوس عدة مرات.



شكل 19 - 3



شكل 20 - 3

(نظرية بابوس) النقاط  $A, B, C$  تقع على خط مستقيم واحد،  
والنقاط  $A', B', C'$  تقع على مستقيم آخر وبأي ترتيب. فإذا  
تقاطع  $\overline{AB'}, \overline{A'B}$  في  $C''$ ، وتقاطع  $\overline{AC'}, \overline{A'C}$  في  $B''$ ،  
وتقاطع  $\overline{BC'}, \overline{B'C}$  في  $A''$ . فإن النقاط  $A'', B'', C''$  تقع على  
استقامة واحدة.

## نظرية 3-6

البرهان

على الشكل 3-20، يلتقي  $\overline{B'C}, \overline{A'B}$  في النقطة  $Y$ ، ويلتقي  $\overline{AC'}, \overline{A'B}$  في النقطة  $X$ ، ويلتقي  $\overline{B'C}, \overline{AC'}$  في النقطة  $Z$ ، وتطبيق نظرية منيلوس حيث  
قاطع  $\triangle XYZ$  نحصل على :

$$\frac{ZB'}{YB'} \cdot \frac{XA}{ZA} \cdot \frac{YC''}{XC''} = -1 \quad (\text{I})$$

وباعتبار  $\overline{A'B''C'}$  قاطعاً لأضلاع  $\Delta XYZ$  ، وباستخدام نظرية منيلوس نحصل على

$$\frac{YA'}{XA'} \cdot \frac{XB''}{ZB''} \cdot \frac{ZC}{YC} = -1 \quad (\text{II})$$

وأيضاً باعتبار  $\overline{BA''C'}$  قاطعاً لأضلاع المثلث  $\Delta XYZ$  ، وباستخدام نظرية منيلوس

نحصل على :

$$\frac{YB}{XB} \cdot \frac{ZA''}{YA''} \cdot \frac{XC'}{ZC'} = -1 \quad (\text{III})$$

بضرب (I), (II), (III) نحصل على :

$$\frac{YC''}{XC''} \cdot \frac{XB''}{ZB''} \cdot \frac{ZA''}{YA''} \cdot \frac{ZB'}{YB'} \cdot \frac{YA'}{XA'} \cdot \frac{XC'}{ZC'} \cdot \frac{XA}{ZA} \cdot \frac{ZC}{YC} \cdot \frac{YB}{XB} = -1 \quad (\text{IV})$$

ولأن النقاط  $A, B, C$  تقع على استقامة واحدة ، وكذلك النقاط  $A', B', C'$  أيضاً

تقع على استقامة واحدة ، فإننا نستطيع أن نستنتج بواسطة نظرية منيلوس العلاقتين

التاليتين ( عندما نعتبر أن كلا المستقيمين قاطعان للمثلث  $ABC$  ).

$$\frac{ZB'}{YB'} \cdot \frac{YA'}{XA'} \cdot \frac{XC'}{ZC'} = -1 \quad (\text{V})$$

$$\frac{XA}{ZA} \cdot \frac{ZC}{YC} \cdot \frac{YB}{XB} = -1 \quad (\text{VI})$$

بالتعويض من (V), (VI) في (IV) نحصل على :

$$\frac{YC''}{XC''} \cdot \frac{XB''}{ZB''} \cdot \frac{ZA''}{YA''} = -1$$

ومن نظرية منيلوس نجد أن  $A'', B'', C''$  تقع على استقامة واحدة. ●

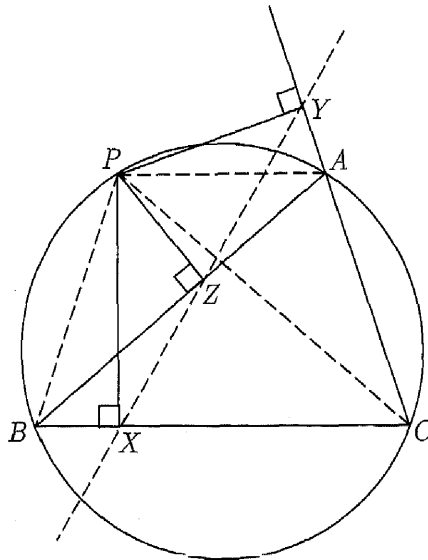
## خط سيمسون The Simson Line

في واحدة من أكثر حالات الظلم في تاريخ الرياضيات، نشر وليام والاس Thomas Wallace (١٧٦٨-١٨٤٣) نظرية أصيلة وجديدة في دار نشر Robert Leybourne's Mathematical Repository في العام (١٧٩٩)، لكن بسبب الإهمال، نسبت إلى الرياضي الإنجليزي المشهور روبرت سيمسون (١٧٦٨-١٦٨٧) الذي قام بترجمة كتاب العناصر لإقليدس Euclid's Elements من اللاتينية إلى الإنجليزية (انظر الصفحات ٩٦-٩٧ لمعرفة المزيد عن سيمسون).

وسوف نستقي معلوماتنا في هذا الكتاب من المرجع المشهور Simson's theorem.

( نظرية سيمسون ) الأعمدة المرسومة من أي نقطة على دائرة محيطه بمثلث، على أضلاع هذا المثلث، تتقاطع في نقاط تقع على استقامة واحدة.

نظرية 3-7



شكل 21 - 3

في الشكل 21-3 ، النقطة  $P$  تقع على الدائرة المحيطة بـ  $\triangle ABC$  ،  
 $\overrightarrow{PY} \perp \overrightarrow{AC}$  في النقطة  $Y$  ،  $\overrightarrow{PZ} \perp \overrightarrow{AB}$  في النقطة  $Z$  ،  $\overrightarrow{PX} \perp \overrightarrow{BC}$  في النقطة  $X$  ،  
 ووفقاً لنظرية سيمسون ( أي نظرية والاس ) ، النقاط  $X, Y, Z$  تقع على مستقيم  
 واحد عادة ما يطلق عليه خط سيمسون Simson Line . ( أحياناً يطلق عليه اسم  
 مستقيم المساقط Pedal line ) .

ليس من الضروري أن يكون برهاننا الأول لنظرية سيمسون هو الأبسط ولكننا  
 من أجل الاتساق سوف نستخدم نظرية منيلوس لإثبات هذه النظرية ، ثم نقدم طريقة  
 ثانية كشرح مستقل لبرهان النظرية .

### البرهان /

( انظر الشكل 21-3 ) . لرسم  $\overline{PA}, \overline{PC}, \overline{PB}$  لدينا

$$m\angle PBA = \frac{1}{2} m \widehat{AP}$$

$$m\angle PCA = \frac{1}{2} m \widehat{AP}$$

لذلك :  $\angle PBA = \angle PCA = a$  .

وعليه فإن

$$\text{في المثلثين } PZB, PYC \text{ ، ولذا فإن } \frac{BZ}{PZ} = \cot a = \frac{CY}{PY}$$

$$\frac{BZ}{CY} = \frac{PZ}{PY} \quad (I)$$

بالمثل :  $m\angle PBA = m\angle PCB = b$  ( كلاهما يساوي  $\frac{1}{2} m \widehat{PB}$  ) ؛ لذلك

$$\text{في المثلثين } PAZ, PCX \text{ ، وهذا يقود إلى : } \frac{AZ}{PZ} = \cot b = \frac{CX}{PX}$$

$$\frac{CX}{AZ} = \frac{PX}{PZ} \quad (\text{II})$$

ولأن  $\angle PBC, \angle PAC$  زاويتان متقابلتان في شكل رباعي دائري، إذن هما زاويتان متكاملتان.

ولكن  $\angle PAY, \angle PAC$  هما أيضاً متكاملتان، إذن  $\angle PBC = \angle PAY = c$ ؛

وبالتالي

$$\text{في المثلثين } PBX, PAY, \text{ وهذا يعود إلى: } \frac{BX}{PX} = \cot c = \frac{AY}{PY}$$

$$\frac{AY}{BX} = \frac{PY}{PX} \quad (\text{III})$$

بضرب (I), (II), (III) نحصل على:

$$\frac{BZ}{CY} \cdot \frac{CX}{AZ} \cdot \frac{AY}{BX} = \frac{PZ}{PY} \cdot \frac{PX}{PZ} \cdot \frac{PY}{PX} = 1 \quad (\text{أو } -1) \text{ حسب دراسة الاتجاه}$$

إذن باستخدام نظرية ميلوس  $X, Y, Z$  تقع على استقامة واحدة، وتعين هذه النقاط

● الثلاث خط سيمسون للمثلث  $ABC$  بالنسبة للنقطة  $P$ .

## II البرهان

(انظر الشكل 21-3). لأن  $\angle PYA, \angle PZA$  متقابلتان متكاملتان، إذن

الشكل الرباعي  $PZAY$  دائري. نرسم  $\overline{PA}, \overline{PC}, \overline{PB}$ . إذن:

$$\angle PYZ = \angle PAZ \quad (\text{I})$$

بالمثل  $\angle PYC, \angle PXC$  متقابلتان متكاملتان، إذن الشكل الرباعي  $PXC Y$  دائري.

وعليه نجد:

$$\angle PYX = \angle PCB \quad (\text{II})$$

ولكن الرباعي  $PACB$  أيضاً دائري؛ لأنه أربع نقاط على دائرة، إذن:

$$m\angle PAZ (m\angle PAB) = m\angle PCB \quad (III)$$

من (I), (II), (III) نحصل على  $m\angle PYZ = m\angle PYX$  ، وهذا يعني أن النقاط

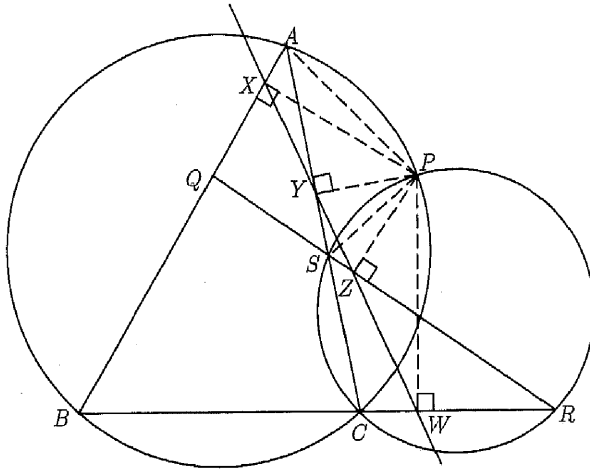
● تقع  $X, Y, Z$  على استقامة واحدة .

### تطبيق 11

ليكن  $ABC$  مثلثاً، ولنفرض أن  $\overline{QSR}$  يقطع  $\overline{AB}, \overline{BC}, \overline{CA}$  في النقاط  $Q, R, S$  على الترتيب. الدائرتان المحيطتان بكل من  $\triangle ABC, \triangle SCR$  تتقاطعان في

النقطة  $P$ . أثبت أن الشكل الرباعي  $APSQ$  دائري ( انظر الشكل 22 - 3 ). ●

البرهان



شكل 22 - 3

لنرسم الأعمدة  $\overline{PX}, \overline{PY}, \overline{PZ}, \overline{PW}$  على  $\overline{AB}, \overline{AC}, \overline{QR}, \overline{BC}$  على الترتيب كما في الشكل 22-3. لأن النقطة  $P$  تقع على الدائرة المحيطة بالمثلث  $ABC$ ، إذن النقاط  $X, Y, W$  تقع على استقامة واحدة (خط سيمسون). بالمثل؛ لأن النقطة  $P$  تقع على الدائرة المحيطة بالمثلث  $SCR$ ، إذن النقاط  $Y, Z, W$

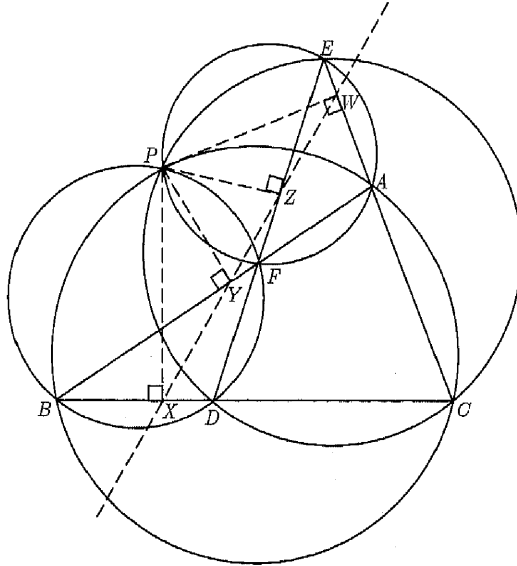
تقع على استقامة واحدة. إذن النقطة  $P$  يجب أن تقع على الدائرة المحيطة بالمثلث  $AQS$  (عكس نظرية سيمسون والذي نترك إثباته كتدريب). إذن الشكل الرباعي  $APSQ$  دائري (انظر الشكل 22 - 3).

## تطبيق 12

القطع المستقيمة  $\overline{AB}, \overline{BC}, \overline{EC}, \overline{ED}$  تشكل المثلثات  $ABC, FBD, EFA, EDC$

حسب الشكل 23 - 3. أثبت أن الدوائر المحيطة بهذه المثلثات تشترك في نقطة واحدة.

البرهان



شكل 23 - 3

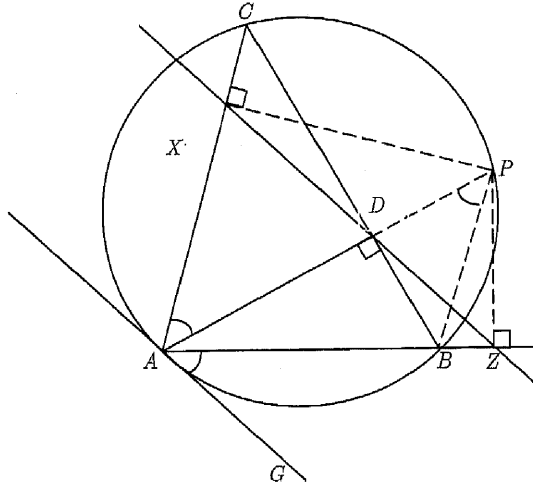
لنفرض أن  $P$  هي إحدى نقطتي تقاطع الدائرتين المحيبتين بالمثلثين  $ABC, FBD$  اللتين تتقاطعين أيضاً في  $B$ . من النقطة  $P$  نرسم الأعمدة  $\overline{PX}, \overline{PY}, \overline{PZ}, \overline{PW}$  على



على  $\overline{BC}, \overline{AB}, \overline{ED}, \overline{EC}$  الترتيب كما في الشكل 23-3. لأن النقطة  $P$  تقع على الدائرة المحيطة بالمثلث  $ABC$ ، إذن النقاط  $X, Y, W$  تقع على استقامة واحدة؛ إذن النقاط  $X, Y, Z, W$  تقع على استقامة واحدة لأن النقاط  $Y, Z, W$  تقع على استقامة واحدة. إذن النقطة  $P$  يجب أن تقع على الدائرة المحيطة بالمثلث  $EFA$  (عكس نظرية سيمسون والذي نترك إثباته كتدريب). ولنفس السبب، لأن النقاط  $X, Z, W$  تقع على استقامة واحدة، إذن النقطة  $P$  يجب أن تقع على الدائرة المحيطة بالمثلث  $EDC$ . إذن الدوائر الأربع تمر بالنقطة  $P$ .

لنخط سيمسون العديد من الخصائص، نقدم الآن القليل منها.

**نظرية 3-8** (الخاصية الأولى لخط سيمسون) إذا كان العمود  $AD$  في  $\triangle ABC$  يلاقي الدائرة المحيطة به في النقطة  $P$ ، فإن خط سيمسون لنقطة  $P$  بالنسبة للمثلث  $ABC$  يوازي المستقيم المماس للدائرة عن النقطة  $A$ .



شكل 24 - 3

## البرهان

لأن  $\overline{PX}, \overline{PZ}$  عمودان على  $\overline{AC}, \overline{AB}$  على الترتيب في المثلث  $ABC$ ،  
فالنقاط  $X, D, Z$  تعين خط سيمسون للنقطة  $P$  بالنسبة للمثلث  $ABC$ . نرسم  $\overline{PB}$   
(انظر الشكل 24 - 3). في الشكل الرباعي  $PDBZ$ ،  $m\angle PDB = m\angle PZB = 90^\circ$ ،  
وهذا يعني أن الشكل  $PDBZ$  رباعي دائري (زاويتان متقابلتان متكاملتان)، ومن ذلك  
نستنتج أن :

$$m\angle DZB = m\angle DPB \quad (I)$$

وفي الدائرة المحيطة بالمثلث  $ABC$ :

$$m\angle GAB = \frac{1}{2}(m\widehat{AB}), \quad m\angle DPB(m\angle APB) = \frac{1}{2}(m\widehat{AB})$$

إذن:

$$m\angle GAB = m\angle DBP \quad (II)$$

من (I)، (II) لدينا  $m\angle DZB = m\angle GAB$ ، وهذا يعني أن خط سيمسون  
●.  $\overline{XDZ}$  يوازي  $\overline{GA}$ .

(الخاصية الثانية لخط سيمسون) من النقطة  $P$  التي تقع على الدائرة

المحيطة بالمثلث  $ABC$ ، ارسم الأعمدة  $\overline{PX}, \overline{PY}, \overline{PZ}$  على الأضلاع

$\overline{AC}, \overline{AB}, \overline{BC}$  على الترتيب. إن  $(PA)(PZ) = (PB)(PX)$ . (انظر

الشكل 25 - 3)

نظرية 3-9



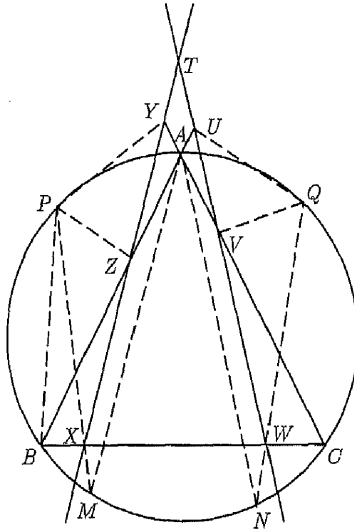
$$\Delta PAB \sim \Delta PXZ \Rightarrow \frac{PA}{PX} = \frac{PB}{PZ} \Rightarrow (PA)(PZ) = (PB)(PX) \bullet$$

( الخاصية الثالثة لخط سيمسون ) قياس الزاوية المحصورة بين خطي سيمسون لنقطتين تقعان على دائرة محيطه بمثلث تساوي نصف قياس القوس المحصور بين هاتين النقطتين .

## نظرية 10-3

البرهان

في الشكل (3-26) هو خط سيمسون للنقطة  $P$  ،  $\overline{XYZ}$  هو خط سيمسون للنقطة  $P$  ،  $\overline{UVW}$  هو خط سيمسون للنقطة  $Q$  ،  $\overline{PX}, \overline{QW}$  ليقطعا الدائرة في  $M, N$  على الترتيب ، ثم نرسم  $\overline{AM}, \overline{AN}$  ، ولأن  $m\angle PZB = m\angle PXB = 90^\circ$  ، فإن الشكل  $PZXB$  رباعي دائري ، ومن هذا نستنتج أن



شكل 3 - 26

$$m\angle ZXP = m\angle ZBP \quad (I)$$

$$m\angle ABP = m\angle AMP \quad \text{or} \quad m\angle ZBP = m\angle AMP \quad (II)$$

إذن، من (I)، (II)؛ وعليه فإن:

$$\overrightarrow{XYZ} \parallel \overline{AM}$$

وبنفس الطريقة نستطيع إثبات أن  $\overrightarrow{UVW} \parallel \overline{AN}$ .

وبالتالي؛ إذا كانت النقطة  $T$  هي نقطة تقاطع خطي سيمسون، فإن  $m\angle XTW = m\angle MAN$ ، وذلك لأن ضلعيهما المتناظرين متوازيان. والآن  $m\angle MAN = \frac{1}{2}(m\widehat{MN})$ . ولكن لأن  $\overline{PM} \parallel \overline{QN}$ ، فإن  $m\widehat{PQ} = m\widehat{MN}$ .

وبالتالي  $m\angle XTW = \frac{1}{2}(m\widehat{PQ})$ ، إذن،  $m\angle MAN = \frac{1}{2}(m\widehat{MN})$ .

يوجد هنا تطبيق شيق لنظرية سيمسون، حيث قابلتنا مشكلة سابقة عندما أثبتنا في الفصل الأول المغالطة التي تزعم أن كل المثلثات المختلفة الأضلاع هي مثلثات متطابقة الضلعين. وقد رسمنا أعمدة من النقطة  $G$  إلى  $\overline{AC}$ ،  $\overline{BC}$ ،  $\overline{AB}$  لتتلاقى المستقيمت في النقاط  $D, F, E$  على الترتيب. ولأن النقطة  $G$  على الدائرة المحيطة بالمثلث  $ABC$ ، فإن نظرية سيمسون تثبت لنا أن النقاط  $D, F, E$  تقع على استقامة واحدة.

المسلمة المشهورة لموريتز باش (١٨٤٣-١٩٣٠) Moritz Pasch التي تنص على أن الخط المستقيم الذي يقطع ضلعاً واحداً من أضلاع مثلث (من الداخل) لا بد أن يقطع أيضاً واحداً فقط من ضلعي المثلث الآخرين (من الداخل)، إلا إذا مر هذا المستقيم بأحد رؤوس المثلث.

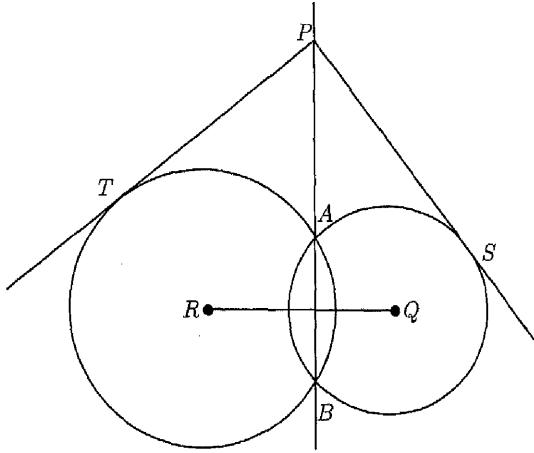
وكان إقليدس قد افترض هذه الفكرة تقريباً في مسلماته، ومع ذلك؛ فإن توظيف هذه المسلمة يجعلنا نحزم بأنه حينما نسقط عمودين من نقطة تلاقي منصف

زاوية في المثلث مع العمود المنصف للضلع المقابل لتلك الزاوية على ضلعي الزاوية، فإن واحداً منهما بالضبط يقطع أحد الضلعين من الداخل والآخر يقطع امتداد الضلع الآخر، وهذا ما يمكننا من تجنب المغالطة التي عرضناها سابقاً.

### المحاور الأساسية Radical Axes

عرضنا سابقاً في هذا الفصل نظرية براينشون Brianchon, s Theorem كنظرية مقابلة لنظرية باسكال Pascal, s Theorem ، وكنا قد قمنا بتأجيل برهان هذه النظرية لأننا كنا نحتاج مزيداً من المعرفة حول المحاور الأساسية Radical Axes. وسوف نعرض الآن بعض خواص المحور الأساسي المهمة والتي سنستخدمها في إثبات نظرية براينشون .

لندرس معاً الدائرتين  $R, Q$  ( انظر الشكل 27 - 3 ) وللتين تتقاطعان في  $A, B$  ، فإذا كانت النقطة  $P$  هي أي نقطة تقع على  $\overline{AB}$  بحيث لا تقع بين  $A, B$  ، ورسمنا المماسين  $\overline{PT}, \overline{PS}$  للدائرتين  $R, Q$  على الترتيب، فمن خلال دراستنا لمبادئ الهندسة نعلم أن  $PT$  وسط متناسب بين  $PB, PA$  ، أي  $(PT)^2 = (PB)(PA)$  ، وبالمثل بالنسبة للدائرة  $Q$  ، لدينا  $(PS)^2 = (PB)(PA)$  . إذن،  $PT = PS$  . ولأننا اخترنا النقطة  $P$  في أي موقع على  $\overline{AB}$  (بحيث لا تقع بين  $A, B$ ) ، فإننا نستطيع أن نقول إن القطعتين المماسيتين للدائرتين  $R, Q$  متطابقتان. ولكن قبل أن نقرر أن هذا الاستنتاج موضع نظرية، علينا أن نثبت أن النقطة  $P$  والتي يخرج منها مماسان لدائرتين يجب أن تقع على  $\overline{AB}$  . والإثبات كالتالي :



شكل 3 - 27

لنفرض أن النقطة  $P$  أي نقطة حيث المماسان  $PT, PS$  متطابقان، وليكن  $\overline{PA}$  يقطع الدائرة  $R$  في  $B$  ويقطع الدائرة  $Q$  في  $B'$ ، وكما سبق نستطيع كتابة العلاقاتين

$$(PT)^2 = (PB)(PA)$$

$$(PS)^2 = (PB')(PA)$$

ولأن:  $PT = PS$ ، إذن  $PB = PB'$ ، وهذا معناه انطباق النقطتين  $B, B'$ ، وأن النقطة  $P$  تقع على القاطع المشترك للدائرتين  $\overline{AB}$ . نطلق على الخط المستقيم الذي يحتوي النهايات المشتركة لكل المماسات المتطابقة لدائرتين، المحور الأساسي Radical Axis لتلك الدائرتين، ويمكننا أن نصوغ الآن هذه النتيجة.

## نظرية 3-11

المحور الأساسي لدائرتين متقاطعتين هو قاطع مشترك لهما.

ويترتب على ذلك مباشرة أن المحور الأساسي لدائرتين متماستين هو المماس المشترك لهما، وقبل أن نندارس وضع المحور الأساسي لدائرتين غير متقاطعتين (متباعدين) نحتاج لدراسة النظرية التالية .

## نظرية 3-12

المحل الهندسي لنقطة الفرق بين مربعي البعد بينها وبين نقطتين ثابتتين يكون ثابتاً  
هو مستقيم عمودي على القطعة المستقيمة الواصلة بين النقطتين الثابتتين.

البرهان

لتكن  $R, Q$  نقطتين ثابتتين ،  $P$  نقطة على المحل الهندسي ( انظر الشكل 28 - 3). لنرسم  $\overline{PR}, \overline{PQ}$  ، وننشئ  $\overline{PN} \perp \overline{RQ}$  ، وباستخدام نظرية فيثاغورس نحصل على

$$(PR)^2 - (RN)^2 = (PN)^2 , (PQ)^2 - (QN)^2 = (PN)^2$$

إذن،

$$(PR)^2 - (RN)^2 = (PQ)^2 - (QN)^2$$

$$(PR)^2 - (PQ)^2 = (RN)^2 - (QN)^2 = k$$

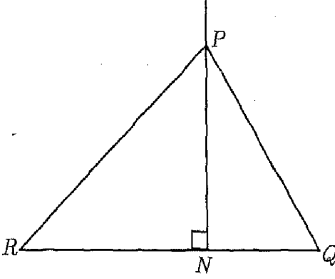
نفرض أن  $RQ = d$  ، وتحليل المتطابقة الأخيرة نحصل على :



$$(RN + QN)(RN - QN) = k$$

أو  $d(RN - QN) = k$  ، ومنه نجد أن :

$$RN - QN = \frac{k}{d} \quad (I)$$



شكل 28 - 3

تذكر أن

$$RN + QN = d \quad (II)$$

بحل المعادلتين (I)، (II) نحصل على :

$$RN = \frac{d^2 + k}{2d} , \quad QN = \frac{d^2 - k}{2d}$$

وهذا يحدد موضع النقطة  $N$  ، ولأن  $k$  ،  $d$  ثابتان في جميع الحالات ، فالنقطة  $P$  يجب أن تقع على المستقيم العمودي على  $\overline{RQ}$  عند النقطة  $N$  ، والتي تقسم  $\overline{QR}$  حسب النسبة :

$$\frac{RN}{QN} = \frac{d^2 + k}{d^2 - k}$$

نستطيع استنتاج برهان أن هذا هو المحل الهندسي بتوضيح أن أي نقطة تقع على  $\overline{PN}$

تحقق الشرط المعطى ، وستترك ذلك للقارئ . ●

نظرية 12 - 3 تساعدنا على استكمال دراسة المحاور الأساسية Radical Axes ،  
والآن علينا أن نعين المحور الأساسي لدائرتين غير متقاطعتين ، وحدسنا يشير إلى تحقيق  
ذلك في النظرية التالية .

المحور الأساسي لدائرتين غير متقاطعتين ، هو خط مستقيم  
عمودي على خط مركزيهما.

نظرية 3 - 13

البرهان

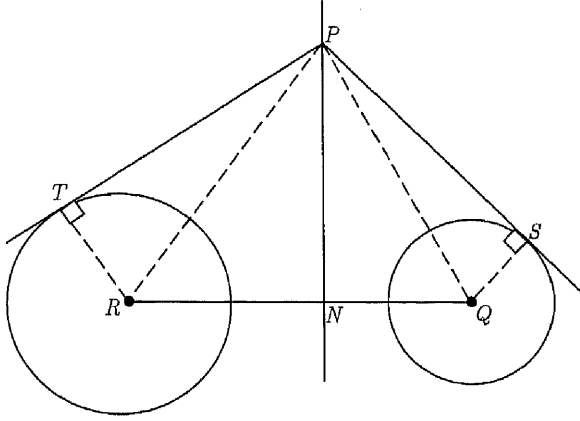
سنبدأ بفرض أن نصفي قطري الدائرتين  $R, Q$  هما  $r, q$  على الترتيب. وكذلك  
فرض أن النقطة  $P$  على المحل الهندسي المطلوب ، وحيث إن القطعتين المماستين  
 $\overline{PT}, \overline{PS}$  متطابقتان ( انظر الشكل 29 - 3 ). فبتطبيق نظرية فيثاغورس على المثلثين  
 $PTR, PSQ$  نحصل على :

$$(PR)^2 - r^2 = (PT)^2 \quad , \quad (PQ)^2 - q^2 = (PS)^2$$

ولكن  $PT = PS$  ؛ إذن :

$$(PR)^2 - r^2 = (PQ)^2 - q^2 \quad or \quad (PR)^2 - (PQ)^2 = r^2 - q^2$$

لأن الطرف الأيمن من المتطابقة ثابت ، فإننا نستنتج ( باستخدام نظرية 12 - 3 ) أن  
المحل الهندسي للنقطة  $P$  هو الخط المستقيم الذي يحتوي نفس النقطة  $P$  والذي هو  
عمودي على  $\overline{RQ}$  . ●



شكل 29 - 3

بطريقة مماثلة لتلك المستخدمة في البرهان السابق يمكننا تعيين موضع النقطة  $N$  بدلالة نصفي القطرين والمسافة بين مركزي الدائرتين. و كنتيجة مباشرة لنظرية 13 - 3 ، لدينا النظرية التالية.

المحاور الأساسية لثلاث دوائر مراكزها ليست على استقامة واحدة تلتقي في نقطة واحدة.

### نظرية 3-14

#### البرهان

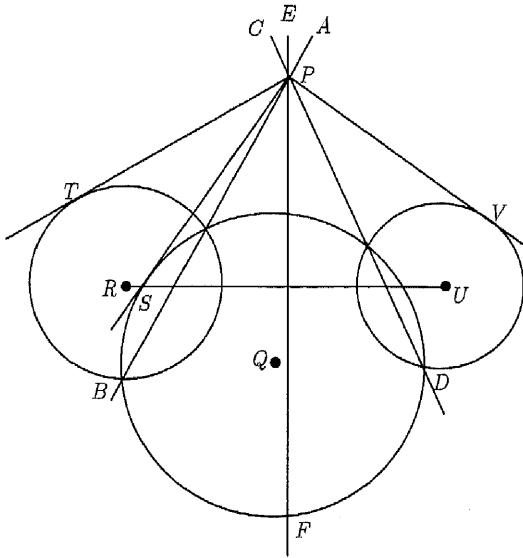
دعنا نعتبر أن الدوائر الثلاث هي  $R, Q, U$  ، وأن محاورها الأساسية هي  $\overline{AB}, \overline{CD}, \overline{EF}$  ( انظر الشكل 30 - 3 ). نفرض أن نقطة تقاطع  $\overline{AB}, \overline{CD}$  . باستخدام المحور الأساسي  $\overline{AB}$  للدائرتين  $R, Q$  نحصل على  $\overline{PT} = \overline{PS}$  . وباستخدام المحور الأساسي  $\overline{CD}$  للدائرتين  $Q, U$  نحصل على  $\overline{PV} = \overline{PS}$  ( لاحظ أن  $\overline{PT}, \overline{PS}, \overline{PV}$  مماسات للدوائر المعطاة ) ، إذن  $\overline{PT} = \overline{PV}$  ، وهذا يدل على أن

النقطة  $P$  يجب أن تقع على المحور الأساسي  $\overline{EF}$  للدائرتين  $R, U$  ، وهذا يثبت أن

● .  $P$  . المحاور الأساسية تتقاطع في نقطة واحدة

على  $\overline{PV} = \overline{PS}$  ( لاحظ أن  $\overline{PT}, \overline{PS}, \overline{PV}$  مماسات للدوائر المعطاة ) ، إذن  $\overline{PT} = \overline{PV}$  ، وهذا يدل على أن النقطة  $P$  يجب أن تقع على المحور الأساسي  $\overline{EF}$

● .  $P$  . للدائرتين  $R, U$  ، وهذا يثبت أن المحاور الأساسية تتقاطع في نقطة واحدة



شكل 30 - 3

بعد أن عرضنا موضوع المحور الأساسي ، نحن جاهزون الآن لبرهنة نظرية

براينشون Brianchon's Theorem ، والتي كنا قد ناقشناها في وقت سابق في هذا الفصل .

وقد قدم هذا البرهان سموجرفيسكي Smogorzhevski في كتابه " المسطرة في الإنشاءات

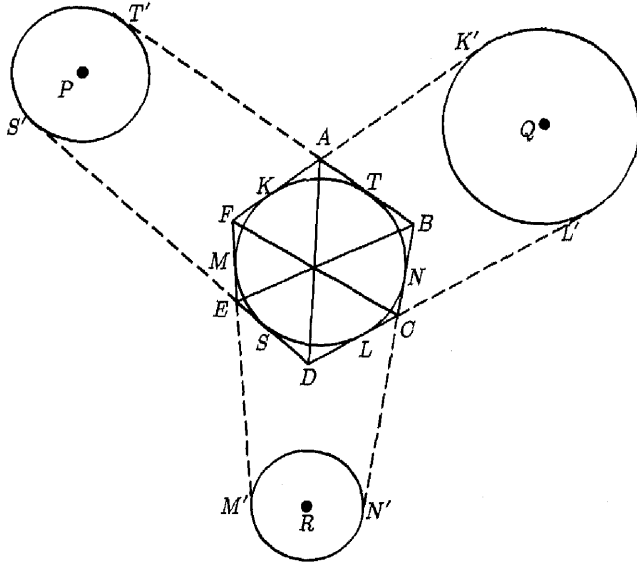
الهندسية "

"The Ruler in Geometrical Constructions, New York: Blaisdell Publishing Company, 1961 ,pp.33-35"

( نظرية براينشون ) إذا أنشئ سداسي يحيط بدائرة، فإن المستقيمات المارة برؤوس السداسي المتقابلة تتقاطع في نقطة واحدة.

نظرية  
15-3

البرهان



شكل 31 - 3

كما يبدو في الشكل 31 - 3، أضلاع الشكل السداسي  $ABCDEF$  تمس الدائرة في النقاط  $T, N, L, S, M, K$ ، أما النقاط  $K', L', N', M', S', T'$  فقد تم اختيارها على  $\overline{FA}, \overline{DC}, \overline{BC}, \overline{FE}, \overline{DE}, \overline{BA}$  على الترتيب، بحيث:

$$.KK' = LL' = NN' = MM' = SS' = TT'$$

لنشئ الآن الدائرة  $P$  التي تمس كلاً من  $\overline{BA}$ ,  $\overline{DE}$  في النقاط  $T'$ ,  $S'$  على الترتيب (بسهولة يمكن تبرير وجود هذه الدائرة). بالمثل نشئ الدائرة  $Q$  التي تمس كلاً من  $\overline{FA}$ ,  $\overline{DC}$  في النقاط  $K'$ ,  $L'$  على الترتيب، وأخيراً نشئ الدائرة  $R$  التي تمس كلاً من  $\overline{FE}$ ,  $\overline{BC}$  في النقاط  $M'$ ,  $N'$  على الترتيب أيضاً.

لأن المقطعتين المماسيتين المرسومتين من نقطة خارج دائرة لهما نفس الطول، إذن  $FM = FK$ ، ولكننا بالفرض نعلم أن  $MM' = KK'$ ، إذن بالجمع نحصل على:

$$FM' = FK'$$

وبالمثل:

$$CL = CN, LL' = NN'$$

بالطرح نجد أن:

$$CL' = CN'$$

الآن، وبقليل من الملاحظة، نرى أن النقطتين  $F, C$  كل منهما نقطتا النهاية للمقطعتين المماسيتين المتطابقتين للدائرتين  $R, Q$ . إذن، هاتان النقطتان تحددان المحور الأساسي  $\overline{CF}$  للدائرتين  $R, Q$ .

وباستخدام نفس الأسلوب، سنجد بسهولة أن  $\overline{AD}$  هو المحور الأساسي للدائرتين  $P, Q$ ، و  $\overline{BE}$  هو المحور الأساسي للدائرتين  $P, R$ .

قد أثبتنا سابقاً (نظرية 14 - 3) أن المحاور الأساسية لثلاث دوائر مراكزها ليست على استقامة واحدة (مثنى مثنى) تتقاطع في نقطة واحدة، ولهذا  $\overline{CF}$ ,  $\overline{AD}$ ,  $\overline{BE}$  تتقاطع في نقطة واحدة.

لاحظ أن الطريقة الوحيدة التي تجعل مراكز الدوائر الثلاث على استقامة واحدة هي أن تنطبق الأقطار وهذا مستحيل.

## تدريبات

1. الأضلاع  $\overline{AB}, \overline{BC}, \overline{CD}, \overline{DA}$  تمثل أضلاع الشكل الرباعي  $ABCD$  والذي يقطعها خط مستقيم في النقاط  $K, L, M, N$  على الترتيب. أثبت أن

$$\frac{BL}{LC} \cdot \frac{AK}{KB} \cdot \frac{DN}{NA} \cdot \frac{CM}{MD} = 1$$

2. في المربع  $ABCD$  مددنا الضلع  $\overline{AB}$  إلى النقطة  $P$  بحيث  $BP = 2(AB)$ ، إذا كانت النقطة  $M$  منتصف  $\overline{BC}$ ، و  $\overline{BM}, \overline{AC}$  يتقاطعان في  $Q$ ، وكذلك  $\overline{PQ}, \overline{BC}$  يتقاطعان في  $R$ . استخدم نظرية منيلوس لتحصل على قيمة النسبة

$$\frac{CR}{RB}$$

3. في المثلث  $ABC$ ، النقطتان  $P, R$  تقعان على  $\overline{AB}, \overline{AC}$  على الترتيب بحيث  $\overline{AP} \cong \overline{AR}$ . أثبت أن المتوسط  $\overline{AM}$  يقسم  $\overline{PR}$  إلى قطعتين مستقيمتين متناسبتين مع  $\overline{AB}, \overline{AC}$ .

4. أثبت أن مماسات الدائرة المحيطة بالمثلث  $ABC$  عند رؤوسه تقطع الضلع المقابل في المثلث في ثلاث نقاط تقع على استقامة واحدة.

5. أثبت أنه إذا كان الخط المستقيم المار بنقطة تقاطع المتوسطات  $G$  في المثلث  $ABC$

$$\text{ويقطع كلاً من } \overline{AB}, \overline{AC} \text{ في النقطتين } M, N \text{ على الترتيب فإن}$$

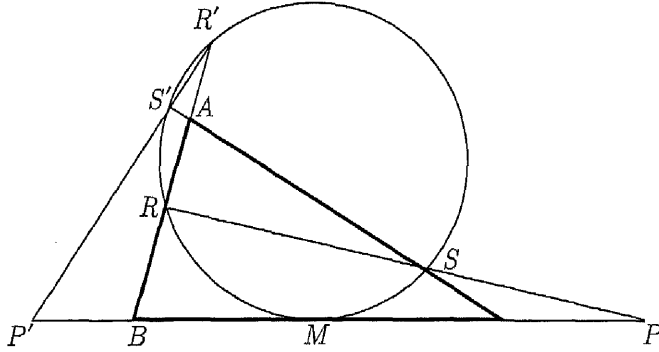
$$.(AM)(NC) + (AN)(MB) = (AM)(AN)$$

6. الدائرة التي تمس الضلع  $\overline{BC}$  عند نقطة منتصفه  $M$  في المثلث  $ABC$ ، تقطع أيضاً

$\overline{AB}, \overline{AC}$  في  $S, S', R, R'$  على الترتيب. إذا مددنا  $\overline{RS}, \overline{R'S'}$  ليقطعا  $\overline{BC}$  في

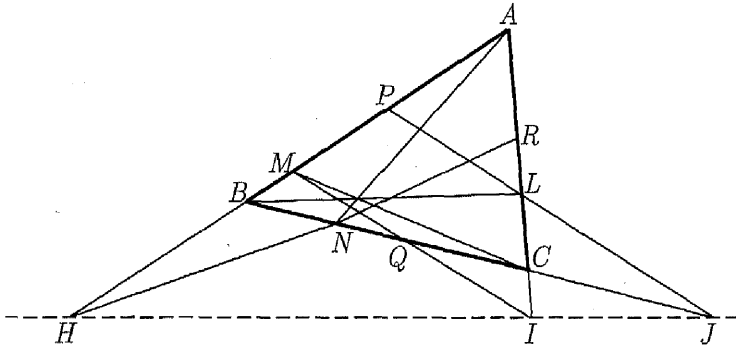
$P, P'$  على الترتيب (انظر الشكل 32 - 3). فأثبت أن

$$.(BP)(BP') = (CP)(CP')$$



شكل 32 - 3

7. في المثلث  $ABC$ ، النقاط  $P, Q, R$  هي منتصفات الأضلاع  $\overline{AB}, \overline{BC}, \overline{AC}$  على الترتيب،  $\overrightarrow{AN}, \overrightarrow{BL}, \overrightarrow{CM}$  تتقاطع في نقطة واحدة وتقطع الأضلاع المقابلة في  $N, L, M$  على الترتيب. إذا كان  $\overrightarrow{PL}$  يقطع  $\overline{BC}$  في النقطة  $J$ ،  $\overrightarrow{MQ}$  يقطع  $\overline{AC}$  في النقطة  $I$ ،  $\overrightarrow{RN}$  يقطع  $\overline{AB}$  في النقطة  $H$ ، فأثبت أن النقاط  $H, I, J$  تقع على استقامة واحدة (انظر الشكل 3-33).



شكل 33 - 3

8. إذا التقى المماسان المشتركان الخارجيان للدائرتين  $O, Q$  في النقطة  $M$ ، والتقى المماسان المشتركان الخارجيان للدائرتين  $O, S$  في النقطة  $N$ ، والتقى المماسان



المشتركان الخارجيان للدائرتين  $Q, S$  في النقطة  $L$ ، فأثبت أن  $M, N, L$  تقع على استقامة واحدة إذا علمت أن الدوائر الثلاث لا يوجد منها اثنتان متطابقتان ولا يوجد منها اثنتان لهما المركز نفسه.

9. أثبت أن نقاط تقاطع المنصفات العمودية للمنصفات الداخلية لزوايا أي مثلث مع أضلاع المثلث المقابلة لتلك الزوايا تقع على استقامة واحدة.

10. مستخدماً نظرية منيلوس، قدم برهاناً للتطبيق رقم ٦.

11. وضح كيف تستخدم نظرية براينشون في إثبات وجود نقطة جيرجون في المثلث؟

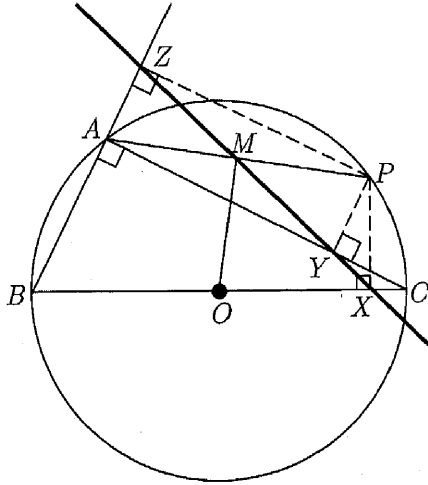
12. قارن بين نظرتي يابوس، وباسكال.

13. اكتب ثم برهن عكس نظرية ديزارغ.

14. اكتب ثم برهن عكس نظرية سيمسون.

15. على الشكل 34 - 3،  $\triangle ABC$  قائم في  $A$  ومرسوم داخل دائرة  $O$ . خط

سيمسون للنقطة  $P$  بالنسبة للمثلث  $ABC$  يلاقي  $\overline{PA}$  في النقطة  $M$ . أثبت أن  $\overline{MO}$  عمودي على  $\overline{PA}$  عند النقطة  $M$ .



شكل 34 - 3

16. من النقطة  $P$  على محيط الدائرة  $O$  ، رسمنا ثلاثة أوتار لاقطت الدائرة في النقاط  $A, B, C$ . أثبت أن الدوائر الثلاث التي أقطارها  $\overline{PA}, \overline{PB}, \overline{PC}$  تتقاطع في ثلاث نقاط تقع على مستقيم واحد.
17. إذا أنشأنا مثلثين داخل دائرة واحدة ، ومن نقطة واحدة على الدائرة رسمنا خطي سيمسون لكل من المثلثين. أثبت أن الزاوية المحصورة بين خطي سيمسون هي مقدار ثابت وذلك بغض النظر عن وضع هذه النقطة.
18. أثبت أن القطع المماسية لدائرتين (إذا وجدت) ، فإن المحور الأساسي لهاتين الدائرتين ينصفها.
19. أثبت أن المحور الأساسي لدائرتين قطراهما هما قطرا شبه منحرف ، يمر بنقطة تقاطع ضلعي شبه المنحرف غير المتوازيين .
20. أثبت أن النقاط الأربع الناتجة من تقاطع مستقيمين قاطعين لدائرتين واللذين هما مرسومان من نقطة تقع على المحور الأساسي لهاتين الدائرتين ، تقع على دائرة ثالثة (أي تشكل رؤوس رباعي دائري).

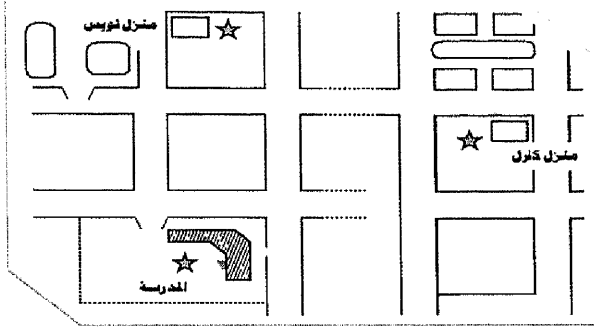


## نقاط متماثلة في المثلث

### مقدمة

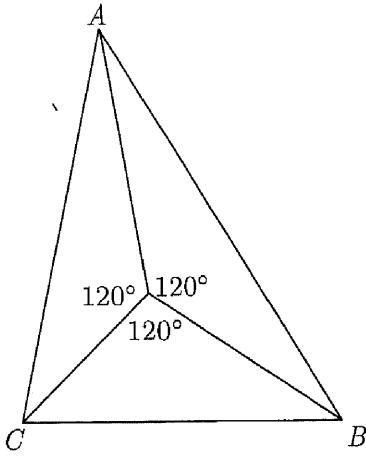
لنفرض أنك وأحد أصدقائك تخططون لإنشاء ملقم كمبيوتر يعمل عن بعد لتخزين المعلومات من كمبيوترك الخاص وكمبيوتر صديقك والكمبيوتر الخاص بالمدرسة، نلاحظ بسهولة أن مواقع هذه الأجهزة تمثل مثلثاً، ولنفرض أن أي زاوية من زواياه لا تزيد عن  $120^\circ$ . حاول باستخدام الخريطة المرفقة ( انظر الشكل 0-4 ) أن تجد موقعاً أو نقطة مناسبة لهذا الملقم بحيث تكون المسافة بينه وبين كل جهاز كمبيوتر من الثلاثة أقل ما يمكن ، وسوف نطلق على هذه النقطة " نقطة المسافة الصغرى " minimum distance point . ثرى كيف نجد هذه النقطة ؟

في هذا الفصل سوف نطور بعض النظريات التي ستمكننا من حل هذه المشكلة ، وأثناء ذلك سوف نواجه عدداً من النظريات الشيقة والتي تلقي الضوء على بعض الخواص الساحرة للمثلثات.



شكل 0-4

### نقطة تساوي الزوايا Equiangular point

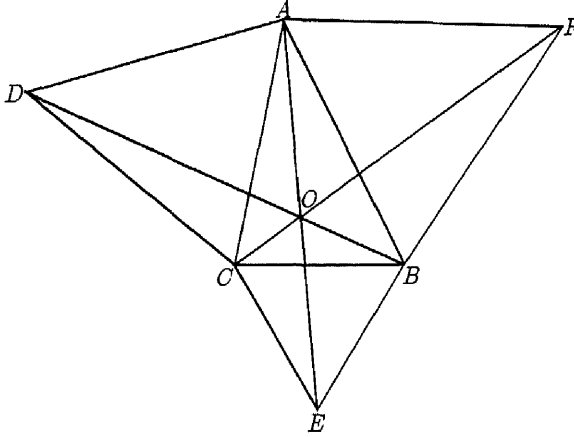


شكل 1-4

ثرى كيف لنا أن نحدد النقطة التي تتطابق حولها الزوايا الناتجة من الأشعة الخارجة منها إلى رؤوس المثلث ؟ دعونا نحدد هذه النقطة ( انظر الشكل 1-4 ) .

ستكون أول خطواتنا لإيجاد هذه النقطة ذات الخاصية المهمة هو إنشاء مثلثات متطابقة الأضلاع على كل ضلع من أضلاع المثلث من الخارج، ثم قطعاً مستقيمة تصل بين كل رأس خارجية من هذه المثلثات بالرأس المقابلة لها من المثلث الأصلي ( انظر الشكل 2-4 ) .

وتقدم النظرية 1-4 الخاصة المدهشة للمستقيمات الثلاثة، وبعد إثبات هذه الخاصية سنعود لسألتنا الأصلية.



شكل 2-4

القطع المستقيمة الواصلة بين رؤوس مثلث والرؤوس الخارجية للمثلثات المتطابقة الأضلاع المنشأة على أضلاع هذا المثلث من الخارج متطابقة.

نظرية 1-4

خطة البرهان

أثبت أن  $\overline{DB} \cong \overline{AE}$  ،  $\overline{DB} \cong \overline{AE}$  عن طريق إثبات أن

- $\triangle EBA \cong \triangle CBF$  ومن ثم أثبت أن  $\triangle DCB \cong \triangle ACE$

## البرهان

لأن  $m\angle DCB = m\angle ACE$  ،  $m\angle DCA = m\angle ECB = 60^\circ$  (بالإضافة).  
 وأيضاً، لأن لدينا مثلثات متطابقة الأضلاع؛ فإن  $DC = AC$  ، وكذلك  $CB = CE$  ،  
 إذن  $\triangle ACB \cong \triangle ACE$  (SAS) ، وهذا يثبت لنا أن :  $\overline{DB} \cong \overline{AE}$  ، وبنفس  
 الطريقة نستطيع إثبات أن  $\triangle EBA \cong \triangle CBF$  . وهذا يمكننا من إثبات أن  
 ●  $\overline{DB} \cong \overline{AE} \cong \overline{CF}$  ومنه  $\overline{AE} \cong \overline{CF}$

من خلال الشكل 2-4 ، لعلك لاحظت أن  $\overline{DB}$  ،  $\overline{AE}$  ،  $\overline{CF}$  تتقاطع جميعها  
 في نقطة واحدة ، وهذه الملاحظة تعطينا النظرية التالية .

## نظرية 2-4

القطع المستقيمة الواصلة بين رؤوس مثلث والرؤوس الخارجية  
 للمثلثات المتطابقة الأضلاع المنشأة على أضلاع هذا المثلث من  
 الخارج تتقاطع جميعاً في نقطة واحدة. ( تسمى هذه النقطة نقطة  
 فيرما\* Fermat Point للمثلث )

## خطة البرهان

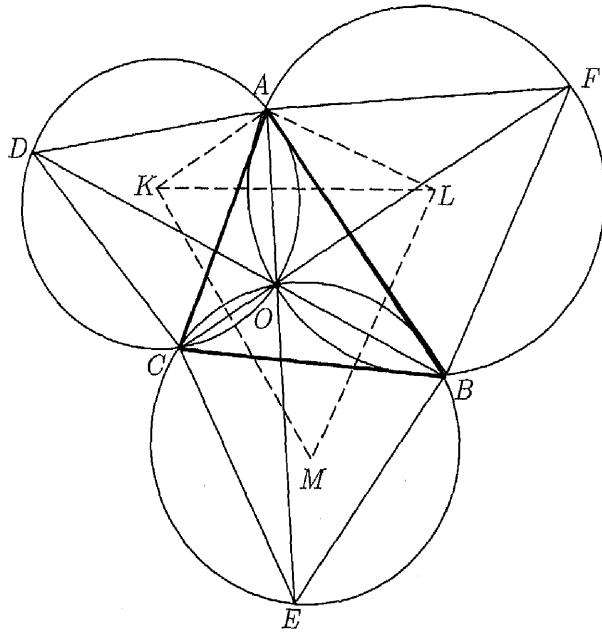
أنشئ الدائرة المحيطة لكل مثلث من المثلثات الثلاثة ، وحاول أن تثبت أن الدوائر  
 الثلاثة تتقاطع في النقطة  $O$  . القطع المستقيمة الست الخارجة من النقطة  $O$  والواصلة  
 إلى النقاط  $A, B, C, D, E, F$  ستعين المستقيمت الثلاثة المتقاطعة في نقطة واحدة. ●

\* سميت باسم الرياضي الفرنسي بيير دي فيرما Pierre de Fermat (١٦٠١-١٦٦٥).

## البرهان

لنفرض أن مراكز الدوائر الثلاث المحيطة بالمثلثات المتطابقة الأضلاع  $\triangle ACD, \triangle ABF, \triangle BCE$  هي  $K, L, M$  ( انظر الشكل 3-4 ). الدائرتان  $K, L$  تتقاطعان في النقطتين  $O, A$ .

$$m\angle AOC = \frac{1}{2} \left( m\widehat{ADC} \right), m\widehat{ADC} = 240^\circ \Rightarrow m\angle AOC = 120^\circ$$



شكل 3-4

$$m\angle AOB = \frac{1}{2} \left( m\widehat{AFB} \right) = 120^\circ \Rightarrow m\widehat{COB} = 120$$

بالمثل



لأن مجموع قياسات الزوايا المتجمعة حول نقطة  $= 360^\circ$ ). ولأن  $m\widehat{CEB} = 240^\circ$  فإن  $\angle COB$  زاوية محيطية والنقطة  $O$  تقع على الدائرة  $M$ . ومن هذا نستنتج أن الدوائر الثلاث تتقاطع في نقطة واحدة هي النقطة  $O$ . الآن نصل النقطة  $O$  بكل من النقاط  $A, B, C, D, E, F$ . وحيث إن :

$m\angle DOA = m\angle AOF = m\angle FOB = 60^\circ$  ، إذن النقاط  $B, O, D$  تقع على مستقيم واحد  $\overline{DOB}$ . بالمثل بالنسبة لكل من  $\overline{COF}, \overline{AOE}$ . وهذا يثبت أن  $\overline{DB}, \overline{AE}, \overline{CF}$  تتقاطع جميعاً في نقطة واحدة هي  $O$ . ( وهذه النقطة هي أيضاً نقطة تقاطع الدوائر الثلاث  $K, L, M$  ). ●

والآن هل تستطيع أن تعين موضع النقطة داخل المثلث  $ABC$  بحيث تكون الزوايا التي تواجه أضلاع المثلث الثلاثة والمتجمعة حولها متطابقة ؟  
لعلك تعرف الآن أنها النقطة  $O$  والتي تسمى نقطة تساوي الزوايا Equiangular point للمثلث  $ABC$  وذلك لأن :

$$m\angle AOB = m\angle AOC = m\angle BOC = 120^\circ$$

وقبل أن نكمل بحثنا في موضوع نقطة تساوي الزوايا والتي سوف نعود إليها مرة أخرى خلال هذا الفصل ، دعونا نستفد من النظرية التالية ، والتي تشير المصادر بأن الذي وضعها هو نابليون بونابرت Napoleon Bonaparte وتظهر هذه النظرية بوضوح موهبته الرياضية والتي كان من نتائجها أن يطلق البعض على المثلث المتطابق الأضلاع مثلث نابليون Napoleon triangle.

**نظرية 3-4** مراكز الدوائر المحيطة بالمثلثات المتطابقة الأضلاع المنشأة على أضلاع مثلث من الخارج هي رؤوس مثلث متطابق الأضلاع.

## خطة البرهان

أثبت أن أضلاع  $\triangle KLM$  تتناسب مع  $\overline{AE}, \overline{BD}, \overline{CF}$  ( أثبتنا سابقاً أن  $\overline{DB} \cong \overline{AE} \cong \overline{CF}$  ). ●

## البرهان

في المثلث  $DAC$  (انظر الشكل 3-4)، النقطة  $K$  (نقطة تقاطع المتوسطات) تقسم المتوسط أو العمود (لأن المثلث متطابق الأضلاع) بنسبة 1 : 2 من جهة الرأس، أي أن  $AK$  يساوي ثلثي المتوسط، وباستخدام العلاقات في المثلث الثلاثيني الستيني نحصل على  $AC : AK = \sqrt{3} : 1$ .

ولأن  $m\angle KAC = m\angle LAF = 30^\circ$ ، وبإضافة  $m\angle CAL$  نحصل على  $m\angle KAL = m\angle CAF$ ، وبالتالي نستنتج أن  $\triangle KAL \sim \triangle CAF$  والذي يؤدي إلى أن:

$$CF : KL = CA : AK = \sqrt{3} : 1$$

بالمثل يمكننا إثبات أن:

$$DB : KM = \sqrt{3} : 1, AE : ML = \sqrt{3} : 1$$

$$\Rightarrow DB : KM = AE : ML = CF : KL$$

ولكننا أثبتنا سابقاً أن:  $DB = AE = CF$  وهذا يقود إلى

● أن  $KM = ML = KL$ ، أي أن  $\triangle KML$  متطابق الأضلاع.

## من خصائص المثلثات المتطابقة الأضلاع

لعلنا قبل العودة لمشكلة أين يضع لويس وكارل ملقم جهاز الكمبيوتر الخاص بهم، نحتاج لحقيقة مدهشة أخرى عن المثلث المتطابق الأضلاع.

لنرسم مثلثاً كبيراً متطابق الأضلاع، ونختار أي نقطة تقع داخله، ثم نقيس البعد بين هذه النقطة وكل ضلع من أضلاع المثلث الثلاثة، ونسجل مجموع هذه

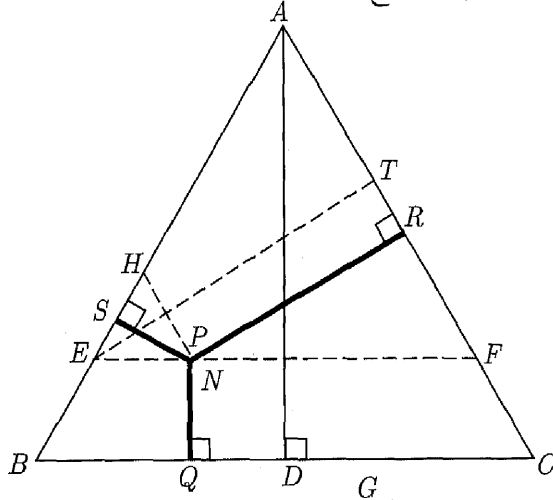
الأبعاد. ونكرر هذه الخطوات مع نقطة أخرى تقع داخل نفس المثلث، ونقارن بين المجموعتين في كل حالة. ثم لنقس طول ارتفاع المثلث المتطابق الأضلاع. ثرى ما نتيجة المقارنة بين المجموعتين وطول ارتفاع المثلث المتطابق الأضلاع؟ للإجابة عن هذا السؤال نقترح لك النظرية التالية.

**نظرية 4-4** مجموع المسافات العمودية من نقطة داخل مثلث متطابق الأضلاع والمرسومة على أضلاع هذا المثلث من الداخل تساوي مقدار ثابت (يساوي طول ارتفاع المثلث).

سنقدم لهذه النظرية المدهشة برهانين مختلفين، الأول منهما سنجزئ ارتفاع المثلث ونقارن بين هذه الأجزاء والمسافات العمودية المرسومة من النقطة إلى أضلاع المثلث. أما البرهان الثاني فنستخدم فيه مقارنة المساحات.

*I* البرهان

في المثلث المتطابق الأضلاع  $ABC$ ،  $\overline{AD} \perp \overline{BC}$ ،  $\overline{PS} \perp \overline{AB}$ ،  $\overline{PQ} \perp \overline{BC}$ ،  $\overline{PR} \perp \overline{AC}$ .



شكل 4-4

نرسم مستقيماً يمر بالنقطة  $P$  ويوازي  $\overline{BC}$  ويقطع كلاً من  $\overline{AD}$ ,  $\overline{AB}$ ,  $\overline{AC}$  في النقاط  $G$ ,  $E$ ,  $F$  على الترتيب (انظر الشكل 4-4).  
لأن الشكل  $PGDQ$  مستطيل فإن:

$$PQ = GD$$

لنرسم أيضاً  $\overline{ET} \perp \overline{AC}$ ، ولأن المثلث  $AEF$  متطابق الأضلاع، فإن  $AG \cong ET$  (جميع ارتفاعات المثلث المتطابق الأضلاع متطابقة). وأخيراً، لنرسم  $\overline{AC} \parallel \overline{PH}$  ليلاقي  $\overline{ET}$  في  $N$  فنحصل على:

$$\overline{NT} \cong \overline{PR}$$

وحيث إن  $\triangle EHP$  متطابق الأضلاع وارتفاعيه  $\overline{PS}$ ,  $\overline{EN}$  متطابقان فإن:

$$PS + PR = ET = AG$$

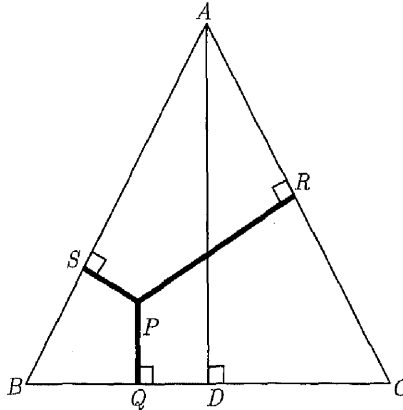
ولكن  $PQ = GD$ ؛ إذن،  $AD = AG + GD = PS + PR + PQ$

(ثابت لأي مثلث). ●

## البرهان II

في المثلث المتطابق الأضلاع  $ABC$ ،  $\overline{PR} \perp \overline{AC}$ ,  $\overline{PQ} \perp \overline{BC}$ ,  $\overline{PS} \perp \overline{AB}$ ,  $\overline{AD} \perp \overline{BC}$ ،

نصل كلاً من  $\overline{PA}$ ,  $\overline{PB}$ ,  $\overline{PC}$  (انظر الشكل 4-5). ومنه نجد أن:



شكل 4-5

$$\begin{aligned} [\Delta ABC] &= [\Delta ABP] + [\Delta PBC] + [\Delta CPA] \\ &= \frac{1}{2}(AB)(PS) + \frac{1}{2}(BC)(PQ) + \frac{1}{2}(AC)(PR) \end{aligned}$$

ولكن  $AB = BC = AC$  ؛ إذن :

$$[\Delta ABC] = \frac{1}{2}(BC)[(PS) + (PQ) + (PR)]$$

ولكن  $[\Delta ABC] = \frac{1}{2}(BC)(AD)$  ، ومن ذلك نجد أن :

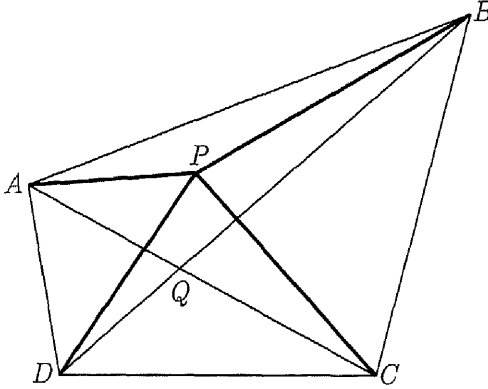
$$\bullet \text{ (ثابت لأي مثلث). } AD = PS + PR + PQ$$

### نقطة المسافة الصغرى

مرة أخرى قبل أن نحل مشكلتنا الأصلية وهي العثور على النقطة التي تبعد أقل مسافة ممكنة عن أضلاع مثلث من الداخل ، دعونا نطرح السؤال التالي : ثرى في أي شكل رباعي ، ما النقطة التي يكون عندها مجموع الأبعاد بين هذه النقطة ورؤوس الرباعي من الداخل أقل ما يمكن ؟

لعل تخمينك المبدئي يكون صحيحاً عندما تظن أن هذه النقطة هي نقطة تقاطع قطري هذا الرباعي ، والتي نطلق عليها نقطة المسافة الصغرى في الشكل الرباعي ، وللتحقق من صحة هذا التخمين دعونا نفترض نقطة أخرى داخل الرباعي غير نقطة تقاطع القطرين ونحصل على مجموع المسافات بينها وبين رؤوسه ونقارنها بمجموع المسافات بين نقطة تقاطع القطرين والرؤوس. وذلك كما يلي :

ليكن  $ABCD$  شكلاً رباعياً يتقاطع قطراه  $\overline{AC}$ ،  $\overline{BD}$  في النقطة  $Q$  ، ولتكن  $P$  نقطة اختيارية داخل الرباعي ( لا تنطبق على  $Q$  ) ، ( انظر الشكل 6 - 4 ) .



شكل 6 - 4

من متباينة المثلث ( مجموع أي ضلعين في المثلث أكبر من الضلع الثالث )؛ إذن:

$$PA + PC > QA + QC, PB + PD > QB + QD$$

بالجمع نحصل على:

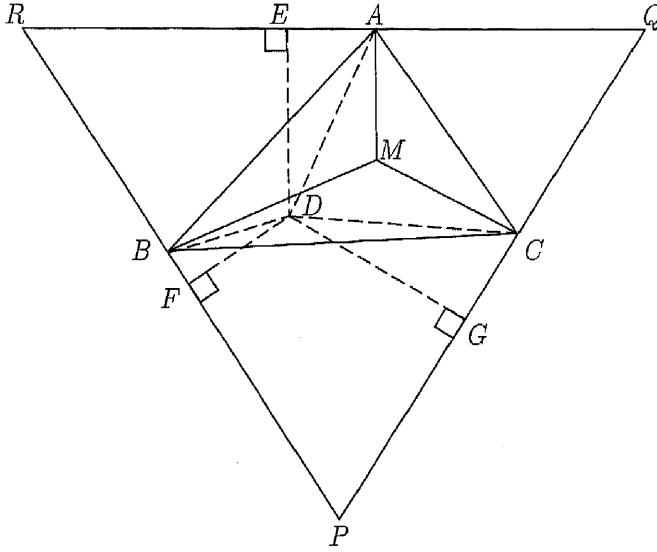
$$PA + PC + PB + PD > QA + QC + QB + QD$$

أي أن مجموع المسافات من نقطة تقاطع قطري أي شكل رباعي إلى رؤوس هذا الشكل أقل من مجموع المسافات بين أي نقطة أخرى داخله ورؤوسه. وهذا يمهّد لنا الطريق لتقديم النظرية.

**نظرية 4-5** نقطة المسافة الصغرى في الشكل الرباعي هي نقطة تقاطع قطريه.

من الطبيعي أن نتساءل أين يجب أن تقع النقطة التي تكون مجموع المسافات منها إلى رؤوس المثلث أقل ما يمكن. وهذا على وجه التحديد ما تطرحه المشكلة التي تصاحبنا من أول الفصل، والتي ربما نسعى الآن للبحث عن نقطة متماثلة لما تم في

حالة الشكل الرباعي ولكن داخل المثلث. بالطبع سنضع في عين الاعتبار نقطة تساوي الزوايا والتي هي بالتأكيد تقدم بعض التماثل داخل المثلث. ليكن  $\triangle ABC$  ليس به زاوية أكبر من  $120^\circ$ ، وتكن  $M$  أي نقطة تقع داخل هذا المثلث بحيث  $m\angle AMB = m\angle BMC = m\angle AMC = 120^\circ$ . وكما في الشكل (٧ - ٤)،



شكل ٧ - ٤

لنرسم مستقيمتا تمر بـ  $A, B, C$  وتكون عمودية على  $\overline{AM}, \overline{BM}, \overline{CM}$  على الترتيب، وتتقاطع في ثلاث نقاط هي رؤوس المثلث المتطابق الأضلاع  $PQR$  (لإثبات أن  $\triangle PQR$  متطابق الأضلاع، لاحظ أن قياس كل زاوية من زواياه تساوي  $60^\circ$  وذلك ناتج من أن الرباعي  $AMBR$  - على سبيل المثال - فيه  $m\angle AMB = 120^\circ$  وبالتالي فإن  $m\angle MAR = m\angle MBR = 90^\circ$ ؛

$$(m\angle ARB = 60^\circ)$$

لتكن الآن  $D$  أي نقطة تقع داخل  $\triangle ABC$  ، وبالتالي فمن نظرية (4-4) فإن :

$$MA + MB + MC = DE + DF + DG$$

(حيث  $DE, DF, DG$  أعمدة على  $REQ, RBP, QGP$  على الترتيب)، ولكن

$$DE + DF + DG < DA + DB + DC$$

(أقصر بعد بين مستقيم ونقطة تقع خارجة هو البعد العمودي بين هذه النقطة والمستقيم). بالتعويض نجد  $MA + MB + MC < DA + DB + DC$ .

ربما تتساءل لماذا وضعنا شرط أن المثلث الذي اخترناه لا يجب أن تزيد أي زاوية من زواياه عن  $120^\circ$  ، ولكنك إذا حاولت أن ترسم النقطة  $M$  في مثلث إحدى زواياه على سبيل المثال  $150^\circ$  فإنك ستعرف لماذا وضعنا هذا الشرط.

**نظرية 4-6** نقطة المسافة الصغرى في مثلث جميع زواياه أقل من  $120^\circ$  ، هي النقطة متساوية الزوايا ( أي النقطة التي تضم زوايا متطابقة حولها وتواجه أضلاع المثلث ).

نحن الآن مستعدون لحل المشكلة الخاصة باختيار أفضل موقع لكمبيوتر التحكم عن بُعد ( أي الموقع الذي تكون عنده المسافات للمنازل أقل ما يمكن ، فبعد رسم مثلث على الخريطة تكون المنازل هي رؤوسه ، عليك أن تنشئ النقطة التي عندها تكون المسافة أقل ما يمكن عن طريق تحديد موضع نقطة متساوية الزوايا داخل ذلك المثلث ( والتي هي أيضاً النقطة التي عندها تكون المسافة أقل ما يمكن) بالطريقة التي اتبعناها في نظرية (4-1) .



## تدريبات

1. أوجد مجموع أطوال الأعمدة الثلاثة المرسومة من أي نقطة تقع داخل مثلث متطابق الأضلاع طول ضلعه 10.
2. حدد موضع نقطة تقع داخل مثلث حاد الزوايا بحيث مجموع المسافات التي تبعتها عن رؤوسه أقل ما يمكن.
3. وضح لماذا وضعنا في نظرية (6 - 4) شرط أن يكون قياس أي زاوية في المثلث أقل من  $120^\circ$ .
4. إذا كانت إحدى زوايا مثلث أكبر من أو تساوي  $120^\circ$ ، فأثبت أن رأس هذه الزاوية هي النقطة التي عندها تكون المسافة أقل ما يمكن.
5. إذا أنشأنا مربعات على أضلاع مثلث من الخارج، فأثبت أن الخط المستقيم المار بمركزي أي مربعين منها يكون عمودياً على الخط المستقيم المار بالرأس المشتركة لهذين المربعين ومركز المربع الثالث.
6. أثبت أكبر المثلثات مساحة بين كل المثلثات التي لها المحيط نفسه هو المثلث المتطابق الأضلاع.
7. أثبت أن أقل المثلثات محيطاً بين كل المثلثات التي لها المساحة نفسها هو المثلث المتطابق الأضلاع.
8. أثبت أن مراكز الدوائر المحيطة بالمثلثات الثلاثة المتشابهة والمنشأة على أضلاع أي مثلث من الخارج هي رؤوس مثلث يشابه هذه المثلثات.
9. أثبت نظرية (3 - 4) في حالة رسم المثلثات الثلاثة المتطابقة الأضلاع على أضلاع مثلث من الداخل ( هذه الحالة تسمى مثلث نابليون الداخلي internal Napoleon

triangle بينما في حالة رسم المثلثات من الخارج كما في نظرية (3 - 4) فيسمى مثلث نابليون الخارجي (external Napoleon triangle).

10. أثبت أن مثلث نابليون الداخلي ومثلث نابليون الخارجي لهما نفس المركز، وأن الفرق بين مساحتهما يساوي مساحة المثلث الأصلي.



## المزيد من خصائص المثلث

### مقدمة

تأتي أهمية دراسة خصائص المثلث بالنسبة للطلاب الذين يدرسون الهندسة في المدارس الثانوية من كونها تمثل قاعدة أساسية لدراسة الهندسة الإنشائية. وفي الواقع، بعد إكمال الطلاب مقرر الهندسة في المرحلة الثانوية يشعرون بأنهم قد تعرفوا على كل ما يختص بالمثلثات. ولكن بعد أن وصلنا إلى هذه المرحلة من كتابنا هذا نرى أن ذلك غير صحيح. بالطبع، ستشعر بأنك لا تزال في نطاق المبادئ الأولية للهندسة، ومع ذلك واصل القراءة وشاهد كيف أن بعض الخصائص البسيطة للمثلث هي في الحقيقة ليست عادية.

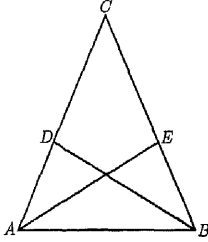
### منصفات الزوايا Angle bisectors

في سنوات دراستنا السابقة، تعرفنا جميعاً على القاعدة التي تقول بأن منصفي زاويتي القاعدة في المثلث المتطابق الضلعين متطابقتان، وهذا من السهل إثباته. ولكن لا يزال عكس هذه القاعدة مهماً مع أن هذا العكس أيضاً يمثل نظرية صحيحة ولكنها صعبة الإثبات.

إذا تطابق منصف زاويتين في مثلث، فإن هذا المثلث يكون متطابق الضلعين.

نظرية 5-1

يعد برهان هذه النظرية من أصعب البراهين في الهندسة الأساسية؛ ولهذا السبب سنقدم عدداً من البراهين المختلفة والتي لكل منها مزاياه الخاصة.



شكل 5-1

بداية، نعيد عرض النظرية على  $\Delta ABC$ .

المعطيات:  $\overline{AE}, \overline{BD}$  منصفاً زاويتين في  $\Delta ABC$ ،

$\overline{AE} \cong \overline{BD}$ . (انظر الشكل 5-1).

المطلوب: أثبت أن  $\Delta ABC$  متطابق الضلعين.

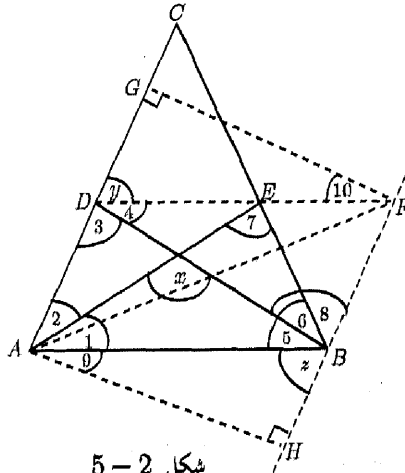
### البرهان I

نرسم  $\angle AEB \cong \angle DBF$  بحيث  $\overline{BF} \cong \overline{BE}$ ، ثم نصل  $\overline{DF}$  (انظر

الشكل 5-2). ونرسم  $\overline{AC} \perp \overline{FG}, \overline{FB} \perp \overline{AH}$  في  $H$ .

لأن  $\overline{FB} \cong \overline{EB}, \overline{AE} \cong \overline{DB}$  إذن  $\Delta AEB \cong \Delta DBF$ ؛

ومنه فإن  $\overline{AB} \cong \overline{DF}$ ،  $m\angle 4 = m\angle 1$ ، وأيضاً



شكل 5-2

$$\begin{aligned}
 & \text{(زاوية خارجية عن المثلث)} \quad m\angle x = m\angle 3 + m\angle 2 \\
 & \text{(بالتعويض)} \quad m\angle x = m\angle 3 + m\angle 1 \\
 & \text{(بالتعويض)} \quad m\angle x = m\angle 3 + m\angle 4 \\
 & \text{(زاوية خارجية)} \quad m\angle x = m\angle 7 + m\angle 6 \\
 & \text{(بالتعويض)} \quad m\angle x = m\angle 5 + m\angle 7 \\
 & \text{(بالتعويض)} \quad m\angle x = m\angle 5 + m\angle 8 \\
 & \text{(بالتعدي)} \Rightarrow m\angle 5 + m\angle 8 = m\angle 3 + m\angle 4 \\
 & \Rightarrow m\angle y = m\angle z
 \end{aligned}$$

$$\triangle FDG \cong \triangle ABH \Rightarrow FG = AH, DG = BH$$

$$\triangle AFG \cong \triangle FAH \Rightarrow AG = FH$$

ومن ذلك نستنتج أن الشكل  $GFHA$  متوازي أضلاع. أي أن :

$$\text{(بالطرح)} \quad m\angle 10 = m\angle 9 \Rightarrow \angle DAB = \angle DFB$$

ولكن  $m\angle DFB = m\angle EBA$  (من  $\triangle DBF, \triangle AEB$ ). بالطرح نحصل على :

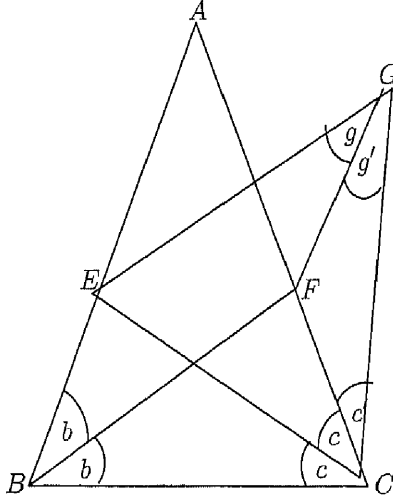
$$\text{(بالتعدي)} \quad m\angle DAB = m\angle EBA$$

● أي أن  $\triangle ABC$  متطابق الضلعين .

## البرهان II (غير مباشر)

نفرض أن  $\triangle ABC$  غير متطابق الضلعين، ولتكن  $m\angle ABC > m\angle ACB$  ،  
 (انظر الشكل 3 - 5) ، باستخدام المعطى  $\overline{BF} \cong \overline{CE}, \overline{BC} \cong \overline{BC}$

و  $CF > BE$  \* . ومن النقطة  $F$  ننشئ  $\overline{EB} \parallel \overline{GF}$  ومن النقطة  $E$  ننشئ  $\overline{GE} \parallel \overline{BF}$  ، ومن ذلك نحصل على متوازي الأضلاع  $BFGE$  الذي فيه



شكل 3 - 5

وبالتالي يكون  $\triangle GEC$  متطابق الضلعين.  $\overline{BF} \cong \overline{EG}$ ,  $\overline{EG} \cong \overline{CE}$   
 $\Rightarrow m\angle(g + g') = m\angle(c + c')$

ولدينا

$$m\angle(g) = m\angle(b) \Rightarrow m\angle(b + g') = m\angle(c + c')$$

ولأن

$$m\angle b > m\angle c$$

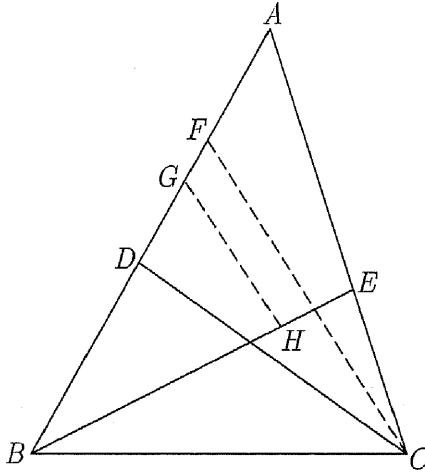
\* إذا طابق ضلعان في مثلث نظيريهما في مثلث آخر وكانت الزاوية المحصورة بين الضلعين في المثلث الأول أكبر من الزاوية المحصورة بين الضلعين في المثلث الآخر ، فإن الضلع الثالث في المثلث الأول أكبر من الضلع الثالث في المثلث الآخر .

( من الفرض )، نجد أن  $m\angle g' < m\angle c'$  وباستعمال المتباينة الأخيرة في  $\Delta GFC$ ، نصل إلى أن  $CF < GF$ ، ولكن  $GF = BE$ ، إذن  $CF < BE$ . وبالعودة للمتباينة  $m\angle ABC > m\angle ACB$  التي فرضناها أولاً، نحصل على التناقض التالي :

$$CF < BE, CF > BE$$

لذا فإن  $\Delta ABC$  متطابق الضلعين. ●

البرهان III (غير مباشر)



شكل 4 - 5

في  $\Delta ABC$ ، حيث  $BE = DC$  من صفا الزاويتين  $ABC, ACB$  على الترتيب ( انظر الشكل 4 - 5). نفرض أن  $m\angle ABC < m\angle ACB$ ، ثم نرسم  $\angle FCD \cong \angle ABE$ .



لاحظ أننا نستطيع وضع النقطة  $F$  بين رأسي المثلث  $A, B$  دون أن نفقد العمومية. في  $\triangle FBC$  ،  $FB > FC$  ( إذا اختلفت قياسا زاويتين في مثلث ، فإن الضلعين المقابلين لهما أيضاً يكونان مختلفين في الطول ، حيث يكون الضلع الأكبر في الطول مواجهاً للزاوية الكبرى في القياس ).

لنختر النقطة  $G$  بحيث  $\overline{BG} \cong \overline{FC}$  ثم نرسم  $\overline{GH} \parallel \overline{FC}$  ، وعليه :

$$\begin{aligned} \angle BGH &\cong \angle BFC \\ \Rightarrow \triangle BGH &\cong \triangle CFB \quad (SAS) \end{aligned}$$

ومن التطابق تستنتج أن  $BH = DC$  ولكن  $BH < BE$  ومنه  $DC > BE$  وهذا يناقض المعطى الخاص بأن منصفى الزاويتين متساويان في الطول أي أنه يستحيل أن تكون  $m\angle ABC < m\angle ACB$  . وبنفس الطريقة يمكننا إثبات أنه من المستحيل أيضاً أن تكون  $m\angle ABC > m\angle ACB$  مما يؤدي إلى أن :

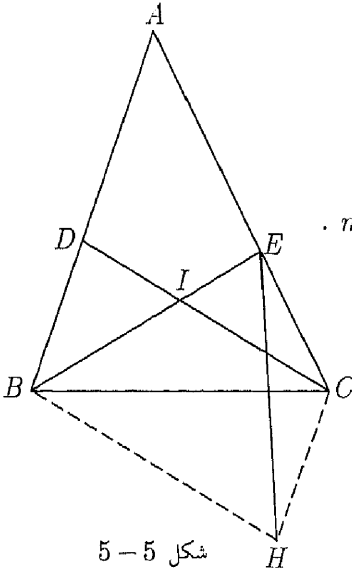
$$m\angle ACB = m\angle ABC$$

● أي أن  $\triangle ABC$  متطابق الضلعين .

البرهان IV ( غير مباشر )

في  $\triangle ABC$  ، نفرض أن  $m\angle B > m\angle C$  ، حيث  $\overline{BE} \cong \overline{DC}$  ،  $BE, DC$  منصفوا الزاويتين  $ABC, ACB$  على الترتيب. نرسم  $\overline{BH} \parallel \overline{DC}$  ،  $\overline{CH} \parallel \overline{DB}$  فنحصل على متوازي الأضلاع  $DCHB$  كما في الشكل 5-5. إذن  $\overline{BH} \cong \overline{BE} \cong \overline{DC}$  ، و  $\triangle BHE$  متطابق الضلعين.

وعليه فإن :



$$m\angle BEH = m\angle BHE \quad (I)$$

ومن الفرض  $m\angle B > m\angle C$  لدينا

$$. m\angle CBE > m\angle BCD, CE > DB$$

ولأن  $BH = DC$ ، فإن  $CE > CH$ ،

وهذا يؤدي إلى أن

$$. m\angle CHE > m\angle CEH \quad (II)$$

شكل 5-5

في  $\triangle CEH$ ، بجمع (I)، (II)، نحصل على  $m\angle BHC > m\angle BEC$ ، ولأن الشكل  $DCHB$  متوازي أضلاع؛ فإن  $m\angle BHC = m\angle BDC$ ، ثم بالتعويض نحصل على:

$$m\angle BDC > m\angle BEC$$

وفي  $\triangle DBI, \triangle ECI$ ،

لدينا

$$m\angle DIB = m\angle EIC$$

ولأن  $m\angle BDC > m\angle BEC$ ، نجد:

$$m\angle DBI < m\angle ECI$$

وبمضاعفة المتباينة الأخيرة نحصل على  $m\angle B < m\angle C$ ، وهذا يناقض الفرض الذي فرضناه أولاً ( $m\angle B > m\angle C$ )، وينفس الطريقة إذا بدأنا بفرض أن

فإننا نحصل على نفس التناقض مما يؤدي إلى أن

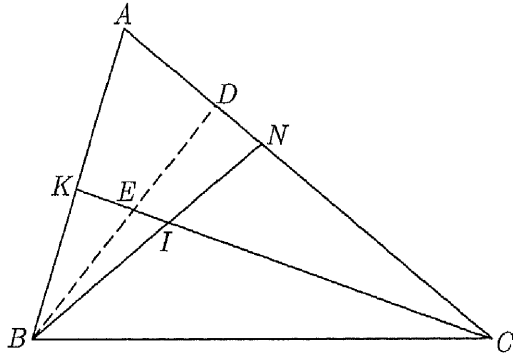
$$m\angle ACB = m\angle ABC$$

● أي أن  $\triangle ABC$  متطابق الضلعين .

إذا اختلف قياسا زاويتين في مثلث فإن منصف الزاوية الكبرى يكون أقل طولاً من منصف الزاوية الثانية.

نظرية 5-2

البرهان



شكل 6 - 5

المثلث  $ABC$  فيه:  $m\angle ABC > m\angle ACB$  ،  $BN, CK$  منصفتا الزاويتين  
 $ABC, ACB$  على الترتيب ويتقاطعان في النقطة  $I$  ، نرسم  $\overline{BD}$  بحيث  
 $m\angle DBN = m\angle ACK$  ويقطع  $\overline{CK}$  في النقطة  $E$  ( انظر الشكل 6 - 5 ) .

$$\Rightarrow \triangle DBN \sim \triangle DCE \quad (\text{AA})$$

$$\Rightarrow \frac{BD}{CD} = \frac{BN}{CE} \quad (1)$$

ومن جهة ثانية، لدينا المعطى  $m\angle ABC > m\angle ACB$  ؛ إذن:

$$\frac{1}{2}m\angle ABC > \frac{1}{2}m\angle ACB \quad \text{or} \quad m\angle NBC > m\angle BCK$$

ولكن  $m\angle DBN = m\angle ACK$  ، وبالجمع نحصل على:

$$m\angle DBC > m\angle DCB$$

في المثلث  $DBC$  ، لدينا  $BD < CD$  ، ومن (1) أعلاه نجد  $BN < CE$  الذي يقود إلى أن:

$$BN < CK$$

وهو المطلوب إثباته . ●

قياس الزاوية المحصورة بين منصفين داخليين لزاويتين في مثلث يساوي مجموع قياس زاوية قائمة ونصف قياس الزاوية الثالثة .

نظرية 3-5

البرهان

$BN, CM$  منصفاً زاويتين في المثلث  $ABC$  ، يتقاطعان في النقطة  $I$  ( انظر

الشكل 5-7 ). وفي  $\triangle BIC$  :  $m\angle BIC = 180^\circ - m\angle IBC - m\angle ICB$

$$\Rightarrow m\angle BIC = 180^\circ - \left[ \frac{1}{2}(m\angle ABC) + \frac{1}{2}(m\angle ACB) \right]$$

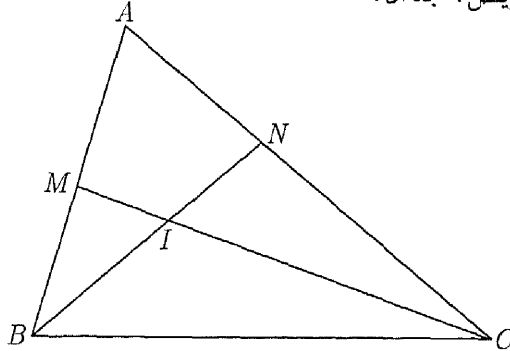
ولكن:

$$m\angle ABC + m\angle ACB = 180^\circ - m\angle A$$

أي أن

$$\frac{1}{2}(m\angle ABC) + \frac{1}{2}(m\angle ACB) = 90^\circ - \frac{1}{2}(m\angle A)$$

بالتعويض، نجد أن:



شكل 5-7

$$m\angle BIC = 180^\circ - \left[ 90^\circ - \frac{1}{2}(m\angle A) \right] = 90^\circ + \frac{1}{2}(m\angle A)$$

● وهو المطلوب إثباته .

يعتبر التطوير المنطقي لنظرية 3-5 هو الحديث عن المنصفات الخارجية للزوايا

وهو ما نقدمه في نظرية 4-5 .

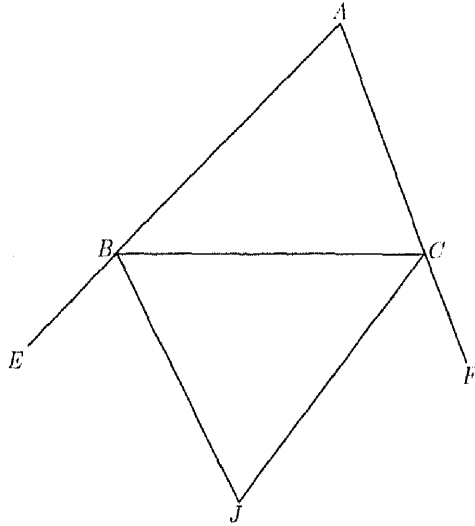
قياس الزاوية المحصورة بين المنصفين الخارجيين لزاويتين في مثلث  
يساوي الفرق بين قياس زاوية قائمة ونصف قياس الزاوية الثالثة.

نظرية 4-5

البرهان

اعتبر  $BJ, CJ$  المنصفين الخارجيين لزاويتين في المثلث  $ABC$  يتقاطعان في

النقطة  $J$ ، ( انظر الشكل 8-5 ).



شكل 5 - 8

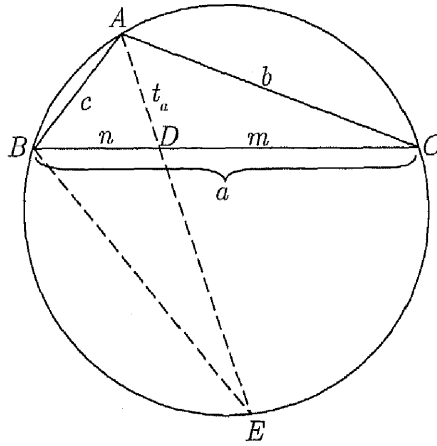
$$\begin{aligned}
 m\angle BJC &= 180^\circ - \frac{1}{2}m\angle EBC - \frac{1}{2}m\angle FCB \\
 &= 180^\circ - \frac{1}{2}(180^\circ - m\angle ABC) - \frac{1}{2}(180^\circ - m\angle ACB) \\
 &= 180^\circ - 90^\circ + \frac{1}{2}m\angle ABC - 90^\circ + \frac{1}{2}m\angle ACB \\
 &= \frac{1}{2}(m\angle ABC + m\angle ACB) \\
 &= \frac{1}{2}(180^\circ - m\angle A)
 \end{aligned}$$

$$\bullet \cdot m\angle BJC = 90^\circ - \frac{1}{2}m\angle A$$

لاستكمال دراستنا لمنصفات الزاوية، علينا أن نناقش موضوع طول منصف الزاوية في المثلث وعلى وجه التحديد، سنسعى لإيجاد علاقة بين طول منصف الزاوية وأضلاع المثلث ( أو أجزاء من هذه الأضلاع ). وهذه العلاقة هي فحوى النظرية 5-5.

مربع طول المنصف الداخلي لأي زاوية في أي مثلث يساوي حاصل ضرب طولي ضلعي هذه الزاوية مطروحاً منه حاصل ضرب جزئي الضلع الثالث الذي يقسمه منصف الزاوية.

نظرية 5-5



شكل 5-9

البرهان

في الشكل (5-9)،  $\overline{AD}$  (أو  $t_a$ ) منصف للزاوية  $BAC$ ، نجد  $\overline{AD}$  ليقطع الدائرة المحيطة بالمثلث  $ABC$  في النقطة  $E$ ، نصل  $\overline{BE}$ . لأن

(زاويتان محيطيتان مرسومتان)  $m\angle E = m\angle C$  ، و  $m\angle BAD = m\angle CAD$   
على نفس القوس). إذن:

$$\triangle ABE \sim \triangle ADC \quad \text{or} \quad \frac{AC}{AD} = \frac{AE}{AB}$$

ومنه فإن:

$$(AC)(AB) = (AD)(AE) = (AD)(AD + DE) = (AD)^2 + (AD)(DE) \quad (\text{I})$$

ولكن

$$(AD)(DE) = (BD)(DC) \quad (\text{II})$$

بالتعويض من (II) في (I):

$$(AC)(AB) = (AD)^2 + (BD)(DC)$$

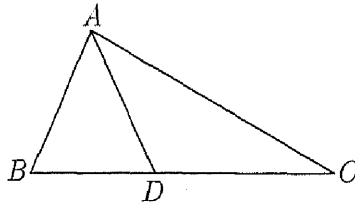
$$\Rightarrow (AD)^2 = (AC)(AB) - (BD)(DC) \Rightarrow t_a^2 = bc - mn. \bullet$$

والآن، نرى كيف يوضح التطبيق التالي استخدام النظرية السابقة.

### 1 التطبيق

إذا كان طولا الضلعين الأقصر والمتوسط في مثلث هما 9,18 ، وطول منتصف  
الزاوية المرسوم إلى الضلع الأطول في المثلث يساوي 8. أوجد طول الضلع الأطول في  
المثلث.

الحل



شكل 10 - 5



ليكن  $AB = 9, AC = 18$  ، ومنصف الزاوية  $AD = 8$  ( انظر الشكل 10 - 5 ).  
 لأن  $\frac{BD}{DC} = \frac{AB}{AC} = \frac{1}{2}$  ، يمكننا أن نفرض أن  $BD = m = x \Rightarrow DC = n = 2x$  من النظرية (5 - 5) ، لدينا:

$$t_a^2 = bc - mn \quad \text{or} \quad (AD)^2 = (AC)(AB) - (BD)(DC)$$

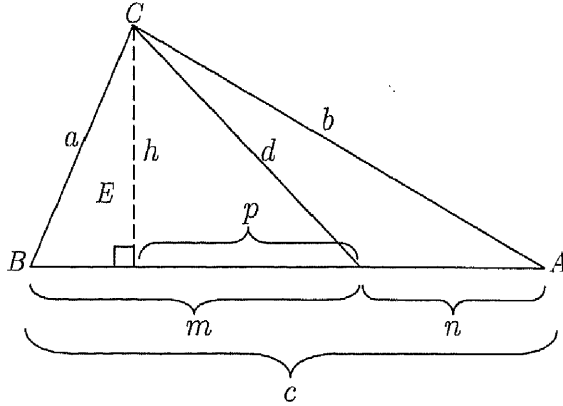
$$\Rightarrow (8)^2 = (18)(9) - 2x^2 \Rightarrow x = 7 \Rightarrow BC = 3x = 21. \bullet$$

لنفرض أن  $\overline{AD}$  في التطبيق السابق ليست منصفاً لزاوية في المثلث ، وأنها مجرد قطعة مستقيمة تصل بين رأس من رؤوس المثلث والضلع المقابل لها وأنا نريد معرفة طولها ، تُرى كيف لنا أن نحل هذه المشكلة ؟  
 الحقيقة أننا نحتاج لحل هذه المسألة إلى معلومات إضافية. ولمعرفة هذه المعلومات الإضافية الضرورية ، واصل القراءة.

### نظرية ستewart's theorem

مشكلتنا الأساسية هنا هي إيجاد طول أي قطعة مستقيمة تصل بين رأس مثلث والضلع المقابل لهذه الرأس ، أي أنه على سبيل المثال ، في المثلث  $ABC$  (شكل 11 - 5) نحن نعلم طول كل من  $\overline{AC}, \overline{BC}, \overline{AD}, \overline{BD}$  ونريد أن نعلم طول  $\overline{CD}$ .  
 كان أول من حل هذه المشكلة وقدمها في محاضراته هو الرياضي الأسكتلندي الشهير روبرت سيمسون Robert Simson ، وقد سمح لتلميذه ماثيو ستewart Matthew Stewart بنشرها في مطبوعته الشهيرة " General theorems of considerable use in the higher parts of mathematics " ( أدبره ١٧٤٦ ). وقد كان الدافع وراء سخاء سيمسون هذا هو رغبته في حصول ستewart على كرسي الأستاذية في جامعة أدنبره ، وقد نجح

في ذلك. ومن المثير أن نلاحظ كيف تم إعطاء الفضل لسيمسون في نظرية لم يكتشفها (نظرية 7-3) في حين أن النظرية التي اكتشفها هو لم تنسب إليه. وسوف نشير إلى نظرية 6-5 باسم كاتبها (ستيوارت) في الكتاب الذي ظهرت به.



شكل 11-5

وفي الحقيقة يستحق سيمسون تقديراً خاصاً لكتابه الهام "العناصر لإقليدس The Elements of Euclid - جلاسجو ١٧٥٦" والذي لأكثر من - ١٥٠ عاما - قام بنشره العديد من الناشرين، حيث يعد هو القاعدة الرئيسة لدراسة كتاب العناصر لإقليدس وكذلك هو أحد المراجع الرئيسية اليوم لمقرر الهندسة في المرحلة الثانوية في الولايات المتحدة الأمريكية.

وسنعرض أولاً نظرية ستيوارت وإثباتها ثم نقدم عليها بعض التطبيقات .

نظرية 5-6 ( نظرية ستيوارت ) باستخدام دلالات الرموز المحددة في الشكل

( 5-11 ) تتحقق العلاقة التالية

$$a^2n + b^2m = c(d^2 + mn)$$

## البرهان

في  $\triangle ABC$  ، ليكن  $BC = a, AC = b, AB = c, CD = d$  والنقطة  $D$  تقسم  $\overline{AB}$  إلى  $DA = n, BD = m$ . نرسم الارتفاع  $CE = h$  ، ونفرض أن  $ED = p$ .

من أجل المضي قدماً في برهان نظرية ستوارت، علينا أن نستنتج صيغتين، نحصل على الأولى منهما بالعمل على  $\triangle CBD$ . باستخدام نظرية فيثاغورس على  $\triangle CEB$  نحصل على

$$(CB)^2 = (CE)^2 + (BE)^2$$

وبوضع  $BE = m - p$  نحصل على :

$$a^2 = h^2 + (m - p)^2 \quad (I)$$

وباستخدام نظرية فيثاغورس على  $\triangle CED$  نحصل على :  $h^2 = d^2 - p^2$   
 بالتعويض عن قيمة  $h^2$  في (I) :

$$\begin{aligned} a^2 &= d^2 - p^2 + (m - p)^2 \\ &= d^2 - p^2 + m^2 - 2mp + p^2 \\ &= d^2 + m^2 - 2mp \end{aligned} \quad (II)$$

وللحصول على الصيغة الثانية سنعمل على  $\triangle CDA$ . بتطبيق نظرية فيثاغورس على  $\triangle CEA$  ، نحصل على  $(CA)^2 = (CE)^2 + (EA)^2$  وبوضع  $EA = n + p$  نحصل على :

$$b^2 = h^2 + (n + p)^2 \quad (III)$$

بالتعويض عن قيمة  $h^2 = d^2 - p^2$  في (III) نجد أن :

$$\begin{aligned}
 b^2 &= d^2 - p^2 + (n + p)^2 \\
 &= d^2 - p^2 + n^2 - 2np + p^2 \\
 &= d^2 + n^2 - 2np \quad (IV)
 \end{aligned}$$

عند ضرب المعادلة (II) في  $n$  والمعادلة (IV) في  $m$  نحصل على الصيغتين اللتين نبحث عنهما في بداية البرهان .

$$a^2n = d^2n + m^2n - 2mnp \quad (V)$$

$$b^2m = d^2m + n^2m + 2mnp \quad (VI)$$

بجمع (V), (VI) :

$$\begin{aligned}
 a^2n + b^2m &= d^2n + d^2m + m^2n + n^2m + 2mnp - 2mnp \\
 \Leftrightarrow a^2n + b^2m &= d^2(n+m) + mn(m+n)
 \end{aligned}$$

ولكن :  $c = m + n$  ، إذن  $a^2n + b^2m = d^2c + mnc$  الذي يكافئ

$$\bullet a^2n + b^2m = c(d^2 + mn)$$

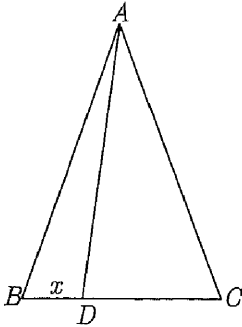
## التطبيق 2

على الشكل 5-12 ، المثلث  $ABC$  فيه  $AB = AC = 17$  ، والنقطة  $D$  تقع على  $\overline{BC}$  بحيث طول  $DC$  يزيد عن طول  $DB$  بمقدار 8 . فإذا كان  $AD = 16$  ، فأوجد طول كل من  $DC, DB$  .

الحل

$$\text{ليكن } BD = x, DC = x + 8$$

باستخدام نظرية ستوارت :



شكل 5-12

$$(AB)^2 (DC) + (AC)^2 (BD) = BC \left[ (AD)^2 + (BD)(DC) \right]$$

$$(17)^2 (x + 8) + (17)^2 (x) = (2x + 8) \left[ (16)^2 + x(x + 8) \right] \text{، إذن}$$

$$\Rightarrow x = 3 \Rightarrow BD = 3, DC = 11 . \bullet$$

### التطبيق 3

أثبت أن مجموع مربعي القطعتين المستقيمتين الخارجتين من رأس الزاوية القائمة في المثلث القائم إلى النقطتين اللتين تقسمان الوتر إلى ثلاثة أجزاء متطابقة يساوي خمسة أضع مربع الوتر.

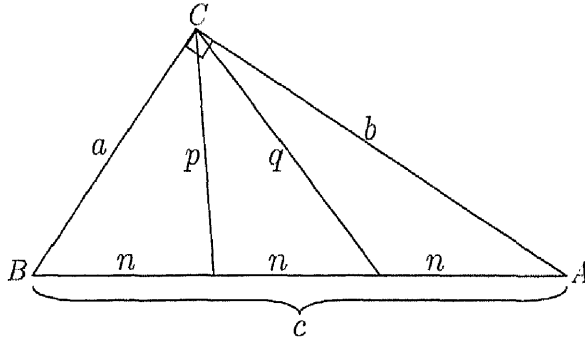
البرهان

بتطبيق نظرية ستيفارت على اعتبار أن  $p, q$  طول القطعتين المستقيمتين

الداخليتين في المثلث (انظر شكل 13-5) نجد أن:

$$2a^2n + b^2n = c(p^2 + 2n^2) \quad (\text{I})$$

$$a^2n + 2b^2n = c(q^2 + 2n^2) \quad (\text{II})$$



شكل 13 - 5

بجمع (I), (II) :

$$3a^2n + 3b^2n = c(4n^2 + p^2 + q^2)$$

$$\Leftrightarrow 3n(a^2 + b^2) = c(4n^2 + p^2 + q^2)$$

ولكن من نظرية فيثاغورس  $c^2 = a^2 + b^2$  ؛ إذن :

$$3n(c^2) = c(4n^2 + p^2 + q^2)$$

وبما أن  $c = 3n$  ، فلدينا :

$$c^2 = (2n)^2 + p^2 + q^2$$

ولكن  $2n = \frac{2}{3}c$  ، ومنه نحصل على :

$$c^2 = \left(\frac{2}{3}c\right)^2 + p^2 + q^2 \text{ أو } p^2 + q^2 = c^2 - \left(\frac{2}{3}c\right)^2 = \frac{5}{9}c^2. \bullet$$

## التطبيق 4

لتوضيح مدى أهمية وقوة نظرية ستيوارت دعونا نستخدمها في إثبات النظرية 5-1\* ، وهذه الطريقة المباشرة تأخذ تلك النظرية البسيطة وتضعها (مؤقتاً) في موضع أكثر تقدماً في تطوير الهندسة الإقليدية.

## البرهان\*

نعلم أن المطلوب هو إثبات أن  $b = c$  . ولذا ليكن كل من  $\overline{BE}$  ,  $\overline{CD}$  منصفين لزاويتين من زوايا  $\triangle ABC$  ، بحيث  $BE = CD = x$  ( الشكل 14-5 ) ، ومنصف الزاوية يقسم الضلع المقابل لهذه الزاوية إلى جزأين يتناسبان مع الضلعين الآخرين وذلك كما يلي

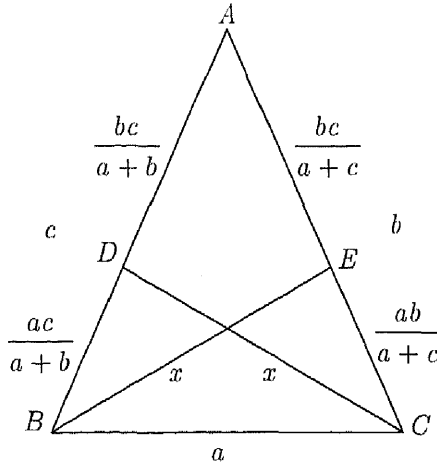
$$BD = \frac{ac}{a+b} \quad AD = \frac{bc}{a+b} \quad AE = \frac{bc}{a+c} \quad CE = \frac{ab}{a+c}$$

بتطبيق نظرية ستيوارت مرتين على  $\triangle ABC$  نحصل على المعادلتين

$$a^2 \frac{bc}{a+c} + c^2 \frac{ab}{a+c} = b \left( x^2 + \frac{bc}{a+c} \cdot \frac{ab}{a+c} \right)$$

$$a^2 \frac{bc}{a+b} + b^2 \frac{ac}{a+b} = c \left( x^2 + \frac{bc}{a+b} \cdot \frac{ac}{a+b} \right)$$

\* هذا البرهان تم تقديمه من قبل الرياضي جان سيوانوز Jan Siwanowicz .



شكل 14 - 5

بحل المعادلتين بالنسبة للمتغير  $x^2$  نحصل على :

$$x^2 = ac - \frac{ab^2c}{(a+c)^2} = ab - \frac{abc^2}{(a+b)^2}$$

$$\Leftrightarrow c + \frac{bc^2}{(a+b)^2} = b + \frac{b^2c}{(a+c)^2}$$

$$\Leftrightarrow c \left( 1 + \frac{bc}{(a+b)^2} \right) = b \left( 1 + \frac{bc}{(a+c)^2} \right) \quad (I)$$

الآن، إذا كانت  $b > c$ ، فلأن  $a, b, c > 0$ ، فإن :

$$\left( 1 + \frac{bc}{(a+b)^2} \right) < \left( 1 + \frac{bc}{(a+c)^2} \right)$$

ومنه فإن (I) لا يمكن أن تتحقق. وكذلك، إذا كانت  $b < c$ ، فإن :



$$\left(1 + \frac{bc}{(a+b)^2}\right) > \left(1 + \frac{bc}{(a+c)^2}\right)$$

● ومرة أخرى، فإن  $(I)$  لا يمكن أن تتحقق. إذن،  $b = c$ .

### نظرية مايكل Miquel's theorem

ربما تريد أن تجري هذه التجربة، علماً بأنه من المهم تنفيذ ذلك باستخدام أدوات هندسية. ارسم أي مثلث، اختر نقطة على كل ضلع من أضلاعه، ثم ارسم ثلاث دوائر بحيث تمر كل دائرة بنقطتين من تلك النقاط كما تمر برأس المثلث المحصورة بين ضلعيه اللذين يحويان النقطتين. والآن ما العلاقة التي تلاحظها حول الدوائر الثلاث؟

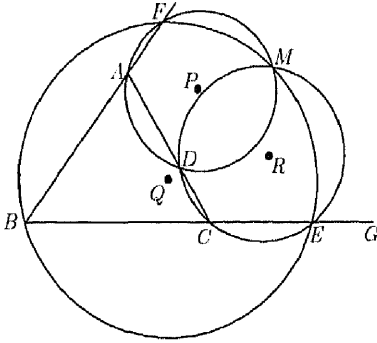
ستقودنا ملاحظتك تلك لنظرية قدمها مايكل A. Miquel في العام ١٨٣٨ والتي

نصها وبرهانها كما يلي

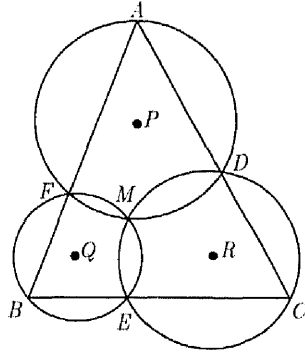
( نظرية مايكل ) إذا اخترنا نقطة على كل ضلع من أضلاع مثلث، فإن كل دائرة من الدوائر الثلاث التي تعينها نقطتان من هذه النقاط والرأس المجاورة لهما من رؤوس المثلث تشترك جميعها في نقطة واحدة.

نظرية 5-7

هذه النظرية يمكن أن يتم تطبيقها بطريقتين، أولاهما الشكل المتوقع كما يظهر في الشكل 15-5، أما الشكل الآخر فتتحقق أيضاً عليه النظرية ونحصل عليه عند اختيار نقطتين من النقاط الثلاث على امتداد أضلاع المثلث والذي يظهر في الشكل



شكل 5 - 16



شكل 5 - 15

البرهان

الحالة الأولى (النقطة  $M$  تقع داخل  $\triangle ABC$ ): كما يتضح في الشكل 5-17 ، فإن النقاط  $D, E, F$  تقع على الترتيب على الأضلاع  $AC, BC, AB$  في  $\triangle ABC$  ، والنقاط  $F, B, E$  تقع على الدائرة  $Q$  كما أن النقاط  $D, C, E$  تقع على الدائرة  $R$  ، وتتقاطع الدائرتان في النقطة  $M$ . نصل كلاً من  $\overline{FM}, \overline{ME}, \overline{MD}$  في الرباعي الدائري

$$m\angle FME = 180^\circ - m\angle B : BFME$$

وفي الرباعي الدائري

$$m\angle DME = 180^\circ - m\angle C : CDME$$

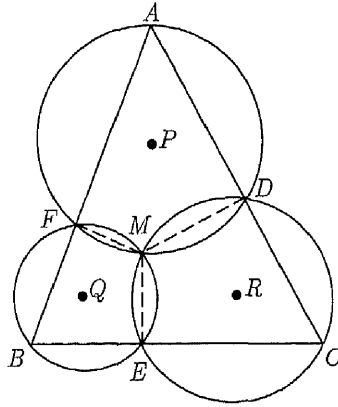
بالجمع :

$$m\angle FME + m\angle DME = 360^\circ - (m\angle B + m\angle C)$$

$$\Rightarrow m\angle FMD = m\angle B + m\angle C = 180^\circ - m\angle A$$

إذن الشكل  $AFMD$  رباعي دائري، وهذا يثبت أن النقطة  $M$  هي نقطة تقاطع الدوائر الثلاث.

الحالة الثانية (النقطة  $M$  تقع خارج  $\triangle ABC$ ): على الشكل 18-5، مرة أخرى، لتكن النقطة  $M$  هي نقطة تقاطع الدائرتين  $Q, R$ . في الرباعي الدائري  $BMFE$ :



شكل 17-5

$$m\angle FME = 180^\circ - m\angle B$$

وبالمثل في الرباعي الدائري

$$m\angle DME = 180^\circ - m\angle C \quad CDME$$

بالطرح :

$$m\angle FMD = m\angle FME - m\angle DME = m\angle DCE - m\angle B \quad (I)$$

ولكن :

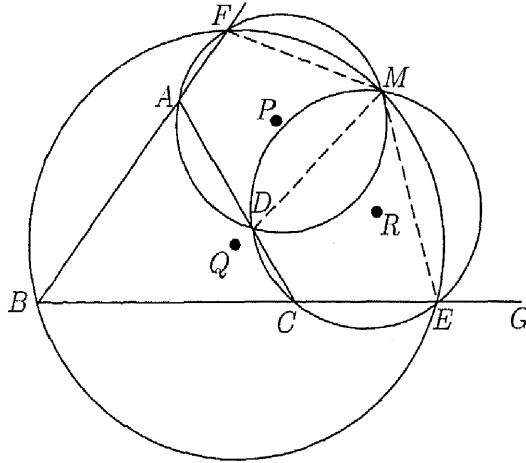
$$m\angle DCE = m\angle BAC + m\angle B \quad (II)$$

من (I), (II) :

$$m\angle FMD = m\angle BAC = 180^\circ - m\angle FAD$$

إذن الشكل  $ADMF$  رباعي دائري، وهذا يثبت أن النقطة  $M$  هي نقطة تقاطع

الدوائر الثلاث. ●



شكل 5 - 18

تسمى النقطة  $M$  نقطة مايكل Miquel point للمثلث  $ABC$  والنقاط  $F, D, E$  تعين ما يسمى بمثلث مايكل Miquel triangle، كما تفتح هذه النظرية باباً جديداً للعديد من النظريات الإضافية والتي سنعرض بعضاً منها هنا.

القطع المستقيمة الواصلة بين نقطة مايكل للمثلث ورؤوس مثلث مايكل تُشكل زوايا متطابقة بالنسبة لأضلاع المثلث الأصلي.

نظرية 5-8

## البرهان

لأن الشكل  $AFMD$  رباعي دائري ( انظر الشكلين 18 - 17, 5 - 5 )، فإن  
 $m\angle AFM$  تكمل  $m\angle ADM$ ، ولكن :  $m\angle CDM$  تكمل  $m\angle ADM$  ؛  
 إذن :

$$\angle BFM \cong \angle ADM \text{ ومنه } \angle CDM \cong \angle AFM$$

ولاستكمال البرهان نطبق نفس الخطوات على الشكل الرباعي الدائري

## ●. CDNE

نقول عن مثلث إنه منشأ على مثلث آخر إذا كانت رؤوس المثلث الأول تقع  
 على أضلاع المثلث الآخر، وعليه دعونا نقدم النظرية التالية  
 نظرية 5-9 المثلثان المنشآن على مثلث واحد ولهما نفس نقطة مايكل متشابهان .

## البرهان

ليكن :  $\triangle DFE, \triangle D'F'E'$  لهما نفس نقطة مايكل (انظر الشكل 19 - 5).  
 من النظرية  
 8 - 5، نجد أن :

$$\angle MFB \cong \angle MDA, \angle MF'A \cong \angle MD'C$$

إذن،

$$\triangle MF'F \sim \triangle MD'D$$

وبالمثل

$$\triangle MD'D \sim \triangle ME'E$$

إذن :

$$\angle FMF' \cong \angle DMD' \cong \angle EME'$$

بالجمع نحصل على :

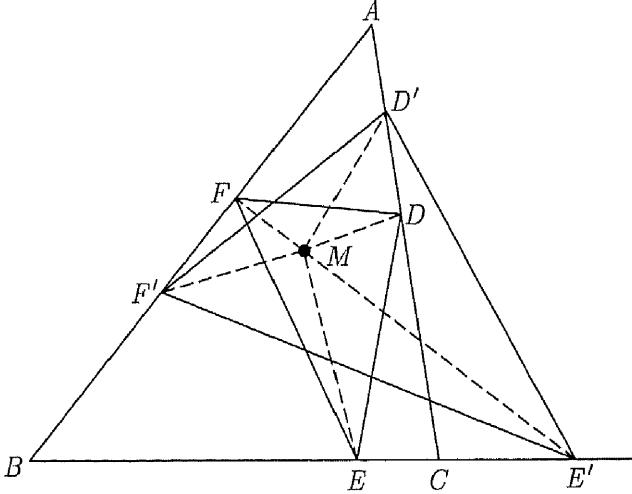
$$\angle F'MD' \cong \angle FMD, \angle F'ME' \cong \angle FME, \angle E'MD' \cong \angle EMD$$

وأيضاً من تشابه المثلثات السابق نحصل على :

$$\frac{MF}{MF'} = \frac{MD}{MD'} = \frac{ME}{ME'}$$

ولأن المثلثين يتشابهان إذا كان زوجان من الأضلاع المتناظرة في كل منهما يتناسبان بالإضافة لتطابق الزاويتين المحصورتين بين هذين الضلعين في كل مثلث ، فإن :

$$\Delta F'MD' \sim \Delta FMD, \Delta F'ME' \sim \Delta FME, \Delta E'MD' \sim \Delta EMD$$



شكل 19 - 5

$$\frac{F'D'}{FD} = \frac{F'M}{FM}, \frac{F'E'}{FE} = \frac{F'M}{FM} \Rightarrow \frac{F'D'}{FD} = \frac{F'E'}{FE}$$

وبالمثل

$$\frac{E'D'}{ED} = \frac{F'E'}{FE}$$

● وهذا يثبت أن  $\triangle DEF \sim \triangle D'E'F'$  لأن الأضلاع المتناظرة متناسبة.

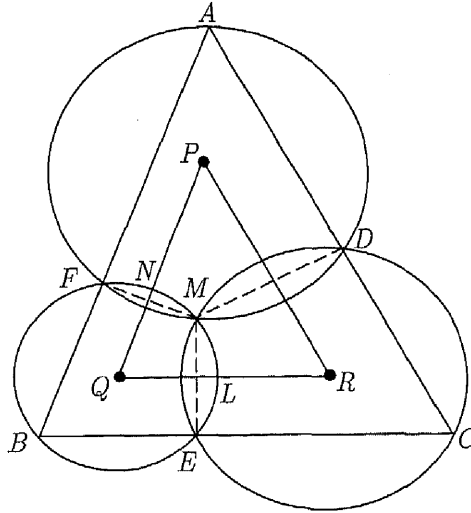
نظرية 5-10 مراكز دوائر مايكل للمثلث تعين مثلثاً آخر يشابه المثلث الأصلي.

البرهان

نرسم الأوتار المشتركة  $\overline{FM}, \overline{EM}, \overline{DM}$ .  $\overline{PQ}$  يقطع الدائرة  $Q$  في النقطة  $N$ ،  $\overline{RQ}$  يقطع الدائرة  $R$  في النقطة  $L$  (انظر الشكل 20-5). بما أن الخط الواصل بين مركزي دائرتين هو العمود المنصف للوتر المشترك لهاتين الدائرتين، أي أن  $\overline{PQ}$  العمود المنصف للوتر المشترك  $\overline{FM}$  ومن ذلك نستنتج أن:

$$m\widehat{ML} = m\widehat{LE} \text{ وبالمثل } , m\widehat{FN} = m\widehat{NM}$$

والآن:



شكل 20-5

$$m\angle NQL = \left( m\widehat{NM} + m\widehat{ML} \right) = \frac{1}{2} \left( m\widehat{FE} \right), \quad m\angle FBE = \frac{1}{2} \left( m\widehat{FE} \right)$$

$$\Rightarrow m\angle NQL = m\angle FBE$$

وبالمثل يمكن إثبات أن  $m\angle QPR = m\angle BAC$ ، وهذا يثبت أن

$$\bullet \quad \Delta PQR \sim \Delta ABC$$

من الشيق أن تطبق هذه الدراسة التمهيدية لنظرية ماكل على المثلث المتطابق الأضلاع، والمثلثات القائمة الزاوية، ثم ترى هل هناك أي استنتاجات جديدة يمكن استخلاصها؟

### المتوسطات Medians

عندما نسأل طالباً متميزاً يدرس الهندسة في المرحلة الثانوية عن خصائص المتوسطات في المثلث، فإنه سيجيب سريعاً بأن نقطة تقاطع المتوسطات ( مركز ثقل المثلث ) تقسم المتوسط بنسبة 2 : 1 من جهة الرأس. ومن المحتمل أيضاً أن يذكر أن متوسط المثلث يقسمه لمثلثين متساويين في المساحة، وهذه الخاصية من السهل توسعتها للوصول إلى أن متوسطات المثلث الثلاثة تقسم المثلث إلى ستة مثلثات متساوية في المساحة وكنا في الفصل الثاني من كتابنا هذا قد أثبتنا باستخدام نظرية شيفا أن متوسطات المثلث تتقاطع في نقطة واحدة. وبالتأكيد أيضاً يمكننا تطبيق نظرية ستيوارت على المتوسطات في المثلث، ولكن هناك عدد من الخصائص الجديرة بالاهتمام لا تعد نتائج مباشرة لهذه النظرية.

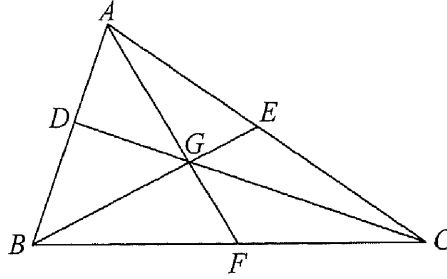
وستكون أول مهماتنا في هذا الجزء من الكتاب هي دراسة علاقة أطوال المتوسطات في المثلث مع أطوال أضلاع المثلث، فباستخدام الأدوات الهندسية سنرسم مثلثاً مختلف الأضلاع ونرسم متوسطاته الثلاثة، والآن هل لك أن تخمن أي هذه



المتوسطات الأكبر طولاً وأياً الأقصر؟ قم بقياس المتوسطات باستخدام الأدوات الهندسية. تُرى هل كان تخمينك صحيحاً؟ والآن إذا علمت أطوال أضلاع هذا المثلث، فهل تستطيع أن ترتب متوسطاته حسب أطوالها دون قياس أطوالها؟ هذا ما ستدركنا عليه النظرية التالية.

نظرية 5-11 في أي مثلث، أقصر المتوسطات يقابل أطول الأضلاع.

البرهان

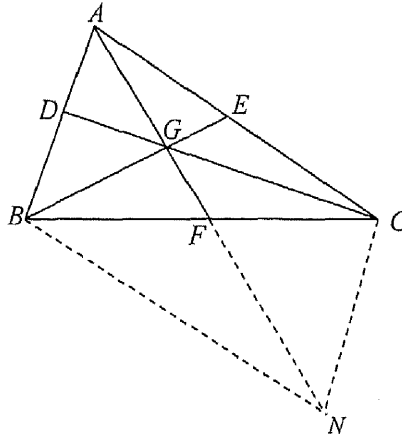


شكل 21 - 5

نفرض أن  $AC > AB$  وعليه سنحاول أن نثبت أن  $BE < CD$ . (انظر الشكل (5 - 21). في  $\triangle AFC, \triangle AFB$  ضلعان متساويان وضلع مشترك ( $AF, CF = BF$ ) ولأن  $AC > AB$ ، فإن  $m\angle AFC > m\angle AFB$  وكذلك  $\triangle GFC, \triangle GFB$  فيهما ضلعان متساويان وضلع مشترك ( $GF, CF = BF$ ) ولأن  $m\angle AFC > m\angle AFB$ ، فإن  $GC > GB$ . ولأن نقطة تقاطع المتوسطات تقسم المتوسط بنسبة 2 : 1 من جهة الرأس: إذن،  $DC > BE$ .

نستطيع إيجاد طول المتوسط باستخدام نظرية ستيوارت، ونعلم من نظرية 5-11 العلاقة بين أطوال المتوسطات وأطوال أضلاع المثلث. وفي النظريتين التاليتين نعرض بعض العلاقات الشيقة والتي نتحدث عن مجموع أطوال المتوسطات في المثلث. **نظرية 5-12** مجموع أطوال متوسطات أي مثلث أقل من طول محيطه.

البرهان



شكل 22 - 5

عندما نرسم  $N \in \overrightarrow{AF}$  بحيث  $AF = FN$  فإننا نحصل على متوازي الأضلاع  $ABNC$ ، وهذا يؤدي إلى  $AC = BN$  في  $\triangle ABN$ ، إذن:  $AN < AB + BN$

$$2m_a < c + b \quad \text{أو} \quad 2(AF) < AB + AC$$

بالمثل يمكن إثبات أن:

$$2m_c < a + b, 2m_b < a + c$$

وبالجمع نجد أن:

$$2m_a + 2m_b + 2m_c < 2c + 2b + 2a$$

$$\Rightarrow m_a + m_b + m_c < c + b + a. \bullet$$

مجموع أطوال متوسطات أي مثلث أكبر من ثلاثة أرباع طول محيطه.

نظرية 5-13

البرهان

مرة أخرى سنستخدم خاصية أن نقطة تقاطع المتوسطات تقسم المتوسط بنسبة

2 : 1 من جهة الرأس، في  $\triangle ABC$  ( انظر الشكل 21 - 5 ).

$$BG + CG > BC$$

$$\frac{2}{3}(m_c) + \frac{2}{3}(m_b) > a$$

بالمثل:

$$\frac{2}{3}(m_b) + \frac{2}{3}(m_a) > c, \quad \frac{2}{3}(m_c) + \frac{2}{3}(m_a) > b$$

بالجمع:

$$\text{أو } \frac{4}{3}(m_a + m_b + m_c) > a + b + c$$

$$\bullet . m_a + m_b + m_c > \frac{3}{4}(a + b + c)$$

النظريتان السابقتان تفيدان أن  $\frac{3}{4}(a+b+c) < m_a + m_b + m_c < a+b+c$

والآن لنناقش مربعات أطوال المتوسطات في المثلث.

ضعف مربع طول المتوسط في المثلث يساوي مجموع مربعي

نظرية 5-14

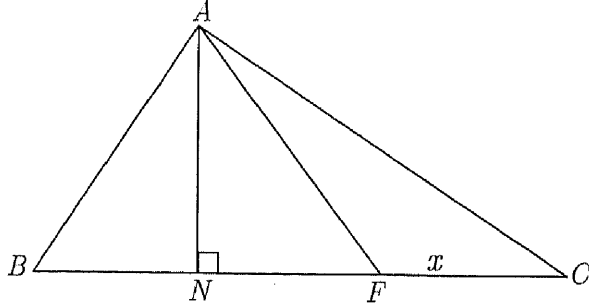
ضلعي المثلث المحيطين بنفس المتوسط مطروحاً منه نصف مربع

طول الضلع الثالث من نفس المثلث.

البرهان

بتطبيق نظرية ستيوارت على  $\triangle ABC$  ( انظر الشكل 5-23 ) نحصل على :

$$(AB)^2(FC) + (AC)^2(BF) = (BF + FC)\left[(AF)^2 + (BF)(FC)\right]$$



شكل 5-23

نفرض أن  $FC = BF = x$  ، إذن :

$$x(AB)^2 + x(AC)^2 = 2x\left[(AF)^2 + x^2\right]$$

$$\Leftrightarrow (AB)^2 + (AC)^2 = 2\left[(AF)^2 + x^2\right]$$

$$\Leftrightarrow 2(AF)^2 = (AB)^2 + (AC)^2 - 2x^2$$

بوضع  $x = \frac{1}{2}(BC)$  ، نحصل على :

$$2(AF)^2 = (AB)^2 + (AC)^2 - \frac{1}{2}(BC)^2 \bullet$$

ربما لا تُقدّر أهمية النظرية السابقة حتى نرى كيف تساعدنا في التعرف على

بعض الخواص المفيدة المهمة والتي تعتبر نظرية 15-5 واحدة منها.

مجموع مربعات أطوال المتوسطات في أي مثلث يساوي ثلاثة أرباع مجموع مربعات أطوال أضلاع هذا المثلث .

نظرية 15-5

البرهان

لإثبات هذه النظرية سنستخدم ما توصلنا إليه في نظرية (14-5) وذلك كما

يلي

$$2m_a^2 = b^2 + c^2 - \frac{1}{2}a^2$$

$$2m_b^2 = a^2 + c^2 - \frac{1}{2}b^2$$

$$2m_c^2 = b^2 + a^2 - \frac{1}{2}c^2$$

بالجمع :

$$2(m_a^2 + m_b^2 + m_c^2) = 2(a^2 + b^2 + c^2) - \frac{1}{2}(a^2 + b^2 + c^2)$$

$$\Rightarrow 2(m_a^2 + m_b^2 + m_c^2) = \frac{3}{2}(a^2 + b^2 + c^2)$$

$$\Rightarrow m_a^2 + m_b^2 + m_c^2 = \frac{3}{4}(a^2 + b^2 + c^2). \bullet$$

نستطيع الاستعانة بالعلاقة السابقة للحصول على علاقة بين مربعات القطع المستقيمة الواصلة بين نقطة تقاطع المتوسطات ورؤوس المثلث ومربعات أطوال أضلاع المثلث. وهذا ما تقدمه النظرية التالية.

مجموع مربعات القطع المستقيمة الواصلة بين نقطة تقاطع المتوسطات ورؤوس المثلث تساوي ثلث مجموع مربعات أطوال أضلاع هذا المثلث .

نظرية 5-16

البرهان

نعلم أن طول القطعة المستقيمة الواصلة بين نقطة تقاطع المتوسطات والرأس تساوي ثلثي طول المتوسط ، ومن ذلك نحصل على :

$$\left(\frac{2}{3}m_a\right)^2 + \left(\frac{2}{3}m_b\right)^2 + \left(\frac{2}{3}m_c\right)^2 = \frac{4}{9}(m_a^2 + m_b^2 + m_c^2)$$

ومن نظرية (5-15) التي تنص على أن:

$$m_a^2 + m_b^2 + m_c^2 = \frac{3}{4}(a^2 + b^2 + c^2)$$

نجد أن :

$$\bullet \left(\frac{2}{3}m_a\right)^2 + \left(\frac{2}{3}m_b\right)^2 + \left(\frac{2}{3}m_c\right)^2 = \frac{4}{9}(m_a^2 + m_b^2 + m_c^2) = \frac{1}{3}(a^2 + b^2 + c^2)$$

تعد النظرية التالية أكثر عمومية من سابقتها، حيث إنها تتعلق بأي نقطة تقع في مستوى مثلث والقطع المستقيمة الخاصة بهذا المثلث (أضلاعه ومتوسطاته).

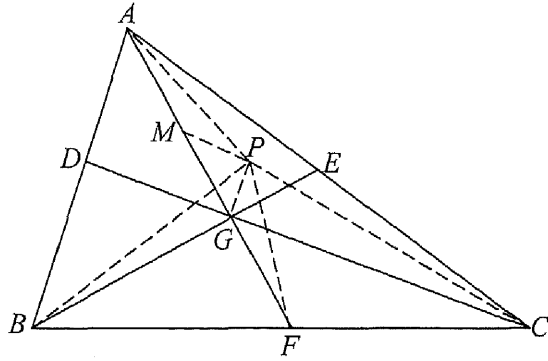
إذا كانت النقطة  $P$  تقع في مستوى  $\triangle ABC$  الذي تتقاطع

متوسطاته في النقطة  $G$  فإن

$$(AP)^2 + (BP)^2 + (CP)^2 = (AG)^2 + (BG)^2 + (CG)^2 + 3(PG)^2$$

( انظر الشكل 5-24 ).

نظرية 5-17



شكل 5-24

البرهان

نأخذ النقطة  $M$  منتصف  $\overline{AG}$  ( انظر الشكل 5-24 )، ثم نطبق نظرية

5-14 كالتالي

$$\triangle PBC : 2(PF)^2 = (PB)^2 + (PC)^2 - \frac{1}{2}(BC)^2 \quad (\text{I})$$

$$\triangle PAG : 2(PM)^2 = (AP)^2 + (PG)^2 - \frac{1}{2}(AG)^2 \quad (\text{II})$$

$$\Delta PMF : 2(PG)^2 = (PM)^2 + (PF)^2 - \frac{1}{2}(MF)^2 \quad (\text{III})$$

ولكن :

$$MF = \frac{2}{3}(AF) \quad , \quad AG = \frac{2}{3}(AF)$$

إذن :

$$. MF = AG$$

بالتعويض في (III) والضرب في 2 نحصل على :

$$4(PG)^2 = 2(PM)^2 + 2(PF)^2 - (AG)^2 \quad (\text{IV})$$

بجمع (I), (II), (IV)

$$\begin{aligned} 2(PF)^2 + 2(PM)^2 + 4(PG)^2 &= (PB)^2 + (AP)^2 + 2(PM)^2 \\ + (CP)^2 + (PG)^2 + 2(PF)^2 - \frac{1}{2}(BC)^2 - \frac{1}{2}(AG)^2 - (AG)^2 \end{aligned}$$

أو

$$(AP)^2 + (BP)^2 + (CP)^2 - 3(PG)^2 = \frac{3}{2}(AG)^2 + \frac{1}{2}(BC)^2 \quad (\text{V})$$

سنكرر بالمثل نفس الخطوات السابقة بالنسبة للمتوسط  $\overline{BE}$  وعندها نحصل على

$$(AP)^2 + (BP)^2 + (CP)^2 - 3(PG)^2 = \frac{3}{2}(BG)^2 + \frac{1}{2}(AC)^2 \quad (\text{VI})$$

وبالنسبة للمتوسط  $\overline{CD}$

$$(AP)^2 + (BP)^2 + (CP)^2 - 3(PG)^2 = \frac{3}{2}(CG)^2 + \frac{1}{2}(AB)^2 \quad (\text{VII})$$

بجمع (V), (IV), (IIV) نجد أن :



$$3\left[(AP)^2 + (BP)^2 + (CP)^2 - 3(PG)^2\right] = \frac{3}{2}\left[(AG)^2 + (BG)^2 + (CG)^2\right] \\ + \frac{1}{2}\left[(AB)^2 + (BC)^2 + (AC)^2\right] \quad (\text{VIII})$$

والآن سنطبق نظرية 14 - 5 على  $\Delta ABC$  :

$$(AG)^2 + (BG)^2 + (CG)^2 = \frac{1}{3}\left[(BC)^2 + (AC)^2 + (AB)^2\right] \\ \Leftrightarrow 3\left[(AG)^2 + (BG)^2 + (CG)^2\right] = (AB)^2 + (BC)^2 + (AC)^2 \\ \text{بالتعويض في (VIII)}$$

$$3\left[(AP)^2 + (BP)^2 + (CP)^2 - 3(PG)^2\right] = \frac{3}{2}\left[(AG)^2 + (BG)^2 + (CG)^2\right] \\ + \frac{1}{2}\left[3\left[(AG)^2 + (BG)^2 + (CG)^2\right]\right] \\ \Rightarrow 3\left[(AP)^2 + (BP)^2 + (CP)^2 - 3(PG)^2\right] = 3\left[(AG)^2 + (BG)^2 + (CG)^2\right] \bullet \\ \Leftrightarrow (AP)^2 + (BP)^2 + (CP)^2 = (AG)^2 + (BG)^2 + (CG)^2 + 3(PG)^2$$

وهكذا يقدم لنا موضوع المتوسطات العديد من العلاقات الشيقة التي سنقدم

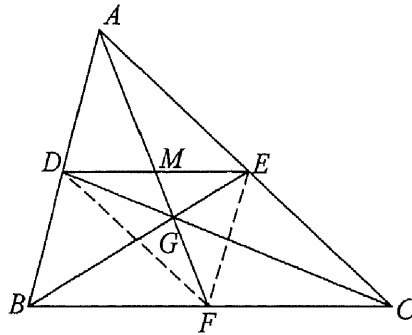
المزيد منها الآن ونترك الباقي كتدريبات.

نظرية 5-18 في أي مثلث، متوسط المثلث و القطعة المستقيمة الواصلة بين منتصفي الضلعين المحيطين بهذا المتوسط، ينصف كل منهما الآخر.

البرهان

سنحاول إثبات المطلوب عن طريق رسم  $\overline{DF}, \overline{EF}$ ، القطعتين الواصلتين بين منتصفات الأضلاع في المثلث  $ABC$  ( انظر الشكل 25 - 5 ). عندها نحصل على

متوازي الأضلاع  $ADFE$  ( كل ضلعين فيه متقابلين متوازيان ) ، والذي قطراه  $\overline{AF}, \overline{DE}$  ينصف كل منهما الآخر. من المعروف أن نقطة تقاطع المتوسطات في المثلث هي نوعاً ما بمثابة نقطة توازن في المثلث ، دعونا نختبر هذه الخاصية في النظرية التالية

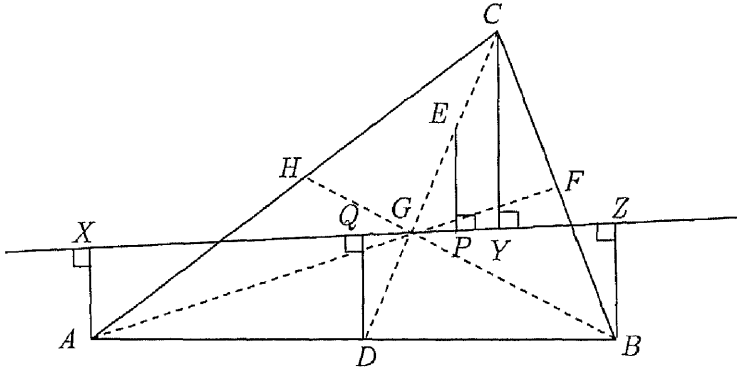


شكل 25 - 5

في أي مثلث  $ABC$  . اعتبر خطاً مستقيماً  $\overline{XYZ}$  ماراً بنقطة تلاقي المتوسطات  $G$  . ارسم من رؤوس المثلث أعمدة على هذا المستقيم نقطعه في  $X, Y, Z$  كما في الشكل 26 - 5 . إن

$$CY = AX + BZ$$

نظرية 5-19



شكل 5 - 26

نرسم متوسطات المثلث  $\overline{AF}, \overline{BH}, \overline{CD}$  ، ( انظر الشكل 5 - 26 ) ، ونرسم  $XZ \perp EP$  حيث  $E$  منتصف  $\overline{CG}$  ؛ ومن ذلك نستنتج أن  $CE = EG = GD$  . وأخيراً نرسم  $DQ \perp XZ$  ، ولأن  $\overline{AX} \parallel \overline{BZ} \parallel \overline{QD}$  (أعمدة على مستقيم واحد) ، فإن قاعدة متوسطة لشبه المنحرف  $ZBAX$  . إذن :

$$EP = \frac{1}{2} CY \text{ ولكن } QD = \frac{1}{2} (AX + BZ)$$

(خواص القطعة المستقيمة الواصلة بين منتصفي ضلعين في مثلث) . ومن كون

$$\triangle QGD \cong \triangle PGE$$

نحصل على :

$$QD = EP$$

إذن:

$$CY = AX + BZ \quad \bullet \text{ الذي يكافئ } \frac{1}{2}CY = \frac{1}{2}(AX + BZ)$$

من الشيق أن تلاحظ أنه يوجد عدد غير منته من المثلثات التي تحيط بها دائرة واحدة ولها نقطة تقاطع متوسطات واحدة تقع داخل هذه الدائرة ، وسوف تكون هذه الخاصية هي نظريتنا التالية ، نظرية 20 - 5 .

يوجد عدد غير منته من المثلثات التي تحيط بها دائرة واحدة ولها نقطة تقاطع متوسطات واحدة تقع داخل هذه الدائرة.

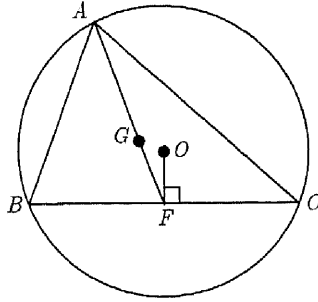
نظرية 20-5

البرهان

ستكون طريقة برهان هذه النظرية مختلفة نوعاً ما عن الطرق التي كنا نستخدمها في برهان النظريات السابقة ، فلعرض برهان وجود عدد غير منته من المثلثات بالشروط اللازمة والموضحة في نص النظرية ، فإننا سنعمل على إثبات وجود مثلث يتم اختياره عشوائياً ، وهذا سيعني وجود عدد غير منته من المثلثات التي يمكن إنشاؤها بصورة مشابهة.

لتكن  $O$  دائرة داخلها نقطة  $G$  تمثل نقطة تلاقي المتوسطات لجميع المثلثات التي نريد إنشاءها. وسنبداً باختيار أي نقطة تقع على الدائرة  $O$  ولتكن  $A$  والتي ستكون أحد رؤوس  $\triangle ABC$  ( انظر الشكل 27 - 5 ) ، نصل النقطة  $A$  بنقطة تقاطع المتوسطات  $G$  ، ونمد  $\overline{AG}$  حتى النقطة  $F$  بحيث  $GF = \frac{1}{2}(AG)$ . نرسم الآن  $\overline{OF}$  ، ومن النقطة  $F$  ننشئ عموداً على  $\overline{OF}$  يقطع الدائرة في  $B, C$ . وهذا يبرهن ببساطة أنه يوجد مثلث يحقق الشروط اللازمة في النظرية ، ولكن لأن النقطة  $A$

اختيارية، والخطوات التالية لاختيارها لا تعتمد على موقعها، فهناك عدد غير منته من المثلثات يمكن إنشاؤها بنفس الطريقة وتحت نفس الشروط، وبهذا يكون برهاننا قد اكتمل. ●



شكل 27 - 5

سوف تتضمن دراستنا لموضوع المتوسطات في المثلث نظرة سريعة على ما يسمى بالمثلث المتوسط mediam triangle ، والذي ينتج من القطع المستقيمة الواصلة بين منتصفات أضلاع أي مثلث.

المثلث والمثلث المتوسط له لهما نفس نقطة تقاطع المتوسطات.

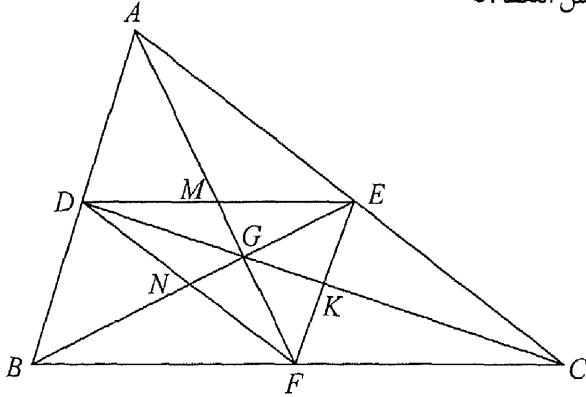
نظرية 5-21

البرهان

في  $\triangle ABC$ ، المتوسط  $\overline{AF}$  ينصف  $\overline{DE}$  في النقطة  $M$  (نظرية 5-18). إذن  $\overline{FM}$  متوسط في  $\triangle DEF$  (انظر الشكل 5-28). بالمثل  $\overline{DK}$ ,  $\overline{EN}$  أيضاً متوسطان في  $\triangle DEF$ ، وكذلك هذه المتوسطات هي أيضاً متوسطات  $\triangle ABC$ .

ولأن متوسطات  $\triangle ABC$  تتقاطع في النقطة  $G$ ، فإن متوسطات  $\triangle DEF$  تتقاطع

في نفس النقطة. ●



شكل 28 - 5

بنظرة سريعة على هذا الفصل، نجد أننا قد بدأنا بدراسة منصفات زوايا المثلث، ثم انتقلنا للقطعة المستقيمة الخارجة من رأس المثلث إلى ضلع المثلث المقابل لهذه الرأس وأهمية ذلك في نظرية ستيوارت، ثم أخيراً درسنا خصائص المتوسطات في المثلث، وهذا بالتأكيد أثرى معلوماتك كثيراً حول المثلثات.

### تدريبات

1. برهن أن مجموع مقلوبات أطوال منصفات الزوايا الداخلية للمثلث أكبر من مجموع مقلوبات أطوال أضلاع هذا المثلث.
2. برهن أن مساقط الأعمدة الأربعة المرسومة من زاوية رأس مثلث للمنصفين الداخليين والخارجيين للزاويتين الباقيتين من المثلث تقع جميعها على استقامة واحدة.

3. برهن أن الفرق بين قياسي الزاويتين الناتجتين من تقاطع منتصف زاوية في مثلث والضلع المقابل لها يساوي الفرق بين قياسي زاويتي المثلث الباقيتين.
4. برهن أن قياس الزاوية المحصورة بين المنتصف الخارجي لزاوية في مثلث والضلع المقابل لها يساوي نصف الفرق بين قياسي زاويتي المثلث الباقيتين.
5. في مثلث ثلاثي سيني طول وتره 4 ، أوجد البعد بين رأس الزاوية القائمة ونقطة تقاطع منصفات الزوايا للمثلث .
6. منتصف الزاوية القائمة في مثلث قائم الزاوية يقسم الوتر لقطعتين مستقيمتين طولهما 3, 4 أوجد طول منتصف الزاوية الحادة الكبرى في المثلث القائم.
7. استخدم نظرية ستيوارت للحصول على طول متوسطات مثلث بدلالة أطوال أضلاعه.
8. برهن أن أي مثلثين يتقاطعان كل ضلعين من أضلاعهما عند نقطة تقاطع كل دائرتين من دوائر مايكل الثلاثة متشابهان .
9. برهن أن المثلثين المتشابهين المنشأين على نفس المثلث لهما نفس نقطة مايكل.
10. باستخدام الشكل 17 - 5 أثبت أن :  $m\angle BMC = m\angle BAC + m\angle FED$ .
11. أثبت أنه إذا تقاطعت ثلاث دوائر في نقطة واحدة  $M$  ، فإنه يوجد على الأقل ثلاثة مثلثات متشابهة تكون النقطة  $M$  هي نقطة مايكل لها.
12. أثبت أنه إذا أنشئ مثلث بحيث كانت أطوال أضلاعه هي أطوال متوسطات مثلث آخر ، فإن طول كل متوسط من متوسطات المثلث المنشأ يساوي ثلاثة أرباع طول كل ضلع من أضلاع المثلث الآخر.
13. أثبت أن مساحة المثلث الذي أطوال أضلاعه هي أطوال متوسطات مثلث آخر تساوي ثلاثة أرباع مساحة المثلث الآخر.

14. أثبت أنه إذا كان هناك نقطتان على أبعاد متساوية من نقطة تقاطع المتوسطات في مثلث ، فإن مجموع مربعات أبعادهما عن رؤوس المثلث متساوية.
15. أثبت أن الخط المستقيم المار بمنتصف متوسط مثلث وبأحد رأسي المثلث الآخرين (اللتين لا يخرج منهما المتوسط ) يقسم ضلع المثلث المقابل لهذه الرأس إلى جزأين طول أحدهما نصف طول الآخر.
16. أثبت أن متوسطات المثلث تقسمه إلى ستة مثلثات متساوية في المساحة.
17. أثبت أن الخطوط المستقيمة المارة برؤوس مثلث والتي كل منها يوازي ضلع المثلث المقابل له ، هي أضلاع مثلث آخر ، يكون المثلث الأصلي مثلثاً متوسطاً له.
18. أثبت أنه في أي مثلث قائم الزاوية في  $C$  :  $\frac{1}{h_c^2} = \frac{1}{h_a^2} + \frac{1}{h_b^2}$  . ثم أثبت العكس.
19. أثبت أنه في أي مثلث قائم الزاوية في  $C$  :  $5m_c^2 = m_a^2 + m_b^2$  . ثم أثبت العكس.





## الأشكال الرباعية

لقد بدأنا دراستنا للأشكال الرباعية في نهاية مقرر الهندسة في المرحلة الثانوية، وقبل ذلك كانت معظم دراستنا للأشكال الرباعية تتحدث عن الأشكال الخاصة منها، مثل أشباه المنحرف، ومتوازيات الأضلاع، والمعينات، والمستطيلات والمربعات. ولكننا هنا في هذا الجزء من الكتاب سنلقى نظرة على الشكل الرباعي في صورته العامة والتي لا تحمل أي خاصية مميزة، ثم ننظر للشكل الرباعي الدائري وهو الشكل الرباعي الذي تقع رؤوسه على دائرة.

الآن لنتكلم عن أي شكل رباعي، ثم نحدد نقاط منتصفات أضلاعه. بالطبع ستكون الأدوات الهندسية مفيدة جداً في تجربتنا تلك. ماذا نتوقع أن يبدو الشكل الناتج؟ لأجل الإجابة، صل نقاط المنتصف التي حددتها بين كل ضلعين متتاليين، ثم لاحظ الشكل الرباعي الناتج، وستكون ملاحظتك ببساطة هي النظرية الأولى في هذا الفصل.

نظرية 1-6 الشكل الرباعي الناتج من القطع المستقيمة الواصلة بين منتصفين كل ضلعين متتاليين في شكل رباعي آخر هو متوازي أضلاع.

## البرهان

في الشكل 1-6 النقاط  $P, Q, R, S$  منتصفات أضلاع الرباعي  $ABCD$ .

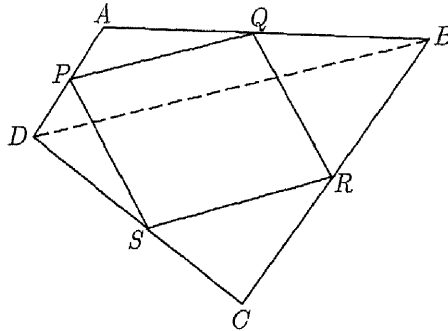
في  $\triangle ADB$ ، قطعة مستقيمة واصلة بين منتصفي ضلعين. إذن:

$$\overline{PQ} \parallel \overline{DB}, PQ = \frac{1}{2}(DB)$$

وفي  $\triangle CDB$ ،  $\overline{SR}$  قطعة مستقيمة واصلة بين منتصفي ضلعين. إذن:

$$\overline{SR} \parallel \overline{DB}, SR = \frac{1}{2}(DB) \Rightarrow \overline{PQ} \parallel \overline{SR}, PQ = SR$$

ومنه، فالشكل الرباعي  $PQRS$  متوازي أضلاع. ●



شكل 1-6

والسؤال الآن، ما نوع الشكل الرباعي  $ABCD$ ، الذي يجعل الشكل  $PQRS$  مستطيلاً أو معيناً أو مربعاً؟

الشكل الرباعي الناتج من القطع المستقيمة الواصلة بين منتصفي كل ضلعين متتاليين في شكل رباعي آخر قطراه متعامدان هو مستطيل.

نظرية 2-6

## البرهان

في الشكل 1-6 ، لأن  $\overline{QR} \parallel \overline{AC}$  ، فإن الشكل الرباعي  $PQRS$  يكون مستطيلاً ( أي متوازي أضلاع فيه ضلعان متجاوران متعامدان) إذا كان  $\overline{PQ} \perp \overline{QR}$  ، وهذا صحيح لأن  $\overline{AC} \perp \overline{DB}$  .

نظرية 3-6 الشكل الرباعي الناتج من القطع المستقيمة الواصلة بين منتصفي كل ضلعين متتاليين في شكل رباعي آخر قطراه متطابقان هو معين .

## البرهان

ليكن لدينا شكل رباعي قطراه متطابقان ( انظر الشكل 2-6). في  $\triangle ADB$  ،  $\overline{PQ}$  قطعة مستقيمة واصله بين منتصفي ضلعين ، إذن:

$$PQ = \frac{1}{2}(DB)$$

وبالمثل  $\overline{SR}$  قطعة مستقيمة واصله بين منتصفي ضلعين في  $\triangle CDB$  ، إذن:

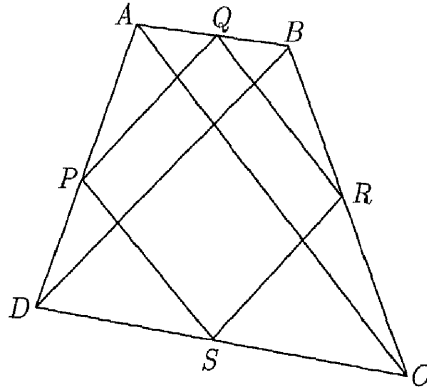
$$SR = \frac{1}{2}(DB)$$

ولكن

$$DB = CA \text{ ، إذن:}$$

$$PQ = QR$$

● أي أن متوازي الأضلاع  $PQRS$  معين .



شكل 2 - 6

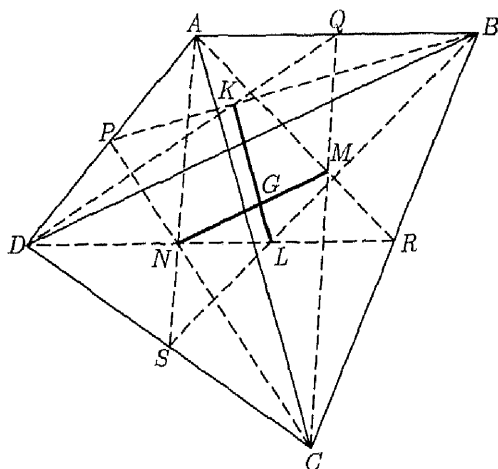
بمقارنة نتيجتي نظريتي 3-6، 2-6، يمكننا أن نتوصل إلى النظرية التالية.

الشكل الرباعي الناتج من القطع المستقيمة الواصلة بين منتصف كل ضلعين متتاليين في شكل رباعي آخر قطراه متطابقان ومتعامدان هو مربع.

نظرية 4-6

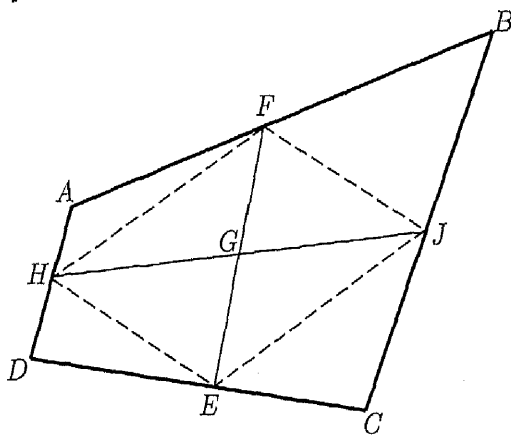
### مراكز الشكل الرباعي Centres of a Quadrilateral

لتكن النقطتان  $M, N$  هما نقطتي تقاطع متوسطات  $\triangle ABC, \triangle ADC$  على الترتيب، وكذلك النقطتان  $K, L$  هما نقطتي تقاطع متوسطات  $\triangle ABD, \triangle BCD$  على الترتيب أيضاً، فإذا تقاطع كل من  $\overline{MN}, \overline{KL}$  في النقطة  $G$  فإن هذه النقطة تكون مركز الشكل الرباعي Centroid (انظر الشكل 3-6). كما يمكننا أيضاً تعريف النقطة  $G$  على النقطة التي يتوازن عندها ثقل الشكل الرباعي  $ABCD$ .



شكل 3 - 6

أما النقطة المتوسطة في الرباعي فإنه يتم تعيينها من خلال تقاطع القطعتين الواصلتين بين منتصف كل ضلعين متقابلين في الشكل الرباعي، وكما في الشكل 6-4 فإن النقطة  $G$  هي النقطة المتوسطة Centerpoint في الرباعي  $ABCD$ .



شكل 4 - 6

القطعتان المستقيمتان الواصلتان بين منتصفي كل ضلعين متقابلين في  
الشكل الرباعي تنصف كل منهما الأخرى.

نظرية 5-6

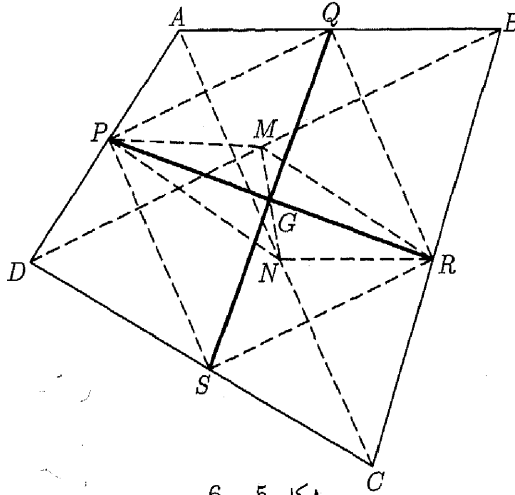
البرهان

لأن القطعتين المستقيمتين الواصلتين بين منتصفي كل ضلعين متقابلين في الشكل  
الرباعي هما قطرا متوازي الأضلاع الناتج من توصيل كل منتصفي ضلعين متتاليين في  
الشكل الرباعي، إذن ينصف كل منهما الآخر. ●

على الشكل 5-6، إذا كان لدينا النقاط  $P, Q, R, S$  منتصفات أضلاع  
الشكل الرباعي  $ABCD$ ، والنقطة  $G$  الناتجة من تقاطع  $\overline{PR}, \overline{QS}$ ، فإنه توجد  
علاقة بين  $\overline{MN}, \overline{PR}, \overline{QS}$ ، حيث  $M, N$  منتصفا قطري الرباعي  $ABCD$ ،  
وهذه العلاقة هي ما تنص عليه النظرية التالية.

منتصف القطعة المستقيمة الواصلة بين منتصفي قطري الشكل  
الرباعي هي النقطة المتوسطة لنفس الرباعي.

نظرية 6-6



شكل 5-6

## البرهان

في الشكل 5-6 ،  $M, N$  منتصفا  $\overline{PD}, \overline{AC}$  ، والنقاط  $P, Q, R, S$  منتصفات أضلاع الشكل الرباعي  $ABCD$  في  $\triangle ADC$  ، القطعة المستقيمة  $PN$  واصله بين منتصفي ضلعين فيه. إذن :

$$\overline{PN} \parallel \overline{DC}, PN = \frac{1}{2}(DC)$$

وفي  $\triangle ADC$  ، القطعة المستقيمة  $MR$  واصله بين منتصفي ضلعين فيه. إذن :

$$\overline{MR} \parallel \overline{DC}, MR = \frac{1}{2}(DC) \Rightarrow \overline{PN} \parallel \overline{DC}, PN = MR$$

إذن الشكل الرباعي  $PMNR$  متوازي أضلاع ، وحيث إن قطريه ينصف كل منهما الآخر ويتقاطعان في النقطة  $G$  التي كنا قد أثبتنا أنها النقطة المتوسطة للشكل

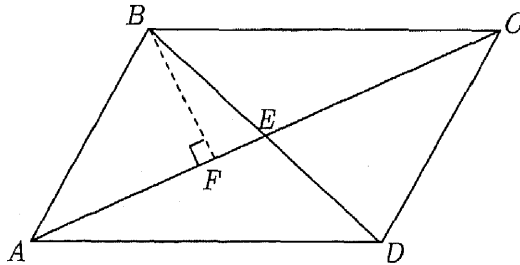
● الرباعي  $ABCD$ 

وبما أننا مازلنا نتحدث عن متوازيات الأضلاع ، فإن النظرية القادمة تقدم علاقة مهمة ، وتسمح مع ما سبق بتقديم خواص أخرى مهمة للشكل الرباعي.

مجموع مساحتي المربعين المنشأين على قطري متوازي أضلاع  
تساوي مجموع مساحات المربعات المنشأة على أضلاعه.

## نظرية 6-7

## البرهان



شكل 6-6



قدمنا في برهان نظرية ستيوارت المعادلتين II,IV وسنستخدمهما في هذا البرهان. بعد تطبيقهما على متوازي الأضلاع ABCD ، والمعطى  $\overline{BF} \perp \overline{AC}$  (انظر الشكل 6-6) نجد أنه في  $\triangle ABE$  :

$$(AB)^2 = (BF)^2 + (AE)^2 - 2(AE)(FE) \quad (I)$$

بالمثل في  $\triangle EBC$  :

$$(BC)^2 = (BE)^2 + (EC)^2 + 2(EC)(FE) \quad (II)$$

بالجمع

$$\begin{aligned} (AB)^2 + (BC)^2 &= \\ (BE)^2 + (AE)^2 + (BE)^2 + (BC)^2 - 2(AE)(FE) + 2(EC)(FE) & \\ \text{ولكن } AE = EC \text{ (قطرا متوازي الأضلاع ينصف كل منهما الآخر)} & \end{aligned}$$

$$(AB)^2 + (BC)^2 = 2(BE)^2 + 2(AE)^2 \quad (III)$$

بالمثل في  $\triangle CAD$  :

$$(CD)^2 + (DA)^2 = 2(DE)^2 + 2(CE)^2 \quad (IV)$$

بالجمع

$$(AB)^2 + (BC)^2 + (CD)^2 + (DA)^2 =$$

$$2(BE)^2 + 2(AE)^2 + 2(DE)^2 + 2(CE)^2$$

ولكن  $DE = BE, AE = EC$

$$\Rightarrow (AB)^2 + (BC)^2 + (CD)^2 + (DA)^2 = 4(BE)^2 + 4(AE)^2$$

$$= (2BE)^2 + (2AE)^2 = (BD)^2 + (AC)^2 \quad \bullet$$

والآن لندمج النظريتين 6-7 ، 6-1 ، ونشاهد ما يحدث.

مجموع مساحتي المربعين المنشأين على قطري أي شكل رباعي  
تساوي ضعف مجموع مساحات المربعين المنشأين على القطعتين  
المستقيمتين بين منتصفَي كل ضلعين متقابلين في الشكل الرباعي .

نظرية 6-8

البرهان

لقد أثبتنا في برهان النظرية 1-6 أن :  $PQ = \frac{1}{2}(DB)$  ، وهذا

يقود إلى :

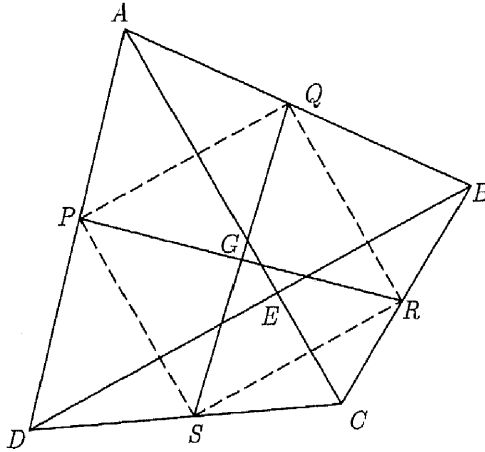
$$(PQ)^2 = \frac{1}{4}(DB)^2, (SR)^2 = \frac{1}{4}(DB)^2 \quad (I)$$

بالمثل  $QR = \frac{1}{2}(AC)$ ، وهذا يقود إلى

$$(QR)^2 = \frac{1}{4}(AC)^2, (PS)^2 = \frac{1}{4}(AC)^2 \quad (II)$$

وبتطبيق نظرية 6-7 على متوازي الأضلاع PQRS (الشكل 6-7) نحصل

على :



شكل 6-7

$$(PQ)^2 + (SR)^2 + (QR)^2 + (PS)^2 = (PR)^2 + (QS)^2 \quad (\text{III})$$

بالتعويض من (I), (II) في (III) :

$$\frac{1}{4}(DB)^2 + \frac{1}{4}(DB)^2 + \frac{1}{4}(AC)^2 + \frac{1}{4}(AC)^2 = (PR)^2 + (QS)^2$$

$$\frac{1}{2}(DB)^2 + \frac{1}{2}(AC)^2 = (PR)^2 + (QS)^2$$

$$(DB)^2 + (AC)^2 = 2[(PR)^2 + (QS)^2]. \bullet$$

### الأشكال الرباعية الدائرية Cyclic Quadrilaterals

ربما تكون صيغة هيرون الإسكندري Heron of Alexandria لإيجاد مساحة مثلث

بمعلومية أطوال أضلاعه والتي تنص على

$$\text{مساحة المثلث} = \sqrt{s(s-a)(s-b)(s-c)}$$

$$\left( s = \frac{a+b+c}{2} \text{ حيث } a, b, c \text{ أطوال أضلاع المثلث بينما} \right)$$

قد صادفتك قبل ذلك ، وعندها ربما أيضاً تكون قد فكرت في توسعة تلك الصيغة لتشمل الشكل الرباعي ، معتبراً أن المثلث هو شكل رباعي طول أحد أضلاعه صفر. إن كان هذا تفكيرك فإنك تسلك نفس مسار التفكير الذي سلكه الرياضي الهندي براهاماجويتا Brahmagupta\* والذي عاش في بدايات القرن السابع الميلادي ،

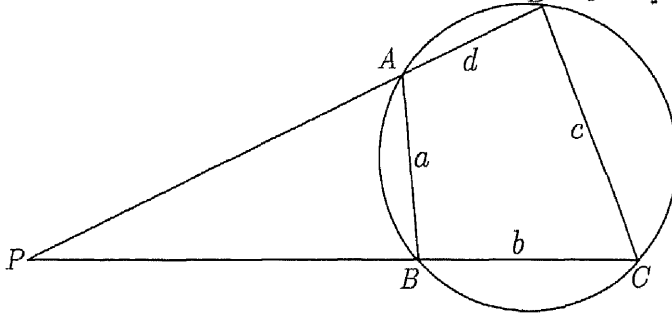
واستخدم الصيغة التالية لإيجاد مساحة الرباعي الدائري والذي أطوال

أضلاعه  $a, b, c, d$  ، وطول نصف محيطه  $s$  ،

\* في العام ٦٢٨م ، كتب براهاماجويتا Brahmagupta الذي ولد في عام ٥٩٨ ما يسمى "النظام المنقح لبراهما - the Revised System of Brahma" في اثني عشر أو ثلاثة عشر فصلاً في الرياضيات .

$$\text{مساحة الرباعي الدائري} = \sqrt{(s-a)(s-b)(s-c)(s-d)}$$

لاحظ أن براهاماجويتا استخدم صيغة هيرون لإيجاد مساحة المثلث معتبراً أن المثلث هو رباعي دائري فيه  $d = 0$ .



شكل 8-6

البرهان (صيغة براهاماجويتا)

أولاً، لندرس الحالة التي فيها الشكل الرباعي  $ABCD$  مستطيل أي  $a = c, b = d$  وبفرض أن صيغة براهاماجويتا صحيحة، فإن:

$$\begin{aligned} \text{مساحة المستطيل } ABCD &= \sqrt{(s-a)(s-b)(s-c)(s-d)} \\ &= \sqrt{(a+b-a)(a+b-b)(a+b-a)(a+b-b)} \\ &= \sqrt{a^2b^2} = ab \end{aligned}$$

وهذه هي مساحة المستطيل كما نحصل عليها بالطريقة العادية .

والآن لنعتبر  $ABCD$  رباعياً دائرياً ليس مستطيل الشكل (انظر الشكل 8-6). ونمد  $\overline{DA}, \overline{CB}$  ليتقاطعا في  $P$ ، ولنفرض أن  $PC = x, PD = y$  ثم نطبق صيغة هيرون : مساحة  $\triangle DCP$

$$= \frac{1}{4} \sqrt{(x+y+c)(y-x+c)(x+y-c)(x-y+c)} \quad (I)$$

بما أن :  $\angle CDA$  تكمل  $\angle CBA$  ،  $\angle ABP$  تكمل  $\angle CBA$  . إذن :

$$\begin{aligned} \angle CDA &\cong \angle ABP \\ \Rightarrow \Delta BAP &\sim \Delta DCP \end{aligned} \quad (II)$$

$$\Rightarrow \frac{[\Delta BAP]}{[\Delta DCP]} = \frac{a^2}{c^2}$$

$$\Leftrightarrow \frac{[\Delta DCP]}{[\Delta DCP]} - \frac{[\Delta BAP]}{[\Delta DCP]} = \frac{c^2}{c^2} - \frac{a^2}{c^2}$$

$$\frac{[\Delta DCP] - [\Delta BAP]}{[\Delta DCP]} = \frac{\text{area } ABCD}{[\Delta DCP]} = \frac{c^2 - a^2}{c^2} \quad (III)$$

من (II) نحصل أيضاً على :

$$\frac{x}{c} = \frac{y-d}{a} \quad (IV)$$

$$\frac{y}{c} = \frac{x-b}{a} \quad (V)$$

بالجمع

$$\frac{x+y}{c} = \frac{x+y-d-b}{a}$$

$$\Leftrightarrow x+y = \frac{c}{c-a}(d+b)$$

$$\Leftrightarrow x+y+c = \frac{c}{c-a}(b+c+d-a) \quad (VI)$$

وبطريقة مماثلة نحصل على العلاقات التالية :

$$y-x+c = \frac{c}{c+a}(a+c+d-b) \quad (VII)$$

$$y + x - c = \frac{c}{c-a}(a+b+d-c) \quad (\text{VIII})$$

$$x - y + c = \frac{c}{c+a}(a+b+c-d) \quad (\text{IX})$$

بالتعويض من (VI), (VII), (VIII), (IX) في (I) نحصل على أن مساحة  $\triangle DCP$  تساوي

$$\frac{c^2}{4(a^2 - c^2)} \sqrt{(b+c+d-a)(a+c+d-b)(a+b+d-c)(a+b+c-d)}$$

$$= \frac{c^2}{a^2 - c^2} \frac{\sqrt{(b+c+d-a)(a+c+d-b)(a+b+d-c)(a+b+c-d)}}{4}$$

$$= \frac{c^2}{a^2 - c^2} \sqrt{\frac{(b+c+d-a)}{2} \cdot \frac{(a+c+d-b)}{2} \cdot \frac{(a+b+d-c)}{2} \cdot \frac{(a+b+c-d)}{2}}$$

$$= \frac{c^2}{a^2 - c^2} \sqrt{\frac{(a+b+c+d-2a)}{2} \cdot \frac{(a+b+c+d-2b)}{2} \cdot \frac{(a+b+c+d-2c)}{2} \cdot \frac{(a+b+c+d-2d)}{2}}$$

$$، s = \frac{a+b+c+d}{2} : \text{ولكن}$$

$$[\triangle DCP] = \frac{c^2}{a^2 - c^2} \sqrt{(s-a)(s-b)(s-c)(s-d)}$$

من الممكن صياغة العلاقة (III) على الصورة :

$$ABCD \text{ مساحه الرباعي الدائري } = \frac{c^2 - a^2}{c^2} \cdot [\triangle DCP]$$

$$\begin{aligned}
&= \frac{c^2 - a^2}{c^2} \cdot \frac{c^2}{a^2 - c^2} \sqrt{(s-a)(s-b)(s-c)(s-d)} \\
&= \sqrt{(s-a)(s-b)(s-c)(s-d)}. \bullet
\end{aligned}$$

وفي تطوير تمتع لصيغة براهاماجوبتا، يمكننا صياغة العلاقة التالية والتي سنقدمها بدون برهان :

مساحة سطح أي شكل رباعي (محدب) تساوي

$$\sqrt{(s-a)(s-b)(s-c)(s-d) - abcd \cdot \cos^2 \left( \frac{\alpha + \gamma}{2} \right)}$$

حيث :  $a, b, c, d$  أطوال أضلاع الشكل الرباعي ،  $s = \frac{a+b+c+d}{2}$  ،  $\alpha, \gamma$  قياسا زاويتين متقابلتين في الرباعي.

والصيغة السابقة تثبت لنا أن أكبر قيمة ممكنة لمساحة أي شكل رباعي معلوم أطوال أضلاعه الأربعة هي عندما :  $abcd \cdot \cos^2 \left( \frac{\alpha + \gamma}{2} \right) = 0$  وهذه الحالة لا تتحقق إلا عندما :  $\alpha + \gamma = 180^\circ$  وهذا لا يتحقق إلا عندما يكون الشكل الرباعي دائرياً.

وهناك العديد من النظريات الشيقة التي نتحدث عن الشكل الرباعي الدائري، ولكن قبل أن نقوم بدراسة هذه النظريات، ننصح القارئ بالعودة إلى صفحة 21 التي توضح طرق إثبات أن الشكل الرباعي دائري.

وكذلك قدم براهاماجوبتا صيغاً لإيجاد طولي قطري الشكل الرباعي الدائري.

وهي :

$$m^2 = \frac{(ab + cd)(ac + bd)}{ad + bc}, \quad n^2 = \frac{(ac + bd)(ad + bc)}{ab + cd}$$

حيث  $a, b, c, d$  أطوال أضلاع الرباعي الدائري،  $m, n$  طولاً قطريه.  
 وقبل أن نترك هذا الرياضي الرائع برهاماجوبتا، نعرض النظرية التالية والتي تنسب إليه أيضاً.

في الشكل الرباعي الدائري المتعامد قطراه، المستقيم المار بنقطة تقاطع القطرين والعمودي على احد أضلاع الرباعي الدائري ينصف الضلع المقابل لهذا الضلع.

نظرية 6-9

البوهان

ليكن  $\overline{AC}, \overline{BD}$  قطرين متعامدين في الرباعي الدائري  $ABCD$  متقاطعين في النقطة  $G$ ،  $\overline{GE} \perp \overline{AED}$  ( انظر الشكل 6-9 )، والمطلوب هو إثبات أن  $\overline{GE}$  ينصف  $\overline{BC}$  في النقطة  $P$ . في المثلث القائم الزاوية  $AEG$ ،  $\angle 5$  تكمل  $\angle 1$ ،  $\angle 2$  تكمل  $\angle 1$ ، إذن:

$$\angle 4 \cong \angle 2 \text{ ولأن } \angle 5 \cong \angle 2$$

إذن :

$$\angle 5 \cong \angle 4$$

ولكن  $\angle 5 \cong \angle 6$  (كل منهما يساوي  $\frac{1}{2}m\widehat{DC}$ )،

ومن ذلك نستنتج أن :

$$.BP = GP \text{ ، } \angle 4 \cong \angle 6$$

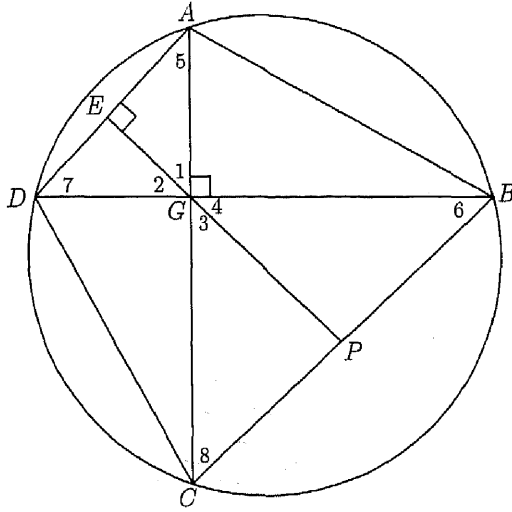
بالمثل لأن:  $\angle 7 \cong \angle 3$ ،  $\angle 7 \cong \angle 8$ ، فإن :

$$GP = PC$$

إذن :

$$. CP = BP \bullet$$



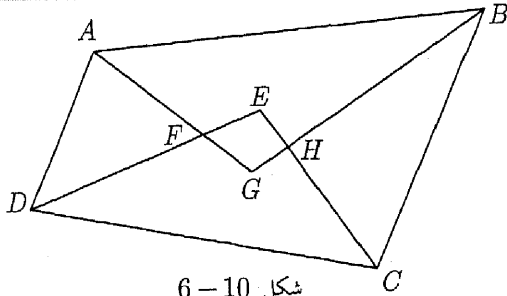


شكل 9 - 6

من الطرق الشيقة لإنشاء شكل رباعي دائري هو ما تقدمه النظرية التالية :

**نظرية 6-10** إذا رسمنا منتصف زاوية من كل زوج من الزوايا المتجاورة في شكل رباعي فإن القطع المستقيمة الواصلة بين نقاط التقاطع هي رؤوس شكل رباعي دائري.

**البرهان I**



شكل 10 - 6

في الشكل 10-6 ، منصفات زوايا الشكل الرباعي  $ABCD$  تلتقي لتشكّل الرباعي  $EFGH$  وسنحاول أن نثبت أن الشكل الرباعي السابق هو رباعي دائري. بما أن  $m\angle BAD + m\angle ADC + m\angle DCB + m\angle CBA = 360^\circ$  إذن :

$$\frac{1}{2}m\angle BAD + \frac{1}{2}m\angle ADC + \frac{1}{2}m\angle DCB + \frac{1}{2}m\angle CBA = \frac{1}{2}(360^\circ) = 180^\circ$$

بالتعويض نستنتج أن :

$$m\angle EDC + m\angle ECD + m\angle GAB + m\angle ABG = 180^\circ \quad (I)$$

الآن ، في  $\triangle ABG, \triangle DEC$  ، لدينا :

$$m\angle EDC + m\angle ECD + m\angle GAB + m\angle ABG + m\angle AGB + m\angle DEC = 2(180^\circ) \quad (II)$$

بطرح (I) من (II) نحصل على :

$$m\angle AGB + m\angle DEC = 180^\circ$$

ولأن زاويتين متقابلتين في الشكل الرباعي  $EFGH$  متكاملتان ، فإن الزاويتين الباقيتين

هما أيضاً متكاملتان ، أي أن الرباعي  $EFGH$  هو رباعي دائري . ●

### نظرية بطليموس Ptolemy's theorem

ربما تكون النظرية الأشهر التي تحدثت عن الشكل الرباعي الدائري هي التي

تنسب لكلاوديوس بطليموس الإسكندري Claudius Ptolemaeus of Alexandria

(والذي يعرف في المراجع الأجنبية باسم Ptolemy) وقد وردت في كتابه الذي يحمل

عنوان : "المجسطي" \* (١٥٠ بعد الميلاد) والذي يعد أقدم الكتب المعروفة في الفلك.

\* العنوان اليوناني Syntaxis Mathematica ، وتعني التجميع الرياضي أو الفلكي ، أما العنوان العربي

للكتاب فكان المجسطي "Almagest" ويعني الأطروحة الكبرى في الرياضيات. والكتاب عبارة عن دليل عن كل

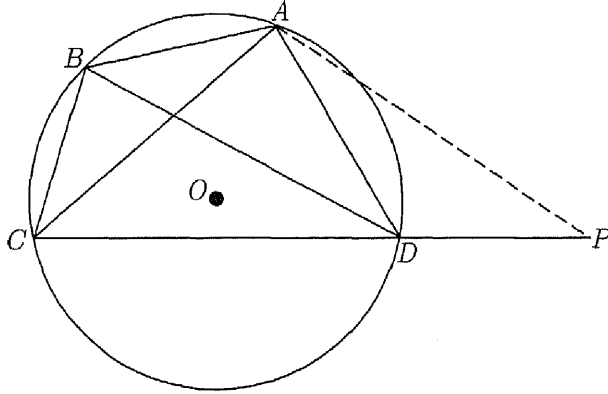
ما عرفه القدماء في علم الفلك الرياضي في ذلك. ويحتوي المجلد الأول من ثلاثة عشر مجلداً والتي يتألف منها

هذا العمل الضخم على النظرية التي تحمل اسم نظرية بطليموس Ptolemy's theorem.

(نظرية بطليموس) حاصل ضرب طولَي قطري الرباعي  
الدائري يساوي مجموع حاصل ضربَي كل زوج من الضلعين  
المتقابلين في الشكل.

نظرية 6-11

سوف نقوم بإثبات النظرية بطريقتين مختلفتين، وسندمج إثبات عكس النظرية  
مع الطريقة الثانية ضمن النظرية 6-12.



شكل 6-11

في الشكل 6-11، الرباعي  $ABCD$  مرسوم داخل الدائرة  $O$ ، والمستقيم

المرسوم والمار بالنقطة  $A$  يلاقي  $\overline{CD}$  في النقطة  $P$ ، بحيث

$$m\angle BAC = m\angle DAP \quad (\text{I})$$

ولأن الرباعي  $ABCD$  دائري، إذن:

$$m\angle ABC + m\angle ADC = 180^\circ$$

ولكن

$$m\angle ADP + m\angle ADC = 180^\circ$$

فيكون لدينا

$$m\angle ABC = m\angle ADP \quad (\text{II})$$

$$\triangle BAC \sim \triangle DAP \text{ (AA)} \quad (\text{III})$$

$$\Rightarrow \frac{AB}{AD} = \frac{BC}{DP}$$

$$\Rightarrow DP = \frac{(AD) \cdot (BC)}{AB} \quad (\text{IV})$$

من (I) :  $m\angle BAD = m\angle CAP$  ، ومن (III) :  $\frac{AB}{AD} = \frac{AC}{AP}$  . إذن :

$$\triangle ABD \sim \triangle ACP \text{ (SAS)}$$

$$\Rightarrow \frac{BD}{CP} = \frac{AB}{AC}$$

$$\Rightarrow CP = \frac{(AC) \cdot (BD)}{AB} \quad (\text{V})$$

ولكن

$$CP = CD + DP \quad (\text{VI})$$

بالتعويض من (V) ، (IV) في (VI) :

$$\frac{(AC) \cdot (BD)}{AB} = CD + \frac{(AD) \cdot (BC)}{AB}$$

$$\bullet \text{ إذن ، } (AC) \cdot (BD) = (AB) \cdot (CD) + (AD) \cdot (BC)$$

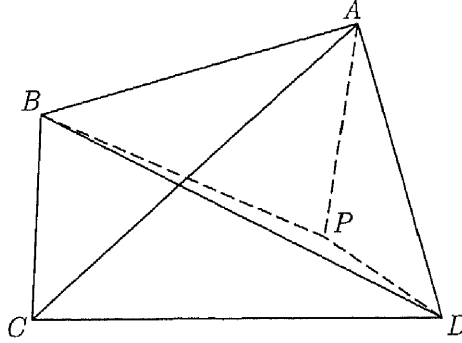
### البرهان II

في الرباعي  $ABCD$  (الشكل 12-6) ، نرسم  $\triangle DAP$  على الضلع  $\overline{AD}$

يشابه  $\triangle CAB$  ، ومن ذلك نستنتج أن :

$$\frac{AB}{AP} = \frac{AC}{AD} = \frac{BC}{PD} \quad (\text{I})$$

$$\Rightarrow (AC) \cdot (PD) = (AD) \cdot (BC) \quad (\text{II})$$



شكل 12 - 6

ولأن  $m\angle BAC = m\angle PAD, m\angle BAP = m\angle CAD$  ؛ إذن، من (I) :

$$\Delta BAP \sim \Delta CAD \text{ (SAS)} \Rightarrow \frac{AB}{AC} = \frac{BP}{CD}$$

وعليه فإن :

$$(AC) \cdot (BP) = (AB) \cdot (CD) \quad (\text{III})$$

بجمع (II)، (III) :

$$(AC)(BP + PD) = (AD) \cdot (BC) + (AB) \cdot (CD) \quad (\text{IV})$$

والآن لنناقش وضع النقطة  $P$  بالنسبة للقطر  $BD$ ، فمن تشابه

$\Delta DAP, \Delta CAB$  نستنتج أن :

$m\angle ADP = m\angle ACB$ . ومن المعطى الخاص بأن الشكل  $ABCD$  رباعي دائري

نستنتج أيضاً أن  $m\angle ADB = m\angle ACB$ ، ومن ذلك فإن النقطة  $P$  يجب أن تقع

على  $\overline{BD}$  إذا وفقط إذا كان الشكل الرباعي  $ABCD$  دائرياً. هذا يقود إلى أن :

$$BP + PD = BD \quad (\text{V})$$

بالتعويض من (IV), (V) :

$$\bullet. (AC) \cdot (BD) = (AB) \cdot (CD) + (AC) \cdot (BD)$$

لاحظ أننا هنا قد أثبتنا كلاً من نظرية بطليموس وعكسها، ونقدم ذلك تفصيلاً

في النظرية التالية .

(عكس نظرية بطليموس) إذا كان حاصل ضرب طولي قطري شكل رباعي يساوي مجموع حاصل ضربي كل زوج من الضلعين المتقابلين فيه، فإن هذا الشكل الرباعي يكون دائرياً.

نظرية 12-6

البرهان

نفرض أن الرباعي  $ABCD$  ليس دائرياً (انظر الشكل 11-6)، وإذا كانت النقاط  $C, D, P$  على استقامة واحدة، فإن  $m\angle ADP \neq m\angle ABC$ ، ولكن إذا كانت النقاط  $C, D, P$  ليست على استقامة واحدة فإنه من الممكن أن يكون  $m\angle ADP = m\angle ABC$ ، إذن  $CP < CD + DP$  ومن (IV), (V) في البرهان الأول لنظرية بطليموس :

$$(AC) \cdot (BD) < (AB) \cdot (CD) + (AD) \cdot (BC)$$

ولكن ذلك يناقض المعطى :

$$(AC) \cdot (BD) = (AB) \cdot (CD) + (AD) \cdot (BC)$$

إذن الرباعي  $ABCD$  دائري .

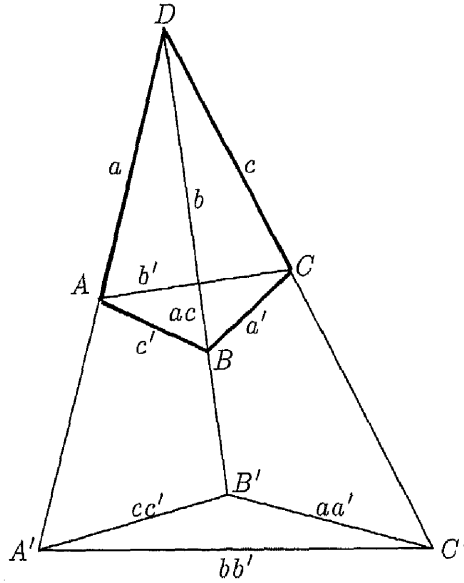
والآن، لندرس تطوراً بسيطاً لنظرية بطليموس

ليكن لدينا رباعي غير دائري  $ABCD$ ، ولنفرض فيه أن  $BC = a'$ ،  $CD = c$ ،  $BD = b$ ،  $AD = a$ ،  $AB = c'$ ،  $AC = b'$ . إن مجموع أي عددين من الأعداد  $aa'$ ,  $bb'$ ,  $cc'$  أكبر من العدد الثالث (انظر الشكل 13-6).

نظرية 13-6

البرهان\*

لننشئ  $A'$  على  $\overline{AD}$  بحيث  $DA' = bc$ . ولننشئ  $B'$  على  $\overline{BD}$  بحيث  $DB' = ac$ .  
وأخيراً لننشئ  $C'$  على  $\overline{CD}$  بحيث  $DC' = ab$ .



شكل 13-6

وعند ذلك سنلاحظ أن  $\triangle DAB \sim \triangle DB'A'$  لأنهما يحتويان على زاوية مشتركة

$\angle ADB$  وأضلاع متجاورة متناسبة كالتالي:

$$\frac{DB'}{DA} = \frac{ac}{a} = c, \frac{DA'}{DB} = \frac{bc}{b} = c \Rightarrow \frac{DA'}{DB} = \frac{DB'}{DA} = c$$

\* البرهان مقدم من الدكتور / هاري ديليو أبلجيت Harry W. Appelgate من جامعة مدينة نيويورك The City

وهذا يعني أن  $c = \frac{A'B'}{AB}$  أو  $A'B' = cc'$  ، وبالمثل نستطيع الوصول إلى أن  
 $B'C' = aa', A'C' = bb'$   
 وأخيراً في  $\Delta A'B'C'$  ، وتطبيق متباينة المثلث نحصل على :  
 $aa' + bb' > cc', aa' + cc' > bb', cc' + bb' > aa'$ . ●

والآن - عزيزي القارئ - هل فكرت في الوضع الذي تتحقق فيه المساواة :  
 $aa' + cc' = bb'$  ؟

### تطبيقات على نظرية بطليموس

في هذا الجزء سنقدم بعض النتائج المباشرة لنظرية بطليموس .

#### التطبيق 1

إذا مرت أي دائرة بالرأس  $A$  في متوازي الأضلاع  $ABCD$  وقطعت  $AB, AD$  في  $R, P$  على الترتيب كما قطعت قطر متوازي الأضلاع  $AC$  في  $Q$  ،  
 فثبت أن :

$$(AQ)(AC) = (AP)(AB) + (AR)(AD)$$

#### البرهان

نرسم  $\overline{RQ}, \overline{QP}, \overline{RP}$  كما في الشكل 14 - 6 ،  $m\angle 2 = m\angle 4, m\angle 1 = m\angle 3$  ،

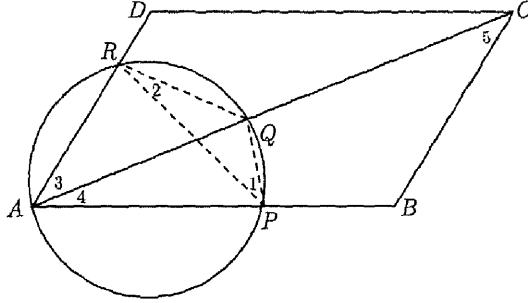
ولكن  $m\angle 3 = m\angle 5$  ، إذن  $m\angle 1 = m\angle 5$  . ومن ذلك نستنتج أن :

$$\Delta RQP \sim \Delta ABC .$$

ولكن أيضاً  $\Delta CDA \cong \Delta ABC$  ؛ إذن :

$$\Delta RQP \sim \Delta ABC \sim \Delta CDA .$$





شكل 14 - 6

$$\frac{AC}{RP} = \frac{AB}{RQ} = \frac{AD}{PQ} \quad (I)$$

بتطبيق نظرية بطليموس على الرباعي  $RQPA$  :

$$(AQ)(RP) = (RQ)(AP) + (PQ)(AB) \quad (II)$$

بضرب كل نسبة من النسب المتساوية في العلاقة (I) في كل حد من حدود العلاقة

(II) نحصل على :

$$(AQ)(RP) \frac{AC}{RP} = (RQ)(AP) \frac{AB}{RQ} + (PQ)(AB) \frac{AD}{PQ}$$

أو

$$(AQ)(AC) = (AB)(AP) + (AD)(AB) \bullet$$

التطبيق 2

أوجد النسبة بين طولي قطري الشكل الرباعي الدائري وبين أطوال أضلاعه.

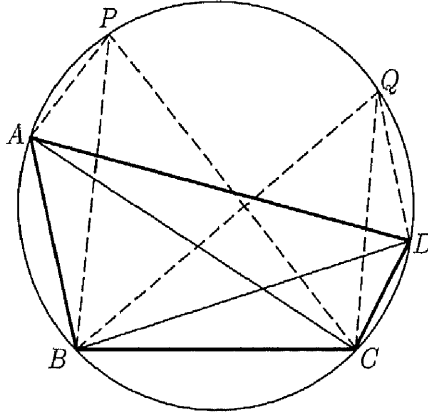
البرهان

لنختار أي نقطتين  $P, Q$  على الدائرة المحيطة بالشكل الرباعي  $ABCD$  ، بحيث

$QD = AB$  ،  $PA = DC$  كما في الشكل 15 - 6 .

بتطبيق نظرية بطليموس على الرباعي الدائري  $ABCD$

$$(AC)(PB) = (AB)(PC) + (BC)(PA) \quad (I)$$



شكل 15 - 6

وبتطبيق نظرية بطليموس على الرباعي الدائري  $BCDQ$

$$(BD)(QC) = (DC)(QB) + (BC)(QD) \quad (II)$$

الآن، لأن  $PA + AB = DC + QD$ ، فإن:

$$.PB = QC, \quad m\widehat{PAB} = m\widehat{QDC}$$

ولأن  $m\widehat{PBC} = m\widehat{DBA}$ ، فإن:

$$PC = AD$$

وكذلك لأن  $m\widehat{QCB} = m\widehat{ACD}$ ، فإن  $QB = AD$ . وأخيراً بقسمة (I) على

(II) وبالتعويض عن أي حد يحتوي  $P, Q$  نحصل على:

$$\begin{aligned} \frac{(AC)(PB)}{(BD)(QC)} &= \frac{(AB)(PC) + (BC)(PA)}{(DC)(QB) + (BC)(QD)} \\ \Leftrightarrow \frac{(AC)(PB)}{(BD)(PB)} &= \frac{(AB)(AD) + (BC)(DC)}{(DC)(AD) + (BC)(AB)} \\ \Leftrightarrow \frac{AC}{BD} &= \frac{(AB)(AD) + (BC)(DC)}{(DC)(AD) + (BC)(AB)} \bullet \end{aligned}$$

## التطبيق 3

إذا كانت النقطة  $P$  تقع داخل متوازي الأضلاع  $ABCD$  بحيث  $\angle APB$  تكمل  $\angle CPD$  (الشكل 6-6). فأثبت أن

$$(AB)(AD) = (BP)(DP) + (AP)(CP)$$

## البرهان

نرسم على الضلع  $\overline{AB}$  في متوازي الأضلاع  $ABCD$ ،  $\triangle AP'B \cong \triangle DPC$ ،

إذن

$$DP = AP', \quad CP = BP' \quad (I)$$

لأن  $\angle APB$  تكمل  $\angle CPD$ ،  $m\angle BP'A = m\angle CPD$ ،  $\triangle AP'B \cong \triangle DPC$ ،

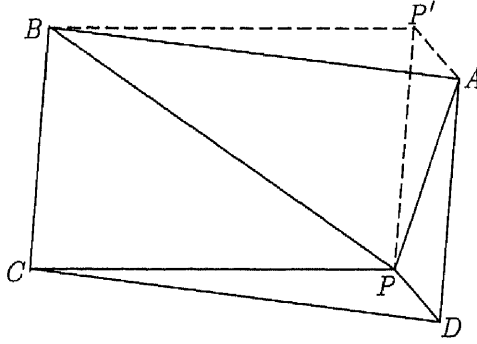
تكمّل  $\triangle BP'A$ ، فإن الشكل الرباعي  $BP'AP$  دائري، ويتطبيق نظرية بطليموس

عليه نحصل على:

$$(AB)(PP') = (BP)(AP') + (AP)(BP')$$

من (I) لدينا:

$$(AB)(PP') = (BP)(DP) + (AP)(CP) \quad (II)$$



شكل 6-16

الآن، لأن  $m\angle BAP' = m\angle CDP$  ،  $\overline{CD} \parallel \overline{AB}$  ، فإن  $\overline{PD} \parallel \overline{P'A}$  ، ومن ذلك فإن الشكل  $PDAP'$  متوازي أضلاع؛ إذن:  
 $PP' = AD$ .

بالتعويض في (II) :

$$(AB)(AD) = (BP)(DP) + (AP)(CP). \bullet$$

وبعد أن انتهينا من التطبيق السابق، فإن التطبيقات الخمسة التالية تقدم لنا نمطيات جميلة تدور حول المضلعات المنتظمة.

#### التطبيق 4

إذا رسم  $\Delta ABC$  المتطابق الضلعين ( $AB = AC$ ) داخل دائرة، وكانت

النقطة  $P \in \widehat{BC}$  فأثبت أن  $\frac{PA}{PB + PC} = \frac{AC}{BC}$  ، وهو ثابت للمثلث المعطى.

البرهان

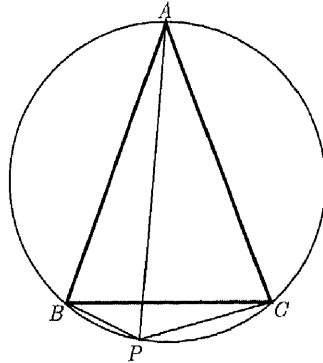
بتطبيق نظرية بطليموس على الدائري  $ABPC$  (الشكل 15 - 6) :

$$(PA)(BC) = (BP)(AC) + (PC)(AB)$$

ولكن :  $AB = AC$  ، إذن :

$$(PA)(BC) = AC(BP + AB)$$

$$\Leftrightarrow \frac{PA}{PB + PC} = \frac{AC}{BC} \bullet$$



شكل 17 - 6

التطبيق 5

إذا رسم  $\triangle ABC$  المتطابق الأضلاع داخل دائرة ، وكانت النقطة  $P \in \widehat{BC}$

فأثبت أن :

$$. PA = PB + PC$$

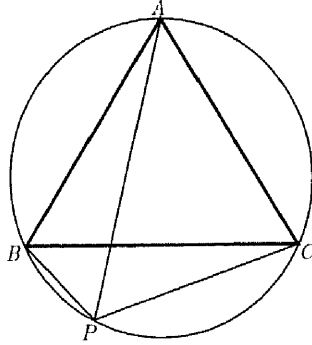
البرهان

بتطبيق نظرية بطليموس على الدائري  $ABPC$  (الشكل 18 - 6) :

$$(PA)(BC) = (BP)(AC) + (PC)(AB) \quad (I)$$

ولكن :  $AB = AC = BC$

$$\Rightarrow PA = PB + PC . \bullet$$



شكل 6 - 18

### التطبيق 6

إذا رسم المربع  $ABCD$  داخل دائرة، وكانت النقطة  $P \in \widehat{BC}$  فأثبت أن

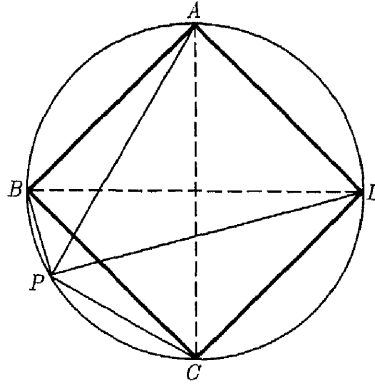
$$\frac{PA + PC}{PB + PD} = \frac{PD}{PA}$$

البرهان

في الشكل 6 - 19،  $\triangle ABD$  متطابق الضلعين ( $AB = AD$ )، وباستخدام

ما توصلنا إليه في التطبيق 4، نحصل على :

$$\frac{PA}{PB + PD} = \frac{AD}{DB} \quad (I)$$



شكل 19 - 6

بالمثل في المثلث المتطابق الضلعين  $\triangle ADC$  :

$$\frac{PD}{PA + PC} = \frac{DC}{AC} \quad (\text{II})$$

ولكن :  $AD = DC, DB = AC$

$$\Rightarrow \frac{AD}{DB} = \frac{DC}{AC} \quad (\text{III})$$

من (I), (II), (III) نحصل على :

$$\frac{PA}{PB + PD} = \frac{PD}{PA + PC} \Leftrightarrow \frac{PA + PC}{PB + PD} = \frac{PD}{PA} \bullet$$

التطبيق 7

إذا رسم الخماسي المنتظم  $ABCDE$  ، داخل دائرة ، وكانت النقطة

$P \in \widehat{BC}$  فأثبت أن :

$$PA + PD = PB + PC + PE$$

البرهان

في الرباعي  $ABPC$  ( انظر الشكل 20 - 6 ) وبتطبيق نظرية بطليموس :  
 شكل المتطابق الضلعين  $(AB = AD)$  وباستخدام ما توصلنا إليه في التطبيق 4 ،  
 نحصل على :

$$(PA)(BC) = (BA)(PC) + (PB)(AC) \quad (I)$$

وفي الرباعي  $BPCD$  :

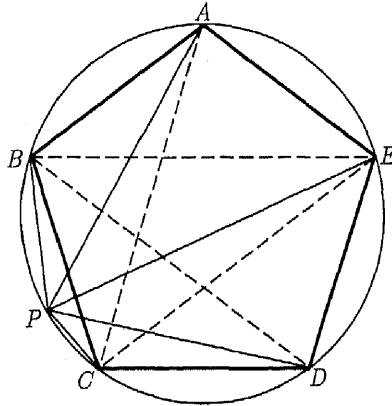
$$(PD)(BC) = (CD)(PB) + (PC)(BD) \quad (II)$$

ولكن :  $AD = DC, DB = AC$  ، وجمع  $(I), (II)$  نحصل على

$$BC(PA + PD) = BA(PB + PC) + AC(PB + PC) \quad (III)$$

ولأن  $\triangle BEC$  متطابق الضلعين ، وبتطبيق ما توصلنا إليه في التطبيق 4 نحصل على :

$$\frac{CE}{BC} = \frac{PE}{PB + PC} \Leftrightarrow \frac{(PE)(BC)}{(PB + PC)} = CE = AC \quad (IV)$$



شكل 20 - 6



بالتعويض من (IV) في (III)

$$BC(PA + PD) = BA(PB + PC) + \frac{(PE)(BC)}{(PB + PC)}(PB + PC)$$

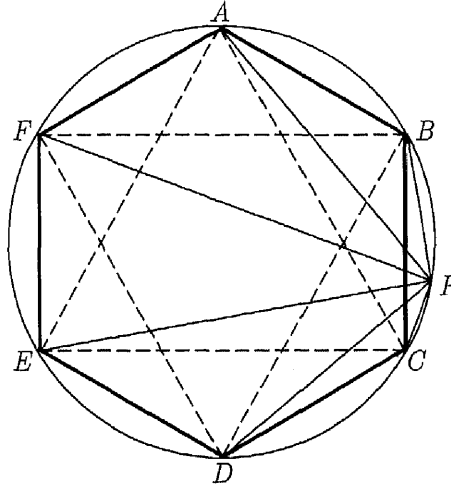
$$\Rightarrow BC(PA + PD) = BA(PB + PC) + (PE)(BC)$$

● ولكن :  $BC = BA$  ، إذن  $PA + PD = PB + PC + PE$

### التطبيق 8

إذا رسم السداسي المنتظم  $ABCDEF$  داخل دائرة ، وكانت النقطة  $P \in \widehat{BC}$  ، فأثبت أن :

$$PE + PF = PA + PB + PC + PD$$



شكل 21 - 6

نرسم الخطوط التي تصل بين الرؤوس  $A, E, C$  ، والتي ينتج منها المثلث المتطابق الأضلاع  $ACE$

$$PE = PA + PC \quad (I)$$

وبالمثل في  $\Delta BPF$  المتطابق الأضلاع :

$$PF = PB + PD \quad (II)$$

بجمع (I), (II) :

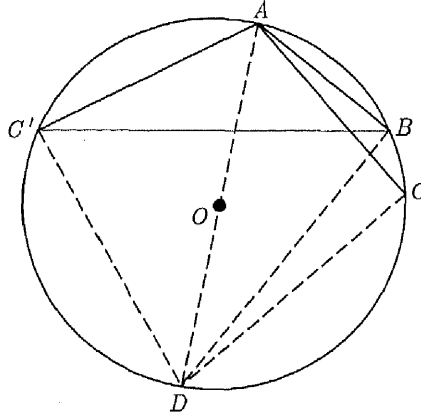
$$PE + PF = PA + PB + PC + PD. \bullet$$

### التطبيق 9

إذا رسم مثلث داخل دائرة نصف قطرها 5 ، وكان طولاً ضلعين في هذا المثلث 5,6 ، فأوجد طول الضلع الثالث في المثلث.

البرهان

في الشكل 22 - 6 ، نلاحظ أن هناك حالتين يجب أخذهما في الاعتبار عند حل هذه المشكلة ، فكلًا  $\Delta ABC, \Delta ABC'$  يمكن إنشاؤهما داخل الدائرة  $O$  والتي نصف قطرها 5 بحيث يكون  $AB = 5$  ،  $AC = AC' = 6$  ، وعليه سنحاول أن نحصل على طول كل من  $BC, BC'$ .



شكل 22 - 6

نرسم قطر الدائرة  $\overline{AOD}$  والذي طوله 10 ، ونصل كلاً من  $\overline{DC}$ ,  $\overline{DB}$ ,  $\overline{DC}'$

$$\Rightarrow m\angle AC'D = m\angle ACD = m\angle ABD = 90^\circ$$

والآن لندرس الحالة التي فيها  $\angle A$  حادة في  $\triangle ABC$  ، ففي  $\triangle ACD$  القائم ،  $DC = 8$  ، وفي  $\triangle ABD$  القائم ،  $BD = 5\sqrt{3}$  ، وتطبيق نظرية بطليموس على الرباعي  $ABCD$

$$(AC)(BD) = (AB)(DC) + (AD)(BC), (6)(5\sqrt{3}) = (5)(8) + (10)(BC)$$

$$\Rightarrow BC = 3\sqrt{3} - 4$$

أما الحالة التي فيها  $\angle A$  منفرجة في  $\triangle ABC'$  ، ففي  $\triangle AC'D$  القائم ،

$$DC' = 8 ، وتطبيق نظرية بطليموس على الرباعي  $ABDC'$  ، نجد أن :$$

$$(AC')(BD) + (AB)(DC') = (AD)(BC), (6)(5\sqrt{3}) + (5)(8) = (10)(BC')$$

$$\Rightarrow BC' = 3\sqrt{3} + 4 . \bullet$$

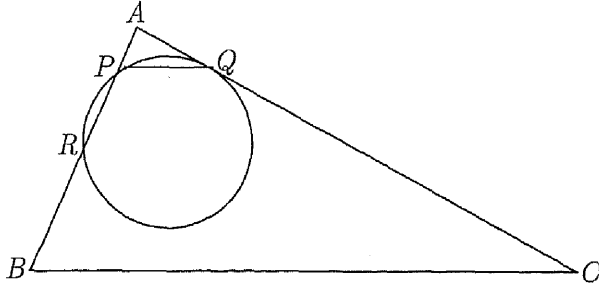
لقد بدأنا في هذا الفصل دراسة الأشكال الرباعية في صورتها العامة ، والتي قادتنا بدورها للأشكال الرباعية الدائرية والتي مساحتها أكبر ما يمكن عندما تكون أطوال أضلاعها معلومة ، بالإضافة إلى خصائصها الكثيرة والمهمة ، وخير دليل على ذلك صيغة برهاماجوبتا ونظرية بطليموس .

ولأن المجال يتسع بلا حدود فالأمر متروك للقارئ لمواصلة دراسة خصائص أنواع أخرى مختلفة من الأشكال الرباعية .

### تدريبات

1. حدد نوع الشكل الرباعي الناتج من توصيل منتصفات الأضلاع المتتالية لكل رباعي مما يلي :
  - A. شبه منحرف غير متطابق الضلعين .
  - B. شبه منحرف متطابق الضلعين .

مع ذكر السبب في كل حالة.
2. رسم مثلثان متطابقا الضلعين على قاعدة واحدة وفي جهتين مختلفتين منها ليكونا شكلاً رباعياً. حدد نوع الرباعي الناتج من توصيل منتصفات أضلاعه.
3. هل عكس نظرية 1 – 6 صحيح؟ أثبت إجابتك.
4. أثبت أن محيط الشكل الرباعي الناتج من توصيل منتصفات الأضلاع المتتالية لشكل رباعي معطى يساوي مجموع طولي قطري الرباعي المعطى.
5. أثبت أن مساحة الشكل الرباعي الناتج من توصيل منتصفات الأضلاع المتتالية لشكل رباعي معطى يساوي نصف مساحة الرباعي المعطى.
6. أثبت أن مجموع مربعات أضلاع أي شكل رباعي تساوي مجموع مربعي قطريه مضافاً إليه أربعة أمثال مربع القطعة المستقيمة الواصلة بين منتصفي القطرين.
7. أوجد مساحة المثلث الذي أطوال أضلاعه 13, 14, 15.
8. أوجد مساحة الرباعي الدائري الذي أطوال أضلاعه 9, 10, 10, 21.
9. أوجد مساحة الرباعي الدائري الذي أطوال أضلاعه 7, 15, 20, 24.
10. الخط المستقيم  $\overline{PQ}$  يوازي القاعدة  $\overline{BC}$  في  $\Delta BAC$  ، ويقطع  $\overline{AB}, \overline{AC}$  في  $P, Q$  على الترتيب ( الشكل 23 – 6 ). رسمت الدائرة التي تمر بالنقطة  $P$  وتمس  $\overline{AC}$  في  $Q$  وتقطع  $\overline{AB}$  في  $R$ . أثبت أن النقاط  $R, C, B, Q$  تقع على دائرة واحدة.

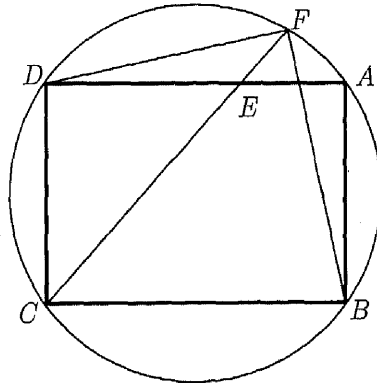


شكل 6 - 23

11. أثبت أن المستقيمتان المرسومة من منتصفات كل ضلع في الرباعي الدائري والعمودية على الضلع المقابل تتقاطعان في نقطة واحدة.

12. إلى أي نتيجة مشهورة تؤول نظرية بطليموس عندما يكون الشكل الرباعي الدائري مستطيلاً؟ برهن إجابتك.

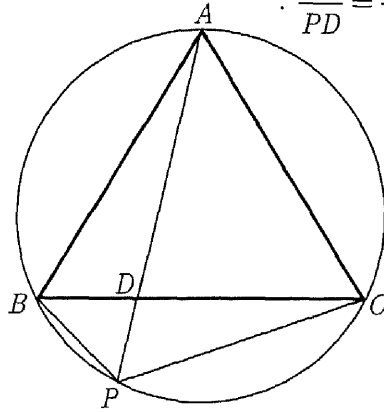
13. النقطة  $E$  على  $\overline{AD}$  في المستطيل  $ABCD$  بحيث  $DE = DC = 6$  و  $DA = 8$  (الشكل 6 - 24)، ومددنا  $\overline{CE}$  ليقطع الدائرة المحيطة بالمستطيل في  $F$ . أوجد طولي  $\overline{DF}, \overline{FB}$ .



شكل 6 - 24

14. إذا رسم خط يمر بالرأس  $A$  في  $\triangle ABC$  المتطابق الأضلاع ويقطع كلاً من  $\overline{BC}$  في  $D$  والدائرة المحيطة في النقطة  $P$  ( انظر الشكل 25 - 6 ). أثبت أن

$$\frac{1}{PD} = \frac{1}{PB} + \frac{1}{PC}$$



شكل 25 - 6

15. أثبت أنه إذا فقط إذا تعامد قطرا شكل رباعي فإن مجموع مربعي أي زوج من أضلاع الرباعي المتقابلين يساوي مجموع مربعي الضلعين المتقابلين الآخرين.



## الدائرة الداخلية والدوائر الخارجية للمثلث

### نقاط التماس

سوف نبدأ هذا الفصل بشكل قد يبدو مثيراً إلى حد ما. لتذكر نظرية مألوفة من أساسيات الهندسة.

القطعتان المستقيمتان الماسستان للدائرة المرسومتان من نقطة خارجها متطابقتان.

نظرية : 1-7

لنقم بدراسة التمرين التالي، حيث نستخدم في حله النظرية أعلاه عدة مرات.

إذا كان محيط  $\Delta ABC$  يساوي 16 ( انظر الشكل 1-7 )، فأوجد طول  $\overline{AK_1}$  ( لاحظ أن كلاً من الدوائر الأربع  $I, I_1, I_2, I_3$  تمس المستقيمتان التي تحمل أضلاع  $\Delta ABC$  ).

الحل

بتطبيق نظرية 0-7 على الشكل نجد أن:



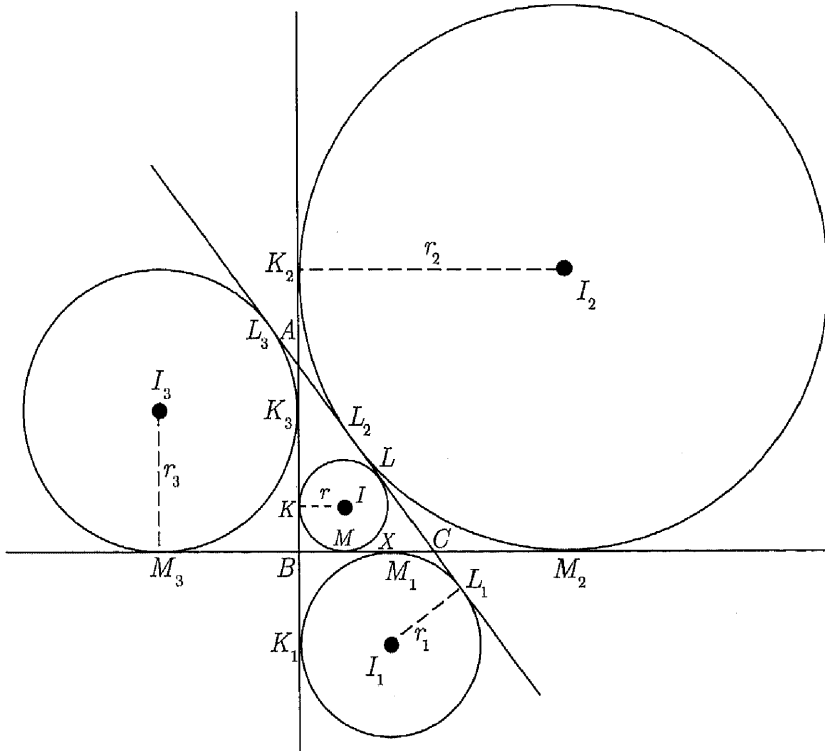
$$BK_1 = BM_1, CL_1 = CM_1$$

ولدينا محيط  $\Delta ABC$   $AB + BC + AC = AB + (BM_1 + CM_1) + AC = \Delta ABC$

بالتعويض : محيط  $\Delta ABC$   $AB + BK_1 + CL_1 + AC = AK_1 + AL_1 = \Delta ABC$

ولكن  $AK_1 = AL_1$  ( قطعتان مماستان لدائرة مرسومتان من نقطة خارجها ). إذن :

$$AK_1 = \frac{1}{2} ( \text{محيط } \Delta ABC ) = 8$$



شكل 1-7

الحل السابق يتعرض لعلاقة واحدة فقط من كثير من العلاقات الشيقة التي يحتويها موضوع الدوائر الثلاث الخارجية للمثلث أو الدائرة الداخلية له، وفي مناقشتنا التالية سوف نقدم علاقات أخرى تنطوي على هذه الدوائر الأربع للمثلث، ونقاط تماسها، حيث كل دائرة من هذه الدوائر تمس المستقيمتين الثلاثة التي تحمل أضلاع المثلث.

والآن دعونا نؤصل العلاقة التي توصلنا إليها في التمرين السابق.

طول القطعة المستقيمة التي تحوي ضلع مثلث، والواصلة بين رأس المثلث ونقطة تماس هذه القطعة مع الدائرة الخارجية المقابلة لتلك الرأس يساوي نصف محيط المثلث.

نظرية : 1-7

عندما نرمز لنصف محيط  $\triangle ABC$  بالرمز  $s$ ، فإننا يمكننا صياغة المطلوب على

الصورة :

$$AK_1 = AL_1 = s$$

وإذا كان  $BC = a, AC = b, AB = c$ ، فإن :

$$BM_1 = BK_1 = AK_1 - AB = s - c$$

$$CM_1 = CL_1 = AL_1 - AC = s - b$$

ويسهولة - بطريقة مماثلة - نحصل على العلاقات الأخرى.

طول القطعة المستقيمة الواقعة على ضلع مثلث والواصلة بين أحد رؤوسه ونقطة تماس الدائرة الخارجية مع ذلك الضلع، تساوي طول نصف محيط المثلث مطروحاً منه طول الضلع المجاور المشترك مع الضلع السابق في نفس الرأس.

نظرية : 2-7

والآن نستدعي الطريقة التي نعين بها الدوائر الأربع، ففي التطبيق الثالث الوارد في الفصل الثاني أثبتنا أن المنصف الداخلي لأي زاوية في مثلث يتقاطع في نقطة واحدة مع المنصفين الخارجيين للزاويتين الأخرين، وهذه النقطة هي مركز الدائرة الخارجية، وتسمى المركز الخارجي للمثلث  $excenter$ .

وباستخدام الخاصية التي تنص على أن أي نقطة تقع على منصف الزاوية تقع على مسافات متساوية من ضلعي الزاوية، من السهل أن نثبت أن نقطة تقاطع المنصفات الداخلية لزاويا المثلث هي مركز الدائرة الداخلية للمثلث.

وعلى الرغم من معرفة الطلاب - من خلال مبادئ الهندسة - بالعلاقة بين القطعتين المستقيمتين المرسومتين من نقطة خارج دائرة، إلا أنهم لم يتطرقوا إلى العلاقة بين طولي هذين المماسين بدلالة أضلاع المثلث الناتج من المماسات المشتركة؛ ولذلك فبرهان النظرية التالية يملأ هذا الفراغ.

طول القطعة المستقيمة الواصلة بين رأس مثلث ونقطة تماس الدائرة الداخلية لنفس المثلث تساوي طول نصف محيط هذا المثلث مطروحاً منه طول الضلع المقابل لهذه الرأس.

نظرية: 3-7

البرهان

في الشكل 1-7 :

$$AK + AL + BK + BM + CL + CM \text{ المحيط يساوي}$$

ومن نظرية 0-7، لدينا:

$$AK = AL, BK = BM, CL = CM$$

إذن ؛ نصف المحيط  $s = AK + BM + CM = AK + BC$

$$AK = s - BC \text{ ، وهو المطلوب } \bullet$$

هناك أيضاً بعض العلاقات الشيقة بين نقاط التماس ودوائر المثلث الأربعة ،  
نسعد بتقديمها فيما يلي .

نظرية : 4-7  
طول القطعة المماسية الواقعة على ضلع مثلث والواصلة بين  
نقطتي التماس للدائرتين الداخلية والخارجية لمثلث تساوي  
الفرق بين طولي الضلعين الآخرين لهذا المثلث.

البرهان

من خلال نص النظرية فإننا سنحاول الحصول على طول  $\overline{MM_1}$  بدلالة أطوال  
أضلاع المثلث.

تذكر أننا دائماً نعتبر  $AB = c, AC = b, BC = a$  . من النظرية 2 - 7 ،

$$CM_1 = CL_1 = s - b$$

ومن النظرية 3 - 7 :

$$BM = BK = s - b$$

حيث  $s = \frac{a + b + c}{2}$  . والآن :

$$\begin{aligned} MM_1 &= CB - BM - CM_1 = a - (s - b) - (s - b) \\ &= a - 2(s - b) = a + 2b - 2s \end{aligned}$$

أي أن  $MM_1 = b - c$  .  $\bullet$

وانطلاقاً من البرهان السابق سنحاول إثبات أن نقطة منتصف  $\overline{MM_1}$  هي أيضاً نقطة منتصف  $\overline{BC}$ . وسنبداً ذلك بملاحظة أن  $BM = CM_1$  ، وحيث إن  $X$  منتصف  $\overline{BC}$  ،  $BX = CX$  . بالطرح  $MX = M_1X$  ، وتلك النتيجة هي ما نقرره

النظرية التالية

نقطة منتصف أي ضلع من أضلاع المثلث هي أيضاً نقطة منتصف القطعة المستقيمة التي تقع بين نقطي تماس هذا الضلع مع الدائرتين الداخلية والخارجية لهذا المثلث.

نظرية : 5-7

وبعد ما سبق من إدراك للعلاقات بين الدوائر الأربعة ومماساتها، يكون من الطبيعي الآن أن نسأل عن طول  $\overline{MM_3}$  ، وهي القطعة المستقيمة التي تصل بين نقطي تماس الدائرة الداخلية للمثلث على أحد أضلاعه والدائرة الخارجية المجاورة لها. وهذا الطول من السهل استنتاجه فلدينا  $MM_3 = CM_3 - CM$  . ومن نظرية 1-7 :

$$CM_3 = s$$

ومن نظرية 3-7 :

$$CM = s - c$$

إذن :

$$.MM_3 = s - (s - c) = c = LL_3$$

وعليه يمكننا صياغة ذلك في نص النظرية التالي.

طول القطعة المستقيمة الواصلة بين نقطي تماس الدائرتين الداخلية والخارجية لمثلث تساوي طول ضلع المثلث المحصور بين هاتين الدائرتين.

نظرية : 6-7

والآن لندرس معا القطع المستقيمة المماسية الخارجية المشتركة لدائرتين خارجيتين عن مثلث ولنبدأ بالنظرية التالية .

طول القطعة المستقيمة المماسية الخارجية المشتركة بين دائرتين خارجيتين لمثلث تساوي مجموع أطوال هذا المثلث عدا الضلع الواقع على القطعة المستقيمة المماسية الخارجية المشتركة .

نظرية : 7-7

البرهان

هنا سنسعى لإيجاد طول  $\overline{M_2M_3}$  :  $MM_2 + MM_3$  ، ومن نظرية

: 7 - 6

،  $MM_2 = b$  ،  $MM_3 = c$  ، إذن :

$$M_2M_3 = b + c . \bullet$$

في النظرية التالية سنحاول تعيين طول القطعة المستقيمة المماسية الداخلية لدائرتين خارجيتين عن مثلث .

طول القطعة المستقيمة المماسية الداخلية المشتركة بين دائرتين خارجيتين لمثلث تساوي طول الضلع المقابل لرأس هذا المثلث الواقعة على هذه القطعة المستقيمة المماسية .

نظرية : 8-7

البرهان

هنا سنسعى لإيجاد  $\overline{M_1M_2}$  :

$$M_1M_2 = MM_2 - MM_1$$

ومن نظرية 7 - 6 :

$$MM_2 = b$$

من نظرية 7 - 4 :

$$MM_1 = b - c$$

إذن:

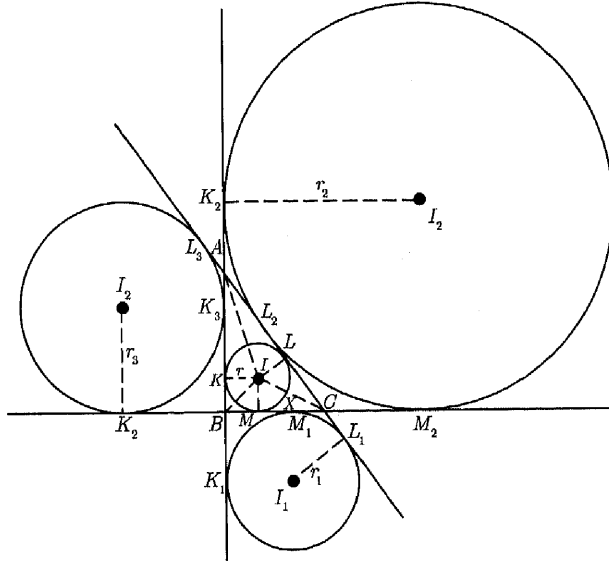
$$M_1M_2 = b - (b - c) = c. \bullet$$

وبالعلاقة السابقة نكون قد أكملنا دراسة القطع المستقيمة التي تعينها نقاط تماس الدوائر الأربع لأي مثلث.

### أنصاف أقطار الدوائر الأربع للمثلث Equiradii

في هذا الجزء من الفصل سنقوم بدراسة أنصاف أقطار الدوائر الأربع التي تعاملنا معها سابقاً، وسنطلق على نصف قطر الدائرة الداخلية للمثلث، نصف القطر الداخلي للمثلث inradius.

نظرية: 9-7 طول نصف قطر الدائرة الداخلية للمثلث يساوي النسبة بين مساحة هذا المثلث إلى نصف محيطه.



## شكل 2-7

## البرهان

على الشكل 2-7 :

$$\begin{aligned}
 [\Delta ABC] &= [\Delta BCI] + [\Delta ACI] + [\Delta ABI] = \\
 &= \frac{1}{2}(IM)(BC) + \frac{1}{2}(IL)(AC) + \frac{1}{2}(IK)(AB) \\
 &= \frac{1}{2}ra + \frac{1}{2}rb + \frac{1}{2}rc = \frac{1}{2}r(a + b + c) = sr \\
 &\Rightarrow r = \frac{[\Delta ABC]}{s} \bullet.
 \end{aligned}$$

والآن لندرس علاقة أنصاف أقطار الدوائر الثلاث الخارجية للمثلث مع عناصر

المثلث نفسه.

طول نصف قطر الدائرة الخارجية للمثلث يساوي النسبة بين مساحة هذا المثلث إلى الفرق بين نصف محيطه وطول الضلع المحصور بين تلك الدائرة الخارجية والدائرة الداخلية.

## نظرية: 7-10

## البرهان

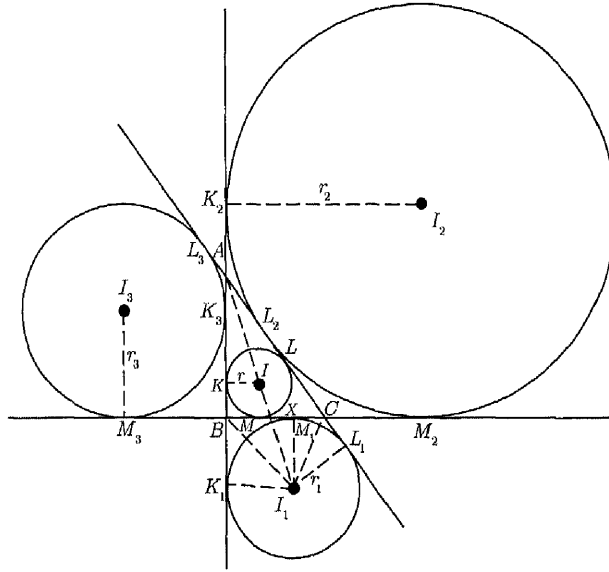
على الشكل 3-7 :

$$\begin{aligned}
 [\Delta ABC] &= [\Delta ABI_1] + [\Delta ACI_1] - [\Delta BCI_1] \\
 &= \frac{1}{2}(I_1K_1)(AB) + \frac{1}{2}(I_1L_1)(AC) - \frac{1}{2}(I_1M_1)(BC) \\
 &= \frac{1}{2}r_1c + \frac{1}{2}r_1b - \frac{1}{2}r_1a = \frac{1}{2}r_1(c + b - a) = r_1(s - a) \\
 &\Rightarrow r_1 = \frac{[\Delta ABC]}{s - a}
 \end{aligned}$$



وبالمثل يمكننا استنتاج أن :

$$r_2 = \frac{[\Delta ABC]}{s - b} \quad , \quad r_3 = \frac{[\Delta ABC]}{s - c} \quad \bullet$$



شكل 3 - 7

والآن لنجرب أن نضرب النتائج التي توصلنا إليها في النظريتين 7-9, 7-10.

سنحصل على :

$$r \cdot r_1 \cdot r_2 \cdot r_3 = \frac{[\Delta ABC]}{s} \cdot \frac{[\Delta ABC]}{s-a} \cdot \frac{[\Delta ABC]}{s-b} \cdot \frac{[\Delta ABC]}{s-c}$$

$$= \frac{([\Delta ABC])^4}{s(s-a)(s-b)(s-c)}$$

سيذكرك المقام في العلاقة السابقة بصيغة هيرون Heron's formula لإيجاد مساحة أي

مثلث

$$[\Delta ABC] = \sqrt{s(s-a)(s-b)(s-c)}$$

إذن:  $([\Delta ABC])^2 = s(s-a)(s-b)(s-c)$  ، وبالتعويض نجد أن:

$$r \cdot r_1 \cdot r_2 \cdot r_3 = ([\Delta ABC])^2$$

ويمكننا صياغة هذا الذي توصلنا إليه في النظرية التالية.

**نظرية: 11-7** حاصل ضرب أطوال أنصاف أقطار دوائر المثلث الأربع يساوي مربع مساحته.

وكذلك يمكننا باستخدام نفس النظريتين 7-9، 7-10 الوصول للنظرية التالية.

**نظرية: 12-7** مقلوب طول نصف قطر الدائرة الداخلية للمثلث يساوي مجموع مقلوبات أنصاف أقطار الدوائر الخارجية الثلاثة لنفس المثلث.

البرهان

من نظرية 10-7 :

$$\begin{aligned} \frac{1}{r_1} + \frac{1}{r_2} + \frac{1}{r_3} &= \frac{s-a}{[\Delta ABC]} + \frac{s-b}{[\Delta ABC]} + \frac{s-c}{[\Delta ABC]} = \frac{3s - (a+b+c)}{[\Delta ABC]} \\ &= \frac{3s - 2s}{[\Delta ABC]} = \frac{s}{[\Delta ABC]} \end{aligned}$$

من نظرية 7-9 :

$$\frac{1}{r} = \frac{s}{[\Delta ABC]}$$

إذن :

$$\frac{1}{r_1} + \frac{1}{r_2} + \frac{1}{r_3} = \frac{1}{r} \bullet$$

هناك علاقات مماثلة تحتوي الارتفاعات  $h_a, h_b, h_c$  للمثلث  $ABC$  ، نثبتها في

النظرية التالية.

مجموع مقلوبات أطوال ارتفاعات المثلث يساوي مقلوب طول

نظرية: 7-13

نصف قطر الدائرة الداخلية لنفس المثلث.

البرهان

بداية لبرهاننا، سنقدم مساحة  $\Delta ABC$  بعدة طرق كما يلي

$$[\Delta ABC] = \frac{1}{2} ah_a = \frac{1}{2} bh_b = \frac{1}{2} ch_c$$

$$2([\Delta ABC]) = ah_a = bh_b = ch_c$$

من نظرية 7-9 ، لدينا  $[\Delta ABC] = sr$  ، وبالتعويض نجد أن :

$$2sr = ah_a = bh_b = ch_c \Leftrightarrow \frac{2s}{1} = \frac{a}{h_a} = \frac{b}{h_b} = \frac{c}{h_c}$$

إذن :

$$\frac{1}{r} = \frac{1}{h_a} + \frac{1}{h_b} + \frac{1}{h_c} \text{ ، أو } \frac{1}{r} = \frac{1}{\frac{1}{h_a} + \frac{1}{h_b} + \frac{1}{h_c}}$$

ومن النتيجة السابقة مع نظرية 12 - 7 نحصل على النظرية التالية :

**نظرية: 7-14** مجموع مقلوبات أطوال ارتفاعات المثلث يساوي مجموع مقلوبات أنصاف أقطار الدوائر الخارجية الثلاث لنفس المثلث.

ويمكننا التعبير رياضياً عن نظرية 14 - 7 على الصورة :

$$\frac{1}{h_a} + \frac{1}{h_b} + \frac{1}{h_c} = \frac{1}{r_1} + \frac{1}{r_2} + \frac{1}{r_3}$$

وفي نهاية دراستنا للدوائر الأربع للمثلث ، سنختتم ذلك بإيجاد العلاقة بين أنصاف أقطار هذه الدوائر ونصف قطر الدائرة المحيطة بالمثلث والتي تمر برؤوسه ، وهذا ما سنقدمه في النظرية 15 - 7 .

**نظرية: 7-15** مجموع أطوال أنصاف أقطار الدوائر الخارجية لمثلث يساوي طول نصف قطر الدائرة الداخلية مضافاً إليه أربعة أمثال نصف قطر الدائرة المحيطة بنفس المثلث.

البرهان

ليكن  $O$  قطر الدائرة المحيطة بالمثلث  $ABC$  هو  $YZ$  ، والذي حتماً يمر بالنقطة  $X$  التي هي منتصف  $BC, MM_1$  ( نظرية 5 - 7 ) . إذن ،  $YZ \perp BC$  ، و  $(YZ \perp M_2M_3)$  ، انظر الشكل 4 - 7 .

ولأن  $YX$  قاعدة متوسطة في شبه المنحرف  $M_3I_3I_2M_2$  :



$$2R = YX + XZ$$

$$2R = \frac{1}{2}(r_2 + r_3) + \frac{1}{2}(r_1 - r)$$

$$4R = r_1 + r_2 + r_3 - r$$

$$4R + r = r_1 + r_2 + r_3 \quad \bullet$$

وأخيراً، لنعط قليلاً من الانتباه لمراكز دوائر المثلث الأربع وأبعادها عن مركز الدائرة المحيطة، وستكون أولى نظرياتها هي التي قدمها أويلر (1707 - 1783) Leonhard Euler.

المسافة  $d$  بين مركز الدائرة الداخلية ومركز الدائرة المحيطة بالمثلث يمكن الحصول عليها من العلاقة :

$$d^2 = R(R - 2r)$$

نظرية: 7-16

البرهان

لأن  $Z$  منتصف  $\widehat{BC}$ ، فإنه لا بد أن يمر  $\overline{AI}$  بالنقطة  $Z$  (انظر الشكل 5-7).

لنرسم  $\overline{IO}$  يقطع الدائرة  $O$  في النقطتين  $D, E$ . ولنفرض أن  $IO = d$ ، إذن :

$$(AI)(IZ) = (DI)(IE) = (R - d)(R + d)$$

لاحظ في الرباعي  $BICI_1$  أن  $\overline{BI} \perp \overline{BI_1}$ ,  $\overline{CI} \perp \overline{CI_1}$  (منصفان خارجي

وداخلية لزاوية واحدة)، وهذا يعني أن  $BICI_1$  رباعي دائري. ولأن مركز هذا

الرباعي الدائري يتعين من تقاطع المنصف العمودي للقطعة المستقيمة  $BC$  (الذي

هو  $OXZ$ ) والقطر  $II_1$ ، وتكون نقطة التقاطع هي  $Z$ ، إذن،  $IZ = CZ$ ،

وبالتعويض نجد أن:

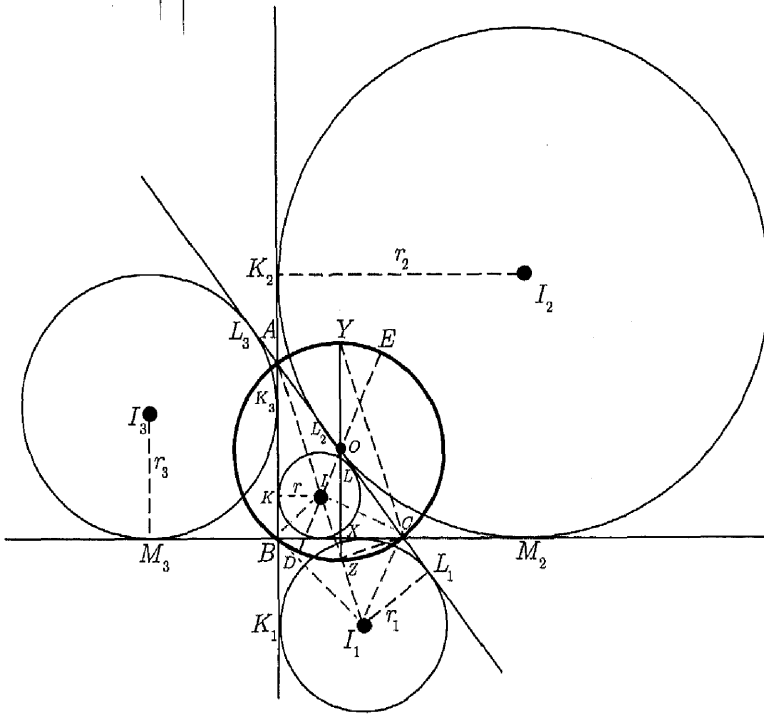
$$(AI)(CZ) = R^2 - d^2 \quad (I)$$

ولأن  $m\angle BAZ = m\angle CAZ$  ، فإن  $m\angle CYZ = \frac{1}{2}m\widehat{CZ} = m\angle CAZ$  ،

$$m\angle CYZ = m\angle BAZ$$

إذن؛ المثلثان القائمان  $YZC, AIK$  متشابهان.

$$\Rightarrow \frac{AI}{YZ} = \frac{IK}{CZ} \Leftrightarrow (AI)(CZ) = (IK)(YZ)$$



شكل 5-7

إذن،

$$(AI)(CZ) = (r)(2R) \quad (\text{II})$$

من (I), (II) :

$$R^2 - d^2 = 2Rr \Rightarrow d^2 = R(R - 2r) \bullet$$

ولاستكمال مناقشتنا حول المسافات بين مراكز تلك الدوائر، ستعطينا النظرية القادمة العلاقة بين المسافات بين مركز الدائرة المحيطة ومراكز الدوائر الثلاث الخارجية للمثلث.

المسافات بين مركز الدائرة المحيطة ومراكز الدوائر الثلاث الخارجية يمكن

نظرية 7-17

الحصول عليها من العلاقات

$$(OI_1)^2 = R(R + 2r_1)$$

$$(OI_2)^2 = R(R + 2r_2)$$

$$(OI_3)^2 = R(R + 2r_3)$$

يمكن برهان هذه النظرية مثلما تعاملنا مع برهان النظرية 16-7 ؛ ولذا نترك برهانها كتمرين.

وفي الختام، ينبغي أن يوفر لك هذا الفصل كثيراً من الفهم حول العلاقات المتبادلة بين الدوائر الخارجية والدائرة الداخلية والدائرة المحيطة بالمثلث، ولكن هذا لا يعني أننا انتهينا كلياً من هذا الموضوع. والتدريبات التالية هي بمثابة نقطة انطلاق لإجراء مزيد من البحث في هذا الإطار.

### تدريبات

1. أثبت أنه إذا كان طول نصف قطر الدائرة الداخلية لمثلث يساوي نصف طول نصف قطر الدائرة المحيطة به، فإن هذا المثلث يكون متطابق الأضلاع.



2. بالاستعانة بالشكل (1-7)، أثبت أن :

$$\frac{1}{r_1} = \frac{1}{h_b} + \frac{1}{h_c} - \frac{1}{h_a}$$

$$\frac{1}{r_2} = \frac{1}{h_a} + \frac{1}{h_c} - \frac{1}{h_b}$$

$$\frac{1}{r_3} = \frac{1}{h_a} + \frac{1}{h_b} - \frac{1}{h_c}$$

3. أثبت أن مساحة المثلث القائم تساوي حاصل ضرب طولي جزأي الوتر الناتجين من نقطة تماس الدائرة الداخلية مع الوتر.

$$4. \text{ أثبت أن } Rr = \frac{abc}{4s}$$

$$5. \text{ أثبت أن } R = \frac{abc}{4(\text{area } \triangle ABC)}$$

6. أثبت أن النسبة بين مساحة مثلث إلى مساحة المثلث الذي رؤوسه نقاط تماس الدائرة الداخلية للمثلث الأول تساوي ضعف طول نصف قطر الدائرة المحيطة بالمثلث الأول إلى طول نصف قطر الدائرة الداخلية له.

$$7. \text{ أثبت أن : } r_1 = \sqrt{\frac{s(s-b)(s-c)}{(s-a)}}$$

8. أثبت أن مجموع المسافات من مركز الدائرة المحيطة بمثلث إلى أضلاع هذا المثلث يساوي مجموع نصف قطر الدائرة المحيطة و نصف قطر الدائرة الداخلية لنفس المثلث.

9. أثبت صحة نظرية 17-7.

10. أثبت أنه إذا مر خط مستقيم برأس مثلث وقطع دائرتين من دوائره الخارجية، فإن حاصل ضرب مسافتين من هذه الرأس إلى نقطتين من نقاط التقاطع تساوي حاصل ضرب المسافتين الأخرين من نفس الرأس إلى النقطتين الباقيتين من نقاط التقاطع.
11. أثبت أن المستقيمات الماسة لدائرة داخلية لمثلث وتوازي أضلاع هذا المثلث تجتزئ من هذا المثلث ثلاثة مثلثات مجموع محيطاتها يساوي محيط المثلث الأصلي.
12. أثبت أن مجموع طولي ضلعي القائمة في مثلث قائم الزاوية مطروحاً منه طول الوتر يساوي طول قطر الدائرة الداخلية لهذا المثلث.
13. أثبت أن :

$$h_a = \frac{2rr_1}{r_1 - r}$$

$$h_b = \frac{2rr_2}{r_2 - r}$$

$$h_c = \frac{2rr_3}{r_3 - r}$$

14. أثبت أن :

$$h_a = \frac{2r_2r_3}{r_2 + r_3}$$

$$h_b = \frac{2r_1r_3}{r_1 + r_3}$$

$$h_c = \frac{2r_1r_2}{r_1 + r_2}$$

15. بالاستعانة (بالشكل 5-7)، أثبت أن :

$$(OI)^2 + (OI_1)^2 + (OI_2)^2 + (OI_3)^2 = 12R^2$$

16. بالاستعانة (بالشكل 5-7)، أثبت أن :

$$(II_1)^2 + (II_2)^2 + (II_3)^2 = 8R(2R - r)$$

17. أثبت أنه إذا كانت  $r_a, r_b, r_c$  أنصاف أقطار الدوائر الخارجية للمثلث والتي تماس على الترتيب أضلاعه  $a, b, c$  فإن :

$$r_a = \frac{rs}{s-a} = \sqrt{\frac{s(s-b)(s-c)}{s-a}}$$

$$r_b = \frac{rs}{s-b} = \sqrt{\frac{s(s-a)(s-c)}{s-b}}$$

$$r_c = \frac{rs}{s-c} = \sqrt{\frac{s(s-a)(s-b)}{s-c}}$$

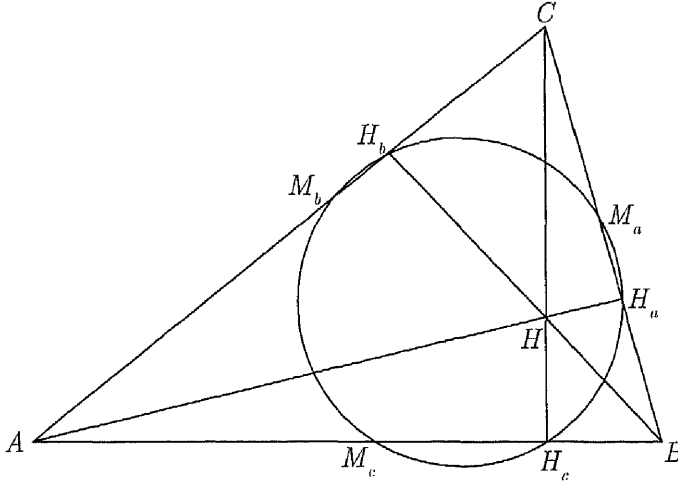
## دائرة النقاط التسع

نبذة حول دائرة النقاط التسع

لعل من أكثر الأمور إمتاعاً في الهندسة هو أن تلاحظ كيف أن شكلاً واحداً ينتج لنا عدداً لا نهاية له من الخصائص والعلاقات، وأمثلتنا على ذلك تبدأ بتسع نقاط محددة على المثلث وهي :

- منتصفات أضلاع المثلث.
- مساقط ارتفاعات المثلث على أضلاعه.
- منتصفات القطع المستقيمة الواصلة بين نقطة تقاطع ارتفاعات المثلث ورؤوسه.

هذه النقاط بينها علاقة محددة هي أنها تقع جميعاً على دائرة واحدة ، تسمى دائرة النقاط التسع للمثلث ( انظر الشكل 1- 8 ) .



شكل 1 - 8

وبعد أن ثبت أن هذه النقاط التسع تقع على دائرة واحدة، سنقوم ببحث العديد من الخصائص الخاصة بهذه الدائرة الشهيرة وسنستطرد قليلاً لنطور بعض الخصائص الخاصة بارتفاعات المثلث.

أثبت ليونارد أويلر Leonhard Euler في العام ١٧٦٥ أن ست نقاط من هذه النقاط تمر بها دائرة وحيدة وكانت هذه النقاط هي منتصفات أضلاع المثلث ومساقط ارتفاعاته على هذه الأضلاع، وظل ذلك قائماً حتى عام ١٨٢٠ حين قدم تشارلز جوليان براينشون و جان فيكتور بونسيلييه Charles-Julian Brianchon & Jean Victor Poncelet ورقة بحثية أثبتا فيها أن النقاط الثلاث الباقية (منتصفات القطع المستقيمة الواصلة بين نقطة تقاطع ارتفاعات المثلث ورؤوسه) تقع على نفس الدائرة، واستكملا في ورقتهما أول برهان تام لهذه النظرية، وأطلقا عليها لأول مرة "دائرة النقاط التسع".

و يُعزى جزء كبير من شهرة عالم الرياضيات الألماني الموهوب كارل فيلهلم فيورباخ (١٨٠٠ - ١٨٣٤) Karl Wilhelm Feuerbach إلى ورقة بحثية قدمها في العام (١٨٢٢) قال فيها "الدائرة التي تمر بمساقط ارتفاعات المثلث على أضلعه تمس أيضاً الدوائر الأربع للمثلث (الدائرة الداخلية والثلاث دوائر الخارجية)" وهذه النظرية هي النظرية 18 - 8 في هذا الفصل. ونتيجة لعمله هذا سميت هذه النظرية باسمه "نظرية فيورباخ"، وفي بعض الأحيان يطلق على نظرية دائرة النقاط التسع نظرية فيورباخ.

في أي مثلث، نقاط منتصفات أضلعه ومساقط ارتفاعاته على أضلعه ومنتصفات القطع المستقيمة الواصلة بين نقطة تقاطع هذه الارتفاعات ورؤوسه، تقع جميعاً على دائرة واحدة.

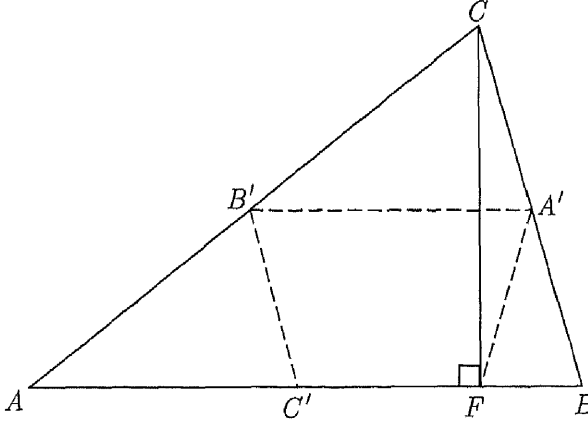
نظرية 8-1

البرهان

من أجل تبسيط مناقشتنا لبرهان هذه النظرية، سنقوم بدراسة كل جزء منها على حدة وعلى شكل منفصل، واضعين في أذهاننا أن الأشكال من 2 - 8 إلى 5 - 8 هي مجرد أجزاء من الشكل 6 - 8.

ففي  $\triangle ABC$ ، النقاط  $A', B', C'$  منتصفات الأضلاع  $\overline{BC}, \overline{AC}, \overline{AB}$  على الترتيب (انظر الشكل 2 - 8)، ولنعتبر ارتفاعاً في  $\triangle ABC$ ، ولأن  $\overline{A'B'}$  متوسط في نفس المثلث،  $\overline{A'B'} \parallel AB$ ، إذن الشكل الرباعي  $A'B'C'F$  شبه منحرف، وبما أن  $\overline{B'C'}$  متوسط أيضاً، إذن  $B'C' = \frac{1}{2} BC$ ، ولأن  $\overline{A'F}$  متوسط خارج من رأس القائمة في  $\triangle BCF$ ، إذن  $A'F = \frac{1}{2} BC$ ، وهذا يعني أن  $B'C' = A'F$ ، ومنه شبه

المنحرف  $A'B'C'F$  يكون متطابق الضلعين، أي أنه يوجد به زاويتان متقابلتان متكاملتان، أي أن الشكل  $A'B'C'F$  رباعي دائري، وهذا يثبت لنا أن النقاط الأربع  $A', B', C', F$  (من أصل النقاط التسع) تقع على دائرة واحدة.



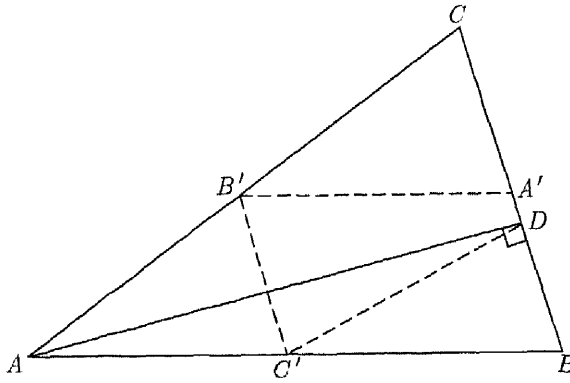
شكل 2 - 8

ولتفادي الخلط والالتباس، سنرسم  $\triangle ABC$  الذي ارتفاعه  $\overline{AD}$  (الشكل 8-3) وباستخدام نفس الخطوات السابقة نستطيع إثبات أن الشكل  $A'B'C'D$  رباعي دائري.

أي أننا الآن نملك خمس نقاط  $(A', B', C', F, D)$  من النقاط التسع تقع على دائرة واحدة.

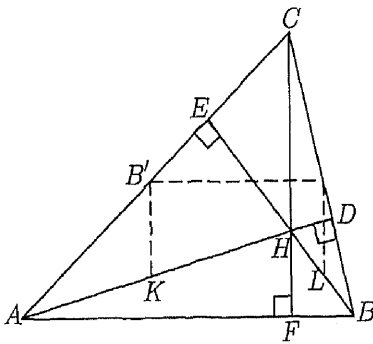
وبتكرار ذلك مرة أخرى مع ارتفاع المثلث  $\overline{BE}$  (انظر الشكل 8-4) نصل

إلى أن النقاط الست  $(A', B', C', F, D, E)$  تقع على نفس الدائرة.

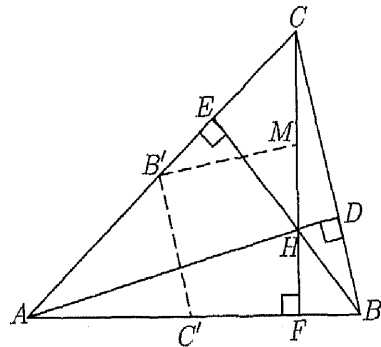


شكل 3-8

والآن، باعتبار النقطة  $H$  هي نقطة تقاطع ارتفاعات  $\triangle ABC$ ، نفرض أن النقطة  $M$  منتصف  $CH$  (انظر الشكل 4-8)، ومن ذلك تكون قطعة  $B'M$  واصله بين منتصفي ضلعين في  $\triangle ACH$ ، وتوازي  $AH$  أو الارتفاع  $AD$  في  $\triangle ABC$ .



شكل 5-8

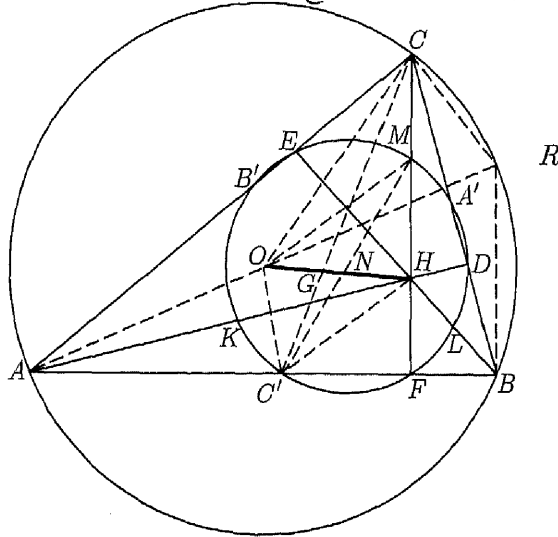


شكل 4-8



وبالمثل، بما أن  $\overline{B'C'}$  واصلة بين منتصفين ضلعين في  $\triangle ABC$ ،  
 $\overline{B'C'} \parallel \overline{BC}$ ، ولأن  $\angle ADC, \angle MB'C'$  قائمتان، نستنتج أن الشكل  $MB'C'F$   
 رباعي دائري (زاويتان متقابلتان متكاملتان)، وهذا يجعل النقطة  $M$  هي النقطة  
 السابعة التي تنتمي لدائرتنا. وبتكرار نفس الإجراءات مع النقطة  $L$  التي هي منتصف  
 $\overline{BH}$  ( انظر الشكل 5-8 ) نحصل على أن  $\angle B'A'L, \angle B'EL$  قائمتان أي أن  
 النقاط  $B', E, A', L$  تقع على دائرة واحدة، حيث إنها رؤوس لرباعي دائري ( فيه  
 زاويتان متقابلتان متكاملتان )، أي أن النقطة الثامنة لدينا هي النقطة  $L$ .

ولتحديد موقع نقطتنا التاسعة والأخيرة بالنسبة للدائرة، لتكن النقطة  $K$   
 منتصف  $\overline{AH}$  وكما سبق نجد أن  $\angle A'B'K, \angle A'DK$  قائمتان مما يعطينا مرة أخرى  
 رباعياً دائرياً هو  $A'DKB'$ ، والنقطة  $K$  هي النقطة التاسعة التي تقع على الدائرة  
 وعلى ذلك نكون حددنا النقاط التسع للدائرة ( انظر الشكل 6-8 ) .



شكل 6-8

والآن نحن جاهزون لبرهنة بعض الخواص الأساسية لدائرة النقاط التسع.

مركز دائرة النقاط التسع للمثلث هو نقطة منتصف القطعة المستقيمة الواصلة بين نقطة تقاطع الارتفاعات ومركز الدائرة المحيطة لنفس المثلث.

نظرية: 2-8

البرهان

لأن  $\overline{MC'}$  يقابل  $\angle CFC'$  المحيطة القائمة في دائرة النقاط التسع للمثلث، إذن قطر لهذه الدائرة ومن ذلك نقطة منتصفه  $N$  هي مركز دائرة النقاط التسع للمثلث (انظر الشكل 6-8). نرسم  $\overline{AO}$  ليقطع الدائرة المحيطة  $O$  في النقطة  $R$ ، ثم نرسم  $\overline{CR}, \overline{BR}$ ، وحيث إن  $\overline{OC'}$  قطعة مستقيمة واصله بين منتصفي ضلعين في  $\triangle ARB$  فإن  $\overline{OC'} \parallel \overline{RB}$ ، ولأن  $\angle ABR$  قائمة (زاوية محيطية مرسومة في نصف دائرة)، أي أن كلاً من  $\overline{CF}, \overline{RB}$  عمودي على  $\overline{AB}$ ، أي أن  $\overline{CF} \parallel \overline{RB}$ ، وبالمثل  $\overline{BE} \parallel \overline{CR}$ ، أي أن لدينا متوازي الأضلاع  $CRBH$ ، ومن ذلك  $RB = CH$ . ومرة أخرى، حيث إن  $\overline{OC'}$  قطعة مستقيمة واصله بين منتصفي ضلعين في  $\triangle ARB$ :

$$OC' = \frac{1}{2}(RB) = \frac{1}{2}(CH) = HM$$

ومن هذا نستنتج أن الشكل  $OC'HM$  متوازي أضلاع (لأن فيه ضلعين متقابلين متطابقين ومتوازيين)، ولكن قطراً متوازي الأضلاع ينصف كل منهما الآخر، إذن النقطة  $N$  التي هي منتصف  $\overline{MC'}$  هي أيضاً منتصف  $\overline{OH}$ .

طول قطر دائرة النقاط التسع للمثلث تساوي طول نصف قطر الدائرة المحيطة لنفس المثلث.

نظرية: 3-8

## البرهان

في الشكل 6-8 نلاحظ أن  $\overline{MN}$  قطعة مستقيمة واصله بين منتصفي ضلعين

في  $\triangle OHC$  ،

إذن:

$$MN = \frac{1}{2}(OC) . \bullet$$

في العام ١٧٦٥م قدم لينارد أويلر Leonhard Euler ورقة بحثية أثبت فيها أن نقطة

تقاطع المتوسطات  $G$  في المثلث تثلت  $\overline{OH}$  ، أي أن  $OG = \frac{1}{3}(OH)$  ، وهذا الخط

$\overline{OH}$  يطلق عليه خط أويلر Euler Line للمثلث.

نقطة تقاطع المتوسطات في المثلث تقع على الثلث الأول من القطعة المستقيمة الواصلة بين نقطة تقاطع الارتفاعات ومركز الدائرة المحيطة بهذا المثلث ، وذلك من جهة مركز الدائرة المحيطة.

نظرية: 4-8

## البرهان

لقد أثبتنا قبل قليل أن  $\overline{OC'} \parallel \overline{CH}$  ، وكذلك  $OC' = \frac{1}{2}(CH)$  ( انظر

الشكل 6-8 ) ومن ذلك نستنتج أن  $\triangle OGC' \sim \triangle HGC$  (AA) بنسبة تشابه

قدرها  $\frac{1}{2}$  ؛ إذن :

$$OG = \frac{1}{2}(HG) \Rightarrow OG = \frac{1}{3}(OH)$$

والآن يبقى لنا إثبات أن  $G$  نقطة تقاطع المتوسطات للمثلث  $ABC$  ، ومن

السهل إثبات ذلك فمن المثلثات اللذين أثبتنا تشابههما توأ :

$$C'G = \frac{1}{2}(GC) = \frac{1}{3}(C'C)$$

وحيث إن  $\overline{C'C}$  متوسط في المثلث، فإن النقطة  $G$  حتما هي نقطة تقاطع

المتوسطات؛ حيث لأنها تقسم المتوسط بنسبة 1:2 من جهة الرأس. ●

من الشيق أن نلاحظ أن:

$$\frac{HN}{NG} = \frac{3}{1} = \frac{HO}{OG}$$

إذن،  $\overline{HG}$  تقسمها النقطة  $N$  داخليا، وأيضاً تقسمها  $O$  من الخارج بنفس النسبة

وهذا ما يعرف باسم التقسيم التوافقي.

جميع المثلثات المنشأة داخل دائرة معلومة ولها نفس نقطة

نظرية: 5-8

تقاطع الارتفاعات لها أيضاً نفس دائرة النقاط التسع.

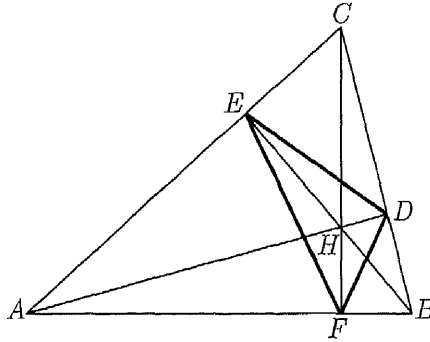
البرهان

لأن جميع المثلثات المنشأة داخل دائرة معلومة ولها نفس نقطة تقاطع الارتفاعات هي أيضاً لها نفس خط أويلر، ولأن مركز دائرة النقاط التسع لجميع هذه المثلثات ثابت ويقع في منتصف خط أويلر ( نظرية 2-8 )، وكذلك لأن طول نصف قطر دائرة النقاط التسع لكل هذه المثلثات يساوي نصف طول قطر الدائرة المحيطة ( نظرية 3-8 )، أي أن دوائر النقاط التسع لهذه المثلثات لها نفس نصف القطر ومركز ثابت، وهذا يجتم أن تكون هناك دائرة نقاط تسع وحيدة لهذه المثلثات.

### ارتفاعات المثلث Altitudes

لقد استخدمنا نظرية شيفا في الفصل الثاني من كتابنا هذا لإثبات أن ارتفاعات المثلث تتقاطع جميعاً في نقطة واحدة ( انظر التطبيق الثاني صفحة 55 ) وقد أطلقنا على المثلث الذي رؤوسه مساقط أي نقطة داخل أي المثلث اسم مثلث المساقط Pedal

Triangle، وفي حالة خاصة أو نوع خاص من مثلثات المساقط عندما تكون النقطة التي تخرج منها الأعمدة إلى أضلاع المثلث هي نقطة تقاطع الارتفاعات الأصلية للمثلث Orthocenter فإننا نطلق على مثلث المساقط هذا اسم مثلث المساقط من نقطة تقاطع ارتفاعات المثلث Orthic triangle (أي المثلث التي تعينه نقاط تقاطع ارتفاعات المثلث مع أضلاع هذا المثلث. ففي الشكل 7-8، مثلث المساقط من نقطة تقاطع ارتفاعات المثلث هو  $\triangle DEF$ . ووفقاً لنظرية 6-8  $\triangle ABC$  يشابه كلاً من  $\triangle DEC, \triangle AEF, \triangle DBF$ .



شكل 7-8

مثلث المساقط من نقطة تقاطع ارتفاعات المثلث يجزئ المثلث الأصلي إلى ثلاثة مثلثات كل منها يشابه المثلث الأصلي.

نظرية: 6-8

البرهان

سنثبت أن  $\triangle ABC \sim \triangle DEC$  (شكل 7-8). وسنحتاج فقط من أجل

استكمال البرهان تكرار ما قمنا به مع  $\triangle AEF, \triangle DBF$ .

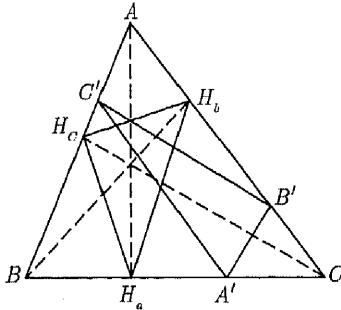
الشكل  $AEDB$  رباعي دائري لأن  $\angle AEB \cong \angle ADB = 90^\circ$ ؛ إذن  $\angle EAB, \angle EDB$  متكاملتان (زاويتان متقابلتان في الرباعي الدائري)، ولكن  $\angle EDC, \angle EDB$  متكاملتان؛ إذن  $\angle EAB \cong \angle EDC$ ، ولأنه أيضاً  $\angle C$  مشتركة بين المثلثين، فإن  $\triangle ABC \sim \triangle DEC$ . وبالمثل نستطيع إثبات أن  $\triangle ABC \sim \triangle AEF$  (استخدم الرباعي الدائري  $ECBF$ )، وكذلك  $\triangle ABC \sim \triangle DBF$  (استخدم الرباعي الدائري  $AFDC$ ). ●

الميزة الخاصة بمثلث المساقط من نقطة تقاطع ارتفاعات المثلث التي أتت على النحو المنصوص عليه في نظرية 6 - 8 تقودنا لحقيقة شيقة أخرى حول هذا المثلث، فحواها أنه إذا أنشئ مثلث داخل مثلث بحيث تقع رؤوس المثلث الثاني على أضلاع المثلث الأول، فأبي من المثلثات الحادة الزوايا يمكن أن يكون المثلث الثاني (المنشأ داخل المثلث الحاد الزوايا) هو الأقل في طول محيطه. ستخبرنا نظرية 7 - 8 عن أن هذا المثلث هو مثلث المساقط من نقطة تقاطع ارتفاعات المثلث.

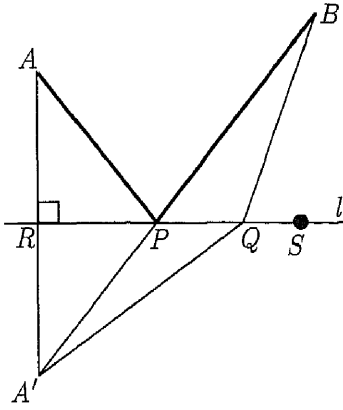
لأي مثلث منشأ داخل مثلث حاد الزوايا، يكون محيط المثلث المنشأ أقل ما يمكن إذا كان هذا المثلث المنشأ هو مثلث المساقط المنشأ من مساقط ارتفاعات المثلث (انظر شكل 8 - 8).

### نظرية: 7-8

يعتمد برهان هذه النظرية اعتماداً كبيراً على نظرية أخرى يتم تدريسها في المرحلة الثانوية وتنص على أن "أقصر مسار من نقطة معلومة إلى مستقيم معلوم ثم إلى نقطة أخرى تقع في نفس



شكل 8 - 8



شكل 8 - 9

الاتجاه هو المسار الذي يشكل زاويتين متطابقتين مع المستقيم المعلوم". فعلى سبيل المثال لتكن النقطتان  $A, B$  في جهة واحدة بالنسبة للمستقيم  $l$  (انظر شكل 8-9)،

ولتكن كذلك  $A'$  صورة  $A$  حول  $l$ . إذن:  $AR = A'R$ ،  $\overline{AA'} \perp l$ ، وحيث إن النقطة  $P$  هي نقطة تقاطع  $\overline{A'B}$  مع  $l$  فمن السهل إثبات أن  $AP + PB$  أقصر مسافة من  $A$  إلى  $l$  إلى  $B$ . ولأن  $\angle APR \cong \angle A'PR$

نستنتج أن  $\angle A'PR \cong \angle BPS$  (وهي خاصية هامة لإيجاد أقل محيط). ولإثبات أن  $AP + PB$  أقل مسافة مطلوبة، نختار نقطة  $Q$  تنتمي للمستقيم  $l$  بحيث لا تقع على النقطة  $P$ . والآن  $A'B < A'Q + QB$ ، أو  $A'P + PB < A'Q + QB$ ، وهذا يجعل اختيار النقطة  $P$  هو الذي يحقق أقل مسافة مطلوبة، والآن نحن جاهزون لإثبات نظرية 7-8.

### البرهان

في إثبات نظرية 6-8، توصلنا إلى أن مثلث المساقط من نقطة تقاطع ارتفاعات المثلث يجزئ المثلث الأصلي إلى ثلاثة مثلثات كل منها يشابه المثلث الأصلي؛ وهذا يجعلنا بسهولة نستنتج أن  $\angle AEF \cong \angle CED$  (شكل 7-8)

$E$  إلى النقطة  $E$  ،  $\angle AFE \cong \angle BFD$  ،  $\angle CDE \cong \angle BDF$  . إذن أقل مسار طولاً من النقطة  $E$  إلى  $\overline{AB}$  إلى النقطة  $D$  هو  $EF + FD$  ، بالمثل أقل مسار طولاً من النقطة  $E$  إلى  $\overline{CB}$  إلى النقطة  $F$  هو  $ED + DF$  ، وأقل مسار طولاً من النقطة  $D$  إلى  $\overline{AC}$  إلى النقطة  $F$  هو  $DF + EF$  ، وهذا يعني أن  $\triangle EDF$  المنشأ داخل المثلث الحاد الزوايا  $ABC$  له أقل طول محيط ممكن.

ولمقارنة محيط أي مثلث آخر منشأ داخل  $\triangle ABC$  مع مثلث المساقط من نقطة تقاطع ارتفاعات المثلث  $EDF$  ، سنجد بسهولة أن محيط  $\triangle EDF$  هو الأقل .  
 من الزوايا التي أثبتنا تطابقها سابقاً يمكننا الوصول لخاصية جديدة تطور عملنا على مثلث المساقط من نقطة تقاطع ارتفاعات المثلث. فنلاحظ من كون  $\angle AFE \cong \angle BFD$  ، وكون الزاويتان  $\angle EFC$  ،  $\angle AFE$  متتامتين ( مجموع قياسهما يساوي  $90^\circ$  ) ، وكذلك كون  $\angle DFC$  ،  $\angle DFB$  أيضاً متتامتين ؛ لذا نستنتج أن :

$$\angle EFC \cong \angle DFC$$

ويشكل عام تقدم ذلك في النظرية التالية 8 - 8 .

**نظرية : 8-8** ارتفاعات المثلث الحاد الزوايا تنصف زوايا مثلث المساقط.

بالنظر إلى التطبيق رقم ٥ في الفصل الثاني ، ندرك كم هو ممتع أن نرى كيف لبرهان هذا التطبيق أن يستخدم في حالات أخرى ، فنحن الآن نملك نقطة تقاطع ارتفاعات  $\triangle ABC$  التي هي في نفس الوقت مركز الدائرة الداخلية للمثلث  $EDF$  (انظر شكل 7 - 8) .

وقبل التوسع في العمل على الشكل 7 - 8 ، لندرس معاً النظرية البسيطة التالية.

**نظرية : 8-9** نقطة تقاطع الارتفاعات في المثلث تقسم الارتفاع إلى جزأين ، حاصل ضرب كل زوج منهما يساوي حاصل ضرب الزوجين الآخرين.



## البرهان

لأن  $\triangle CDH \sim \triangle AFH$  (انظر الشكل 7-8)، ويمكن  $\frac{CH}{AH} = \frac{HD}{HF}$

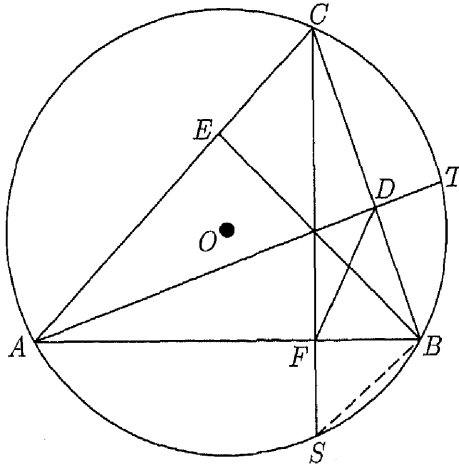
التعبير عن هذا التناسب كالتالي :

$$(CH)(HF) = (AH)(HD)$$

ويكتمل برهاننا باستخدام زوج آخر من المثلثات المتشابهة بنفس الطريقة السابقة. ●  
والآن عند دراستنا للدائرة  $O$  المحيطة بالمثلث  $ABC$  (انظر الشكل 10-8)،  
وبفرض أن  $\overline{CF}$  يقطع  $O$  في النقطة  $S$ . نلاحظ أن  $\overline{AB}$  تنصف  $\overline{HS}$ ، وهذا ما  
تعممه النظرية التالية.

## نظرية: 10-8

القطعة المستقيمة الواصلة بين نقطة تقاطع الارتفاعات في  
مثلث ونقطة تقاطع الارتفاع (امتداده من جهة مسقطه) مع  
الدائرة المحيطة بهذا المثلث، ينصفها ضلع المثلث.



شكل 10-8

## البرهان

لاحظ أن  $\angle CSB \cong \angle CAB$  (لأنهما زاويتان محيطيتان في دائرة واحدة تحصران نفس القوس،  $\widehat{BC}$ ) (انظر الشكل 10-8). في  $\triangle ACF$ ، الزاويتان  $\angle ACF, \angle CAF$  متتامتان، وكذلك أيضاً في  $\triangle CEH$ ، الزاويتان  $\angle ECH, \angle CHE$  متتامتان، ولكن  $\angle BHF \cong \angle CHE$ ، إذن:  $\angle CAF \cong \angle BHF$ . لأن كلاً من  $\angle CSB, \angle BHF$  تطابق  $\angle CAB$ ، إذن هما متطابقتان، مما يعني أن  $\triangle HBS$  متطابق الضلعين، أي أن  $\angle BFS \cong \angle BFH$ ، وهذا يثبت النظرية لارتفاع واحد من ارتفاعات المثلث الثلاثة. بخطوات مماثلة لهذا البرهان، نثبت النظرية لباقي الارتفاعات في المثلث.

نظريتنا التالية تثبت أن الرأس  $B$  منتصف القوس  $TS$  (انظر الشكل

8-10).

رأس المثلث هي نقطة منتصف قوس الدائرة المحيطة المحصور بين امتدادي ارتفاعين من ارتفاعات المثلث من جهة مسقطيهما (انظر الشكل 8-10).

نظرية: 8-11

## البرهان

الرباعي  $AFDC$  (الشكل 8-10) دائري لأن  $\angle AFC \cong \angle ADC$  (قائمتان)،

إذن:

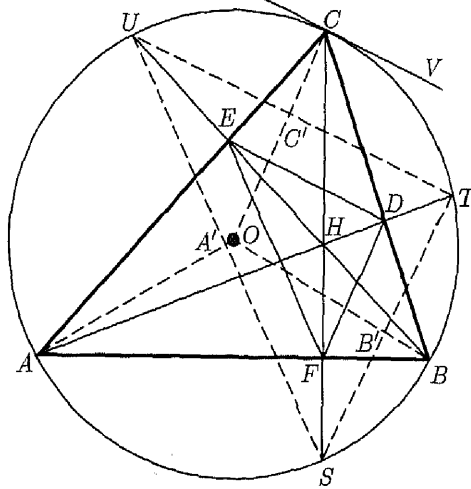
$$\angle FAD \cong \angle DCF$$

ومن ذلك نستنتج أن:

$$\widehat{SB} \cong \widehat{TB}$$

(زاويتان محيطيتان متطابقتان مرسومتان في دائرة واحدة لهما قوسان متطابقان).  
تذكر أن ما يمكن إثباته على زوج من الارتفاعات هو صحيح لأي زوج آخر من  
ارتفاعات المثلث الثلاثة. ●

ما سبق يقودنا إلى زوج آخر من المثلثات المشابهة.



شكل 11 - 8

المثلث الذي رؤوسه تقاطع امتدادات ارتفاعات المثلث مع  
الدائرة المحيطة يشابه مثلث المساقط المنشأ من مساقط ارتفاعات  
المثلث، وتوازي أضلاعهما المتناظرة.

نظرية: 8-12

البرهان

لقد أثبتنا في النظرية 10-8 أن  $HF = SF, HD = TD$  (انظر الشكل  
11-8)؛ إذن في  $\triangle HST$ ، قطعة مستقيمة  $\overline{DF}$  واصلة بين منتصفين ضلعين

توازي  $\overline{ST}$  ، وبنفس الخطوات سنثبت أن  $\overline{DE} \parallel \overline{TU}$  ،  $\overline{DE} \parallel \overline{TU}$  ،  $\overline{EF} \parallel \overline{US}$  ، ومن

● ذلك  $\triangle DEF \sim \triangle TUS$

تمنحنا نظرية 12 - 8 مزيداً من الحركة نحو الحصول على علاقات أخرى مفيدة تساعدنا على استكمال دراسة دائرة النقاط التسع.

أنصاف أقطار الدائرة المحيطة بالمثلث التي تحوي رؤوسه عمودية على أضلاع مثلث المساقط المنشأ من مساقط ارتفاعات المثلث الأصلي المقابلة لها.

نظرية: 8-13

البرهان

سوف نقوم بإثبات هذه النظرية لنصف قطر واحد ونترك إثبات القطرين الآخرين للقارئ.

على الشكل ( 11 - 8 ) ،  $\overline{OC}$  نصف قطر الدائرة المحيطة لكل من  $\triangle ABC, \triangle STU$  . من نظرية 11 - 8 ،  $\widehat{UC} \cong \widehat{TC}$  ؛ إذن  $\overline{OC}$  عمودي وينصف  $\overline{TU}$  ، ولأن  $\overline{OC} \perp \overline{TU}$  فإن  $\overline{OC}$  أيضاً عمودي على  $\overline{DE}$  ( لأننا في نظرية 12 - 8 قد أثبتنا أن  $\overline{DE} \parallel \overline{TU}$  ). ●

والآن سنقدم نظرية لابد أن تعقب النظرية السابقة.

مماسات الدائرة المحيطة بالمثلث عند رؤوسه توازي الأضلاع المناظرة لها من مثلث المساقط المنشأ من مساقط ارتفاعات المثلث الأصلي.

نظرية: 8-14

## البرهان

مرة ثانية سنقوم بإثبات النظرية لضلع واحد من مثلث المساقط المنشأ من مساقط ارتفاعات المثلث.  $\overline{OC}$  عمودي على المماس  $\overline{VC}$  (الشكل 8-11)، ولكن  $\overline{OC} \perp \overline{DE}$  (نظرية 8-13)، إذن  $\overline{VC} \parallel \overline{DE}$  وبنفس الطريقة تتحقق العلاقة مع الأضلاع الأخرى من مثلث المساقط المنشأ من مساقط ارتفاعات المثلث. ●

## دائرة النقاط التسع - مرة أخرى

نعود الآن لدراستنا لخواص دائرة النقاط التسع ونقدم في الجزء القادم خاصيتين تعتبران نتيجتين مباشرتين للنظريتين 8-13، 8-14.

ماسات دائرة النقاط التسع للمثلث عند نقاط منتصفات أضلاعه توازي الأضلاع المناظرة من مثلث المساقط المنشأ من مساقط ارتفاعات المثلث الأصلي.

نظرية: 8-15

## البرهان

نصف القطر  $\overline{NC'}$  لدائرة النقاط التسع عمودي على  $\overline{C'W}$  (انظر الشكل 8-12). بتطبيق نظرية 8-13،  $\overline{OC} \perp \overline{DE}$ ، ولقد أثبتنا سابقاً أن  $\overline{MN}$  قطعة مستقيمة واصله بين منتصفين ضلعين في  $\triangle COH$ ، إذن:

$$\overline{MN} \parallel \overline{OC}$$

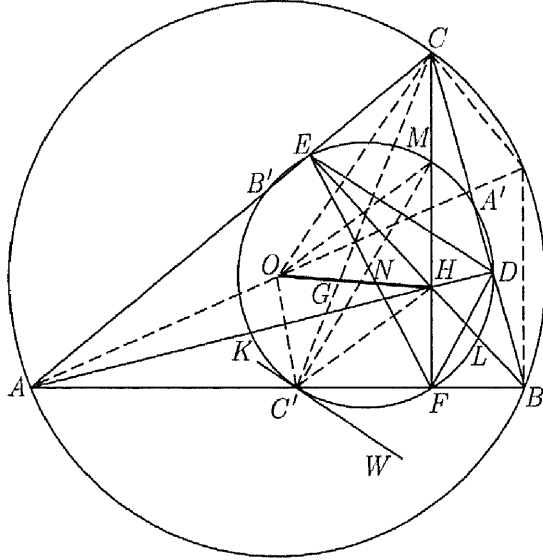
وهذا يؤدي إلى أن:

$$\overline{MNC'} \parallel \overline{OC}$$

أي أن:

$$\overline{C'W} \parallel \overline{DE}$$

وبنفس الطريقة يمكننا إثبات النظرية على الضلعين الباقين من المثلث .



شكل 12 - 8

مماسات دائرة النقاط التسع عند منتصفات أضلاع المثلث توازي  
مماسات الدائرة المحيطة عند رؤوس هذا المثلث.

نظرية: 8-16

البرهان

لأن كلاً من مماسات دائرة النقاط التسع عند منتصفات أضلاع المثلث ، ومماسات  
الدائرة المحيطة عند رؤوس هذا المثلث ، توازي أضلاع مثلث المساقط المنشأ من مساقط  
ارتفاعات المثلث. إذن هما متوازيان .

يتكون نظام نقاط تقاطع الارتفاعات orthocentric system من أربع نقاط ، كل منها هو نقطة تقاطع ارتفاعات المثلث الذي رؤوسه النقاط الثلاث المتبقية ، ففي الشكل 8-12 ، النقاط  $A, B, C, H$  تشكل نظاماً لنقاط تقاطع الارتفاعات وذلك كالتالي :

- $H$  نقطة تقاطع الارتفاعات في  $\Delta ABC$  ؛
- $A$  نقطة تقاطع الارتفاعات في  $\Delta BCH$  ؛
- $B$  نقطة تقاطع الارتفاعات في  $\Delta ACH$  ؛
- $C$  نقطة تقاطع الارتفاعات في  $\Delta ABH$  .

المثلثات الأربعة لنظام نقاط تقاطع الارتفاعات لها نفس دائرة النقاط التسع.

نظرية: 8-17

البرهان

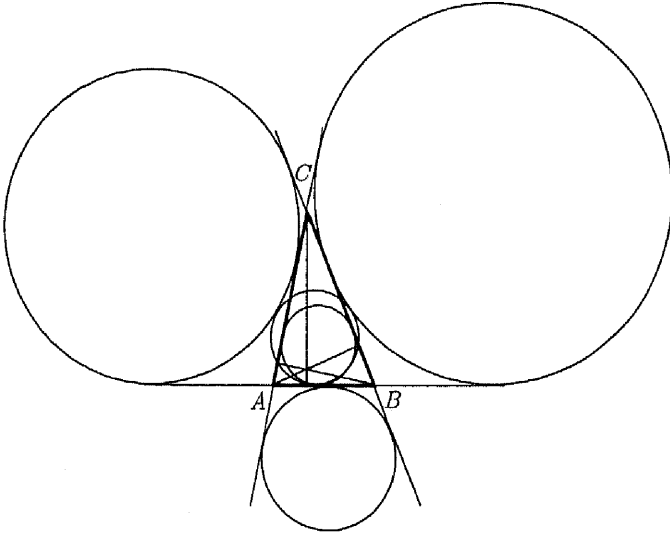
برهان هذه النظرية متروك للقارئ ، حيث يتطلب ذلك التأكد من أن كلاً من النقاط التسع لكل من المثلثات الأربعة تقع على نفس الدائرة  $N$  .

تعد الخاصية التي تربط بين دائرة النقاط التسع للمثلث من جهة والدوائر الخارجية و الدائرة الداخلية لنفس المثلث من جهة أخرى واحدة من أشهر خصائص دائرة النقاط التسع والتي اكتشفها وبرهنها الرياضي الألماني كارل فيلهلم فيورباخ Karl Wilhelm Feuerbach في عام ١٨٢٢م. وهي تنص على ما يلي

( نظرية فيورباخ ) دائرة النقاط التسع للمثلث تمس كلاً من الدوائر الخارجية والدائرة الداخلية لنفس المثلث. (انظر الشكل 8-13) .

نظرية: 8-18

يعد برهان هذه الخاصية معقد إلى حد بعيد، ولكنه في ذات الوقت مفيد،  
والقارئ المهتم سيجد أربعة براهين مختلفة لنظرية فيورباخ في كتاب الهندسة الحديثة  
Modern Geometry تأليف روجر أ. جونسون\*. أما البرهان الذي استخدمه فيورباخ فقد  
اعتمد على حساب المسافات بين مركز دائرة النقاط التسع ومراكز كل من الدائرة  
الداخلية ( $p$ ) والدائرة المحيطة ( $R$ )



شكل 13 - 8

والدائرة الداخلية لثلث المساقط المنشأ من مساقط ارتفاعات المثلث (أو مثلث المساقط  
في صورته العامة) المثلث  $DEF$  في شكل 12 - 8، ثم وضح أن هذه المسافات  
تساوي المجموع والفرق لأنصاف الأقطار المتناظرة.



$$(OI)^2 = R^2 - 2Rp$$

$$(IH)^2 = 2p^2 - 2Rr$$

$$(OH)^2 = R^2 - 4Rr$$

$$(NI)^2 = \frac{1}{2} \left[ (OI)^2 + (IH)^2 \right] - (NH)^2 = \frac{1}{4} R^2 - Rp + p^2 = \left( \frac{1}{2} R - p \right)^2$$

لاحظ أن  $I$  هي مركز الدائرة الداخلية للمثلث،  $H$  هي نقطة تقاطع ارتفاعات المثلث،  $O$  مركز الدائرة المحيطة.

### تدريبات

1. أثبت أن مركز الدائرة المحيطة لأي مثلث هي نقطة تقاطع الارتفاعات للمثلث الذي رؤوسه نقاط المنتصف لأضلاع المثلث الأصلي.
2. أثبت أن أطوال ارتفاعات المثلث تتناسب عكسياً مع أطوال أضلاع هذا المثلث.
3. في الشكل 12-8، أثبت أن  $\triangle A'B'C' \cong \triangle A'B'F$ .
4. في الشكل 12-8، أثبت أن  $\overline{CC'}$ ،  $\overline{OM}$  ينصف كل منهما الآخر.
5. لماذا استخدمنا المثلث الحاد الزوايا فقط عند إثباتنا أن مثلث المساقط المنشأ من مساقط ارتفاعات المثلث له أقل طول محيط ممكن بين المثلثات المنشأة داخل المثلث الأصلي (نظرية 7-8)؟
6. ليكن  $\overline{AM}$  هو ارتفاع المثلث  $ABC$  على الضلع  $\overline{BC}$  حيث  $M \in \overline{BC}$ ، ولتكن  $H$  هي نقطة تلاقي ارتفاعات المثلث. أثبت أن  $(BM)(MC) = k(AM)$  حيث  $k$  هي بعد  $H$  عن  $\overline{BC}$ .
7. أثبت أن قياس الزاوية المحصورة بين ارتفاع المثلث ونصف قطر الدائرة المحيطة بالمثلث والمشاركين في نفس الرأس يساوي الفرق بين قياسي زاويتي المثلث المتبقيتين.

8. أثبت أن الزاوية المحصورة بين ارتفاع المثلث ونصف قطر الدائرة المحيطة بالمثلث والمشاركين في نفس الرأس ينصفها منصف زاوية رأس المثلث الخارج منها ارتفاع المثلث ونصف قطر الدائرة المحيطة.
9. أثبت أن الدائرة المحيطة بمثلث تطابق الدائرة التي تمر برأسين من رؤوس هذا المثلث ونقطة تقاطع ارتفاعاته.
10. أثبت أن طول القطعة المستقيمة العمودية الخارجة من مركز الدائرة المحيطة بمثلث إلى أحد أضلاعه تساوي نصف طول القطعة المستقيمة الواصلة بين رأس المثلث المقابلة لهذا الضلع ونقطة تقاطع ارتفاعات هذا المثلث.
11. أثبت أن مجموع أطوال ارتفاعات المثلث أقل من طول محيطه.
12. أثبت أن دائرة النقاط التسع للمثلث الذي رؤوسه أي ثلاث نقاط من النقاط التالية : مركز الدائرة الداخلية لمثلث  $ABC$  ، مراكز الدوائر الثلاث الخارجية للمثلث  $ABC$  ، تمر بالرؤوس  $A, B, C$ .
13. أثبت أن الخط المستقيم الذي تقع عليه نقطة تقاطع ارتفاعات مثلث ، ونقطة منتصف ضلع من أضلاع هذا المثلث يتقاطع مع قطر الدائرة المحيطة به والخارج من الرأس المقابلة لهذا الضلع في نقطة تقع على الدائرة المحيطة بالمثلث.
14. أثبت أن مركز دائرة النقاط التسع لمثلث يقع على استقامة واحدة مع كل من نقطتي تقاطع العمودين الساقطين من نقطة تقاطع ارتفاعات المثلث على المنتصفين الداخلي والخارجي لزاوية الرأس ، ونقطة منتصف ضلع المثلث المقابل لهذه الرأس.
15. أثبت أنه إذا كان لمثلث رأس ثابتة ودائرة نقاط تسع ثابتة فإن المحل الهندسي للنقاط التي يمكن أن تكون مركزاً للدائرة المحيطة بالمثلث تقع على دائرة.



## إنشاءات المثلث

### مقدمة

من أقدم المسلمات المتعلقة بتطابق المثلثات تلك التي لها طابع إنشائي، فعلى سبيل المثال، نحن نستخدم وسائل الإنشاءات التقليدية (مسطرة غير مدرجة وفرجارين) مع الحقيقة التي تقول إن المثلثين يتطابقان إذا طابق في المثلث الأول ضلعان وزاوية محصورة نظائريهما في المثلث الآخر (*SAS*)، وعندها نحصل على مثلث وحيد له نفس الضلعان والزاوية المحصورة بينهما، بمعنى أنه إذا حاولنا رسم مثلث آخر بنفس الشروط والمعلومات (ضلعان وزاوية محصورة) فإننا لا نحالة وبتكرار نفس خطوات الإنشاء سنحصل في نهاية المطاف على المثلث الذي يوافق المثلث الأول بجميع عناصره، ولن يكون هناك أي اختلاف سوى في وضع المثلث في المستوى. وهكذا نستطيع أن نقول إن المعلومات التي كانت لدينا حول المثلث (*SAS*) كافية لتعيين أو إنشاء المثلث.

في الماضي كنا نقوم بالإنشاءات التقليدية على الورق، ولكننا الآن وفي وقتنا الحاضر لدينا البرامج الحاسوبية التي تقدم لنا رسومات دقيقة.

الشكل 1-9 يوضح لنا بعض التفاصيل الخاصة بالمثلث والتي سوف نقوم بدراستها خلال هذا الفصل من خلال قائمة منظمة يدعمها الفهم العام للمقصود بالرموز المستخدمة ودلالاتها في السياق الذي تقع فيه، فعلى سبيل المثال قد نستخدم الرمز  $b$  إما للإشارة إلى ضلع مثلث أو إلى اسمه أو إلى طوله. ولعل هذا الغموض يعكس اختيارنا وليس عدم معرفتنا. هدفنا هو الوضوح، وبالتأكيد فكل ما يدعم الدقة والإحكام في المادة العلمية المقدمة سيتم الإشارة إليه ضمن الوقت والمساحة الملائمين لمناقشاتنا.

والآن نستعرض الرموز التي سنستخدمها للدلالة على عناصر المثلث .

أضلاع المثلث :  $a, b, c$  .

زوايا المثلث :  $\alpha, \beta, \gamma$  .

رؤوس المثلث :  $A, B, C$  .

ارتفاعات المثلث :  $h_a, h_b, h_c$  .

مساقط ارتفاعات المثلث على أضلاعه :  $H_a, H_b, H_c$  .

نقطة تقاطع الارتفاعات في المثلث :  $H$  .

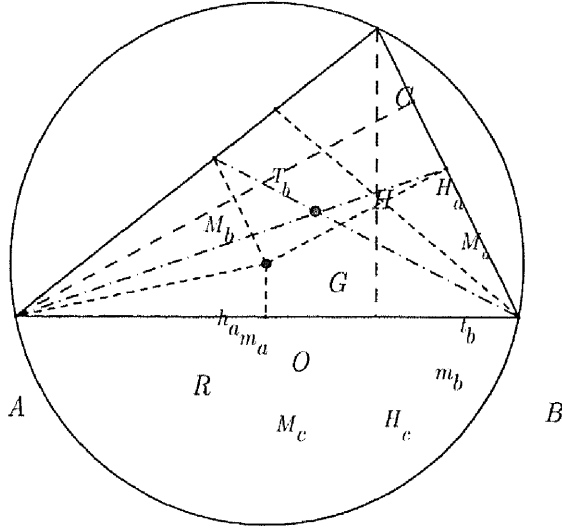
متوسطات المثلث :  $m_a, m_b, m_c$  .

نقاط المنتصف لأضلاع المثلث :  $M_a, M_b, M_c$  .

نقطة تقاطع المتوسطات في المثلث :  $G$  .

منصفات زوايا المثلث :  $t_a, t_b, t_c$  .

نقاط تقاطع منصفات الزوايا مع أضلاع المثلث :  $T_a, T_b, T_c$  .



شكل 9-1

مركز الدائرة الداخلية للمثلث ( نقطة تقاطع المنصفات الداخلية لزوايا المثلث ) :  $I$ .

نصف قطر الدائرة الداخلية للمثلث :  $r$ .

مركز الدائرة المحيطة بالمثلث ( نقطة تقاطع الأعمدة المنصفة لأضلاع المثلث ) :  $O$ .

نصف قطر الدائرة المحيطة بالمثلث :  $R$ .

نصف مجموع أطوال أضلاع المثلث  $(a + b + c)$  :  $s = \frac{1}{2}$ .

لاحظ أننا استخدمنا الحروف الصغيرة في العموم للتعبير عن قياس الطول، والحروف الكبيرة تمثل النقاط، ويستثنى من ذلك استخدام الحرف الكبير  $R$  للتعبير عن طول نصف قطر الدائرة المحيطة بالمثلث، وذلك اتباعاً للمألوف في هذا المقام.

الكثيرون يساورهم القلق من دراسة الهندسة بسبب هذه القائمة الطويلة من الرموز والعلاقات، ولكنك بالفعل تعرف الكثير من العلاقات الخاصة بالمثلث ( مثل

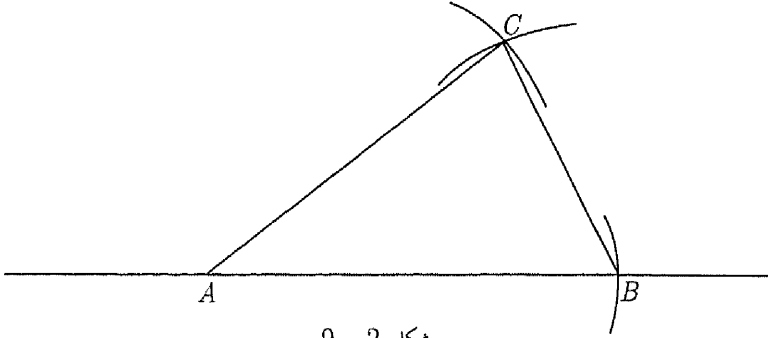
مجموع زوايا المثلث الداخلية تساوي  $180^\circ$ ، وأخرى نتوقع أنك لا تعرفها، وفي سبيلك لتعلمها ( مثل نظرية 13 - 7 والتي نتحدث عن العلاقة بين مقلوب طول نصف قطر الدائرة الداخلية يساوي مجموع مقلوبات أطوال ارتفاعات المثلث،  $\frac{1}{r} = \frac{1}{h_a} + \frac{1}{h_b} + \frac{1}{h_c}$  . بالطبع، سنستخدم كل ما نحتاج إليه من العلاقات في إنشاءاتنا، وسنقدم لتلك العلاقات براهين موجزة إذا اقتضى الأمر، وعليك أن تسعى وراء هذه البراهين لاستكمالها من خلال خبراتك أو البحث عنها في المراجع الأكثر شمولاً، وعندها قد تجد بعض العلاقات الجديدة عليك.

سنعرض في هذا الجزء من الكتاب إنشاءات المثلث في مستويين، الأول منها، نفترض فيه وجود مثلث في مكان ما، وقام أحد الأشخاص بتسليم بعض أجزائه إلينا، وعندها تصبح وظيفتنا إعادة إنشائه ليكون مثلثنا الأصلي. وفي هذا المستوى سنفترض أن الحل موجود ويكون دورنا إيجاداه. وفي هذه الحالة، عادة ما تكون طريقتنا هي محاولة إيجاد سلسلة من الخطوات والعلاقات المناسبة التي من شأنها إعادة إنشاء المثلث.

أما في المستوى الثاني، فليس من الضروري أن نفترض وجود الحل، وسيكون علينا دراسة المعطيات التي لدينا في ضوء احتمالية وجوده، وإذا كان الأمر كذلك، فإننا يجب أن نحدد العلاقات بين المعلومات المعطاة وطبيعة وعدد الحلول الممكنة. وسنحاول توضيح الطريقتين أو النهجين في حل تمرين أو مشكلة مألوفة هي إنشاء مثلث بمعلومية أطوال أضلاعه الثلاثة  $a, b, c$ .

فبالعمل من خلال المستوى الأول، فإذا فرضنا أنه بالفعل يملك أحدهم  $\triangle ABC$ ، وأعطانا فقط أطوال أضلاعه الثلاثة  $a, b, c$ ، فإننا وبسرعة سنعيد إنشاء هذا المثلث كالتالي: فعلى أي خط مستقيم سنحدد نقطة لتكن الرأس  $A$ ، وبرسم القوس  $(A, c)$  يقطع المستقيم في النقطة  $B$ ، إذن  $AB = c$  (الشكل 2-9)، ثم

نرسم القوسين  $(A, b), (B, a)$  ليتقاطعا في النقطة  $C$ ، ثم نرسم كلاً من  $\overline{AC}, \overline{BC}$ ، فنحصل على المثلث المطلوب  $\triangle ABC$ .

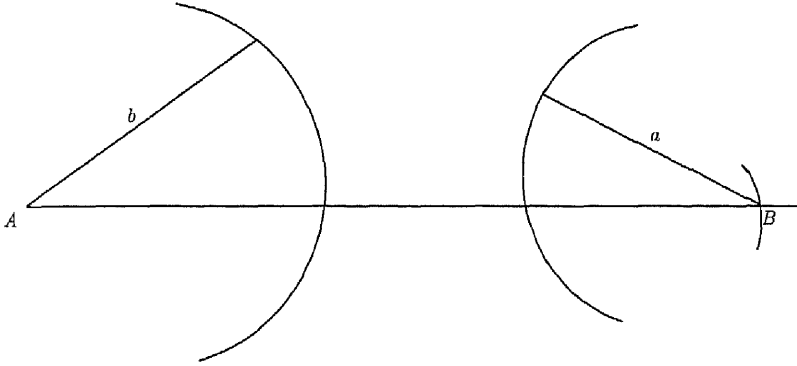


شكل 2 - 9

أما عند العمل من خلال المستوى الثاني لهذه المشكلة فلن نفرض أن الحل موجود ولكن كما يقولون " دعونا نفحص الحصان الهدية من أسنانه "، فعلى سبيل المثال، إذا كانت الأطوال المعطاة هي  $2, 3, 6$  فحتماً لن يأخذ ذلك منك كثيراً لتصل إلى عدم إمكانية رسم مثلث باستخدام هذه الأطوال. وأي محاولة لتنفيذ مثل الخطوات السابقة ستثبت لك استحالة تقاطع القوسين  $(A, b), (B, a)$ ، وبالتالي ليس لدينا الرأس الثالثة  $C$  (الشكل 3-9)، وبالتالي يقودنا ذلك للشرط الأساسي الذي يقول إن أي مجموعة من ثلاثة أطوال تصلح أطوالاً لأضلاع مثلث إذا تحقق الشرط : مجموع أي طولين منهما أكبر من طول الضلع الثالث، وهذا ما يطلق عليه متباينة المثلث triangle inequality، والتي إذا لم تتحقق فلن يكون لدينا حل ( لا يوجد لدينا مثلث )، وإذا تحقق هذا الشرط فإنه باستطاعتنا إنشاء مثلث، وفي واقع الأمر، القوسان  $(A, b), (B, a)$  يتقاطعان في



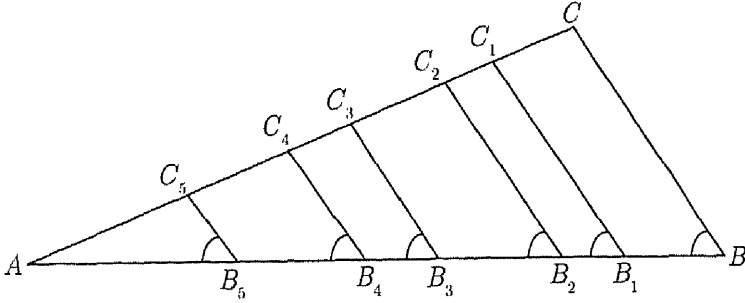
نقطتين  $C, C'$  ، إحداها فوق والأخرى تحت  $\overline{AB}$  ، ولذا سنحصل على مثلثين متطابقين  $\Delta ABC, \Delta ABC'$  ، ولذا لدينا حل واحد لهذه المشكلة ( ماذا يحدث عندما :  $a + b = c$  ) .



شكل 3 - 9

مناقشة إمكانية وجود حل ، وعدد الحلول وعلاقتها بالمعلومات المعطاة لنا يمكن أن تقودنا إلى موضوعات رياضية أكثر عمقاً وتشويقاً ، وسندخل معا في هذه المناقشة في أوراقنا القادمة ، ونحن ننصح بمتابعة مثل هذه الأفكار قدر الإمكان. وهناك صعوبة أخرى قد تنشأ على المستويين الخاصين بالإنشاءات ، فعلى سبيل المثال ، إذا أعطينا قياسات زوايا المثلث الثلاث  $\alpha, \beta, \gamma$  ، وإذا كانت هذه القياسات من مثلث مرسوم بالفعل ، ومع معرفتنا بأن مجموع قياسات زوايا المثلث يجب أن يكون قياس زاوية مستقيمة ، والذي يتطلب أن تكون قياس واحدة من الزوايا الثلاث تتكامل مع مجموع قياسي الزاويتين الباقيتين. لذا ؛ فمعرفة قياس أي زاويتين في مثلث تكفي لمعرفة قياس الزاوية الثالثة. وتسمى مجموعة المعلومات التي لا نحتاج أن نُعطى لنا لأننا نستطيع إيجادها بأنفسنا من المعلومات الباقية باسم مجموعة الفائض  $redundant set$ . وفي حالتنا

تلك ، أعطينا في الأساس بعض المعلومات عن أي زاويتين من زوايا المثلث ، لنفرض أنهما  $\alpha, \beta$  ، واللتين ( فعلياً ) أتيا من  $\Delta ABC$  ، ولكن يمكن كذلك أن يأتي من عدد غير منته من المثلثات المتشابهة  $\Delta AB_1C_1, \Delta AB_2C_2, \Delta AB_3C_3, \dots$  ( الشكل 4 - 9 ) .

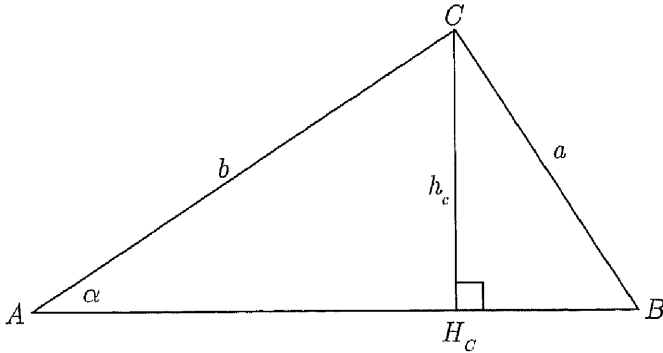


شكل 4 - 9

وعلى الجانب الآخر ، إذا بدأنا بأي ثلاث زوايا  $\{\alpha, \beta, \gamma\}$  ، فمن الممكن ألا نجد مثلثاً زواياه هي  $\{\alpha, \beta, \gamma\}$  ما لم يكن مجموع قياساتها هو قياس زاوية مستقيمة. ينبغي أن يكون واضحاً أنه من أجل إنشاء أو إعادة إنشاء أي مثلث معين ، يجب أن نملك ثلاثة معطيات مستقلة حول المثلث ، وأي ارتباط بين هذه المعطيات قد يصنع منها مجموعة فائض ، وبالتالي لا نستطيع تعيين المثلث.

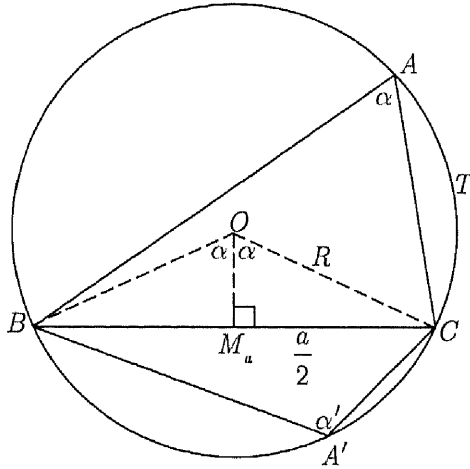
لاحظ أن المجموعة  $\{a, b, c\}$  مستقلة لأن اختيار  $a, b$  لا يعني تعيين  $c$ . بالطبع نحن ملزمون بمتباينة المثلث والتي يمكن صياغتها على الصورة  $a - b < c < a + b$  ( هل تستطيع أن تثبت كيف استنتجنا المتباينة الثانية من المتباينة الأولى ؟ ). أما المجموعة  $\{\alpha, \beta, \gamma\}$  فهي مجموعة فائض مألوفة.

والآن، سوف نغير انتباهنا إلى اثنتين من المجموعات الفائضة غير المألوفة. لأن المثلث القائم الزاوية يتم تعيينه عندما نعرف طول وتره وإحدى زاويتي الحادتين، فهذا يعني أن المجموعة  $\{\alpha, b, h_c\}$  مجموعة فائض. من الشكل 5-9، ينبغي أن يكون واضحاً أنه يمكننا أن ننشئ المثلث القائم  $ACH_c$  من أي عنصرين من عناصر المجموعة  $\{\alpha, b, h_c\}$ . فالرأس  $B$  يمكننا أن نأخذها في أي مكان على  $\overrightarrow{AH_c}$ ، ولذا فبال تأكيد لا يمكننا تحديد  $\triangle ABC$  على وجه الخصوص. وفي المثلث القائم لدينا أيضاً  $h_c = b \sin \alpha$ ؛ لذا المجموعة  $\{\alpha, b, h_c\}$  مجموعة فائض، أي إذا أعطينا  $\{\alpha, b\}$  فإننا لا نحتاج أن تكون ضمن معطياتنا  $h_c$  لأنه يمكننا الحصول عليها بأنفسنا. ويكون لدينا وضع مماثل إذا كانت معطياتنا  $\{\alpha, \beta, h_c\}$  والتي هي الأخرى مجموعة فائض (اعتبر المثلث القائم  $BCH_c$ ) لا نستطيع بها تحديد مثلث وحيد  $ABC$ .



شكل 5-9

مجموعة فائض أخرى أقل وضوحاً هي  $\{a, \alpha, R\}$  ، ولنفرض - كما في الشكل 9-6 - أننا رسمنا الدائرة المحيطة بالمثلث  $ABC$  ، وأن نصف قطر هذه الدائرة هما  $\overline{OB}, \overline{OC}$  ، وأن ارتفاع المثلث المتطابق الضلعين  $OBC$  ، ومن علاقة الزوايا المحيطة والمركزية ، فإنه إذا كانت  $\angle \alpha$  حادة ، فإن  $m\angle BOC = 2m\angle \alpha$  ، أما إذا كانت  $\angle \alpha$  منفرجة ؛ فإن  $m\angle BOC$  تساوي ضعف قياس  $\angle \alpha'$  ، ولكن في  $\triangle OCM_u$  القائم نحصل على  $\frac{a}{2} = R \sin \alpha$  ، وبالتالي في كلتا الحالتين  $a = 2R \sin \alpha$  ، ومن خلال العلاقة السابقة يتضح بسهولة أن حصولنا على أي عنصرين من عناصر المجموعة  $\{a, \alpha, R\}$  يجعلنا نحصل على العنصر الثالث من المجموعة ، أي أن المجموعة  $\{a, \alpha, R\}$  تعتبر مجموعة فائض .



شكل 9-6

وفيما يلي نقدم قائمة منهجية وشاملة لجميع المجموعات ذات ثلاث عناصر مستقلة في المثلث والتي قد تحدد مثلثاً والبالغ عددها 179 مجموعة، وبتغيير اختيار العناصر الواردة يمكننا الحصول على قائمة مجموعات أخرى بطرق مختلفة، وبالتالي فالمجموعة رقم 2 في القائمة التالية  $\{a, b, \alpha\}$  والتي يتم تفسيرها لفظياً على الصورة " ضلعان وزاوية تقابل أحدهما " يمكن أن تقدمها باختيارات أخرى سواء أضلاع أو زوايا في نفس المثلث طالما تحقق نفس المفهوم اللفظي السابق وذلك مثل :  $\{a, b, \beta\}$  ،  $\{a, b, \gamma\}$  ،  $\{a, c, \alpha\}$  ،  $\{a, b, \gamma\}$  ،  $\{a, b, \beta\}$  أو  $\{a, b, \gamma\}$  ، ولكنك دائماً عند إنشائك أو تعاملك مع مشكلة من هذا النوع، سوف تجدها دائماً ضمن القائمة التالية وذلك بكتابة العناصر المعطاة بالترتيب الذي استخدمناه في كل مجموعة وهو كالتالي، الأضلاع، الزوايا، الارتفاعات، المتوسطات، منصفات الزوايا، نصف قطر الدائرة المحيطة بالمثلث، نصف قطر الدائرة الداخلية ونصف المحيط.

- |                           |                              |                            |                              |
|---------------------------|------------------------------|----------------------------|------------------------------|
| 1. $\{a, b, c\}$          | 17. $\{a, b, m_a\}$          | 33. $\{\alpha, h_b, m_b\}$ | 49. $\{a, \beta, t_b\}$      |
| 2. $\{a, b, \beta\}$      | 18. $\{a, b, m_c\}$          | 34. $\{\alpha, h_b, m_c\}$ | 50. $\{a, \beta, t_c\}$      |
| 3. $\{a, b, \gamma\}$     | 19. $\{a, \alpha, m_a\}$     | 35. $\{h_a, h_b, m_a\}$    | 51. $\{\alpha, \beta, t_a\}$ |
| 4. $\{a, \alpha, \beta\}$ | 20. $\{a, \alpha, m_b\}$     | 36. $\{h_a, h_b, m_c\}$    | 52. $\{a, h_a, t_a\}$        |
| 5. $\{a, b, h_a\}$        | 21. $\{a, \beta, m_a\}$      | 37. $\{a, m_a, m_b\}$      | 53. $\{a, h_a, t_b\}$        |
| 6. $\{a, b, h_c\}$        | 22. $\{a, \beta, m_b\}$      | 38. $\{a, m_a, m_c\}$      | 54. $\{a, h_b, t_a\}$        |
| 7. $\{a, \alpha, h_a\}$   | 23. $\{a, \beta, m_c\}$      | 39. $\{\alpha, m_a, m_b\}$ | 55. $\{a, h_b, t_b\}$        |
| 8. $\{a, \alpha, h_b\}$   | 24. $\{\alpha, \beta, m_a\}$ | 40. $\{\alpha, m_b, m_c\}$ | 56. $\{a, h_b, t_c\}$        |
| 9. $\{a, \beta, h_a\}$    | 25. $\{a, h_a, m_a\}$        | 41. $\{h_a, m_a, m_b\}$    | 57. $\{\alpha, h_a, t_a\}$   |

- |                              |                            |                           |                             |
|------------------------------|----------------------------|---------------------------|-----------------------------|
| 10. $\{a, \beta, h_b\}$      | 26. $\{a, h_a, m_b\}$      | 42. $\{h_a, m_b, m_c\}$   | 58. $\{\alpha, h_a, t_b\}$  |
| 11. $\{\alpha, \beta, h_a\}$ | 27. $\{a, h_b, m_a\}$      | 43. $\{m_a, m_b, m_c\}$   | 59. $\{\alpha, h_b, t_a\}$  |
| 12. $\{a, h_a, h_b\}$        | 28. $\{a, h_b, m_b\}$      | 44. $\{a, b, t_a\}$       | 60. $\{\alpha, h_b, t_b\}$  |
| 13. $\{a, h_b, h_c\}$        | 29. $\{a, h_b, m_c\}$      | 45. $\{a, b, t_c\}$       | 61. $\{\alpha, h_b, t_c\}$  |
| 14. $\{\alpha, h_a, h_b\}$   | 30. $\{\alpha, h_a, m_a\}$ | 46. $\{a, \alpha, t_a\}$  | 62. $\{h_a, h_b, t_a\}$     |
| 15. $\{\alpha, h_a, h_c\}$   | 31. $\{\alpha, h_a, m_b\}$ | 47. $\{a, \alpha, t_b\}$  | 63. $\{h_a, h_b, t_c\}$     |
| 16. $\{h_a, h_b, h_c\}$      | 32. $\{\alpha, h_b, m_a\}$ | 48. $\{a, \beta, t_a\}$   | 64. $\{a, m_a, t_a\}$       |
| 65. $\{a, m_a, t_b\}$        | 81. $\{a, t_a, t_b\}$      | 97. $\{h_a, h_b, R\}$     | 113. $\{t_a, t_b, R\}$      |
| 66. $\{a, m_b, t_a\}$        | 82. $\{a, t_b, t_c\}$      | 98. $\{a, m_a, R\}$       | 114. $\{a, b, r\}$          |
| 67. $\{a, m_b, t_b\}$        | 83. $\{\alpha, t_a, t_b\}$ | 99. $\{a, m_b, R\}$       | 115. $\{a, \alpha, r\}$     |
| 68. $\{a, m_b, t_c\}$        | 84. $\{\alpha, t_b, t_c\}$ | 100. $\{\alpha, m_a, R\}$ | 116. $\{a, \beta, r\}$      |
| 69. $\{\alpha, m_a, t_a\}$   | 85. $\{h_a, t_a, t_b\}$    | 101. $\{\alpha, m_b, R\}$ | 117. $\{\alpha, \beta, r\}$ |
| 70. $\{\alpha, m_a, t_b\}$   | 86. $\{h_a, t_b, t_c\}$    | 102. $\{h_a, m_a, R\}$    | 118. $\{a, h_a, r\}$        |
| 71. $\{\alpha, m_b, t_a\}$   | 87. $\{m_a, t_a, t_b\}$    | 103. $\{h_a, m_b, R\}$    | 119. $\{a, h_b, r\}$        |
| 72. $\{\alpha, m_b, t_b\}$   | 88. $\{m_a, t_a, t_c\}$    | 104. $\{m_a, m_b, R\}$    | 120. $\{\alpha, h_a, r\}$   |
| 73. $\{\alpha, m_b, t_c\}$   | 89. $\{t_a, t_b, t_c\}$    | 105. $\{a, t_a, R\}$      | 121. $\{\alpha, h_b, r\}$   |
| 74. $\{h_a, m_a, t_a\}$      | 90. $\{a, b, R\}$          | 106. $\{a, t_b, R\}$      | 122. $\{h_a, h_b, r\}$      |
| 75. $\{h_a, m_a, t_b\}$      | 91. $\{a, \beta, R\}$      | 107. $\{\alpha, t_a, R\}$ | 123. $\{a, m_a, r\}$        |
| 76. $\{h_a, m_b, t_a\}$      | 92. $\{\alpha, \beta, R\}$ | 108. $\{\alpha, t_b, R\}$ | 124. $\{a, m_b, r\}$        |
| 77. $\{h_a, m_b, t_b\}$      | 93. $\{a, h_a, R\}$        | 109. $\{h_a, t_a, R\}$    | 125. $\{\alpha, m_a, r\}$   |

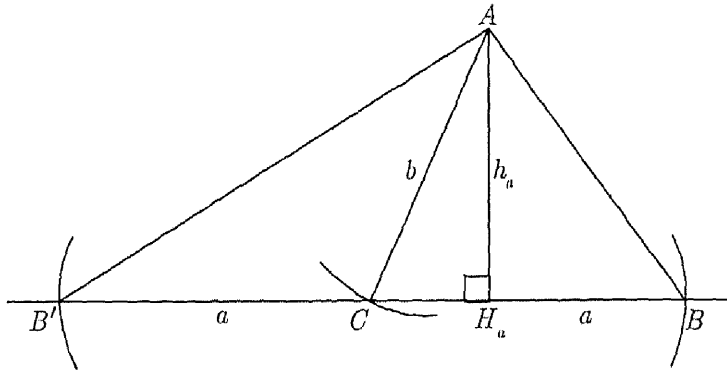
78. $\{h_a, m_b, t_c\}$	94. $\{a, h_b, R\}$	110. $\{h_a, t_b, R\}$	126. $\{\alpha, m_b, r\}$
79. $\{m_a, m_b, t_a\}$	95. $\{\alpha, h_a, R\}$	111. $\{m_a, t_a, R\}$	127. $\{h_a, m_a, r\}$
80. $\{m_a, m_b, t_c\}$	96. $\{\alpha, h_b, R\}$	112. $\{m_a, t_b, R\}$	128. $\{h_a, m_b, r\}$
129. $\{m_a, m_b, r\}$	145. $\{a, \alpha, s\}$	161. $\{a, t_b, s\}$	177. $\{m_a, r, s\}$
130. $\{a, t_a, r\}$	146. $\{a, \beta, s\}$	162. $\{\alpha, t_a, s\}$	178. $\{t_a, r, s\}$
131. $\{a, t_b, r\}$	147. $\{\alpha, \beta, s\}$	163. $\{\alpha, t_b, s\}$	179. $\{R, r, s\}$
132. $\{\alpha, t_a, r\}$	148. $\{a, h_a, s\}$	164. $\{h_a, t_a, s\}$	
133. $\{\alpha, t_b, r\}$	149. $\{a, h_b, s\}$	165. $\{h_a, t_b, s\}$	
134. $\{h_a, t_a, r\}$	150. $\{\alpha, h_a, s\}$	166. $\{m_a, t_a, s\}$	
135. $\{h_a, t_b, r\}$	151. $\{\alpha, h_b, s\}$	167. $\{m_a, t_b, s\}$	
136. $\{m_a, t_a, r\}$	152. $\{h_a, h_b, s\}$	168. $\{t_a, t_b, s\}$	
137. $\{m_a, t_b, r\}$	153. $\{a, m_a, s\}$	169. $\{a, R, s\}$	
138. $\{t_a, t_b, r\}$	154. $\{a, m_b, s\}$	170. $\{\alpha, R, s\}$	
139. $\{a, R, r\}$	155. $\{\alpha, m_a, s\}$	171. $\{h_a, R, s\}$	
140. $\{\alpha, R, r\}$	156. $\{\alpha, m_b, s\}$	172. $\{m_a, R, s\}$	
141. $\{h_a, R, r\}$	157. $\{h_a, m_a, s\}$	173. $\{t_a, R, s\}$	
142. $\{m_a, R, r\}$	158. $\{h_a, m_b, s\}$	174. $\{a, r, s\}$	
143. $\{t_a, R, r\}$	159. $\{m_a, m_b, s\}$	175. $\{\alpha, r, s\}$	
144. $\{a, b, s\}$	160. $\{a, t_a, s\}$	176. $\{h_a, r, s\}$	

بواسطة القائمة السابقة، نستطيع الحصول على 179 مسألة إنشاءات، وبالطبع أنت مدعو للغوص في تفاصيلها، وستقوم بتنفيذ الكثير من هذه الإنشاءات في الجزء الباقي من هذا الفصل وإثباتها بطرق وآليات مفيدة تسهم بلا شك في تطوير المفاهيم والمعلومات الهندسية، وبخاصة غير الشائعة منها. وسوف نناقش بشكل كامل في الجزء الأول من هذه الإنشاءات، الإمكانية وعدد الحلول حسب الشروط المختلفة، وفي باقي المسائل سنترك للقارئ هذا العمل الشيق (والأكثر صعوبة).

### بعض الإنشاءات المختارة للمثلث

الإنشاء رقم 5  $\{a, b, h_a\}$

لنأخذ النقطة  $H_a$  على أي خط مستقيم، ونرسم منها العمود  $H_a A$  الذي طوله  $h_a$  (انظر الشكل 7-9)، وليقطع القوس  $(A, b)$  هذه الخط الأساسي في النقطة  $C$ ، والقوس  $(C, a)$  هذه الخط الأساسي في النقطتين  $B, B'$ . إذن لدينا الحلان  $\triangle ABC, \triangle AB'C$ ، وكل منهما له نفس المعطيات  $\{a, b, h_a\}$ .



شكل 7-9



## المناقشة

لأن القوس  $(A, b)$  يجب أن يقطع الخط الأساسي لنحصل على النقطة  $C$  ، يكون الشرط اللازم لوجود حل هو  $b \geq h_a$  . لأن القوس سيقطع الخط مرة أخرى في النقطة  $C'$  (على يمين النقطة  $H_a$ ) ، وكذلك سنحصل أيضاً على زوج آخر من الحلول ، ولكن هذا الزوج هو صورة بالانعكاس للحلول التي لدينا بالفعل. وفي احتمال آخر إذا أخذنا العمود عند النقطة  $H_a$  فوق وأسفل الخط الأساسي ، فإننا مرة أخرى نحصل على صورة بالانعكاس للحلول السابقة.

وفي عملنا اللاحق لن نناقش الحلول المتماثلة أو التي نحصل عليها بالانعكاس ، والتي لا تسهم بأي جديد.

إذا كان  $h_a = b$  فإنه سيكون لدينا تقاطع واحدة بين القوس  $(A, b)$  والخط الأساسي عند النقطة  $H_a$  نفسها والتي هي أيضاً نقطة التماس لهذا القوس ، وفي هذه الحالة يكون المثلثان  $ACB, ACB'$  قائمين متطابقين ، أي أن لدينا حلاً واحداً في حالة  $h_a = b$  . وقد رأينا أن لدينا حلين عندما  $b > h_a$  بصرف النظر عن اختيارنا لمقدار طول  $a$  . إذن في النهاية ؛ الشرط  $b \geq h_a$  شرط لازم وكاف لأي حل لهذه المسألة ، فحالة التساوي تقودنا لحل واحد وحالة عدم التساوي تقودنا لحلين اثنين . ●

الإشياء رقم 7  $\{a, \alpha, h_a\}$

حل هذه المسألة ، من الأفضل استخدام تقاطع المحال الهندسية ، ( انظر الشكل 9-8 ) . فعلى أي خط مستقيم ، ننشئ  $BC = a$  . إذن ، أحد المحال الهندسية للرأس  $A$  هو الخط المستقيم  $L_1$  الذي يوازي  $\overrightarrow{BC}$  ويبعد عنه مسافة قدرها  $h_a$  ، وبالعامل على محل هندسي آخر للرأس  $A$  ، وهو جزء الدائرة التي تمر بالنقطتين  $B, C$  ونقطة

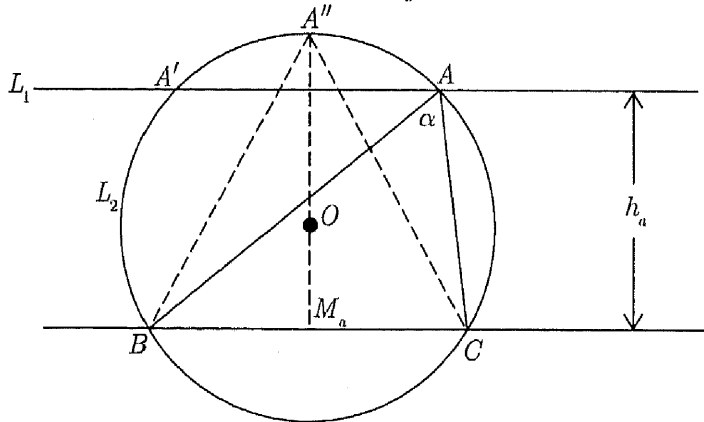
ثالثة "A" مقابلة لـ  $\overline{BC}$  من جهة  $L_1$  بحيث يكون  $m\angle BA''C = \alpha$ . باعتبار نقطتي تقاطع هذه الدائرة مع  $L_1$  في  $A, A'$ ، نجد أن كلاً  $\triangle ABC, \triangle A'BC$  حل ممكن.

### المناقشة

في هذه المسألة، سنحصل على الحلول إذا فقط إذا تقاطع المحلان الهندسيان، وهذا التقاطع سيحدث إذا كانت  $h_a$  "ليست كبيرة جداً". لاحظ أيضاً المثلث "الأطول"  $\triangle A''BC$ ، وفي المثلث القائم

$$BM = \frac{1}{2}a, \quad m\angle BA''M_a = \frac{1}{2}\alpha$$

المشكلة الأصلية لها حل إذا فقط إذا تحقق الشرط  $h_a \leq A''M_a$ ، والذي يتحول من العلاقات في المثلث القائم إلى  $h_a \leq \frac{1}{2}a \cot \frac{1}{2}\alpha$ ، وتأتي حالة التساوي عندما  $L_1$  يمس الدائرة عند النقطة  $A''$ ، ويكون الحل الوحيد هو المثلث المتطابق الضلعين  $A''BC$ ، وفي حالة عدم التساوي نحصل على المثلثين المتطابقين  $\triangle ABC, \triangle A'BC$  الذين هما في الأساس حل واحد.

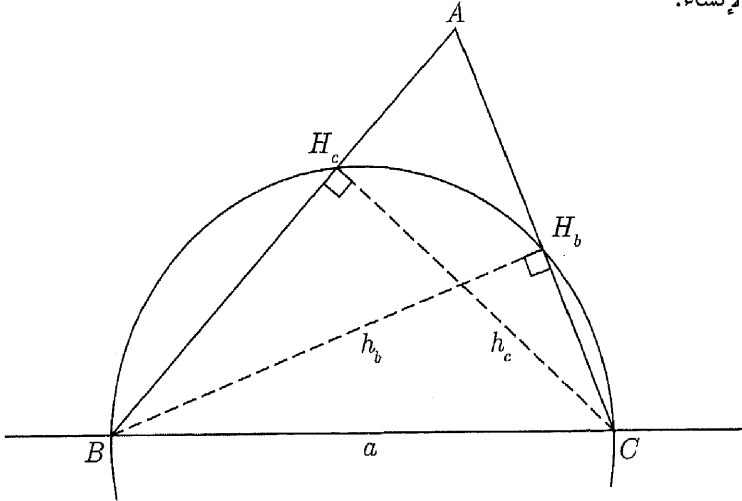


شكل 8 - 9

الإنشاء رقم 13  $\{a, h_b, h_c\}$

على أي خط مستقيم أنشئ  $BC = a$  ، ونصف دائرة قطرها  $\overline{BC}$  ( انظر الشكل 9-9 ). إذن نصف الدائرة محل هندسي لكل من  $H_b, H_c$  لأن كلاً من  $\angle BH_bC, \angle BH_cC$  قائمة. والآن ، لنرسم القوس  $(B, h_b)$  ليقطع نصف الدائرة في  $H_b$  ، ونرسم القوس  $(C, h_c)$  ليقطع نصف الدائرة في  $H_c$  ، وأخيراً نرسم  $\overrightarrow{BH_c}, \overrightarrow{CH_b}$  ليتقاطعا في النقطة  $A$  ليعطينا ذلك الحل  $\triangle ABC$ .

سنترك المناقشة والتوضيح لك أيها القارئ مع إرشاد بأنك يجب أن تفحص نسبة الأطوال  $a, h_b, h_c$  والتي تعين نقاط التقاطع للأقواس المختلفة التي تدخل في الإنشاء.



شكل 9-9

الإشياء رقم 16 في  $\{h_a, h_b, h_c\}$

الحل الأول:

لأن مساحة  $\triangle ABC$  تساوي  $\frac{1}{2}ah_a$  وتساوي أيضاً  $\frac{1}{2}bh_b$ ،  $\frac{1}{2}ch_c$ . إذن،

$$ah_a = bh_b = ch_c$$

ومن ذلك نستطيع كتابة المعادلات :

$$a : \frac{1}{h_a} = b : \frac{1}{h_b} = c : \frac{1}{h_c}$$

وتحيزنا المعادلات السابقة أن أطوال أضلاع المثلث تتناسب عكسياً مع ارتفاعات

المثلث المناظرة لها . وبالعكس يمكننا الوصول للمعادلات :

$$h_a : \frac{1}{a} = h_b : \frac{1}{b} = h_c : \frac{1}{c}$$

إذا رسمنا مثلثاً جديداً وليكن  $\triangle PQR$  والذي أطوال أضلاعه  $h_a, h_b, h_c$  ( انظر

الشكل 10 - 9 ) وأطوال ارتفاعاته  $h'_a, h'_b, h'_c$  ، والتي هي أيضاً تتناسب عكسياً مع

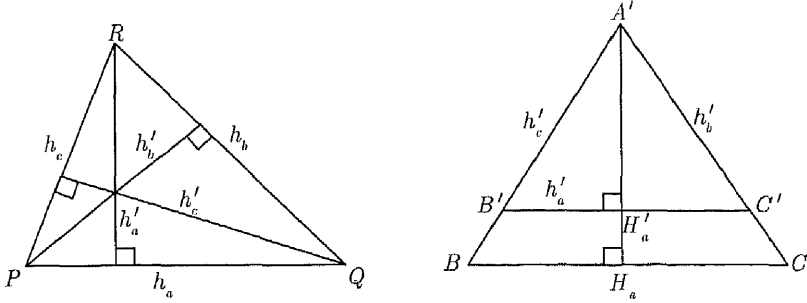
أطوال أضلاع المثلث  $h_a, h_b, h_c$  :

$$h_a : \frac{1}{h'_a} = h_b : \frac{1}{h'_b} = h_c : \frac{1}{h'_c}$$

ولكننا يمكن أن نرى أن أطوال هذه الارتفاعات الجديدة سوف تتناسب مباشرة مع

أطوال أضلاع المثلث الأصلي :

$$a : h'_a = b : h'_b = c : h'_c$$



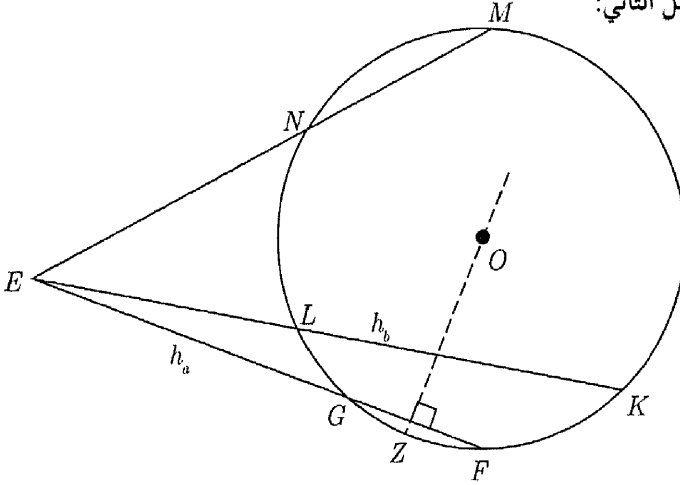
شكل 10 - 9

إذن المثلث الجديد الذي أطوال أضلاعه  $h'_a, h'_b, h'_c$  يشابه المثلث المطلوب  $ABC$ . وعليه تكون خطوات الإنشاء كالتالي :

- (1) أنشئ  $\Delta PQR$  والذي أطوال أضلاعه هي الارتفاعات المعطاة  $h_a, h_b, h_c$ .
- (2) أوجد أطوال الارتفاعات  $h'_a, h'_b, h'_c$  للمثلث  $PQR$ .
- (3) أنشئ  $\Delta A'B'C'$  والذي أطوال أضلاعه هي الارتفاعات التي أتينا بها توالياً. ( $\Delta A'B'C'$  يشابه المثلث المطلوب  $ABC$ ). (انظر الشكل 10 - 9).
- (4) أنشئ أي ارتفاع للمثلث  $\Delta A'B'C'$  وليكن  $A'H'_a$  ثم أنشئ عليه  $\overline{A'H'_a}$  والذي يطابق طول الارتفاع المعطى  $h_a$ .
- (5) من النقطة  $H_a$  نرسم عموداً إلى  $A'H_a$  يتقاطع مع  $\overrightarrow{A'B'}$ ,  $\overrightarrow{A'C'}$  في النقطتين  $B, C$ .

إذن،  $\Delta A'BC$  هو المثلث المطلوب. ●

الحل الثاني:



شكل 9 - 11

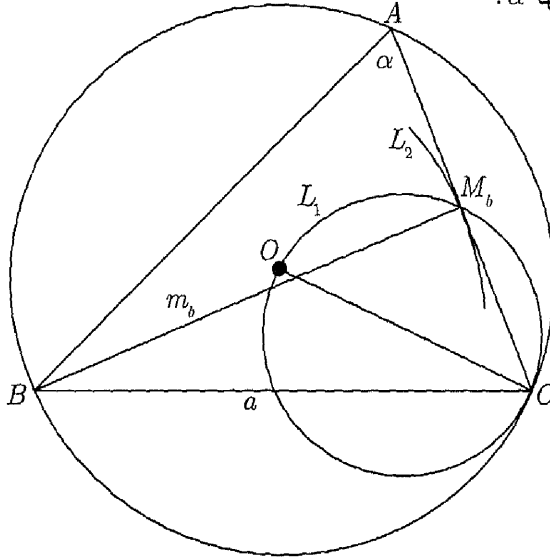
إذا رسمنا من النقطة  $E$  التي تقع خارج الدائرة  $O$ ، القواطع الموضحة بالشكل 9-11، إذن:  $EF \cdot EG = EK \cdot EL = EM \cdot EN$ ، وكل من هذه المقادير يساوي أيًا من المقادير المتساوية  $ah_a = bh_b = ch_c$ ، حيث اعتبرنا  $EM = h_a$ ،  $EK = h_b$ ،  $EF = h_c$ ، و  $EG = a'$ ،  $EL = b'$ ،  $EN = c'$ ، كما في الشكل 9-11. إذن لدينا  $a'h_a = b'h_b = c'h_c$  ثم بالقسمة نحصل على  $a : a' = b : b' = c : c'$  وعليه يكون المثلث الذي أطواله  $a', b', c'$  مشابهًا للمثلث المطلوب (المثلث الحل)  $ABC$ . ثم نكمل الإنشاء بعمل المثلث  $A'B'C'$  والذي أضلاعه تطابق كلاً من  $\overline{EG}$ ،  $\overline{EL}$ ،  $\overline{EN}$ ، ثم نكمل كما في الحل الأول.

في كلتا الحالتين  $\Delta A'B'C'$  سوف يشابه المثلث المطلوب (المثلث الحل)

●  $ABC$

الإنشاء رقم 20  $\{a, \alpha, m_b\}$

على أي خط مستقيم أنشئ  $BC = a$ ، ثم أنشئ قوساً دائرياً  $BAC$  يحتوي زاوية قياسها  $\alpha$ .

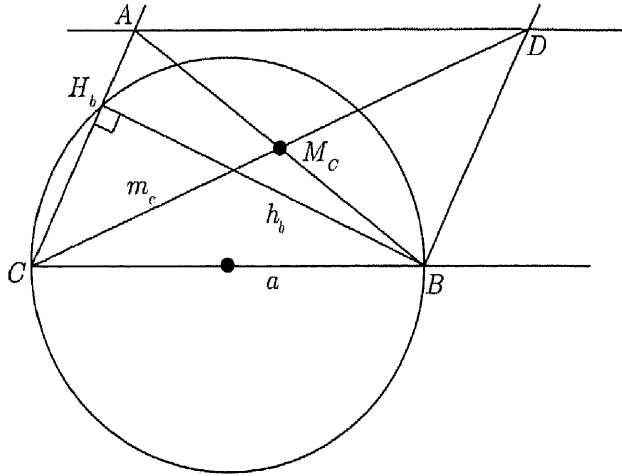


شكل 12 - 9

بالطبع، يكون هذا القوس هو المحل الهندسي للرأس  $A$ ، وهو في ذات الوقت جزء من الدائرة  $O$  المحيطة بالمثلث  $ABC$ . وبعد ذلك، أنشئ الدائرة  $L_1$  التي قطرها  $\overline{OC}$ ، والتي هي أيضاً المحل الهندسي لجميع نقاط المنتصف لكل وتر للدائرة الأولى مرسوم من النقطة  $C$ ، وبالتالي هي المحل الهندسي للنقطة  $M_b$ ، ولأن المسافة من النقطة  $B$  إلى النقطة  $M_b$  هي  $m_b$ ، فإن هناك محلاً هندسياً آخر للنقطة  $M_b$  هو  $L_2$ ، وهو الدائرة  $(B, m_b)$  الموضح جزء منها في الشكل 12-9. إذن؛ النقطة  $M_b$  هي نقطة تقاطع هذين المحلين الهندسيين. ثم نرسم  $\overline{CM_b}$  ليلاقي الدائرة الأولى في النقطة  $A$ . إذن المثلث المطلوب (المثلث الحل) هو  $\Delta ABC$ .

الإنشاء رقم 29  $\{a, h_b, m_c\}$ .

لنفرض أن المثلث قد تم إنشاؤه بالفعل ، فإذا مددنا  $\overline{CM_c}$  بقدر طوله إلى  $D$  ، فإن الشكل  $ACBD$  متوازي أضلاع ( لأن القطرين يتصف كل منهما الآخر ) انظر الشكل ( 13 - 9 ) . الأطوال  $a, h_b$  تعين المثلث القائم الزاوية  $BH_bC$  ، والآن يكون الإنشاء كالتالي.



شكل 13 - 9

على أي مستقيم أنشئ  $CB = a$  ، ثم أنشئ نصف الدائرة التي قطرها  $\overline{BC}$  ( نصف الدائرة هي المحل الهندسي للنقطة  $H_b$  ). القوس  $(B, h_b)$  يقطع نصف الدائرة عند النقطة  $H_b$  ، والآن لرسم  $\overline{CH_b}$  ، ثم نرسم  $\overline{BD}$  يوازي  $\overline{CH_b}$  . والقوس  $(C, 2m_c)$  يقطع  $\overline{BD}$  عند النقطة  $D$  ، والتي تكون الرأس الثالثة لمتوازي الأضلاع. ومن النقطة  $D$  نرسم مستقيماً يوازي  $\overline{BC}$  ويقطع  $\overline{CH_b}$  في النقطة  $A$  ، الرأس الرابعة من متوازي الأضلاع وهي الرأس الثالثة من المثلث المطلوب هو  $ABC$ .

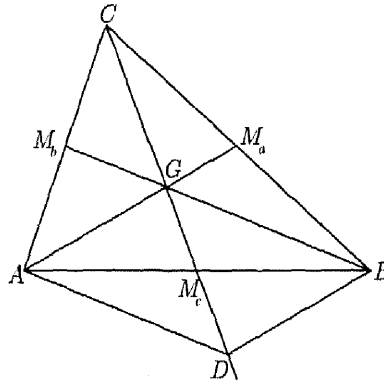




$CM_a$  لنحصل على النقطة  $B$  ، ثم نرسم  $\overline{AB}$  لتكمل المثلث المطلوب الذي هو  $.ABC$

الإنشاء رقم 43  $\{m_a, m_b, m_c\}$

لنفرض أن المثلث موجود بالفعل ، نمد  $\overline{GM_c}$  بقدر طوله ليصل للنقطة  $D$  ، ثم نرسم  $\overline{AD}, \overline{DB}$  ( انظر الشكل 9 - 15 ) فنحصل على متوازي الأضلاع  $ADBG$  ( لأن القطرين ينصف كل منهما الآخر ) ، ولكن  $GD = 2(GM_c) = \frac{2}{3}m_c$  ،  $AD = BG = \frac{2}{3}m_b$  ،  $AG = \frac{2}{3}m_a$  ، إذن ، أضلاع  $\triangle ADG$  تساوي على الترتيب ثلثي أطوال المتوسطات المعطاة. والآن يكون الإنشاء كالتالي.

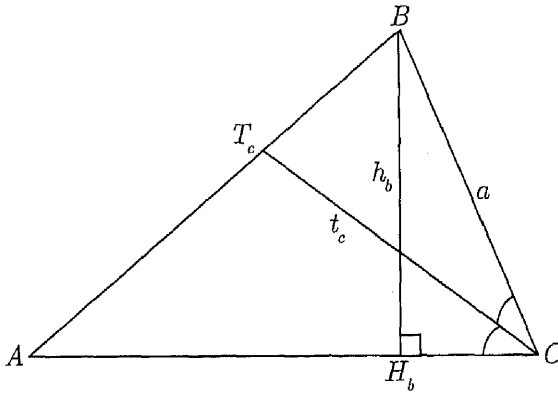


شكل 9 - 15

أنشئ قطعاً مستقيمة أطوالها تساوي ثلثي أطوال المتوسطات المعطاة ، ومن هذه القطع أنشئ  $\triangle ADG$  ، والذي أطوال أضلاعه  $AD = \frac{2}{3}m_b$  ،  $DG = \frac{2}{3}m_c$  ،  $GA = \frac{2}{3}m_a$  ، اعتبر منتصف  $DG$  هي النقطة  $M'_c$  ، ثم مد  $\overline{AM'_c}$  بقدر طوله ليصل للنقطة  $B$  ، وهي رأس من رؤوس المثلث المطلوب. وأخيراً ، مد  $\overline{DG}$  بقدر طوله ليحدد الرأس الثالثة من المثلث المطلوب وهي  $C$  ، وعليه نصل  $AC, BC$  ، فيظهر لنا الحل.

الإنشاء رقم 56  $\{a, h_b, t_c\}$ .

لنفرض أن المثلث موجود بالفعل، إذن المثلث القائم  $CBH_b$  يمكن تعيينه لأننا نعلم وتره  $a$  وطول ضلع القائمة  $h_b$ ، ولكننا أيضاً في هذا المثلث القائم نعلم  $\angle BCH_b$  والتي هي أيضاً زاوية المثلث المطلوب  $ABC$ . وعليه يكون الإنشاء كالتالي.  
على أي خط مستقيم، اختر النقطة  $H_b$ ، ثم أقم منها عموداً بحيث  $H_bB = h_b$  ( انظر الشكل 16-9 ). ارسم القوس  $(B, a)$  الذي يقطع الخط الرئيسي عند النقطة  $C$ ، ثم ارسم  $\overline{BC}$  ونصف  $\angle BCH_b$ . وعلى هذا المنصف نأخذ  $CT_c = t_c$ . وأخيراً، تكون الرأس  $A$  نقطة تقاطع  $\overrightarrow{BT_c}, \overrightarrow{CH_b}$ . وعلى ذلك يكتمل لدينا المثلث المطلوب الذي هو  $ABC$ .



شكل 16-9

الإنشاء رقم 63  $\{h_a, h_b, t_c\}$ .

لنفرض أن المثلث موجود بالفعل، ومن  $T_c$  نرسم  $\overline{T_cY}$  على  $\overline{BC}$  يقطعه في  $Y$  ( انظر الشكل 17-9 ). ولأن منتصف الزاوية يقسم الضلع المقابل لها إلى جزأين

يتناسبان مع ضلعي الزاوية، فإن  $\frac{AT_c}{T_cB} = \frac{b}{a}$ ، وكما عرضنا سابقاً فإن أطوال أضلاع

المثلث تتناسب عكسياً مع أطوال ارتفاعات المثلث المتناظرة، إذن  $\frac{b}{a} = \frac{h_a}{h_b}$ ، ومن

ذلك نستنتج أن  $\frac{AT_c}{T_cB} = \frac{h_a}{h_b}$ ، ويمكننا من التناسب السابق أن نحصل على:

$$\frac{h_a + h_b}{h_b} = \frac{AT_c + T_cB}{T_cB} = \frac{AB}{T_cB}$$

من المثلثين القائمين  $BAH_a, BT_cY$  لدينا:

$$\frac{AB}{T_cB} = \frac{AH_a}{T_cY} = \frac{h_a}{T_cY}$$

ومن ذلك نحصل على:

$$\frac{h_a + h_b}{h_b} = \frac{h_a}{T_cY}$$

نلاحظ في التناسب الأخير أننا إذا علمنا مقدار  $T_cY$  نحصل على الإنشاء لأن

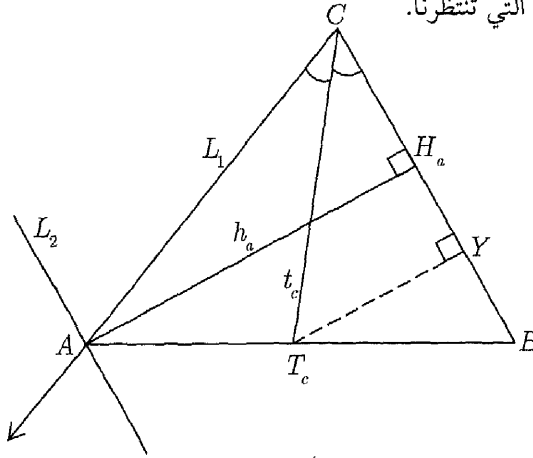
بقية المقادير معطاة.

وعليه سيبدأ العمل بإيجاد القطعة المستقيمة  $\overline{T_cY}$  من القيم المعطاة أصلاً في المسألة،  
 $CT_c = t_c$ ، ثم نرسم المثلث القائم الزاوية  $CYT_c$  بمعلومية وتره  $CT_c = t_c$ ،  
 $h_a, h_b, h_c$ ، وضمعه  $\overline{T_cY}$ ، ولكن هذا المثلث القائم يحتوي على  $\angle YCT_c$ ، والتي هي نصف  
قياس  $\angle BCA$  التي هي إحدى زوايا المثلث المطلوب. وإذا أخذنا صورة  $\angle YCT_c$   
بالانعكاس حول  $\overline{T_cC}$ ، فإن  $\overline{CA}$  هو المحل الهندسي  $L_1$  للرأس  $A$ ، ولكن لأن هذه  
الرأس أيضاً على بعد  $h_a$  من الضلع المقابل، فإن محلاً هندسياً آخر للرأس  $A$  هو  
 $L_2$ ، الخط المستقيم الذي يوازي  $\overline{CY}$  ويبعد عنه المسافة  $h_a$ . وهذان المحلان الهندسيان

يتقاطعان في النقطة  $A$  ، وفي النهاية  $\overrightarrow{AT_c}$  ،  $\overrightarrow{CY}$  يتقاطعان في النقطة  $B$  والتي تمثل الرأس الثالثة للمثلث المطلوب  $ABC$ .

### المناقشة

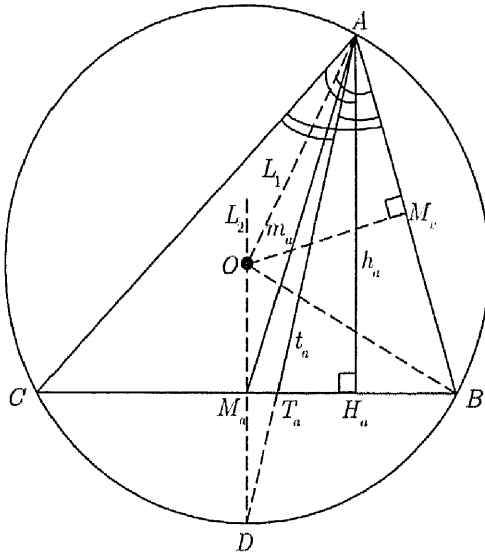
لقد حصلنا على الحل بواسطة التحليل الجبري والذي يبعد كثيراً عن دراستنا. بالطبع، من الضروري أن نعرف العلاقات الهندسية التي قادتنا للتناسب. ولعلك تلاحظ أن الإنشاءات الأخيرة استندت على علاقات هندسية كثيرة غير مألوفة، ولذا أنت مدعو لتوسيع وتعميق معارفك الهندسية وذلك إن كنت ستغامر بالدخول في المياه الهائجة التي تنتظرنا.



شكل 17-9

الإنشاء رقم 74  $\{h_a, m_a, t_a\}$ .

نفرض كالعادة أن المثلث موجود بالفعل. المثلثان القائمان  $AH_cT_c$ ،  $AH_aM_a$  كلاهما يمكن تعيينه بمعرفة الوتر وأحد ضلعي القائمة، ونرسم كذلك الدائرة المحيطة بالمثلث المطلوب  $ABC$  بنصفي قطريها  $OA$ ،  $OM_aD$  (انظر الشكل 18-9)، ثم بعد ذلك، لثبت نظرية بسيطة مهمة ستساعدنا في عملنا هنا.



شكل 9-18

منصف زاوية رأس المثلث ينصف أيضا الزاوية التي ضلعاها ارتفاع المثلث من نفس الرأس، ونصف قطر الدائرة المحيطة بالمثلث الواصل من مركزها إلى نفس الرأس.

نظرية: 9-1

البرهان

العمود الخارج من مركز الدائرة المحيطة  $O$  إلى  $\overline{AB}$  يلاقي  $\overline{AB}$  في  $M_c$ ، والتي هي منتصف  $\overline{AB}$ . ولأن الزاوية المركزية  $AOB$  والزاوية المحيطة  $ACB$  يشتركان في قوس واحد، فإن:

$$\gamma = \frac{1}{2}m\angle AOB = m\angle AOM_c$$

وفي المثلثين القائمين  $ACH_n$ ،  $OAM_c$  لدينا:

$$m\angle CAH_a = m\angle OAM_c = \gamma \text{ متممة}$$

ولكن لأن  $\overline{AT_a}$  ينصف  $\angle BAC$  ، أي أن  $m\angle BAT_a = m\angle CAT_a$  ، وبالطرح نحصل على:

$$m\angle OAT_a = m\angle H_aAT_a$$

إذن  $\overline{AT_a}$  لا ينصف فقط  $\angle ABC$  ولكنه ينصف أيضاً  $\angle H_aAO$ .

ونفس الشكل 18-9 يقودنا لاستنتاج آخر مفيد نصوغه في النظرية التالية :

منصف زاوية رأس المثلث يلاقي العمود المنصف للضلع المقابل لهذه الزاوية في نقطة تقع على الدائرة المحيطة بالمثلث.

### نظرية 2-9

#### البرهان

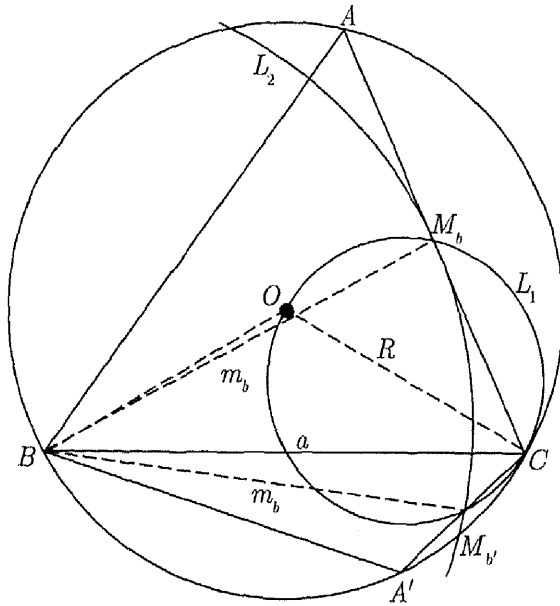
هدفنا هو إثبات أن  $\overline{OM_a}, \overline{AT_a}$  يتلاقيان على الدائرة المحيطة بالمثلث عند النقطة  $D$  ( انظر الشكل 18-9 ). وهذا الهدف يتحقق مباشرة ، حيث إن كلا من المستقيمين ينصف  $\widehat{AB}$ .

بالعودة إلى الإنشاء المطلوب ، نجد أنه في ضوء هاتين النظريتين. ننشئ المثلثين القائمين  $H_aAT_a$  ،  $AH_aM_a$  ، ثم نضع  $\angle H_aAT_a$  حول  $\overline{AT_a}$  لنحصل على المحل الهندسي الأول  $L_1$  ، لمركز الدائرة المحيطة  $O$  ( $\overline{AT_a}$  ينصف  $\angle H_aAO$ ). أما المحل الهندسي الثاني الخاص بالدائرة  $O$  ، فهو العمود  $L_2$  على  $\overline{H_aM_a}$  عند النقطة  $M_a$  ، وأخيراً ، الدائرة  $(O, OA)$  ستلاقي  $\overline{H_aM_a}$  عند  $B, C$  ، الرأسين المتبقيتين للمثلث المطلوب  $ABC$ .

#### الإنشاء رقم 99 $\{a, m_b, R\}$ .

لننشئ المثلث المتطابق الضلعين  $OBC$  ، والمعلوم أضلاعه كالتالي :  $BC = a, OB = OC = R$  ( انظر الشكل 19-9 ). إذن ؛ الدائرة  $(O, R)$  هي محل

هندسي للرأس الثالثة من المثلث المطلوب  $ABC$ . ولكن لأن  $M_b$  منتصف  $\overline{AC}$ ، فإن أحد المحال الهندسية للنقطة  $M_b$  هو الدائرة  $L_1$ ، والتي قطرها  $\overline{OC}$ . ولأن  $M_b$  على بعد معلوم قدره  $m_b$  من الرأس  $B$ ؛ فإن محلاً هندسياً آخر سيظهر للنقطة  $M_b$  هو  $L_2$ ، الدائرة  $(B, m_b)$ ، والتي تتقاطع مع  $L_1$  عند النقطتين  $M_b, M_{b'}$ . إذن  $\overline{CM_b}, \overline{CM_{b'}}$  يلاقيان الدائرة المحيطة  $(O, R)$  عند الرأس الثالثة  $A, A'$  للمثلث المطلوب  $ABC, A'BC$

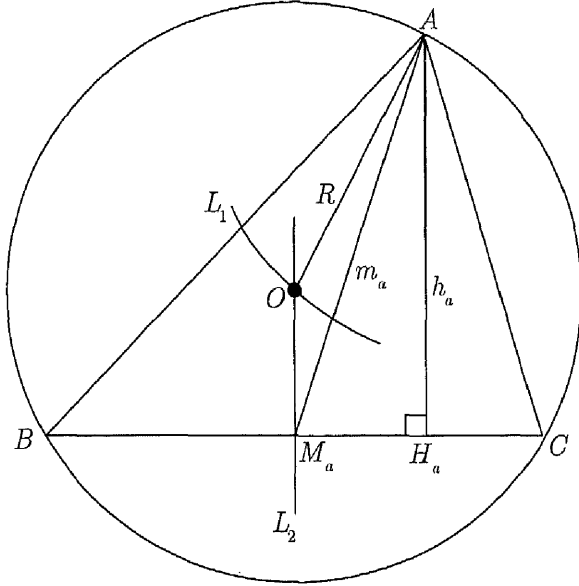


شكل 19 - 9

في الحالة السابقة، أعطتنا المعطيات الواردة حلين مختلفين. وبالطبع، فالأطوال المعطاة قد لا تعطينا محال هندسية تتقاطع مع بعضها البعض مما يؤكد أن بعض الحالات ليس لها حل.



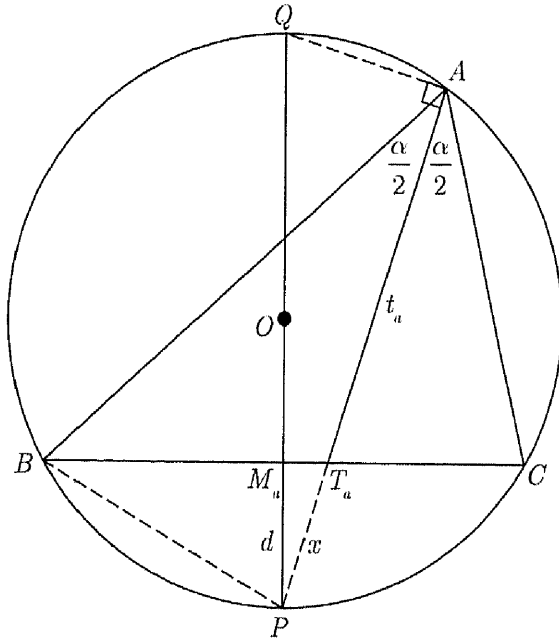
الإنشاء رقم 102  $\{h_a, m_a, R\}$ .



شكل 20 - 9

لنفرض أن المثلث موجود بالفعل، وعليه ففي المثلث القائم  $AH_aM_a$ ، نعلم طول الوتر  $AM_a = m_a$ ، وطول ضلع القائمة  $AH_a = h_a$ ؛ لذا فهذا المثلث يمكن تحديده. كذلك، يمكننا إيجاد مركز الدائرة المحيطة بالمثلث لأنه يقع على المنصف العمودي للضلع  $BC$ ، والذي بدوره عمودي على  $\overline{M_aH_a}$  عند النقطة  $M_a$ ، وبالطبع يقع هذا المركز على بعد معلوم  $R$  من الرأس  $A$ . وبالتالي يكون الإنشاء، برسم المثلث القائم الزاوية  $AH_aM_a$ ، المعلوم طول وتره  $AM_a = m_a$ ، وطول ضلع القائمة فيه  $AH_a = h_a$  (انظر الشكل 20 - 9). إذن أحد المحال الهندسية لمركز

الدائرة المحيطة  $O$  هو  $L_1$  ، الدائرة  $(A, R)$  ، وهناك محل هندسي آخر للنقطة  $O$  هو  $L_2$  ، العمودي على  $\overline{M_n H_n}$  عند النقطة  $M_n$  . هذه المحال الهندسية تتقاطع في مركز الدائرة المحيطة  $O$  . وأخيراً ستقطع  $(O, R)$  المستقيم  $\overline{M_n H_n}$  عند النقاط  $B, C$  واللتين هما الرأسان الباقيتان لنحصل على المثلث المطلوب  $ABC$  .  
 الإنشاء رقم 105  $\{a, t_n, R\}$  .



شكل 21 - 9

لنفرض أن المثلث المطلوب  $ABC$  موجود بالفعل ، وكذلك دائرته المحيطة  $(O, R)$  التي قطرها العمودي ينصف  $BC$  ويقطعها في النقطة  $M_n$  ويلاقى الدائرة عند  $P, Q$  كما في الشكل 21 - 9 . منصف الزاوية  $BAC$  ،  $AT_n$  سيلاقي الدائرة أيضاً

عند  $P$ . وكما أشرنا في الإنشاء رقم 74، النقطة  $P$  هي منتصف  $\widehat{BPC}$ ، إذن  $\angle QAP$  قائمة لأنها زاوية محيطية منشأة في نصف دائرة، والمثلثان  $PAQ, PM_n T_n$  متشابهان حيث إنهما يشتركان في  $\angle APQ$ ، وهذه العلاقة تعطينا التناسب  $\frac{PT_n}{PM_n} = \frac{PQ}{PA}$ .

وكما هو مبين في الشكل 21-9، يمكننا استخدام الأطوال الموضحة لنحصل على نفس

$$\frac{x}{d} = \frac{2R}{x + t_n} \text{ : التناسب ولكن على الصورة:}$$

لأن  $\overline{PQ}$  قطر للدائرة المحيطة، فطوله  $2R$  من المعطيات، وكذلك  $t_n$  معطى. أما

الطول  $d$  فيمكننا بسهولة العثور عليه حسب الصيغة  $d = R - \sqrt{R^2 - \frac{a^2}{4}}$ ، بمساعدة

رسم الوتر الذي طوله  $a$  في الدائرة المحيطة، وذلك لأن  $d$  هي المسافة بين من منتصف

الوتر ومنتصف القوس المقابل له. (هل لك أن تثبت أن  $d = R - \sqrt{R^2 - \frac{a^2}{4}}$ .)

إذن من التناسب الأخير نستطيع الحصول على المعادلة  $x(x + t_n) = d(2R)$

والتي تحتوى على الطول  $x$ ، والأطوال المعطاة  $2R, t_n, d$ . والآن، سنعمل على الحل

الهندسي للمعادلة التي على الصورة  $x(x + u) = vw$  حيث  $u, v, w$  أطوال

معلومة. على أي مستقيم أنشئ  $\overline{JK}$  التي طولها  $v$ ،  $\overline{JL}$  التي طولها  $w$ ، ثم أخيراً،

ارسم  $\overline{LM}$  التي طولها  $u$  في أي اتجاه، ثم أنشئ الدائرة  $\pi_1$  (انظر الشكل

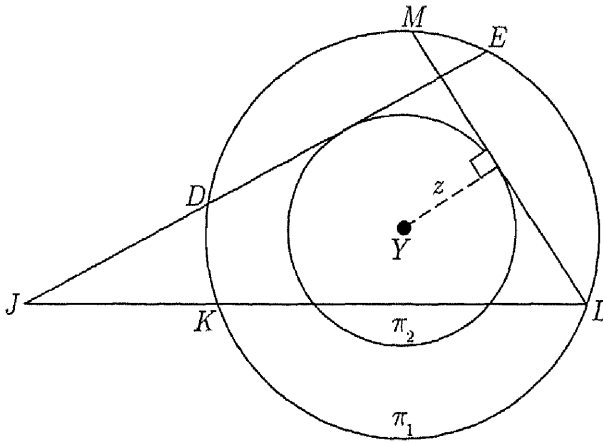
22-9). أوجد المسافة ذات الطول  $z$  من مركز الدائرة حتى منتصف  $\overline{LM}$ ، ثم

ارسم الدائرة  $(Y, z)$  وسمها  $\pi_2$  وارسم لها مماساً من النقطة الخارجية  $J$  ليقطع

الدائرة  $\pi_1$  عند النقطتين  $D, E$ . من الإنشاء، الوتران  $\overline{DE}, \overline{LM}$  لهما نفس البعد عن

المركز  $Y$ ، وبالتالي  $DE = ML$ .

وأخيراً، لأن  $JD \cdot JE = JK \cdot JL$  ، أي أن  $JD \cdot (JD + DE) = JK \cdot JL$  ، وبالتالي المعادلة المطلوبة  $x(x+u) = vw$  ، إذن ؛  $JD = x$  ، ولوضع هذه الخطوات معاً لإنشائنا الأصلي، سنبدأ برسم الدائرة المحيطة  $(O, R)$  ، ونضع فيها الوتر



شكل 22 - 9

$\overline{BC}$  والذي طوله  $a$ . العمود النصف للوتر  $BC$  سيعطينا  $PM_n = d$  ،  
 $2R = PQ$  للخطوات في الإنشاء القادم الذي سيكون على شكل منفصل.  
 فعلى أي مستقيم، ارسم  $JK = PM_n = d$  ، و  $JL = PQ = 2R$  . وفي  
 أي اتجاه، ارسم من  $L$   $\overline{LM}$  التي طولها  $t$  . ارسم الدائرة المحيطة بالمثلث  $KLM$  ،  
 ثم العمود من مركزها إلى  $\overline{LM}$  . ثم ارسم الدائرة  $\pi_2$  المتحدة المركز مع الدائرة  $\pi_1$   
 وتمس  $\overline{LM}$  . وكما في الفصل الأول من الكتاب، نرسم المماس  $\overline{JDE}$  للدائرة  $\pi_2$  ،  
 وبما قدمناه سابقاً من أن  $JD = x$  ، وبالعودة للشكل الأول، ارسم الدائرة  $(P, x)$

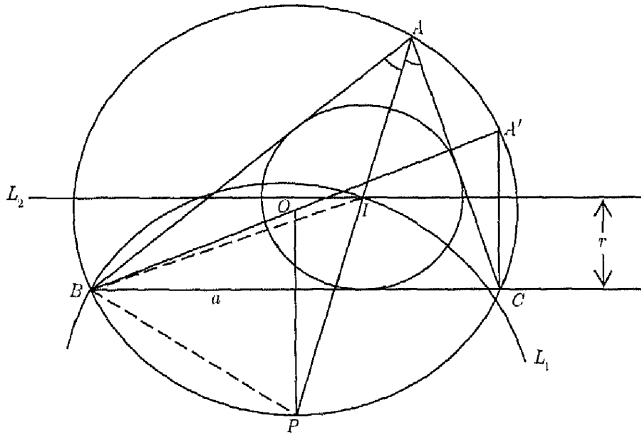
لتقطع  $\overline{BC}$  في  $T_1$  ، وأخيراً سيلاقي  $\overline{PT_1}$  الدائرة المحيطة في النقطة  $A$  التي هي الرأس الثالثة من المثلث المطلوب  $ABC$  .

### المناقشة

لقد استخدمنا هنا الكثير من المفاهيم الجبرية والهندسية الجيدة وتركنا بعض التفاصيل والتعليقات ، ولا يفوتنا أن نشير إلى أنه في الشكل الأصلي ، النقاط الأربع  $A, Q, M_1, T_1$  تقع جميعاً على دائرة واحدة ( قطرها  $QT_1$  ) لأن كلاً من  $\angle T_1 A Q, \angle T_1 M_1 Q$  زاويتان قائمتان. ●

الإششاء رقم 115  $\{a, \alpha, r\}$  .

هذا الحل يقودنا أيضاً لبعض العلاقات الهندسية الشيقة التي قد تكون غير مألوفة لدى القارئ. لنفرض كالمعتاد أن المثلث المطلوب موجود بالفعل. نعلم أن منتصف  $\angle BAC$  يمر بمركز الدائرة الداخلية  $I$  للمثلث وكذلك نقطة المنتصف  $P$  للقوس المقابل  $BPC$  في الدائرة المحيطة بالمثلث ( انظر الشكل 23 - 9 )



شكل 23 - 9

لأن  $\angle BCA, \angle BPI$  تحصران  $\widehat{AB}$ ؛ إذن

$$m\angle BCA = m\angle BPI = \gamma$$

وأيضاً، لأن كلاً من  $\overline{BI}, \overline{AI}$  منصفان لزاويتين من زوايا المثلث المطلوب  $ABC$ ؛ فلدينا

$$m\angle BPI = m\angle PBC + m\angle CBI = \frac{\alpha}{2} + \frac{\beta}{2}$$

ولأن  $\alpha + \beta + \gamma = 180^\circ$ ؛ إذن  $m\angle BIP = \frac{\alpha}{2} + \frac{\beta}{2}$ ، وعليه فإن

$\triangle BPI$  متطابق الضلعين حيث  $\overline{BP} \cong \overline{PI}$ ، ولكن  $\overline{BP}$  يمكن الحصول عليه من المعطيات؛ لأن  $a, \alpha$  كما أشرنا قبل ذلك في هذا الفصل يكفيان لتعيين الدائرة المحيطة، وإذا وضعنا الوتر المعلوم  $\overline{BC}$  في الدائرة المعلوم  $(O, OB)$ ، فيمكننا بسهولة رسم نصف القطر  $\overline{OP}$  الذي هو عمود منصف للوتر، ثم نرسم  $\overline{PB}$ . وبالتالي يكون لدينا محل هندسي أول  $L_1$  لمركز الدائرة الداخلية  $I$  وهو الدائرة  $(P, PB)$  المتاحة من خلال المعطيات.  $I$  لها محل هندسي آخر يمكننا استنتاجه من أن الدائرة الداخلية للمثلث تمس جميع أضلاع المثلث المطلوب من الداخل ومركز هذه الدائرة  $I$  يبعد مسافة قدرها  $r$  عن كل ضلع من أضلاعه، إذن المحل الهندسي الآخر هو المستقيم  $L_2$ ، والذي يوازي  $\overline{BC}$  ويبعد عنه من أعلى مسافة قدرها  $r$ . وعليه، وبعد هذا التحليل، يكون الإنشاء كالتالي.

ارسم المثلث القائم الزاوية  $BCA'$  بحيث  $BC = a$  وزاويته القائمة هي  $C$ ،  $m\angle CBA' = \alpha$  تساوي متممة  $\alpha$ ، ثم أنشئ الدائرة المحيطة بهذا المثلث. هذه الدائرة  $(O, OB)$  هي الدائرة المحيطة بالمثلث المطلوب لأن أي زاوية ستنشأ على  $\widehat{BA'C}$  سيكون لها القياس  $\alpha$ . ثم ارسم نصف القطر  $\overline{OP}$  عمودي على  $\overline{BC}$ ، وارسم الدائرة  $(P, PB)$  التي هي المحل الهندسي الأول  $L_1$  للمركز  $I$ . والآن لنرسم المحل

الهندسي الثاني  $L_2$ ، الذي يوازي  $\overline{BC}$  ويعلوه بمسافة قدرها  $r$ . هذان المحلان الهندسيان يلتقيان عند مركز الدائرة الداخلية  $I$ ؛ وبالتالي  $\overline{PI}$  يلاقي الدائرة المحيطة عند النقطة  $A$  التي هي الرأس الثالثة للمثلث المطلوب  $ABC$ .

### المناقشة

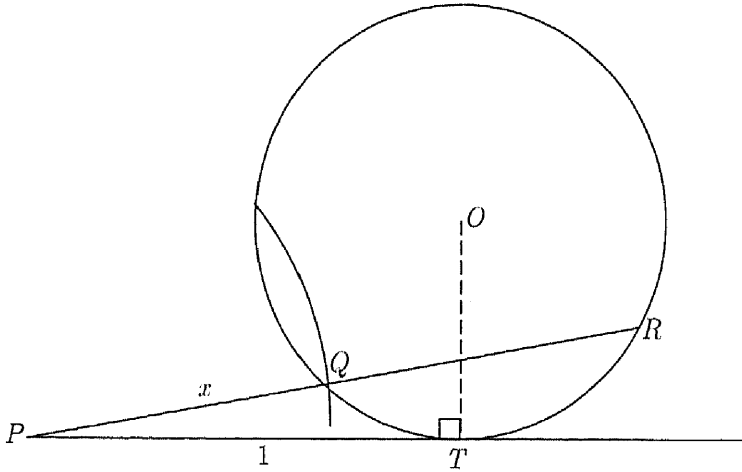
بالطبع  $L_1, L_2$  يجب أن يلتقيا إذا كان لـ  $I$  وجود، وإذا التقيا مرة فقد يلتقيان مرة أخرى. وسنترك للقارئ المجال لمزيد من المناقشة حول عدد وطبيعة الحلول. ●

الإشياء رقم 122  $\{h_a, h_b, r\}$ .

لن نقوم بحل هذه المسألة بشكل كامل هنا وبدلاً من ذلك سوف نشير إلى كيف نحولها إلى مسألة قد قمنا بحلها بالفعل، وبداية لنسترجع النظرية 13 - 7 التي تنص على أن:

$$\frac{1}{r} = \frac{1}{h_a} + \frac{1}{h_b} + \frac{1}{h_c}$$

وبالتعامل جبرياً مع هذه المعادلة التي تحتوي على أربعة مجاهيل، نجد أننا في حالة معرفتنا ثلاثة منها، فيمكننا الحصول على المجهول الرابع. ولأن مسألتنا تبدأ بمعرفتنا لكل من  $h_a, h_b, r$ ، فبالتالي نستطيع الحصول على  $h_c$ ، وهذا يحيلنا إلى الإنشاء رقم 16، والذي ينشئ مثلثاً بمعلومية ارتفاعاته الثلاثة.



شكل 24 - 9

ولكن يظل هناك سؤال حول إنشاء معكوس أي طول  $x$ . وللإجابة عن هذا السؤال دعونا نأخذ القطعة  $PT$  طولها الوحدة ونمس أي دائرة عند النقطة  $T$  ( انظر الشكل 24 - 9 ). ثم نرسم دائرة أخرى  $(P, x)$  تقطع الأولى في النقطة  $Q$  ، كما نرسم  $\overline{PQ}$  يقطعها أيضا في النقطة  $R$  . ولأن :

$$PQ \cdot PR = PT^2 = 1$$

فإن هذا يتطلب أن يكون  $PQ, PR$  كل منهما معكوسا للآخر. وإذا كانت  $(P, x)$  لا تقطع الدائرة الأولى فما عليك سوى أخذ أكبر دائرة ممكنة تمس  $PT$  عند النقطة  $T$  وتكمل كما سبق.

أما الحل الفعلي لهذا الإنشاء فسنشير إليه هنا ولن نكملة كما ذكرنا سابقاً. وسنستخدم الإنشاء العكسي للحصول على معكوس كل  $h_a, h_b, r$ . وبالطرح سنحصل على معكوس  $h_c$  :



$$\frac{1}{h_c} = \frac{1}{r} - \frac{1}{h_a} - \frac{1}{h_b}$$

ثم أوجد معكوس هذا المعكوس للحصول  $h_c$  نفسها . ثم نعود للإنشاء رقم 16 والذي نفذناه سابقاً في صفحة 271 .

الإنشاء رقم 150  $\{\alpha, h_a, s\}$  .

لنفرض أن المثلث المطلوب إنشاؤه موجود بالفعل. لتأخذ على  $\overline{BC}$  كلاً من  $\overline{PBCQ}$   $CQ = CA = b$  ،  $BP = BA = c$  ( انظر الشكل 25 - 9 ) . إذن طول  $\overline{PBCQ}$  يساوي  $a + b + c = 2s$  وهذا الناتج معلوم من المعطيات. في المثلث المتطابق الضلعين  $BPA$  ، قياس كل زاوية من زاويتي قاعدته المتطابقتين يساوي نصف قياس الزاوية الخارجة عند الرأس  $B$  ، أي أن  $m\angle PAB = \frac{1}{2}\beta$  .

وبالمثل  $m\angle QAC = \frac{1}{2}\gamma$  . وعليه يكون لدينا عند الرأس  $A$  :

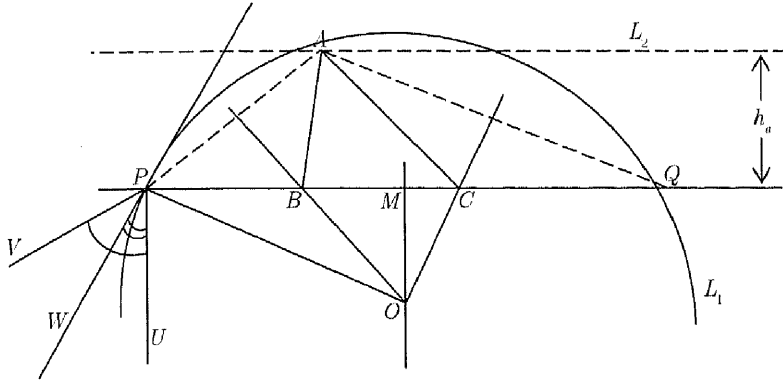
$$m\angle PAQ = \frac{1}{2}\beta + \alpha + \frac{1}{2}\gamma = \left( \frac{1}{2}\beta + \frac{1}{2}\alpha + \frac{1}{2}\gamma \right) + \frac{1}{2}\alpha = 90^\circ + \frac{1}{2}\alpha$$

إذن  $m\angle PAQ$  هي أيضاً معلومة لأنها جاءت بدلالة المعطيات الأصلية في المسألة .

على القطعة المألومة  $\overline{PQ}$  ، النقطة  $A$  تقابل الزاوية المألومة  $90^\circ + \frac{1}{2}\alpha$  ،

وبالتالي  $L_1$  محل هندسي لها والذي هو قوس دائري معلوم ، و  $L_2$  هو المحل الهندسي الآخر لنفس النقطة  $A$  والذي يوازي  $\overline{BC}$  ويقع فوقها بمسافة قدرها  $h_a$  . والآن لنبدأ إنشاء المثلث المطلوب ، وأولى خطواتنا لذلك هي إيجاد  $L_1$  .





شكل 26 - 9

لقد قمنا بحل عدد قليل من تلك القائمة التي تضم .. مشكلة ، ولكننا ، وكما نأمل ، اخترنا منها نماذج تقدم لنا مادة هندسية شيقة. ونحن نحث القارئ على استكشاف هذه المنطقة بكل تفاصيلها لأنه سوف يجد مادة ثرية شيقة ترضي طموحه.

### تدريبات

1. بالعودة للإنشاء رقم 20 ( الشكل 9 - 12 ) . هل نستطيع أن نأخذ  $M_b$  كنقطة تقاطع أخرى للمحلين الهندسيين ؟ وضع إجابتك.
2. بالعودة للإنشاء رقم 29 ( الشكل 9 - 13 ) . القوس  $(C, 2m_c)$  ربما يقطع  $\overline{BD}$  في نقطة أخرى  $D'$  . ناقش الإنشاء والحل الذي ستحصل عليه.
3. بالعودة للإنشاء رقم 29 ( الشكل 9 - 13 ) . إذا كان طول  $a$  يساوي 10 سم ، فما هو الطول الممكن للارتفاع  $h_b$  ؟ وللمتوسط  $m_c$  ؟ موضحاً إجابتك.
4. بالعودة للإنشاء رقم 35 ( الشكل 9 - 14 ) . تحت أي شروط  $\overline{AK}, \overline{H_a M_a}$  لا يلتقيان ؟ ثم وضع كيف يتأثر حلنا في هذه الحالة.

5. بالعودة للإنشاء رقم 35 ( الشكل 14 - 9 ). نفرض أننا أخذنا  $K, H_n$  في نفس الاتجاه من  $\overline{AM_n}$  بدلاً من جهتين مختلفتين منها كما بالشكل. أكمل الشكل الجديد وناقش النتائج.
6. بالعودة للإنشاء رقم 35 ( الشكل 14 - 9 ). إذا كان :  $m_n = 10$  ، ناقش الطول الممكن لكل من  $h_n, h_n$  لأي حل أو لأي عدد من الحلول.
7. بالعودة للإنشاء رقم 43 ( الشكل 15 - 9 ). ما الشروط التي يجب أن تكون عليها الأطوال  $m_n, m_n, m_n$  لنحصل على حل.
8. بالعودة للإنشاء رقم 43 ( الشكل 15 - 9 ). ما النتائج إذا تساوي طولاً متوسطين أو أطوال المتوسطات الثلاثة في المثلث.
9. بالعودة للإنشاء رقم 56 ( الشكل 16 - 9 ). ما الشروط التي تقع على كل من  $a, h_n$  لتجعل من المستحيل إنشاء المثلث القائم  $BCH_n$ .
10. بالعودة للإنشاء رقم 56 ( الشكل 16 - 9 ). ما هو طول منتصف الزاوية  $\overline{CT_n}$  الذي من شأنه أن يجعل من المستحيل على  $\overline{BT_n}, \overline{CH_n}$  أن يتقاطعا.
11. بالعودة للإنشاء رقم 74 ( الشكل 18 - 9 ). ناقش الحالات التي لا يوجد فيها أي مساواة بين الأطوال الثلاثة المعطاة.
12. بالعودة للإنشاء رقم 74 ( الشكل 18 - 9 ). أخذنا  $M_n, T_n$  في نفس الاتجاه بالنسبة للنقطة  $H_n$ . ناقش النتائج التي تترتب على وقوع  $M_n, T_n$  بين  $M_n, T_n$ .
13. بالعودة للإنشاء رقم 74 ( الشكل 18 - 9 ). تحت أي شروط لا تلاقي الدائرة  $(O, OA)$  المستقيم  $\overline{H_n M_n}$  ؟
14. بالعودة للإنشاء رقم 99 ( الشكل 19 - 9 ). ناقش إمكانية وعدد الحلول للاختيارات المختلفة للأطوال المعطاة  $\{a, m_n, R\}$ .
15. في الإنشاء 99. قرر ما إذا كان يمكن التوصل إلى الشروط الكافية واللازمة التالية لأي

حل

$$\sqrt{R^2 + 2a^2} - R \leq 2m_b \leq \sqrt{R^2 + 2a^2} + R$$

16. بالعودة للإنشاء رقم 102 ( الشكل 20 - 9 ). تحت أي شروط يكون من المستحيل

رسم المثلث القائم الأول  $AH_aM_a$  ؟

17. بالعودة للإنشاء رقم 102 ( الشكل 20 - 9 ). تحت أي شروط لا يتقاطع المحلان

الهندسيان  $L_1, L_2$  .

18. بالعودة للإنشاء رقم 102 ( الشكل 20 - 9 ). المحلان الهندسيان  $L_1, L_2$  يحتمل أن

يتقاطعا مرتين عند  $O$  كما يظهر بالشكل،  $O'$  والتي لا تظهر. ناقش هذا الاحتمال .

19. بالعودة للإنشاء رقم 102 ( الشكل 20 - 9 ). إذا كان لدينا نقطة التقاطع  $O$ ، فمتى

نفشل في الحصول على الرأسين  $B, C$  ؟ وضح إحابتك.

تمرينا الأخير في هذا الفصل هو الأصعب والأهم.

20. أكمل حلول أكبر عدد ممكن من المشكلات الواردة في القائمة التي تحتوى على 179

مشكلة في الصفحات 265 - 267. وناقش في كل مشكلة الشروط وإمكانية وجود الحل

والعلاقات بين الشروط وطبيعة وعدد الحلول .

## إنشاءات الدائرة

### مقدمة

في هذا الفصل، سنستقصي تفاصيل الحلول التي تنطوي على إنشاءات الدائرة التي تناسب شروطاً مفترضة. ففي حالة المسألة الخاصة بإنشاء دائرة تمر بالرؤوس الثلاثة لمثلث التي تسمى الدائرة المحيطة بالمثلث المعطى، ويكون حلها - كما نعلم - وحيداً، أي أن الدائرة الناتجة وحيدة، مركزها  $O$  هو نقطة تقاطع الأعمدة المنصفة لأضلاع المثلث، أي أن الدائرة المطلوبة مركزها  $O$  ونصف قطرها  $OA$  (أو  $OB$  أو  $OC$ ). وأيضاً، كما ناقشنا سابقاً، فإن إنشاء الدائرة الداخلية لمثلث معطى، وهي الدائرة التي تمس أضلاع المثلث الثلاثة من الداخل هو إنشاء يقود إلى حل وحيد أيضاً. فمنصفات الزوايا الداخلية للمثلث تتقاطع جميعاً في مركز الدائرة الداخلية  $I$  ونصف قطرها هو المسافة العمودية بين  $I$  وأي ضلع من أضلاع المثلث الأصلي الثلاثة.

### مسألة أبولونيوس The Problem of Apollonius

كلتا المسألتين السابقتين تنطوي على إنشاء دائرة تمر بنقاط معلومة أو تمس مستقيماً أيضاً معلومة. ولعل التعميم الطبيعي لذلك هو مسألة تتحدث عن إنشاء

دائرة تمر بنقطة واحدة أو عدة نقاط (P) وتمس مستقيماً أو عدة مستقيمات (L)، وربما تمس أيضاً دائرة أو أكثر من دائرة (C).

هذه المسألة العامة يطلق عليها أحياناً "مسألة أبولونيوس"\* وهي تحلل إلى عشر

حالات هي:

1. PPP 3. PLL 5. PPC 7. LLC 9. LCC
2. PPL 4. LLL 6. PLC 8. PCC 10. CCC

وسوف نبحث كل حالة من تلك الإنشاءات كالتالي:

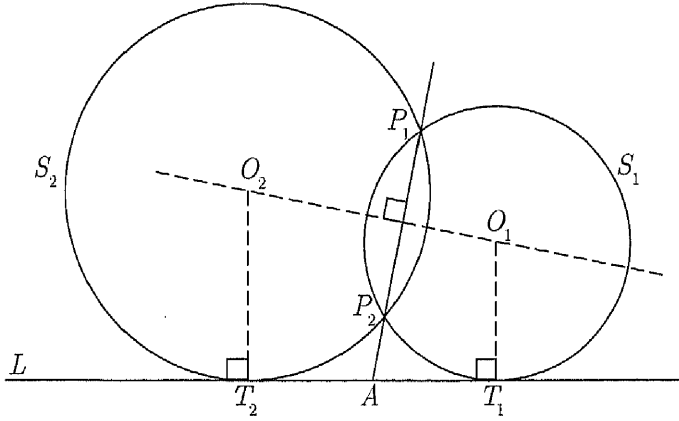
#### الإنشاء 1 : PPP

لقد ناقشنا تلك الحالة والتي نتحدث عن إنشاء دائرة تمر بثلاث نقاط، وذلك عندما أنشأنا دائرة تمر برؤوس مثلث، ولكن هناك حالة خاصة ينبغي الإشارة إليها، وهي عندما لا تشكل النقاط الثلاث مثلثاً، أي تكون على استقامة واحدة. وفي هذا الوضع تكون "الدائرة" الوحيدة التي تمر بتلك النقاط الثلاثة هي "دائرة" ذات نصف قطر غير منته، أي خط مستقيم.

\* عاش أبولونيوس في الفترة ما بين ٢٦٢-١٩٠ قبل الميلاد حيث ولد في مدينة يونانية صغيرة تقع جنوب آسيا الصغرى تدعى بيرجا. واكتسب أبولونيوس شهرته من أعماله ودراساته حول القطوع المخروطية، بالإضافة لعملة بشكل عام في الهندسة المخروطية. وقد ذكر بابوس Pappus أن هناك ستة أعمال هامة تنسب لأبولونيوس تشكل مجتمعة جزءاً من أهم أعماله وأكثرها قيمة. ولكن العمل الوحيد الذي تم إنقاذه بالفعل هو كتابان ( تمت كتابتهما أصلاً باللغة العربية ثم ترجمهما للاتينية آدموند هالي Edmund Hally في عام ١٧٠٦ م ) ( يتبع ← )  
عالج فيهما ما يسمى بمسائل تماس الدوائر والتي تعرف اليوم بمسائل أبولونيوس والتي سوف نقوم بدراستها خلال هذا الفصل. وقد أشار إقليدس Euclid في كتابه "العناصر" في الباب الرابع إلى أول حالتين منها. وأكمل أبولونيوس في كتابه الأول الحالات: ٣، ٤، ٥، ٦، ٨، ٩. وضمن في كتابه الثاني الحالتين: ٧، ١٠. وقد افتتن العديد من الرياضيين العظام السابقين أمثال نيوتن Newton، و فيتا Vieta بالحالة العاشرة. وقد بذل الكثيرون من الرياضيين جهداً عظيماً لإعادة بناء وترميم الكتب الأربعة الباقية لأبولونيوس.

الإنشاء 2 : PPL

إذا كان الحل متاحاً، فسوف نرى المستقيم الذي يحوي الوتر  $\overline{P_1P_2}$  يلاقي المستقيم المعطى عند النقطة  $A$ ، وهي النقطة الخارجية التي تقع على المماس ورسم منها القاطع إلى الدائرة ( انظر الشكل 1 - 10 ). ولكن نعلم أن طول المماس - في مثل هذه الحالة - هو الوسط المتناسب بين طول القاطع وطول الجزء الخارجي منه.



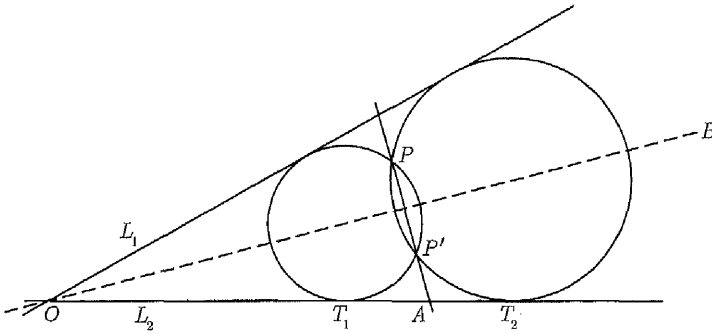
شكل 1 - 10

لنفرض أن  $\overline{P_1P_2}$  يقطع  $L$  في النقطة  $A$ . ثم نوجد بالإنشاء الطول  $AT_1 = AT_2 = t$  من معلومية الطولين  $AP_1, AP_2$ ، حيث  $T_1, T_2$  على  $L$  وعلى جهتين مختلفتين من  $A$ . إذن،  $T_1, T_2$  نقطتا التماس للدائرتين المطلوبتين على المستقيم  $L$  اللتين مركزاهما نقطتا تقاطع العمود المنصف للقطعة  $\overline{P_1P_2}$  والعمودين المقامين من  $T_1, T_2$ .



الإنشاء 3 : PLL

إذا كان الحل متاحاً، فإننا بشكل عام سنحصل على حلين لهذا الإنشاء يشتركان في النقطتين  $P, P'$ . وبالتأمل قليلاً حول وُضع هاتين النقطتين نجد أنهما متماثلتان حول منتصف الزاوية  $\overrightarrow{OB}$ . (انظر الشكل 2 - 10). هذا بالإضافة إلى أن المستقيم الحامل للوتر  $\overline{PP'}$  حتماً يقطع أحد ضلعي الزاوية وليكن  $L_2$  عند النقطة  $A$ . والآن، بالطبع يمكننا إيجاد  $\overrightarrow{OB}$ ، كمنصف للزاوية بين المستقيمين المعطيين  $L_1, L_2$ ، كما يمكننا أيضاً الحصول على  $P'$  حيث إنها صورة النقطة المعطاة  $P$  حول  $\overrightarrow{OB}$ . وعليه نكون قد حولنا الحالة PLL إلى الحالة التي ناقشناها سابقاً PPL.



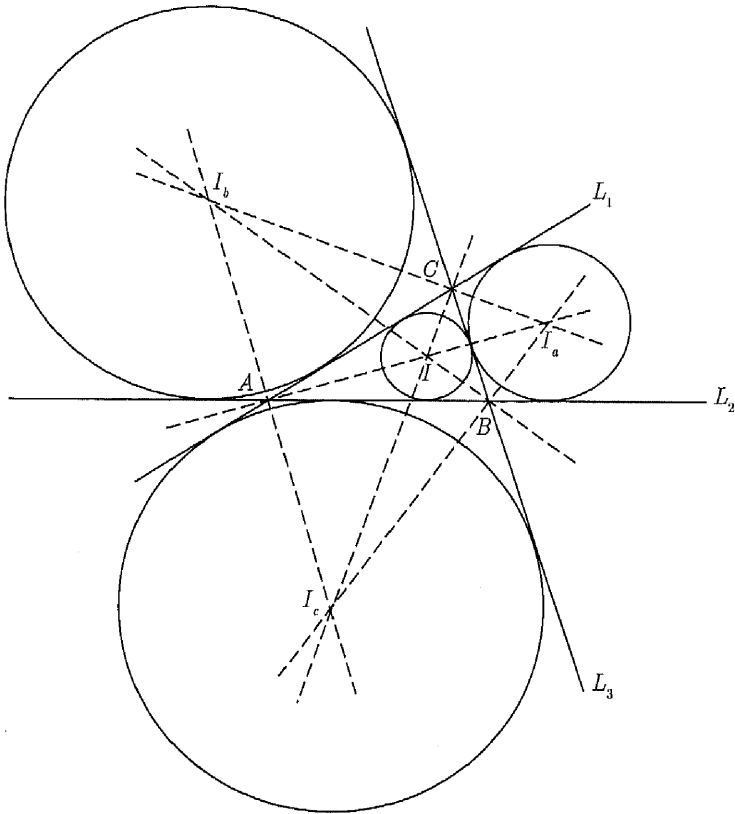
شكل 2 - 10

الإنشاء 4 : LLL

لقد ناقشنا قبل ذلك الدائرة الداخلية لمثلث ينتج من تقاطع ثلاثة مستقيمتان في ثلاث نقاط مختلفة  $A, B, C$ . (انظر الشكل 3 - 10). الإنشاء هنا مباشر. بما أن مركز

أي دائرة تمس ثلاثة مستقيمت يجب أن يقع على منصفات الزاوية التي تشكلها تلك المستقيمت. وبمجرد معرفة المراكز، فمن السهولة الحصول على أنصاف أقطار هذه الدوائر (كيف؟). وبعد ذلك نرسم الدوائر المطلوبة.

وعليك عزيزي القارئ أن تدرس هذا الشكل بعناية فهو يظهر لك بعض الخواص الرائعة التي نتحدث عن وقوع النقاط على استقامة واحدة والتعامد.



شكل 3 - 10

الإنشاء 5 : PPC

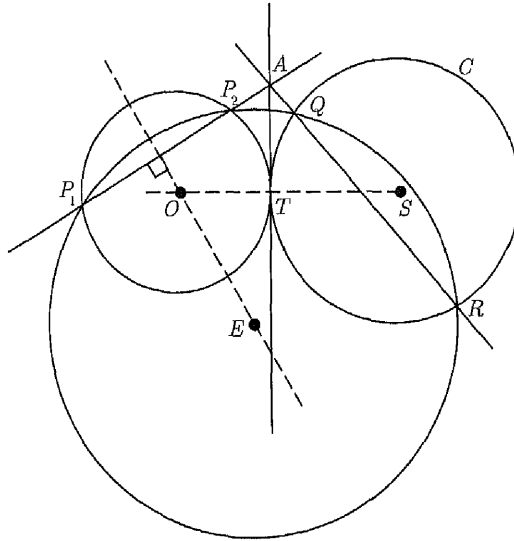
لنفرض أن حل هذا الإنشاء موجود. إذن ؛ ستتقاطع دائرتان في نقطة ولنكن  $T$  والتي عندها نستطيع رسم مماس مشترك للدائرتين. وإذا أخذنا من أي نقطة  $A$  تقع على هذا المماس المشترك، ورسمنا منها قاطعين أحدهما يقطع الدائرة المطلوبة في النقطتين  $P_1, P_2$ ، والآخر يقطع الدائرة المعطاة في  $Q, R$  ( انظر الشكل 4 - 10 )، فيكون لدينا:

$$AP_1 \cdot AP_2 = AT^2 = AR \cdot AQ$$

أي أن :

$$AP_1 \cdot AP_2 = AR \cdot AQ$$

إذن؛ النقاط  $P_1, P_2, Q, R$  هي رؤوس لشكل رباعي دائري ( انظر التدريب رقم 18 في نهاية هذا الفصل ). والآن بسهولة يمكن رسم دائرة تمر بالنقطتين  $P_1, P_2$  وتقطع الدائرة المعطاة  $C$ .



شكل 4 - 10

نبدأ الآن في خطوات الإنشاء. أولاً ارسم المنصف العمودي للقطعة  $\overline{P_1P_2}$  (الذي هو المحل الهندسي لكل مراكز الدوائر التي تمر بالنقطتين  $P_1, P_2$ ). واختر على هذا العمودي نقطة ولتكن  $E$ ، ثم ارسم الدائرة  $(E, EP_1)$  لتقطع الدائرة المعطاة  $C$  في  $Q, R$ ، وارسم أيضاً  $\overline{QR}$  ليقطع  $\overline{P_1P_2}$  في النقطة  $A$ . ومنها ارسم المماس  $\overline{AT}$  للدائرة المعطاة ثم ارسم  $\overline{ST}$  ليمر بمركز الدائرة المعطاة  $S$  والنقطة  $T$  ويقطع العمود المنصف للقطعة  $\overline{P_1P_2}$  عند النقطة  $O$  التي هي مركز الدائرة المعطاة (المماس  $\overline{AT}$  للدائرة المعطاة هو واحد من مماسين ممكنين، ناقش هذا الإنشاء مستخدماً المماس الآخر  $\overline{AT'}$  غير المرسوم في الشكل 4 - 10).

الإنشاء 6 : PLC

لنفرض أن الحل موجود لدينا. ويتمثل في الشكل 5 - 10 في الدائرة  $(E, EG)$  حيث تماس الدائرة المعطاة  $C$  عند النقطة  $T$  وتمس المستقيم المعطى  $L$  عند النقطة  $G$ ، وتمر في نفس الوقت بالنقطة المعطاة  $P$ . خط المركزين  $\overline{OE}$  يجب أن يمر بالنقطة  $T$  (لماذا ؟). والآن ارسم عموداً يمر بالمركز  $O$  إلى الخط المستقيم  $L$  ليقطع الدائرة المعطاة في النقطتين  $A, B$  اللتين هما نقطتا النهاية لقطر الدائرة المعطاة، ثم ارسم عموداً من المركز  $E$  إلى الخط المستقيم  $L$  ليلاقيه في النقطة  $G$  التي هي نقطة التماس (لماذا ؟). ثم ارسم كلاً من  $\overline{BT}, \overline{AT}, \overline{TG}$ ، وأخيراً ارسم  $\overline{AP}$  ليقطع الدائرة المطلوبة عند النقطة  $H$ . وبما أن  $\overline{OF}$  يوازي  $\overline{EG}$ ، وكلاً من المثلثين  $\overline{OAT}, \overline{TEG}$  متطابق الضلعين، فإن  $\angle AOT \cong \angle TEG$ . أيضاً، كلتا زاويتي القاعدة فيهما أيضاً متطابقتان، ومن ذلك نستنتج أن  $\angle OAT \cong \angle ETG$ . وبالتالي  $\overline{AT}, \overline{TG}$  تقعان على نفس الخط المستقيم، وكل من  $\angle BTG$ ،  $\angle BTA$  قائمة، ولأن  $\angle BFG$  هي الأخرى زاوية قائمة، فإن الشكل الرباعي  $BFGT$  دائري (نصف قطر دائرته

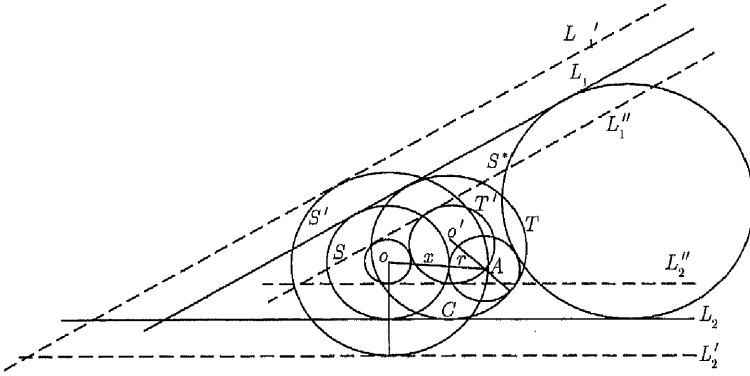


في  $C$  ،  $A, B$  . ثم نرسم  $\overline{AP}$  ومن العلاقة  $\frac{AP}{AF} = \frac{AB}{AH}$  نستطيع إنشاء  $\overline{AH}$  . الآن ،  
 نستطيع الحصول على الحل باستخدام النقاط  $P, H, L$  التي تماثل النقاط  $P_1, P_2, L$   
 في الإنشاء الثاني.

الإنشاء 7 : LLC

لنفرض كالعادة أن الدائرة المطلوبة  $S$  موجودة كما يظهر في الشكل 6 - 10 .  
 لأن الدائرة  $S$  تمس الدائرة المعطاة  $C$  ؛ لذا  $\overline{OA}$  الواصلة بين مركزيهما تساوي مجموع  
 نصفي قطري الدائرتين ، نصف قطر الدائرة المطلوبة ( $x$  مثلاً) ، ونصف القطر المعلوم  
 للدائرة المعطاة  $r$  . والآن ، لننشئ دائرة أخرى  $S'$  متحدة المركز مع الدائرة  $S$  ونصف  
 قطرها  $x + r$  ؛ وبالتالي تمر هذه الدائرة بمركز الدائرة المعطاة  $A$  وتمس المستقيمين  
 $L'_1, L'_2$  الذين يوازيان على الترتيب المستقيمين المعطيين  $L_1, L_2$  ويقعان خلفهما بمسافة  
 قدرها  $r$  . ولكن ، لأن هذه المستقيمتين يمكن إنشاؤها بسهولة فعليه يتحول هذا الإنشاء  
 إلى الإنشاء الثالث (PLL) على اعتبار أن المركز  $A$  للدائرة  $C$  هو النقطة  $P$   
 والمستقيمين  $L'_1, L'_2$  يوازيان المستقيمين المعلومين  $L_1, L_2$  والمسافة بينهما  $r$  .

وعلى ذلك يكون الحل - والمقصود به الدائرة  $S$  - لهذه المسألة سوف يعطينا  
 المركز المطلوب  $O$  . ونحن نعلم عموماً أن للإنشاء رقم 3 حلين ؛ ولذا سيكون لدينا  
 هنا أيضاً حلان هما  $S, S^*$  كما هو موضح في الشكل 6 - 10 .



شكل 6 - 10

يظل هناك احتمال آخر علينا التحقق منه : لنفرض أن الدائرة الحل  $T$  تماس الدائرة المعطاة من الداخل. وفي هذه الحالة طول خط المركزين للدائرتين  $T, C$  هو  $\overline{O'A}$  والذي يساوي الفرق بين نصفَي قطري هاتين الدائرتين وذلك بدلاً من المجموع كما سبق.

الآن سيكون لدينا دائرة مساعدة  $T'$  متحدة المركز مع الدائرة  $T$  وتقع داخلها ونصف قطرها  $x' - r$  وكذلك تمر بالمركز  $A$  للدائرة المعطاة  $C$  وتمس المستقيمين  $L_1'', L_2''$  اللذين يوازيان بدورهما المستقيمين المعطيين  $L_1, L_2$  على الترتيب، ولكن عليك أن تلاحظ أن المستقيمين  $L_1'', L_2''$  يقعان داخل الزاوية التي يشكلها المستقيمان المعطيان  $L_1, L_2$  وليس وراءهما كما سبق. وهكذا - مرة أخرى - نتجه لحل المسألة عن طريق تحويلها للحالة (PLL) بالمعطيات التالية : النقطة  $A$  والمستقيمان  $L_1'', L_2''$ . وهكذا يكون لدينا حلان لهذه الحالة أيضاً، ولكن لا يظهر على الشكل 6 - 10 إلا حل واحد هو الدائرة  $T$ .

الإنشاء 8 : PCC

لنفرض أن الدائرة المطلوبة  $S$  موجودة وتمس من الخارج الدائرتين المعطيتين  $C_1, C_2$  عند النقطتين  $T_1, T_2$  على الترتيب، كما يتضح في الشكل 7 - 10. ليكن المماس المشترك  $K_1K_2$  للدائرتين المعطيتين يتقاطع مع الخط المستقيم  $\overrightarrow{O_1O_2}$  الذي يحمل خط المركزين في النقطة  $R$ . ولنفرض أن  $\overrightarrow{T_1T_2}$  يمر بالنقطة  $R$  ( هذا صحيح هل تستطيع أن تثبته ؟ ). ثم نرسم المستقيمات الموضحة في الشكل 7 - 10. إذن،  $\Delta U_1O_1T_1, \Delta T_1OT_2, \Delta U_2O_2T_2$  جميعها مثلثات متطابقة الضلعين وجميع زوايا قواعدها متطابقة. وبالتالي  $\overrightarrow{O_1U_1} \parallel \overrightarrow{OO_2}, \overrightarrow{OO_1} \parallel \overrightarrow{O_2U_2}$ . وعليه نستطيع من خلال زوجي المثلثات المتشابهة أن نحصل على :

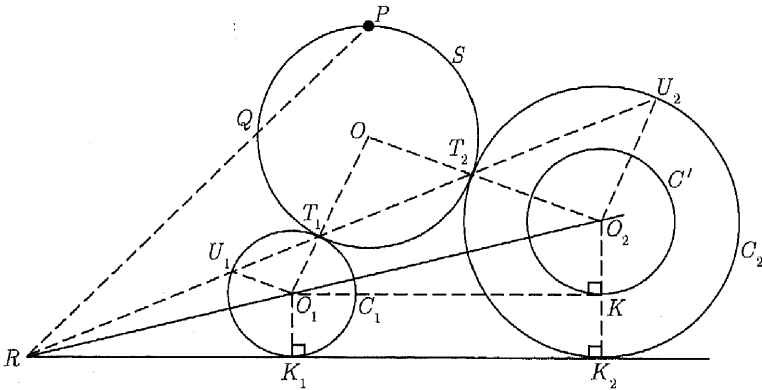
$$\frac{RU_1}{RT_2} = \frac{RO_1}{RO_2} = \frac{RT_1}{RU_2}$$

وبالتالي :

$$RU_1 \cdot RU_2 = RT_1 \cdot RT_2$$

وبالعمل على كل دائرة من الدائرتين المعطيتين نحصل على :

$$RU_1 \cdot RT_1 = RK_1^2 \quad , \quad RU_2 \cdot RT_2 = RK_2^2$$



شكل 7 - 10



إذن:

$$\begin{aligned} (RU_1 \cdot RT_1) \cdot (RU_2 \cdot RT_2) &= RK_1^2 \cdot RK_2^2 = (RU_1 \cdot RU_2) \cdot (RT_1 \cdot RT_2) \\ &= (RT_1 \cdot RT_2)^2 \end{aligned}$$

وبالتالي فإن:

$$RT_1 \cdot RT_2 = RK_1 \cdot RK_2$$

وهذا يعني أن النقاط الأربع  $T_1, T_2, K_2, K_1$  هي رؤوس رباعي دائري ( وكذلك النقاط  $T_1, T_2, P, Q$  ) كما هو مبين في التدريب رقم 18. إذن:

$$RQ \cdot RP = RT_1 \cdot RT_2 = RK_1 \cdot RK_2$$

ويعد حاصل الضرب السابق معلوماً لأنه يمكن الحصول عليه مباشرة من الدائرتين المعلومتين بمجرد أن ننشئ المماس الخارجي المشترك للدائرتين ( لإنشاء هذا المماس نبدأ برسم الدائرة  $C' = (O_2, O_2K)$  حيث طول  $O_2K$  يساوي الفرق بين نصفَي قطري الدائرتين المعطتين، ثم نرسم مماساً للدائرة  $C'$  من النقطة  $O_1$ ، أما المماس المطلوب فيرسم من الأسفل موازياً للمماس  $\overrightarrow{O_1K}$  بمسافة قدرها  $(O_1K_1)$ .

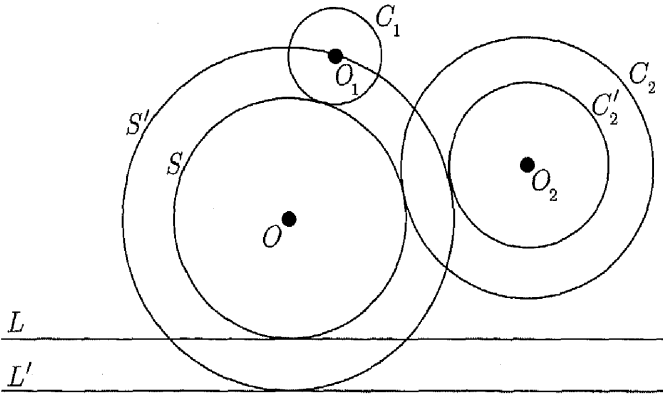
من العلاقة  $RQ \cdot RP = RK_1 \cdot RK_2$ ، نستطيع تحديد موقع النقطة  $Q$  على  $\overrightarrow{RP}$  بإنشاء الرباع المناسب؛ وبالتالي تتحول المسألة إلى الإنشاء رقم 5 (PPC)، حيث النقطتان  $P, Q$  والدائرة هي إحدى الدائرتين المعطتين.

لأن الدائرة  $S$  يمكن رسمها تمس كلاً من الدائرتين المعطتين، ولأن النقطة  $P$  يمكن لها أن تأخذ عدة مواضع متنوعة بجوار الدائرتين المعطتين اللتين بدورهما أيضاً يمكن أن تأخذاً مواقع متنوعة بجوار بعضهما؛ ولذا فإن هناك حالات كثيرة ومعينة سنترك للقارئ التحقق منها.

## الإنشاء 9 : LCC

لنفرض - كما اعتدنا - أن الحل موجود أمانا كما هو موضح في الشكل 8 - 10. الآن، لنفرض أن لدينا الدائرتين  $C_1, C_2$  اللتين نصفهما قطريهما  $r_1, r_2$  على الترتيب. وليكن  $L$  هو المستقيم المعطى. فإذا رسمنا الدائرة  $S'$  نصف قطرها  $OO_1$  وتتحد في المركز مع الدائرة الحل  $S$ ، فإنه سيكون لدينا "توسيع" للدائرة الحل من الدائرة  $S$  إلى الدائرة  $S'$  التي تمر بالنقطة  $O_1$ ، وتمس دائرة جديدة نسميها  $C'_2$  نصف قطرها يساوي الفرق بين نصفي قطري الدائرتين المعطتين وتتحد في المركز مع الدائرة  $C_2$ . الدائرة  $S'$  تمس المستقيم  $L'$  الذي بدوره يوازي المستقيم المعطى  $L$  ويقع أسفله بمسافة قدرها  $r_1$ .

واضح أنه يمكننا أن ننشئ الدائرة  $C'_2$  والخط المستقيم  $L'$ ؛ وبالتالي يمكننا إنشاء الدائرة  $S'$  وذلك بنفس طريقة حل الإنشاء السادس (PLC) حيث النقطة المعطاة هي  $O_1$ ، والمستقيم هو  $L'$ ، والدائرة هي  $C'$  وهذا يعطينا مباشرة الدائرة  $S'$ ، وعليه يكون من السهل الحصول على الدائرة الحل  $S$ .

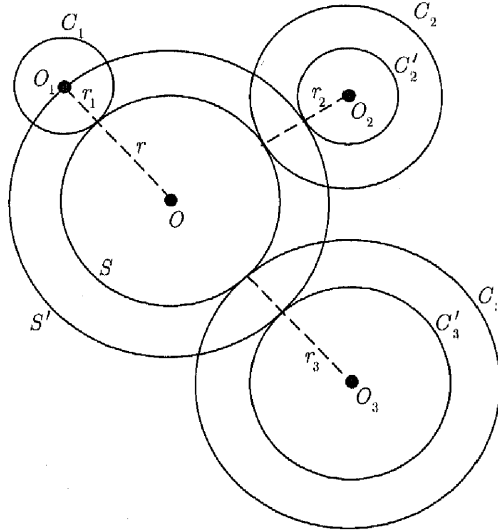


شكل 8 - 10

## الإشياء 10 : CCC

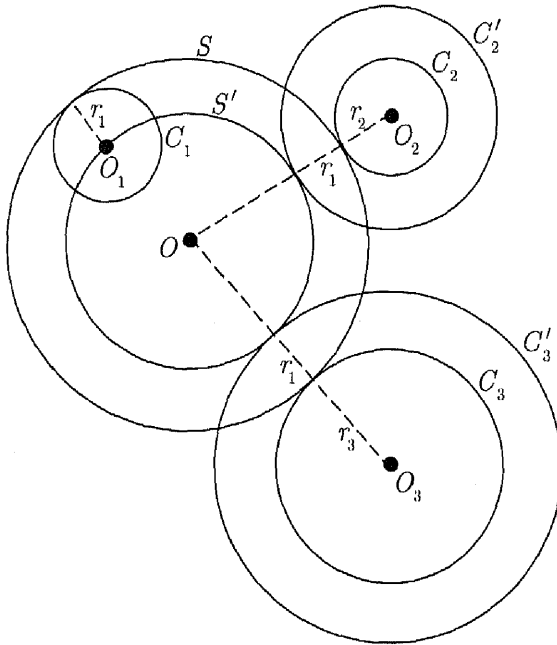
هذا هو الإنشاء الأخير في هذه المجموعة من الإنشاءات وهو ما يطلق عليه أيضاً "مسألة أبولونيوس Problem of Apollonius" أو "دائرة أبولونيوس Circle of Apollonius". أما بخصوص الدوائر الثلاث المعطاة فإنها تأخذ مواقع مختلفة وحالات كثيرة، كل موقع منها يقود لعدد من الحلول المختلفة. (هل تستطيع رسم الدوائر المعطاة بحيث لا يكون أي حل ؟).

لذا سوف نناقش هنا أكثر تلك الحالات عمومية، وهي أن تكون هذه الدوائر في وضع تباعد، وهذا الوضع يقودنا في العموم إلى ثمانية حلول. سنرسم منها حالة واحدة فقط - الدائرة التي تمس الدوائر الثلاث المعطاة من الخارج. أما الحلول الأخرى ففيها تمس الدائرة الحل بعض الدوائر المعطاة من الخارج وتمس من الداخل البعض الآخر. والآن لنفرض كالمعتاد أن الحل موجود ومتاح أمامنا. وهو - كما تعودنا - الدائرة  $S$  التي نصف قطرها  $r$  وتمس الدوائر الثلاث المعطاة  $C_1, C_2, C_3$  التي مراكزها على الترتيب هي  $O_1, O_2, O_3$  وأنصاف أقطارها هي  $r_1, r_2, r_3$  (انظر الشكل 9-10).



شكل 9 - 10

بالأخذ في الاعتبار حل الإنشاء رقم 9 (LCC)، نستطيع توسعة الحل (الدائرة  $S$ ). وبالتركيز على الدائرة  $S'$  التي نصف قطرها  $r + r_1$ . ثم بتقليص الدائرة  $C_1$  لتتحول إلى مركزها  $O_1$ ، وكذلك تتحول الدائرة  $C_2$  إلى الدائرة  $C'_2$  بنصف قطر قدره  $r_2 - r_1$ ، وكذلك الدائرة  $C_3$  إلى الدائرة  $C'_3$  بنصف قطر قدره  $r_3 - r_1$ . إذن؛ ستمر الدائرة  $S'$  بالنقطة  $O_1$  وتمس الدائرتين  $C'_2, C'_3$ ، وهذا ما يقودنا بكل دقة نحو الإنشاء رقم 8 (PCC). فلدينا النقطة  $O_1$ ، وبسهولة نستطيع إنشاء الدائرتين  $C'_2, C'_3$ . وعليه؛ فسهولة أيضاً نحصل على الحل (الدائرة  $S$ ) وذلك بتقليص الدائرة  $S'$  والتي مركزها  $O$  ونصف قطر قدرها  $r_1$  ونصلها  $OT = OO_1 - r_1$ .



شكل 10 - 10

والآن سنرسم حلاً آخر حيث الدائرة  $S$  تمسها الدائرة  $C_1$  من الداخل، والدائرتان  $C_2, C_3$  من الخارج وذلك كما يظهر في الشكل 10 - 10. أما بخصوص الحل فإنه سيسير بصورة كبيرة على نفس النهج السابق، حيث تعتبر الدائرة  $S'$  حلاً للإنشاء (PCC)، ولكن في هذه الحالة الدائرة  $C'_2$  يكون نصف قطرها  $r_2 + r_1$ ، و الدائرة  $C'_3$  يكون نصف قطرها  $r_3 + r_1$ .

وهكذا نكون قد ناقشنا جميع الحالات العشر، ولكنك - عزيزي القارئ - ستفقد الكثير من الهندسة الشيقة والمثيرة إذا لم تحاول العمل على توضيح جميع الحالات الخاصة التي تنتج من تحريك بعض العناصر المعطاة في الإنشاء حول بعضها البعض، وهذا ما ستراه في التدريبات التالية.

### تدريبات

سنشير هنا إلى بعض الحالات الخاصة التي قد تكون موجودة بين المعطيات الموجودة في كل إنشاء، مع العلم أن هذه الحالات الخاصة ستقودنا حتماً إلى حلول مختلفة وإلى عدد مختلف أيضاً من الحلول.

في التدريبات 1 - 4، ناقش الحالات الخاصة التالية في ضوء الإنشاء (PPL).

1.  $\overline{P_1P_2}$  يوازي  $L$  (حل واحد).

2.  $P_1$  تقع على  $L$  (حل واحد).

3.  $P_1, P_2$  كلتاها تقع على  $L$ .

4.  $L$  يقع بين  $P_1, P_2$ .

في التدريبات 5 - 9، ناقش بالتفصيل الحالات الخاصة التالية في ضوء الإنشاء (PPL).

5.  $L_1, L_2$  متوازيان ، و  $P$  تقع على  $L_1$  .

6.  $L_1, L_2$  متوازيان ، و  $P$  تقع بينهما .

7.  $L_1, L_2$  متوازيان ، و  $P$  تقع خارجهما .

8.  $L_1, L_2$  يتقاطعان ، و  $P$  تقع على  $L_1$  .

9.  $L_1, L_2$  يتقاطعان في  $P$  .

في الإنشاء ( LLL ، الشكل 16-9 ) . التدريبات 17-10 تشير لبعض التفاصيل التي يطلب منك العمل عليها بنفسك . فحاول إيجاد ( وإثبات ) هذه العلاقات .

10. الدائرة التي مركزها  $I$  هي الدائرة التي تسمى الدائرة الداخلية للمثلث  $ABC$  ونصف قطرها  $r$  . أما الدوائر التي مراكزها  $I_a, I_b, I_c$  ، وهي التي تسمى الدوائر الخارجية لنفس المثلث وأنصاف أقطارها  $r_a, r_b, r_c$  على الترتيب . هذه الدوائر الأربع ترتبط بعلاقة ذات صيغة رائعة هي :

$$\frac{1}{r} = \frac{1}{r_a} + \frac{1}{r_b} + \frac{1}{r_c}$$

أثبت هذه العلاقة . ( إرشاد : استخدم المساحات )

11. أنصاف الأقطار الأربعة التي يتحدث عنها التدريب السابق ، يمكن أيضاً التعبير بطريقة أخرى عن العلاقة بينها حيث يمكن لنا مباشرة ومن خلال أطوال أضلاع

المثلث وعلاقتها بنصف محيط المثلث  $s = \frac{1}{2}(a + b + c)$  ، لدينا :

$$r = \sqrt{\frac{(s-a)(s-b)(s-c)}{s}}$$

$$r_a = \sqrt{\frac{s(s-b)(s-c)}{(s-a)}}$$

$$r_b = \sqrt{\frac{s(s-a)(s-c)}{(s-b)}}$$

$$r_c = \sqrt{\frac{s(s-b)(s-a)}{(s-c)}}$$

أثبت الصيغ السابقة ( إرشاد : المساحات وخاصة صيغة هيرون التي تنص على

$$([\Delta ABC] = \sqrt{s(s-a)(s-b)(s-c)})$$

12. أثبت أن مقلوب نصف قطر الدائرة الداخلية للمثلث يساوي مجموع مقلوبات

ارتفاعات نفس المثلث. أي أن

$$\frac{1}{r} = \frac{1}{h_a} + \frac{1}{h_b} + \frac{1}{h_c}$$

13.a : أثبت أن حاصل ضرب أنصاف أقطار دوائر المثلث الأربعة يساوي مربع مساحة

نفس المثلث.

b : أثبت أن مجموع أنصاف أقطار الدوائر الخارجية للمثلث يساوي مجموع نصف قطر

الدائرة الداخلية وأربعة أمثال طول قطر الدائرة المحيطة بالمثلث.

14. أثبت أن كل رأس من رؤوس  $\Delta ABC$  تقع على استقامة واحدة مع كل من

مركز الدائرة الداخلية للمثلث ومركز الدائرة الخارجية المقابلة لهذه الرأس. ( أي أنه

على سبيل المثال أثبت أن  $A, I, I_a$  تقع على استقامة واحدة ).

15. أثبت أن كل رأس من رؤوس  $\Delta ABC$  تقع أيضاً على استقامة واحدة مع

مركزي الدائرتين الخارجيتين الواقعتين بينهما. ( أي أنه على سبيل المثال ، أثبت أن

$A, I_b, I_c$  تقع على استقامة واحدة ).

16. أثبت أن ارتفاعات  $\Delta I_a I_b I_c$  هي نفسها منصفات زوايا  $\Delta ABC$  التي تتقاطع

في نقطة مركز الدائرة الداخلية للمثلث  $ABC$  .

17. باستخدام النتائج التي توصلت إليها في التدريب رقم 16 أثبت أن النقاط الأربعة

$I, I_a, I_b, I_c$  تشكل شكلاً رباعياً مرسوماً من نقطة تقاطع ارتفاعات المثلث. هذا

يعني أننا إذا اخترنا من تلك النقاط الأربعة أي ثلاث نقاط ( تشكل مثلثاً ) ورسمنا

ارتفاعات هذا المثلث فإنها تتقاطع في النقطة الرابعة.

في التدريبات 18, 19 أثبت العلاقات التالية في ضوء الإنشاء (PPC) .

18. كما هو مبين في الشكل الخاص بالإنشاء المذكور، إذا تقاطع كل من  $\overline{P_1P_2}$ ,  $\overline{QR}$  في النقطة  $A$ ،  $AP_1 \cdot AP_2 = AR \cdot AQ$ ، فأثبت أن النقاط  $P_1, P_2, R, Q$  تشكل شكلاً رباعياً دائرياً. (إرشاد: احصل على تناسب من المعادلة، ثم أثبت أن هناك زوجاً من المثلثات المتشابهة، ثم أوجد زاويتين متكاملتين، ثم استخدم الحقيقة التي تقول إن الشكل الرباعي يكون دائرياً إذا فقط إذا كان به زاويتان متقابلتان متكاملتان).

19. أثبت أنه إذا تماست دائرتان من الخارج، فإن خط المركزين لهما يمر بنقطة تماس الدائرتين.

ناقش كلاً من الحالات الخاصة في التدريبات 20 - 31. وأثبتها في ضوء الإنشاء (LLC) والشكل الموضح له.

20.  $L_1, L_2$  متوازيان، ويمس الدائرة  $C$  معاً.

21.  $L_1, L_2$  متوازيان، ويقطعان الدائرة  $C$  معاً.

22.  $L_1, L_2$  متوازيان، و  $L_1$  يقطع الدائرة  $C$ ، و  $L_2$  يوازيها.

23.  $L_1, L_2$  متوازيان، و  $L_1$  يقطع الدائرة  $C$ ، و  $L_2$  لا يقطعها.

24.  $L_1, L_2$  متوازيان، و الدائرة  $C$  تقع بينهما وتمس  $L_1$ ، ولا تمس  $L_2$ .

25.  $L_1, L_2$  متوازيان، و الدائرة  $C$  تقع بينهما ولا تمسهما.

26.  $L_1, L_2$  يتقاطعان في النقطة  $K$  التي تقع داخل الدائرة  $C$ .

27.  $L_1, L_2$  يتقاطعان في النقطة  $K$  التي تقع على الدائرة  $C$ .

28.  $L_1, L_2$  يتقاطعان في النقطة  $K$ ، و  $L_1$  يمس الدائرة  $C$  عند النقطة  $K$ .

29.  $L_1, L_2$  يتقاطعان في النقطة  $K$  التي تقع خارج الدائرة  $C$  التي بدورها تمس كلاً

من  $L_1, L_2$ .



30.  $L_1, L_2$  يتقاطعان في النقطة  $K$  التي تقع خارج الدائرة  $C$  التي تمس بدورها  $L_1$  ، وتقطع  $L_2$  .
31.  $L_1, L_2$  يتقاطعان في النقطة  $K$  التي تقع خارج الدائرة  $C$  التي يقطعها كل من  $L_1, L_2$  .
- ناقش كلاً من الحالات الخاصة في التدريبات 39 – 32 ، وأثبتها في ضوء الإنشاء (LCC) والشكل الموضح له.
32.  $C_1$  تقع داخل  $C_2$  (دون تماس) و  $L$  يقطع كلاً منهما.
33.  $C_1$  تقع داخل  $C_2$  (دون تماس) و  $L$  يمس الدائرة  $C_1$  .
34.  $C_1$  تقع داخل  $C_2$  (دون تماس) و  $L$  يقطع فقط  $C_2$  ، ولا يقطع  $C_1$  .
35.  $C_1$  تقع داخل  $C_2$  (دون تماس) و  $L$  يمس الدائرة  $C_2$  .
36.  $C_1$  تقع داخل  $C_2$  (دون تماس) و  $L$  لا يقطع أيّاً منهما.
37.  $C_1$  تمس داخلياً  $C_2$  عند النقطة  $T$  . ناقش طبيعة وعدد حلول كل وضع من أوضاع المستقيم  $L$  بالنسبة للدائرتين  $C_1, C_2$  كما يظهر في التدريبات 32 – 36 .
38.  $C_1$  ،  $C_2$  تتقاطعان عند النقطة  $P, Q$  . ناقش طبيعة وعدد حلول كل وضع من أوضاع المستقيم  $L$  بالنسبة للدائرتين  $C_1, C_2$  كما يظهر في التدريبات 32 – 36 .
39.  $C_1$  تمس خارجياً  $C_2$  عند النقطة  $T$  . ناقش طبيعة وعدد حلول كل وضع من أوضاع المستقيم  $L$  بالنسبة للدائرتين  $C_1, C_2$  كما يظهر في التدريبات 32 – 36 .

في كل حالة من التدريبات 59 – 40 ، ارسم الشكل وناقش وقم بإنشاء الحل وذلك في ضوء الإنشاء (CCC).

40.  $C_1$  تقع داخل  $C_2$  (دون تماس) والتي تقع بدورها أيضاً داخل الدائرة  $C_3$  (دون تماس)

41.  $C_1$  تقع داخل  $C_2$  (دون تماس) والتي تتماس داخلياً مع الدائرة  $C_3$ .

42.  $C_1$  تقع داخل  $C_2$  (دون تماس) وكلتاهما تتقاطع مع الدائرة  $C_3$ .

43.  $C_1$  تقع داخل  $C_2$  (دون تماس) والدائرة  $C_3$  تتقاطع مع الدائرة  $C_2$  ولا تتقاطع مع  $C_1$ .

44.  $C_1$  تقع داخل  $C_2$  (دون تماس) والدائرة  $C_3$  تتقاطع مع الدائرة  $C_2$  وتمس الدائرة  $C_1$ .

45.  $C_1$  تقع داخل  $C_2$  (دون تماس) والدائرة  $C_3$  تمس كلتا الدائرتين  $C_1, C_2$ .

46.  $C_1$  تقع داخل  $C_2$  (دون تماس) والدائرة  $C_3$  تتقاطع مع الدائرة  $C_1$  ولا تتقاطع مع  $C_2$ .

47.  $C_1$  تقع داخل  $C_2$  (دون تماس) والدائرة  $C_3$  تتماس خارجياً مع الدائرة  $C_2$ .

48.  $C_1$  تقع داخل  $C_2$  (دون تماس) والدائرة  $C_3$  تقع أيضاً داخل الدائرة  $C_2$  (دون تماس) ولكن تقع خارج  $C_1$ .

49.  $C_1$  تقع داخل  $C_2$  (دون تماس) والدائرة  $C_3$  تقع أيضاً داخل الدائرة  $C_2$  (دون تماس) والدائرتان  $C_1, C_3$  تتماسان من الخارج.

50.  $C_1$  تتماس داخلياً مع  $C_2$  عند النقطة  $T_1$  ، والدائرة  $C_3$  تمس الدائرتين  $C_1, C_2$  عند النقطة  $T_1$  (أربع حالات).

51.  $C_1$  تتماس داخلياً مع  $C_2$  عند النقطة  $T_1$  ، والدائرة  $C_3$  تماس الدائرتين  $C_1, C_2$  ولكن ليس عند النقطة  $T_1$  .
52.  $C_1$  تتماس داخلياً مع  $C_2$  عند النقطة  $T_1$  ، والدائرة  $C_3$  تقطع الدائرتين  $C_1, C_2$  عند النقطة  $T_1$  فضلاً عن نقاط أخرى.
53.  $C_1$  تتماس داخلياً مع  $C_2$  عند النقطة  $T_1$  ، والدائرة  $C_3$  تقطع الدائرتين  $C_1, C_2$  ولكن ليس عند النقطة  $T_1$  .
54.  $C_1$  تتماس داخلياً مع  $C_2$  عند النقطة  $T_1$  ، والدائرة  $C_2$  هي الأخرى تتماس داخلياً مع الدائرة  $C_3$  عند النقطة  $T_2$  .
55.  $C_1$  تتماس داخلياً مع  $C_2$  عند النقطة  $T_1$  ، والدائرة  $C_3$  هي الأخرى تتماس داخلياً مع الدائرة  $C_2$  ولكن ليس عند النقطة  $T_1$  وتقطع الدائرة  $C_1$  .
56.  $C_1$  تتماس داخلياً مع  $C_2$  عند النقطة  $T_1$  ، والدائرة  $C_3$  تماس الدائرة  $C_1$  وتقطع الدائرة  $C_2$  .
57.  $C_1$  تتماس داخلياً مع  $C_2$  عند النقطة  $T_1$  ، والدائرة  $C_3$  تتماس خارجياً مع الدائرة  $C_2$  عند النقطة  $T_2$  .
58.  $C_1$  تتماس داخلياً مع  $C_2$  عند النقطة  $T_1$  ، والدائرة  $C_3$  تقع خارج كلتا الدائرتين  $C_1, C_2$  .
59.  $C_1$  تقاطع مع  $C_2$  عند النقطتين  $P, Q$  . ناقش الحالات الممكنة لوضع الدائرة  $C_3$  بالنسبة لكل من الدائرتين المعطاتين والحلول المترتبة على ذلك.

## النسبة الذهبية وأعداد فيبوناتشي

### النسبة الذهبية Golden Ratio

إن رحلتنا في غمار الهندسة الإقليدية كانت في أغلبها ذات طبيعة هندسية، ولكن تظل لدينا تلك الحلقات التي تربط بين الهندسة وبعض فروع الرياضيات الأخرى. ولقد رأينا أن تكون مناقشتنا الأخيرة في الفصل الأخير من خلال عرض بعض الأمثلة لتلك العلاقات التي تربط بين الهندسة الإقليدية وبين تلك الفروع. ففي هذا الفصل سوف نرى بعض العلاقات المذهلة بين النسبة الذهبية وأعداد فيبوناتشي Fibonacci numbers. والتي سنكشف عنها النقاب خلال دراستنا لهذه الموضوعات.

وسنبدأ بالطبع بتعريف المقصود بالنسبة الذهبية التي تساوي

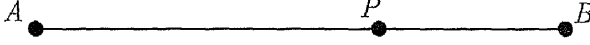
..... $1.61803398874987 \approx \frac{a}{b}$ ، ولعلك للوهلة الأولى تظن أنه لا يوجد شيء غير

عادي في هذه النسبة، ولكنك بعد قليل ستكتشف لأي مدى تكون هذه النسبة مشيرة

للاهتمام، فستجد على سبيل المثال أن ..... $0.61803398874987 \approx \frac{b}{a}$ ،

وستلاحظ حتماً أن  $1 + \frac{b}{a} = \frac{a}{b}$ ، وهذا بغير شك شيء غير عادي، ولذا - عزيزي

القارئ - إن كنت تريد أن تستوعب الأمر جيداً فعليك أن تقرأ وتدع نفسك تستمع بسلسلة من أغرب العلاقات الرياضية.



شكل 1 - 11

وللتوضيح بشكل آخر لتكن لدينا النقطة  $P$  واقعة على  $\overline{AB}$  بحيث

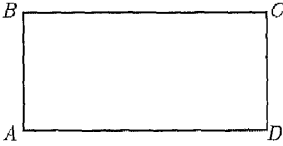
$$\frac{AB}{AP} = \frac{AP}{PB}$$

$\overline{AB}$  بنسبة معينة هي النسبة الذهبية.

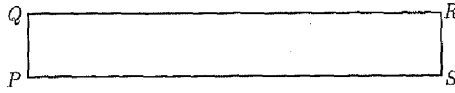
ولكن ربما يظل السؤال قائماً ، لماذا هذه النسبة المشار إليها تحمل شيئاً مميزاً يجعلها نسبة ذهبية؟

وللإجابة عن هذا السؤال دعونا ننشئ مستطيلاً بحيث طوله وعرضه هما القطعتان المستقيمتان  $\overline{AP} = l, \overline{BP} = w$ . يشار إلى أن شكل هذا المستطيل هو الأكثر إرضاء عند النظر إليه ، فعبّر العصور ارتبط هذا المستطيل بالجمال.

والآن - في رأيك - أي المستطيلين الموضحين في الشكلين 11 - 2, 11 - 3 يريح النظر أكثر عند النظر إليه؟



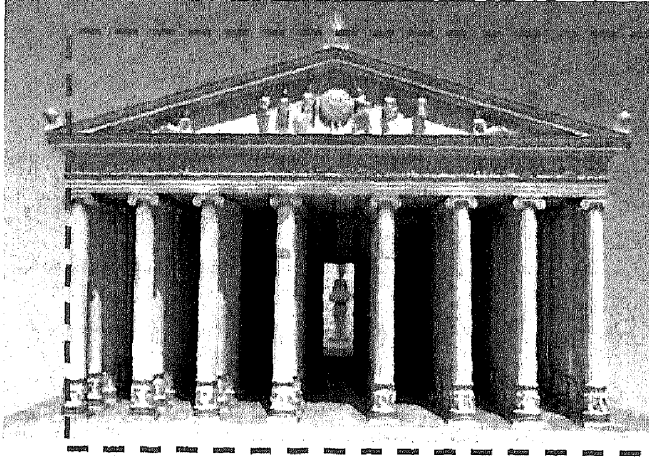
شكل 2 - 11



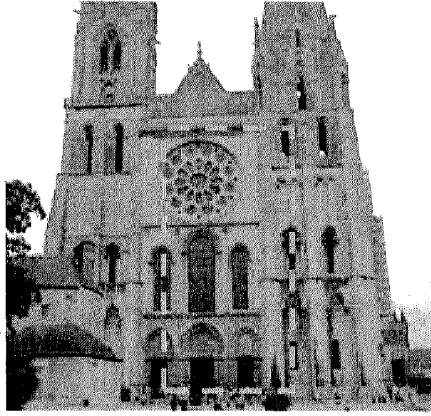
شكل 3 - 11

ووفقاً لعلماء النفس الذين لديهم تجارب مع هذه المسألة من أمثال جوستاف فيشر، إدوارد لي ثورندايك ( Gustav Fechner & Edward Lee Thorndike, 1917 ) فالمستطيل في الشكل 2 - 11 هو الأكثر إراحة عند النظر إليه ، كما أشاروا إلى أن الذي ينظر نحو المستطيلين سوف يلمح المستطيل  $ABCD$  دفعة واحدة ، بينما عند النظر نحو المستطيل  $PQRS$  (الشكل 3 - 11 ) فإن ذلك يتطلب حركة أفقية للعين من قبل معظم الناس.

ولجمال هذا المستطيل ، يطلق عليه اسم المستطيل الذهبي  $Golden\ rectangle$  ، وهذا المستطيل لم يتم اكتشافه حديثاً فقد كانت الحضارات القديمة على دراية تامة به. فعلى سبيل المثال ، في الفنون المعمارية القديمة سنجد هذا المستطيل حاضراً بقوة في المنشآت والمباني الشهيرة ، ففراه في معبد البراثيون في أثينا باليونان (الشكل 4 - 11 ) وأبواب كاتدرائية شارترز في فرنسا (الشكل 5 - 11). كما يوجد الكثير من الأمثلة لمثل هذه المستطيلات من حولنا - حاول أن تجد بعضها.



شكل 4 - 11



شكل 5 - 11

المستطيل الذهبي طوله وعرضه يحققان النسبة الذهبية أي أن:  $\frac{w}{l} = \frac{l}{w+l}$ .

والآن كيف لنا أن ننشئ المستطيل الذهبي؟ ربما يكون من أسهل الطرق لهذا الإنشاء أن نبدأ بالمربع  $ABEF$  (انظر الشكل 6-11)، حيث  $M$  منتصف  $\overline{AF}$ ، ثم نرسم الدائرة التي فيها مركزها  $M$  ونصف قطرها  $\overline{ME}$  وتقطع  $\overline{AF}$  في النقطة  $D$ ، ثم نقيم عموداً من  $D$  ليقطع  $\overline{BE}$  في  $C$ ، وعليه يكون لدينا المستطيل  $ABCD$  الذي هو في واقع الأمر المستطيل الذهبي.

والآن دعونا دون أن نفقد العمومية نعتبر المربع طول ضلعه الوحدة، أي أن  $EF = AF = 1$  وكذلك  $MF = \frac{1}{2}$ ، وباستخدام نظرية فيثاغورس نحصل على

$ME = \frac{\sqrt{5}}{2}$ . ومن ذلك نستنتج أيضاً أن  $AD = \frac{\sqrt{5}+1}{2}$ ، وللتحقق من أن

المستطيل  $ABCD$  مستطيلاً ذهبياً علينا أن نثبت أن:

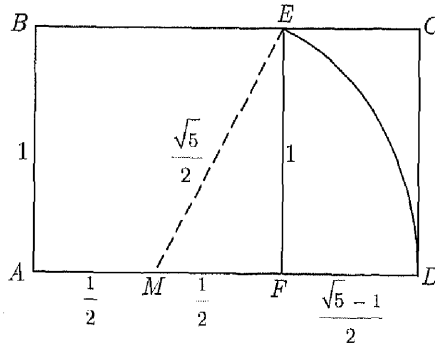
$$\frac{w}{l} = \frac{l}{w+l} \quad \text{أو} \quad \frac{CD}{AD} = \frac{AD}{CD+AD}$$

بالتعويض بالقيم التي أوجدناها نحصل على المساوية الصحيحة التالية :

$$\frac{1}{\frac{\sqrt{5}+1}{2}} = \frac{\frac{\sqrt{5}+1}{2}}{1 + \frac{\sqrt{5}+1}{2}}$$

عادة ما نستخدم الحرف الأجنبي اللاتيني  $\phi$  للتعبير عن النسبة الذهبية. ونستطيع الحصول على القيمة التقريبية لها عن طريق العلاقة :

$$\phi = \frac{AD}{CD} = \frac{\sqrt{5}+1}{2} = 1.61803398874987483\dots$$



شكل 6-11

ولعلك قبل ذلك اتفقت معنا على أن هذا العدد ( $\phi$ ) مميز جداً، فمقلوبة  $\frac{1}{\phi}$  :

$$\frac{1}{\phi} = \frac{2}{\sqrt{5}+1} = 0.61803398874987483\dots$$



ولذا ليس فقط  $\phi \cdot \frac{1}{\phi} = 1$  ، ولكن أيضاً  $\phi - \frac{1}{\phi} = 1$  ، كما أن  $\phi, \frac{1}{\phi}$  جذرا المعادلة التربيعية  $x^2 - x - 1 = 0$  ، وسوف نناقش هذه الميزة لاحقاً.  
ولعل من الشيق أيضاً أن ندرس قوى  $\phi$  ، وبالطبع أولاً سنبدأ بإيجاد قيمة  $\phi^2$  بدلالة  $\phi$  كما يلي :

$$\phi^2 = \left( \frac{\sqrt{5} + 1}{2} \right)^2 = \frac{\sqrt{5} + 3}{2} = \frac{\sqrt{5} + 1}{2} + 1 = \phi + 1$$

أما باقي القوى فيمكن استنتاجها كالتالي :

$$\phi^3 = \phi \cdot \phi^2 = \phi(\phi + 1) = \phi^2 + \phi = (\phi + 1) + \phi = 2\phi + 1$$

$$\phi^4 = \phi^2 \cdot \phi^2 = (\phi + 1)(\phi + 1) = \phi^2 + 2\phi + 1 = (\phi + 1) + 2\phi + 1 = 3\phi + 2$$

$$\phi^5 = \phi^3 \cdot \phi^2 = (2\phi + 1)(\phi + 1) = 2\phi^2 + 3\phi + 1 = 2(\phi + 1) + 3\phi + 1 = 5\phi + 3$$

$$\phi^6 = \phi^3 \cdot \phi^3 = (2\phi + 1)(2\phi + 1) = 4\phi^2 + 4\phi + 1 = 4(\phi + 1) + 4\phi + 1 = 8\phi + 5$$

$$\phi^7 = \phi^4 \cdot \phi^3 = (3\phi + 2)(2\phi + 1) = 6\phi^2 + 7\phi + 2 = 6(\phi + 1) + 7\phi + 2 = 13\phi + 8$$

ويمكننا تلخيص ذلك في الشكل (الشكل 7 - 11) ، التالي :

$$\phi = 1\phi + 0$$

$$\phi^2 = 1\phi + 1$$

$$\phi^3 = 2\phi + 1$$

$$\phi^4 = 3\phi + 2$$

$$\phi^5 = 5\phi + 3$$

$$\phi^6 = 8\phi + 5$$

$$\phi^7 = 13\phi + 8$$

$$\phi^8 = 21\phi + 13$$

$$\phi^9 = 34\phi + 21$$

$$\phi^{10} = 55\phi + 34$$

شكل 7 - 11

لاحظ أنه يبدو أن هناك صلة بين المعاملات والثوابت. وفي واقع الأمر فهي تشكل نمطاً سيصبح مألوفاً لك قريباً. وربما تكون هذه الأرقام أساساً حلقة الوصل بين العديد من فروع الرياضيات ( بما فيها الهندسة ). وقبل أن تكمل دراسة النسبة الذهبية في الهندسة سوف نستطرد قليلاً في دراسة هذه الأعداد ولكن بعناية أكثر.

### أعداد فيوناتشي Fibonacci numbers

إن منشأ هذه السلسلة من الأعداد أمر مثير للاهتمام. فقد ظهرت لأول مرة كحل لمسألة مطروحة في إحدى كتب الجبر، والذي نشر في العام 1202 وكان يحمل عنوان " Liber abaci " والذي كتبه ليوناردو بيزا Leonardo of Pisa الذي عرف بعد ذلك باسم فيوناتشي (1180 – 1250) \* .  
ولتوضيح هذه المسألة دعونا نضرب مثال سنسميه توالد الأرناب وهو كالتالي :

\* فيوناتشي لم يكن رجل دين كما كان يعتقد بعض العلماء سابقاً بل كان يعمل في التجارة ويسافر كثيراً لجميع أنحاء العالم الإسلامي، وقد استغل ذلك في قراءة كل ما يستطيع مما كتبه الرياضيين العرب. وكان أول من قدم لأوروبا الأرقام العربية والهندية في كتابه الشهير Liber abaci عام 1202 والمتح في عام 1228، والذي تم توزيعه أول مرة على نطاق واسع في شكل مخطوطة نشرت لأول مرة في عام 1857 في كتابات ليوناردو بيسانو Scritti di leonardo pisano.

والكتاب هو عبارة عن مجموعة من الأعمال الرياضية بما في ذلك المعادلات الخطية والتربيعية والجذور التربيعية والتكبيية وكثيراً من الموضوعات الجديدة ( من وجهة النظر الأوربية ). وقد بدأ الكتاب بالعبارة " هذه هي الأشكال التسعة للأرقام الهندية 0 1 2 3 4 5 6 7 8 9 . وبهذه الأشكال التسعة مع الرمز 0 والذي يدعوه العرب صفر، يمكن كتابة أي عدد، كما سيوضح لاحقاً " ومع هذه اللحظة تم إدخال النظام العشري لأوروبا. ( ملاحظة : الكلمة العربية " صفر " هي كلمة من أصل سنسكريتي وقد استخدمت في القرن الخامس الميلادي في الهند لتشير للفرغ ).

كم عدد أزواج الأرناب التي يتم إنتاجها في عام واحد وذلك من خلال زوج واحد فقط، إذا كان كل زوج ينتج زوجاً ثانياً في كل شهر، وعليه كم من الأرناب المنتجة عند الشهر الثاني؟

من هذه المسألة ظهرت متسلسلة فيبوناتشي الشهيرة. فإذا فرضنا أن زوج الأرناب الصغيرة (الحديثة الولادة) ( $B$ ) تكبر وتصبح زوجاً منتجاً ( $A$ ) خلال شهر واحد، وبعد ذلك يمكننا إعداد مخطط كما بالشكل 8 - 11. وفيه عدد الأزواج الكبيرة التي تعيش كل شهر هي التي تعين متسلسلة فيبوناتشي ( العمود الثالث ):

$$1, 1, 2, 3, 5, 8, 13, 21, 34, 55, 89, 144, 233, 377, \dots$$

إذا فرضنا أن  $f_n$  الحد النوني لمتسلسلة فيبوناتشي؛ إذن:

$$f_1 = 1$$

$$f_2 = 1$$

$$f_3 = f_2 + f_1 = 1 + 1 = 2$$

$$f_4 = f_3 + f_2 = 2 + 1 = 3$$


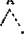
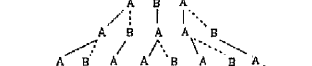
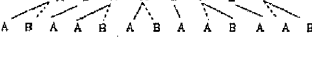





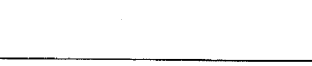
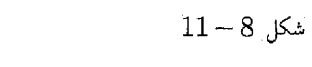
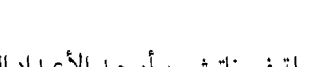
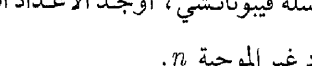
$$f_5 = f_4 + f_3 = 3 + 2 = 5$$

$$\vdots$$

$$f_n = f_{n-1} + f_{n-2}$$

حيث  $n$  عدد صحيح أكبر من أو يساوي 3.

ولعلك تلاحظ أن كل حد بعد الحدين الأولين هو مجموع الحدين السابقين له.

الشهر	الأزواج	عدد الأزواج		مجموع الأزواج
		البالغة A	الصغيرة B	
يناير 1		1	0	1
فبراير 1		1	1	2
مارس 1		2	1	3
أبريل 1		3	2	5
مايو 1		5	3	8
يونيو 1		8	5	13
يوليو 1		13	8	21
أغسطس 1		21	13	34
سبتمبر 1		34	21	55
أكتوبر 1		55	34	89
نوفمبر 1		89	55	144
ديسمبر 1		144	89	233
يناير 1		233	144	377

شكل 8 - 11

## مثال

باستخدام قاعدة متسلسلة فيوناتشي، أوجد الأعداد العشرة التي تسبق

العدد الأول 1 إذا سمحنا للأعداد غير الموجبة  $n$ .

## الحل

لأن  $f_{n+1} = f_n + f_{n-1}$ ؛ إذن:  $f_{n-1} = f_{n+1} - f_n$  وعليه تكون الأعداد

العشرة هي:

$$\begin{aligned}
f_0 &= f_2 - f_1 = 1 - 1 = 0 \\
f_{-1} &= f_1 - f_0 = 1 - 0 = 1 \\
f_{-2} &= f_0 - f_{-1} = 0 - 1 = -1 \\
f_{-3} &= f_{-1} - f_{-2} = 1 - (-1) = 2 \\
f_{-4} &= f_{-2} - f_{-3} = -1 - 2 = -3 \\
f_{-5} &= f_{-3} - f_{-4} = 2 - (-3) = 5 \\
f_{-6} &= f_{-4} - f_{-5} = -3 - 5 = -8 \\
f_{-7} &= f_{-5} - f_{-6} = 5 - (-8) = 13 \\
f_{-8} &= f_{-6} - f_{-7} = -8 - 13 = -21 \\
f_{-9} &= f_{-7} + f_{-8} = 13 - (-21) = 34 \quad \bullet
\end{aligned}$$

في المثال السابق والذي تم استنتاج حله. يكون من المفيد في كثير من الأحيان أن يتم حله عن طريق الاستنتاج الاستقرائي من العلاقات وذلك كما في المثال التالي.

مثال

أوجد مجموع أول حدين، ثلاثة حدود، أربعة حدود، خمسة حدود،...، تسعة حدود، عشرة حدود، من متسلسلة فيبوناتشي. ثم عزم النمط لتحصل على مجموع أول  $n$  من الحدود.

الحل

سنأخذ علاقة المجموع التالية  $\sum_{m=1}^n f_m$ ، وبسهولة يمكننا تكوين الأعمدة الثلاثة

الأولى من الجدول الموضح في الشكل 9 - 11. وبالتالي يكون لدينا مجموع أول عددين من أعداد فيبوناتشي

$$\text{ويأتي مجموع أول ثلاثة أعداد بطريقة مشابهة} \quad \sum_{m=1}^2 f_m = f_1 + f_2 = 1 + 1 = 2$$

$$\bullet \quad \sum_{m=1}^3 f_m = f_1 + f_2 + f_3 = 1 + 1 + 2 = 4$$

$m$	$f_m$	$\sum_{m=1}^n f_m$	$\sum_{m=1}^n f_{2m-1}$	$\sum_{m=1}^n f_{2m}$	$f_m^2$	$\sum_{m=1}^n f_m^2$
1	1	1	1		1	1
2	1	2		1	1	2
3	2	4	3		4	6
4	3	7		4	9	15
5	5	12	8		25	40
6	8	20		12	64	104
7	13	33	21		169	273
8	21	54		33	441	714
9	34	88	55		1,156	1,870
10	55	143		88	3,025	4,895
11	89	232	144		7,921	12,816
12	144	376		232	20,736	33,552
13	233	609	377		54,289	87,841
14	377	986		609	142,129	229,970
15	610	1,596	987		372,100	602,070
16	987	2,583		1,596	974,169	1,576,239
17	1,597	4,180	2,584		2,550,409	4,126,648
18	2,584	6,764		4,180	6,677,056	

واضح أن كل حد في العمود الخاص بالمجاميع  $\sum_{m=1}^n f_m$  أقل بواحد من أعداد فيوناتشي، وبشكل أكثر تحديداً،  $\sum_{m=1}^n f_m = f_{n+2} - 1$ ، وهو مجموع أول  $n$  حداً من أعداد فيوناتشي الذي يكون أقل بواحد من الحد رقم  $(n+2)$  من أعداد فيوناتشي، وسنقدم هذه الملاحظة في نظرية 1-11.

$$\sum_{m=1}^n f_m = f_{n+2} - 1$$

نظرية: 1-11

البرهان

من تعريف أعداد فيوناتشي لدينا  $f_1 + f_2 = f_3$ . إذن،

$$f_1 = \cancel{f_3} - f_2$$

$$f_2 = \cancel{f_4} - \cancel{f_3}$$

$$f_3 = \cancel{f_5} - \cancel{f_4}$$

$$f_4 = \cancel{f_6} - \cancel{f_5}$$

.

.

$$f_{n-1} = \cancel{f_{n+1}} - \cancel{f_n}$$

$$f_n = f_{n+2} - \cancel{f_{n+1}}$$

$$\sum_{m=1}^n f_m = f_{n+2} - f_2 = f_{n+2} - 1. \quad \text{بالجمع :}$$

باعتبار الحدود الفردية من متتابعة فيوناتشي. الشكل 9-11 سيساعدنا في

إيجاد نمط مجموع هذه الحدود:

$$f_1 + f_3 + f_5 + f_7 + \dots + f_{2m-1} = 1 + 2 + 3 + 5 + 13 + \dots + f_{2m-1}$$

والآن ربما تتوقع النظرية التالية.

$$\sum_{m=1}^n f_{2m-1} = f_{2n}$$

نظرية 2-11

البرهان

$$\begin{aligned} f_1 &= \cancel{f_2} \\ f_3 &= \cancel{f_4} - \cancel{f_2} \\ f_5 &= \cancel{f_6} - \cancel{f_4} \\ f_7 &= \cancel{f_8} - \cancel{f_6} \\ &\vdots \\ &\vdots \\ f_{2n-3} &= \cancel{f_{2n-2}} - \cancel{f_{2n-4}} \\ f_{2n-1} &= f_{2n} - \cancel{f_{2n-2}} \end{aligned}$$

$$\bullet \sum_{m=1}^n f_{2m-1} = f_{2n} \quad \text{بالجمع}$$

علمنا تواءم النظرية 1-11 أن :

$$\sum_{m=1}^n f_m = f_{n+2} - 1 \quad (\text{I})$$

إذا ضاعفنا عدد الحدود في (I) سنحصل على :

$$\sum_{m=1}^{2n} f_m = f_{2n+2} - 1 \quad (\text{II})$$

والآن لنفرض أننا طرحنا جميع الحدود ذات الترتيب الفردي من (II) سوف يتبقى لنا

الحدود ذات الترتيب الزوجي والتي هي :



$$\begin{aligned}\sum_{m=1}^n f_{2m} &= \sum_{m=1}^{2n} f_m - \sum_{m=1}^n f_{2m-1} \\ &= f_{2n+2} - 1 - f_{2n} \\ &= f_{2n+1} - 1 \quad (f_{2n} = f_{2n+2} - f_{2n-1})\end{aligned}$$

تلك النتيجة تثبت النظرية التالية.

$$\sum_{m=1}^n f_{2m} = f_{2n+1} - 1$$

**نظرية: 3-11**

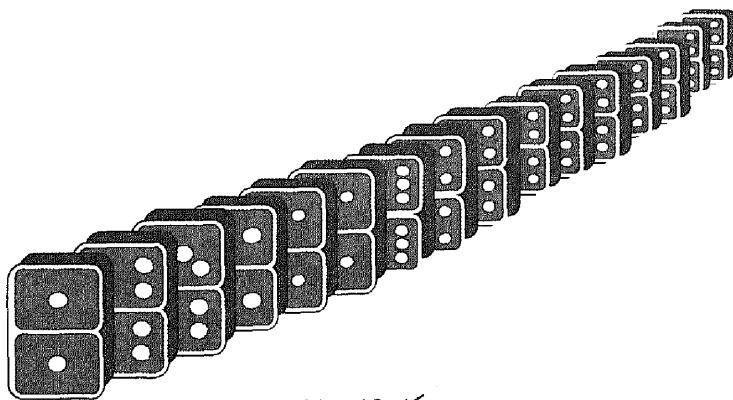
بالبحث في عمود  $f_m^2$  في الجدول الموضح بالشكل 9-11 سنكتشف العلاقة بين أعداد فيبوناتشي ومربعاتها، وهذه العلاقة هي محتوى نظريتنا التالية.

$$f_n^2 - f_{n-1} \cdot f_{n+1} = (-1)^{n-1}$$

**نظرية: 4-11**

قبل أن نقوم بإثبات هذه النظرية، سنناقش برهاناً من نوع مختلف، باستخدام الاستقراء الرياضي mathematical induction. ليكن لدينا مجموعة ذات عدد غير منته من قطع الدومينو تم وضعها كما بالشكل 10-11. والآن، إذا طلب منا أن نسقط جميع هذه القطع، فلدينا طريقتان لفعل ذلك: (1) أن نسقط كل قطعة على حدة بشكل منفصل. أو (2) أن نسقط فقط أول قطعة إذا كنا متأكدين أن كل قطعة عندما تسقط ستسقط القطعة التي تليها تلقائياً.

الطريقة الأولى ليست فقط غير فعالة، ولكنها أيضاً لا تجعلنا متأكدين من سقوط جميع القطع (لأن الحدود قد تكون غير منتهية). أما الطريقة الثانية فضمن لنا سقوط جميع القطع. بعد أن تسقط القطعة الأولى، والتي بدورها ستسقط الثانية ثم الثالثة فالرابعة وهكذا، وبالتالي حتماً ستسقط جميع القطع. والطريقة الثانية مماثلة تماماً لمسلمة الاستقراء الرياضي:



شكل 10-11

العبارة المتضمنة العدد الطبيعي  $n$  تكون صحيحة لكل الأعداد الطبيعية عندما

(a) تكون صحيحة عند  $n = 1$ .

(b) صحتها عند  $n = k$  تؤدي إلى صحتها عند  $n = k + 1$ .

الآن سنستخدم الاستقراء الرياضي لإثبات النظرية 4 - 11.

### البرهان

عندما  $n = 1$  ، يكون لدينا :

$$f_n^2 = f_{n-1} \cdot f_{n+1} = f_1^2 = f_0 \cdot f_2 = 1 - (0)(1) = 1 = (-1)^{1-1}$$

(  $f_0 = 0$  ) حسبما وضعناه في المثال الأول .

نفرض أن العلاقة صحيحة عندما  $n = k$  ، أي نفرض أن

$$f_k^2 - f_{k-1} \cdot f_{k+1} = (-1)^{k-1}$$

والآن سنحاول إثبات صحة العلاقة عند  $n = k + 1$

$$f_{k+1}^2 - f_k \cdot f_{k+2} = (-1)^k$$

لأن  $f_{k+2} \cdot f_k = f_k + f_{k+1}$ ؛ إذن؛

$$\begin{aligned} f_{k+1}^2 - f_k \cdot f_{k+2} &= f_{k+1}^2 - f_k (f_k + f_{k+1}) \\ &= f_{k+1}^2 - f_k^2 - f_k \cdot f_{k+1} \\ &= f_{k+1} (f_{k+1} - f_k) - f_k^2 \\ &= f_{k+1} \cdot f_{k-1} - f_k^2 \\ &= -(-1)^{k-1} \\ &= (-1)^k \end{aligned}$$

وهكذا يكون قد تم برهان النظرية. ●

من الشكل 9-11 يمكننا توقع أن النتيجة التالية.

$$f_n \cdot f_{n+1} - f_{n-1} \cdot f_n = f_n^2$$

نظرية: 5-11

البرهان

باستخدام الاستقراء الرياضي، عندما  $n = 1$  لدينا

$$f_1 \cdot f_2 - f_0 \cdot f_1 = 1 \cdot 1 - 0 \cdot 1 = 1^2 = f_1^2$$

إذن العبارة صحيحة من أجل  $n = 1$ . لنفرض صحة العبارة من أجل  $n = k$

أي أن

$$f_{k+1} \cdot f_{k+2} - f_k \cdot f_{k+1} = f_{k+1}^2 \text{ . الآن نريد إثبات صحة } f_k \cdot f_{k+1} - f_{k-1} \cdot f_k = f_k^2$$

$$f_{k+1} \cdot f_{k+2} - f_k \cdot f_{k+1} = f_{k+1} (f_{k+2} - f_k) = f_{k+1} \cdot f_{k+1} = f_{k+1}^2$$

وهذا يبرهن النظرية. ●\*

\* لا داعي للاستقراء في هذا البرهان، بل مباشرة من التعريف يمكن الإثبات كما يلي:

$$(المترجم) \quad f_n \cdot f_{n+1} - f_{n-1} \cdot f_n = f_n (f_{n+1} - f_{n-1}) = f_n \cdot f_n = f_n^2$$

المقدار  $\sum_{m=1}^n f_m^2$  في الشكل 9-11 يوحي بعلاقة شيقة وهي أن كل مجموع يساوي حاصل ضرب عدد فيوناتشي المناظر لعدد حدود المجموع في عدد فيوناتشي الذي يليه. وهذا ما تصوغه النظرية التالية.

$$\sum_{m=1}^n f_m^2 = f_n \cdot f_{n+1}$$

نظرية: 6-11

البرهان

من النظرية 5-11 لدينا:

$$f_m^2 = f_m \cdot f_{m+1} - f_{m-1} \cdot f_m$$

$$f_1^2 = f_1 \cdot f_2 - f_0 \cdot f_1 = \cancel{f_1 \cdot f_0} \quad (f_0 = 0)$$

$$f_2^2 = \cancel{f_2 \cdot f_3} - \cancel{f_1 \cdot f_2}$$

$$f_3^2 = \cancel{f_3 \cdot f_4} - \cancel{f_2 \cdot f_3}$$

.

.

$$f_{n-1}^2 = \cancel{f_{n-1} \cdot f_n} - \cancel{f_{n-2} \cdot f_{n-1}}$$

$$f_n^2 = f_n \cdot f_{n+1} - \cancel{f_{n-1} \cdot f_n}$$

$$\bullet \sum_{m=1}^n f_m^2 = f_n \cdot f_{n+1}$$

هناك العديد من العلاقات الرائعة التي تحوي أعداد فيوناتشي، نأمل بأن تتمكن

من برهان بعضها ضمن التدريبات الموجودة في نهاية الفصل.

## أعداد لوكاس Lucas numbers

في العام ١٨٧٧ سميت أعداد فيبوناتشي بهذا الاسم بواسطة الرياضي الفرنسي فرانسوا - إدوارد - أناتول لوكاس (١٨٤٢ - ١٨٩١) Francois-Edouard-Anatole Lucas. وفي نفس الوقت قدم متسلسلة جديدة من الأعداد تعتمد بشكل كبير على متسلسلة فيبوناتشي إلا أنها تبدأ بالعددین 1, 3 بدلاً من 1, 1 ، أي أن المتسلسلة الجديدة هي:  $1, 3, 4, 7, 11, \dots$ . وهذه المتسلسلة الآن تحمل اسم متسلسلة لوكاس. وهي بالتفصيل تظهر في الشكل 11 - 11.

$m$	$l_m$	$\sum_{m=1}^n l_m$	$\sum_{m=1}^n l_{2m-1}$	$\sum_{m=1}^n l_{2m}$	$l_m^2$	$\sum_{m=1}^n l_m^2$
1	1	1	1		1	1
2	3	4		3	9	10
3	4	8	5		16	26
4	7	15		10	49	75
5	11	26	16		121	196
6	18	44		28	324	520
7	29	73	45		841	1,361
8	47	120		75	2,209	3,570
9	76	196	121		5,776	9,346
10	123	319		198	15,129	24,475
11	199	518	320		39,601	64,076
12	322	840		520	103,634	167,760

13	521	1,361	841		271,441	439,201
14	843	2,204		1,363	710,649	1,149,850
15	1,364	3,568	2,205		1,860,496	3,010,346
16	2,207	5,775		3,570	4,870,849	7,881,195
17	3,571	9,346	5,776		12,752,041	20,633,236
..	5,778	15,124		3,348	33,385,284	54,018,520

شكل 11 - 11

وكما في حالة أعداد فيوناتشي، يوجد العديد من العلاقات الشيقة التي يمكن اكتشافها من الجدول السابق، وسوف نقدم في الصفحات التالية بعضاً من تلك العلاقات في صورة نظريات.

$$\sum_{m=1}^n l_m = l_{n+2} - 3$$

نظرية: 7-11

البرهان

سوف نستخدم الاستقراء الرياضي كبديل للطريقة التي استخدمناها في برهان

نظرية 1-11.

عند  $n = 1$  :

$$\sum_{m=1}^1 l_m = l_{1+2} - 3 = l_3 - 3 = 4 - 3 = 1$$

نفرض صحة العلاقة عند  $n = k$  :

$$\sum_{m=1}^k l_m = l_{k+2} - 3$$

والآن سنحاول إثبات صحة العلاقة عند  $n = k + 1$  :

$$\sum_{m=1}^{k+1} l_m = l_{(k+1)+2} - 3 = l_{k+3} - 3$$

ومن الفرض يمكننا كتابة العلاقة :

$$\sum_{m=1}^k l_m + l_{k+1} = l_{k+2} - 3 + l_{k+1}$$

ولكن :

$$l_{k+1} + l_{k+2} = l_{k+3}$$

إذن :

$$\sum_{m=1}^{k+1} l_m = l_{k+3} - 3$$

● وهكذا نكون قد أثبتنا النظرية.

النظرية التالية لأعداد لوكاس تماثل النظرية 2 - 11.

$$\sum_{m=1}^n l_{2m-1} = l_{2n} - 2$$

نظرية: 8-11

البرهان

باستخدام الاستقراء الرياضي.

عند  $n = 1$  :

$$\sum_{m=1}^1 l_{2m-1} = l_{2(1)} - 2 = 3 - 2 = 1$$

نفرض صحة العلاقة عند  $n = k$  :

$$\sum_{m=1}^k l_{2m-1} = l_{2k} - 2$$

والآن سنحاول إثبات صحة العلاقة عند  $n = k + 1$  :

$$\sum_{m=1}^{k+1} l_{2m-1} = l_{2(k+1)} - 2 = l_{2k+2} - 2$$

ومن الفرض يمكننا كتابة العلاقة :

$$\sum_{m=1}^k l_{2m-1} + l_{2(k+1)-1} = l_{2k} - 2 + l_{2(k+1)-1}$$

إذن :

$$\sum_{m=1}^k l_{2m-1} = l_{2k} + l_{2k+1} - 2 = l_{2k+2} - 2$$

● وهكذا نكون قد أثبتنا النظرية.

لأننا قد حصلنا على مجموع أول  $n$  حداً من أعداد لوكاس في نظرية 7-11 ،  
ومجموع أول  $n$  حداً فردياً من أعداد لوكاس في نظرية 8-11 ، فإنه سيكون من  
السهولة الحصول على مجموع أول  $n$  حداً زوجياً من أعداد لوكاس ، وللوصول إلى  
ذلك ، سوف نستخدم نفس الطريقة التي استخدمناها مع أعداد فيبوناتشي .

$$\begin{aligned} \sum_{m=1}^n l_{2m} &= \sum_{m=1}^{2n} l_m - \sum_{m=1}^n l_{2m-1} \\ &= l_{2n+2} - 3 - (l_{2n} - 2) \\ &= l_{2n+2} - l_{2n} - 3 + 2 \\ &= l_{2n+1} - 1 \end{aligned}$$



وهذا يعطينا النظرية التالية والتي يمكن برهانها باستخدام الاستقراء وستتركها لتحل ضمن التدريبات.

$$\sum_{m=1}^n l_{2m} = l_{2n+1} - 1$$

نظرية 9-11

إن مجموع مربعات حدود متسلسلة لوكاس تقدم لنا نمطاً شيقاً، فكما يتضح من الشكل 11-11، فالعمود الخاص بالمجاميع  $\sum_{m=1}^n l_m^2$  يقل باثنين عن حاصل ضرب عدد لوكاس الموجود في نفس الصف بالذي يليه من عمود  $l_m$ ، وهذا يصل بنا إلى النظرية التالية التي نترك برهانها أيضاً للتدريبات.

$$\sum_{m=1}^n l_m^2 = l_n \cdot l_{n+1} - 2$$

نظرية 10-11

حتى هذه النقطة، نلاحظ أن متسلسلة لوكاس ظهرت كمتسلسلة مناظرة لمتسلسلة فيوناتشي، ولكن توجد ميزة رائعة لمتسلسلة لوكاس هي أن لها علاقة تبادلية مع متسلسلة فيوناتشي. فدراسة الجدولين الواردين في الشكلين 11-9, 11-11 معاً سنكتشف على سبيل المثال:

$$f_4 \cdot l_4 = 3 \cdot 7 = 21 = f_8$$

$$f_5 \cdot l_5 = 5 \cdot 11 = 55 = f_{10}$$

$$f_6 \cdot l_6 = 8 \cdot 18 = 144 = f_{12}$$

كما يمكننا أن نستنتج أيضاً أن

$$f_n \cdot l_n = f_{2n} \quad (n \geq 1) \quad (I)$$

علاقات أخرى شيقة بين أعداد لوكاس فيوناتشي يمكن الوصول إليها، مثل:

$$l_n = f_{n-1} + f_{n+1} \quad (n \geq 1) \quad (\text{II})$$

$$5f_n = l_{n-1} + l_{n+1} \quad (n \geq 1) \quad (\text{III})$$

$$l_n = f_{n+2} - f_{n-2} \quad (\text{IV})$$

$$5f_n = l_{n+2} - l_{n-2} \quad (\text{V})$$

يمكن لاحقاً إثبات هذه العلاقات بشكل أسهل ، ومع ذلك لو سلمنا بأن العلاقة (II) صحيحة فيصبح من السهل جدا إثبات العلاقتين (III), (IV).  
برهان العلاقة (III) :

$$l_{n-1} = f_{n-2} + f_n, l_{n+1} = f_n + f_{n+2}$$

وعلى ذلك

$$\begin{aligned} l_{n-1} + l_{n+1} &= f_{n-2} + 2f_n + f_{n+2} \\ &= f_n - f_{n-1} + 2f_n + f_n + f_{n+1} \\ &= 4f_n + f_n \\ &= 5f_n \end{aligned}$$

برهان العلاقة (IV) :

لأن :  $l_n = f_{n-1} + f_{n+1}$  ، إذن :

$$f_{n+2} = f_n + f_{n+1}, f_{n-2} = f_n - f_{n-1}$$

وعلى ذلك :

$$f_{n+2} - f_{n-2} = f_n + f_{n+1} - (f_n - f_{n-1}) = f_{n+1} + f_{n-1}$$

ولأن  $l_n = f_{n+2} - f_{n-2}$  ، إذن ،  $l_n = f_{n+1} + f_{n-1}$

والآن عليك عزيزي القارئ أن تحاول إثبات باقي هذه العلاقات بمثل هذه الطريقة.

## أعداد فيبوناتشي وأعداد لوكاس في الهندسة

الرباط الأساسي بين متسلسلتي فيبوناتشي ولوكاس في الهندسة يأتي من خلال النسبة الذهبية. فعند النظر في النسب المتتالية لأعداد فيبوناتشي ولوكاس. من خلال جدول النسب الموجود في الشكل 11 - 12 ، فإنه يبدو أن النسبة بين كل حد والذي قبله تقترب من النسبة الذهبية  $\phi$ .

والآن دعونا نتحقق من هذه الفكرة. وكمرآة للنسبة الذهبية ، اعتبر  $\overline{APB}$

حيث النقطة  $P$  تقسم  $\overline{AB}$  بحيث  $\frac{AB}{AP} = \frac{AP}{PB}$  (الشكل 11 - 13).

لنفرض أن  $x = \frac{AB}{AP}$  ، إذن :

$$x = \frac{AB}{AP} = \frac{AP + PB}{AP} = 1 + \frac{PB}{AP} = 1 + \frac{AP}{AB} = 1 + \frac{1}{x}$$

أي :

$$x = 1 + \frac{1}{x} \Leftrightarrow x^2 - x - 1 = 0$$

ومن السهل إيجاد جذري هذه المعادلة وهما :

$$x_1 = \frac{1 + \sqrt{5}}{2} \approx 1.6180339887 , \quad x_2 = \frac{1 - \sqrt{5}}{2} \approx -0.6180339887,$$

$\frac{f_{n+1}}{f_n}$	$\frac{l_{n+1}}{l_n}$
$\frac{1}{1} = 1.000000000$	$\frac{3}{1} = 3.000000000$
$\frac{2}{1} = 2.000000000$	$\frac{4}{3} = 1.333333333$
$\frac{3}{2} = 1.500000000$	$\frac{7}{4} = 1.750000000$

$\frac{5}{3} = 1.666666667$	$\frac{11}{7} = 1.571428571$
$\frac{8}{5} = 1.600000000$	$\frac{18}{11} = 1.636363636$
$\frac{13}{8} = 1.625000000$	$\frac{29}{18} = 1.611111111$
$\frac{21}{13} = 1.615384615$	$\frac{47}{29} = 1.620689655$
$\frac{34}{21} = 1.619047619$	$\frac{76}{47} = 1.617021277$
$\frac{55}{34} = 1.617647059$	$\frac{123}{76} = 1.618421053$
$\frac{89}{55} = 1.618181818$	$\frac{199}{123} = 1.617886179$
$\frac{144}{89} = 1.617977528$	$\frac{322}{199} = 1.618090452$
$\frac{233}{144} = 1.618055556$	$\frac{521}{322} = 1.618012422$
$\frac{377}{233} = 1.618025751$	$\frac{843}{521} = 1.618042226$
$\frac{610}{377} = 1.618037135$	$\frac{1364}{843} = 1.618030842$
$\frac{987}{610} = 1.61832787$	$\frac{2207}{1364} = 1.618035191$

شكل 11 - 12



شكل 11 - 13

ولأننا نتعامل مع أطوال قطع مستقيمة، سنستخدم فقط الجذر الموجب  $a$ .

ولنفرض أن جذري المعادلة  $x^2 - x - 1 = 0$  هما  $a, b$

$$a^2 = a + 1 \quad (\text{I})$$

$$b^2 = b + 1 \quad (\text{II})$$

بضرب (I) في  $a^n$  حيث  $n$  عدد صحيح، نحصل على:

$$a^{n+2} = a^{n+1} + a^n \quad (\text{III})$$

وبضرب (II) في  $b^n$  حيث  $n$  عدد صحيح، نحصل على:

$$b^{n+2} = b^{n+1} + b^n \quad (\text{IV})$$

بطرح (IV) من (III):

$$a^{n+2} - b^{n+2} = (a^{n+1} - b^{n+1}) + (a^n - b^n)$$

والآن لنقسم على  $a - b = \sqrt{5}$  (لا يساوي الصفر):

$$\frac{a^{n+2} - b^{n+2}}{a - b} = \frac{a^{n+1} - b^{n+1}}{a - b} + \frac{a^n - b^n}{a - b}$$

لنفرض أن  $t_n = \frac{a^n - b^n}{a - b}$ ، إذن  $t_{n+2} = t_{n+1} + t_n$  والمعادلة الأخيرة هي تعريف

متسلسلة فيوناتشي.

كل ما تبقى ليتم عرضه من أجل أن تكون قادراً على استنتاج  $t_n$  لعدد  $n$  من

أعداد فيوناتشي  $f_n$  هو أن توجد  $t_1 = 1, t_2 = 2$ . لدينا:

$$t_1 = \frac{a^1 - b^1}{a - b} = 1$$

$$t_2 = \frac{a^2 - b^2}{a - b} = \frac{(a + b)(a - b)}{a - b} = \frac{(\sqrt{5})(1)}{(\sqrt{5})} = 1$$

إذن:  $f_n = \frac{a^n - b^n}{a - b}$  حيث:

$$a = \frac{1 + \sqrt{5}}{2}, b = \frac{1 - \sqrt{5}}{2}, n = 1, 2, 3, \dots$$

وهذا يوضح لنا كيف يتم التعبير عن أعداد فيوناتشي في صيغة بينيه Binet form

بدلالة حدود لا تنتمي لأعداد فيوناتشي.

مثال أوجد  $f_6$ .

الحل

$$\begin{aligned} f_6 &= \frac{a^6 - b^6}{a - b} = \frac{(a^3 - b^3)(a^3 + b^3)}{a - b} = \frac{(a - b)(a^2 + ab + b^2)(a^3 + b^3)}{a - b} \\ &= (a^2 + ab + b^2)(a^2 - ab + b^2)(a + b) \\ &= (2)(4)(1) = 8 \end{aligned}$$

والآن من الصفحة قبل السابقة، وجمع (III)، (IV):

$$a^{n+2} + b^{n+2} = (a^{n+1} + b^{n+1}) + (a^n + b^n)$$

نفرض أن:  $w_n = a^n + b^n$ . إذن:

$$w_{n+2} = w_{n+1} + w_n$$

وبالعمل على المتسلسلة  $w_n$ ، وبدراسة  $w_1, w_2$ .

$$w_1 = a^1 - b^1 = \frac{1 + \sqrt{5}}{2} + \frac{1 - \sqrt{5}}{2} = 1$$

$$w_2 = a^2 + b^2 = \left( \frac{1 + \sqrt{5}}{2} \right)^2 + \left( \frac{1 - \sqrt{5}}{2} \right)^2$$

$$= \frac{6 + 2\sqrt{5}}{4} + \frac{6 - 2\sqrt{5}}{4} = 3$$

ولأن  $w_1 = 1, w_2 = 3$  ، حيث  $w_{n+2} = w_{n+1} + w_n$  ، هو الحد النوني في

متابعة لوكاس ، فإن :  $l_n = a^n + b^n$

$$\text{حيث } a = \frac{1 + \sqrt{5}}{2}, b = \frac{1 - \sqrt{5}}{2}, n = 1, 2, 3, \dots$$

وهذا يوضح كيف يمكن التعبير عن أعداد لوكاس بصيغة بينيه.

مثال أثبت أن  $f_{2n} = f_n \cdot l_n$  ( الفقرة الأولى صفحة 348 )

الحل

$$\text{لأن } f_n = \frac{a^n - b^n}{a - b}, l_n = a^n + b^n \text{ فإن :}$$

$$f_n \cdot l_n = \left( \frac{a^n - b^n}{a - b} \right) \cdot (a^n + b^n) = \frac{a^{2n} - b^{2n}}{a - b} = f_{2n}$$

بالعودة إلى جدول النسب في الشكل 12 - 11 ، سوف ندرس  $\frac{f_{n+1}}{f_n}, \frac{l_{n+1}}{l_n}$

$$\lim_{n \rightarrow \infty} \frac{f_{n+1}}{f_n} = \frac{\frac{a^{n+1} - b^{n+1}}{a - b}}{\frac{a^n - b^n}{a - b}} = \frac{a^{n+1} - b^{n+1}}{a^n - b^n}$$

$$\lim_{n \rightarrow \infty} \frac{f_{n+1}}{f_n} = \frac{a - \frac{b^{n+1}}{a^n}}{1 - \frac{b^n}{a^n}} \text{ وبالقسمة على } a^n$$

ولأن  $\lim_{n \rightarrow \infty} b^n = 0$  يكون لدينا :

$$\lim_{n \rightarrow \infty} \frac{f_{n+1}}{f_n} = a = \frac{1 + \sqrt{5}}{2} = \phi \quad (\text{النسبة الذهبية})$$

هذه النتيجة تبرر الحدس الذي بدأنا به هذا الفصل.

$$\lim_{n \rightarrow \infty} \frac{f_{n+1}}{f_n} = \phi$$

نظرية 11-11

برهان هذه النظرية قد تم إثباته سابقاً.

$$\lim_{n \rightarrow \infty} \frac{l_{n+1}}{l_n} = \phi$$

نظرية 12-11

من الشيق هنا أن نقدم برهاناً بديلاً عن برهان النظرية 11-11

البرهان

لتكن :  $x = \lim_{n \rightarrow \infty} \frac{f_{n+1}}{f_n}$  ، ومن تعريف  $f_n$  لدينا :

$$f_{n+1} = f_n + f_{n-1}$$

إذن :

$$x = \lim_{n \rightarrow \infty} \frac{f_n + f_{n-1}}{f_n} = \lim_{n \rightarrow \infty} \left( 1 + \frac{f_{n-1}}{f_n} \right) = \lim_{n \rightarrow \infty} 1 + \lim_{n \rightarrow \infty} \frac{f_{n-1}}{f_n}$$

ولكن لدينا :

$$\lim_{n \rightarrow \infty} \frac{f_n}{f_{n-1}} = \lim_{n \rightarrow \infty} \frac{f_{n+1}}{f_n}$$

إذن :

$$x = 1 + \frac{1}{x} \Rightarrow x^2 - x - 1 = 0 \Rightarrow x = \phi \quad \bullet$$



صيغة بينيه الخاصة بـ  $f_n$  تمكنا بطريقة بسيطة من إثبات العلاقة الثانية في صفحة 339 .

$$l_n = f_{n-1} + f_{n+1} = \frac{a^{n-1} - b^{n-1}}{a-b} + \frac{a^{n+1} - b^{n+1}}{a-b} = \frac{\frac{a^n}{a} - \frac{b^n}{b} + a \cdot a^n - b \cdot b^n}{a-b}$$

$$= \frac{a^n \left( a + \frac{1}{a} \right) - b^n \left( b + \frac{1}{b} \right)}{a-b}$$

ولأن  $a = \frac{-1}{b}, b = \frac{-1}{a}$  ؛ إذن :

$$l_n = \frac{a^n \left( a + \frac{1}{a} \right) - b^n \left( b + \frac{1}{b} \right)}{a-b} = \frac{a^n (a-b) - b^n (b-a)}{a-b} = a^n + b^n$$

والآن، لنعد لقوى  $\phi$  التي هي في الأصل أساس مناقشتنا حول أعداد فيوناتشي (انظر الشكل 7-11). ومن خلال معرفتنا بهذه الأعداد يمكننا صياغة الحد العام لقوى  $\phi$  :

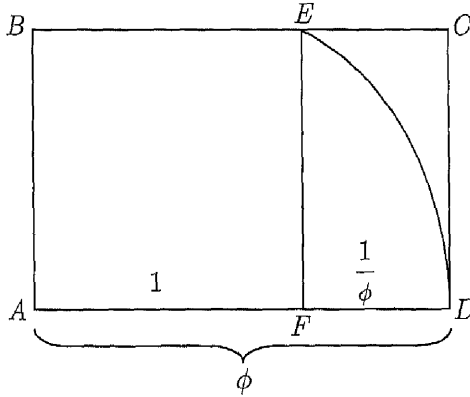
$$\phi^n = f_n \phi + f_{n-1}$$

نحن نملك الآن علاقتين واضحتين بين النسبة الذهبية وأعداد فيوناتشي.

### المستطيل الذهبي (مرة أخرى)

سنكمل مناقشتنا حول المستطيل الذهبي  $ABCD$  ، والذي قدمناه في الشكل 6-11 عندما قمنا بإنشاء المربع داخله. وكما في الشكل 14-11 ، إذا كان  $AF = 1$  فإن  $FD = \frac{1}{\phi}$  ومن ذلك نستنتج أن  $AD = 1 + \frac{1}{\phi} = \phi$  ، إذن ، بعدا

المستطيل  $CDFE$  هما  $CD = 1$ ,  $FD = \frac{1}{\phi}$  وهو أيضاً مستطيل ذهبي. سنستكمل عملنا بإنشاء المربع  $DFGH$  داخل المستطيل الذهبي  $CDFE$ ، كما في الشكل 11-15. عندها سنجد أن  $CH = 1 - \frac{1}{\phi} = \frac{1}{\phi^2}$ ، وبالتالي يصبح لدينا المستطيل  $CHGE$  وهو أيضاً مستطيل ذهبي. وبالمثل يمكننا الحصول على المربع  $CHKG$  في المستطيل الذهبي  $CHGE$ ؛ ومن ثم يمكننا التوصل على أن:

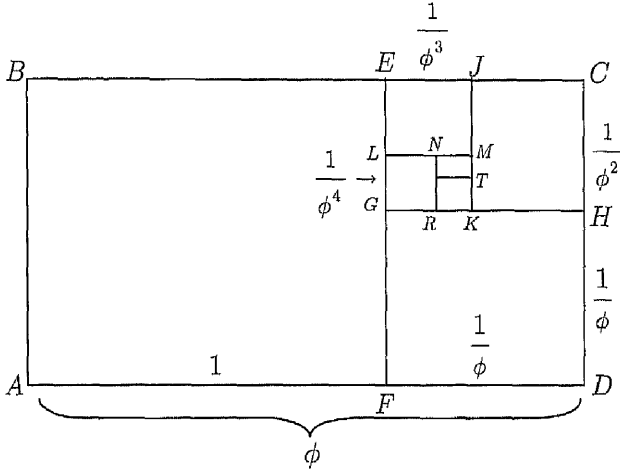


شكل 14 - 11

$$EJ = \frac{1}{\phi} - \frac{1}{\phi^2} = \frac{\phi - 1}{\phi^2} = \frac{\frac{1}{\phi}}{\phi^2} = \frac{1}{\phi^3}$$

(لاحظ أننا قد توصلنا إلى أن  $\phi - \frac{1}{\phi} = 1$ )،

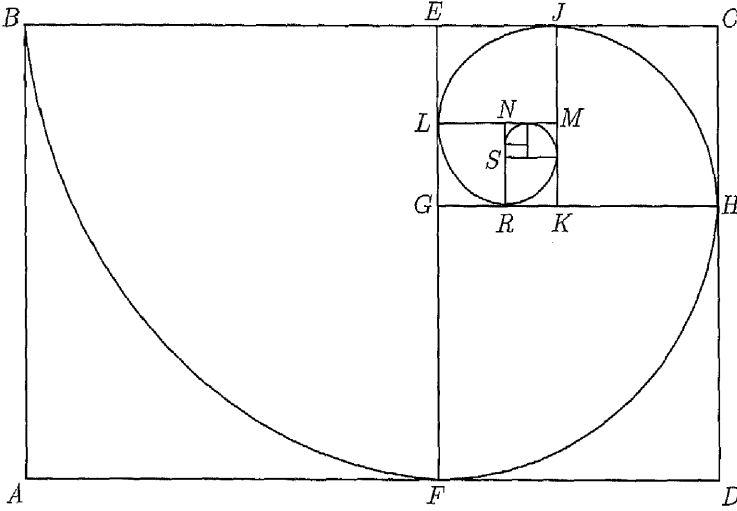
ومرة ثانية، لدينا مستطيل ذهبي جديد. هذه المرة هو المستطيل الذهبي  $EJKG$  وباستكمال تلك العملية نحصل على المستطيل الذهبي  $GKML$ ، والمستطيل الذهبي  $NMKR$ ، وكذلك المستطيل الذهبي  $MNST$ ، وهكذا.



شكل 15 - 11

لنفرض الآن أننا سنرسم أرباع الدوائر التالية، ( انظر الشكل 16 - 11 )

المركز	نصف القطر
$E$	$EB$
$G$	$GF$
$E$	$KH$
$M$	$MJ$
$N$	$NL$
$S$	$SR$
.	.
.	.

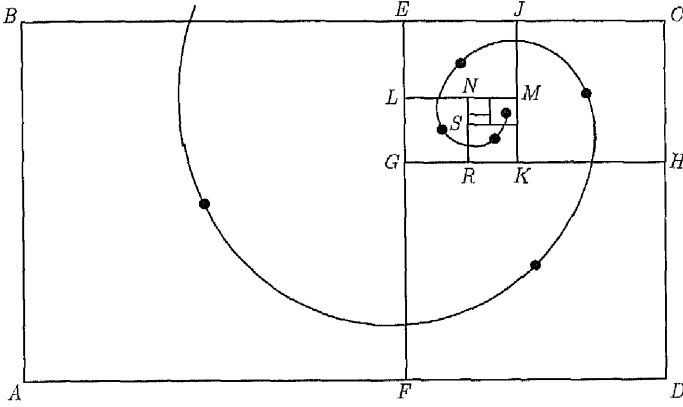


شكل 16 - 11

تكون النتيجة ذلك الحلزون اللوغاريتمي الذي يتضح في الشكل ، كما أننا أيضاً نلاحظ أن مراكز هذه المربعات تقع على حلزون لوغاريتمي آخر ( انظر الشكل 17 - 11 ).

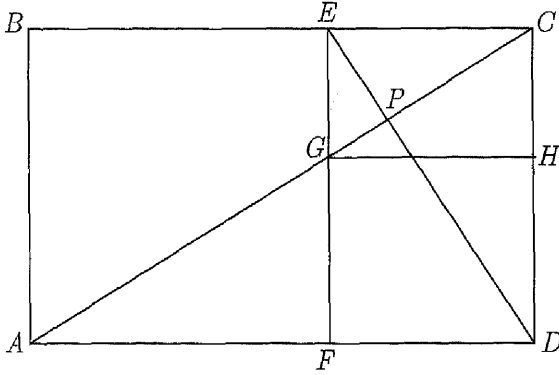
الحلزون الذي يوضحه الشكل 16 - 11 يتقارب إلى نقطة في المستطيل  $ABCD$  ، وهذه النقطة هي نقطة تقاطع  $\overline{AC}$  مع  $\overline{DE}$  ( الشكل 18 - 11 ). لاحظ مرة أخرى المستطيل الذهبي  $ABCD$  على الشكل 18 - 11. ولقد استنتجنا سابقاً أن المربع  $ABEF$  يعين مستطيلاً ذهبياً آخر هو  $CEFD$ . ولأن جميع المستطيلات الذهبية لها نفس الشكل ، فإن المستطيل  $ABCD$  يشابه المستطيل  $CEFD$  وهذا يعني أن  $\triangle ECD \sim \triangle CDA$  ، ومن ذلك  $\angle CED \cong \angle DCA$  ، و  $\angle DCA$  تتمم  $\angle ECA$  ، إذن  $\angle CED$  تتمم  $\angle ECA$  ، إذن  $\angle EPC$  يجب أن تكون قائمة ، وهذا يعني أن  $\overline{AC} \perp \overline{ED}$ .

أي أنه إذا كان عرض مستطيل هو طول مستطيل آخر فإن المستطيلين يتشابهان، ويطلق على هذا النوع من المستطيلات "المستطيلات المتعكسة" reciprocal rectangles. في الشكل 11-18، نجد أن المستطيل  $ABCD$  والمستطيل  $CEFD$  متعاكسان.



شكل 11-17

وعلاوة على ذلك، فإن قطري المستطيلين المتعاكسين يكونان متعامدين. وبنفس الطريقة التي اتبعناها سابقاً، نستطيع إثبات أن المستطيلين  $CEFD, CEGH$  متعاكسان وقطريهما  $\overline{ED}, \overline{CG}$  متعامدان ويتقاطعان في النقطة  $P$ . ويمكننا تعميم هذا البرهان ليشمل كل مستطيلين متتاليين في الشكل 11-16. وواضح أن النقطة  $P$  يجب أن تكون نهاية الحلزون في الشكل 11-16.



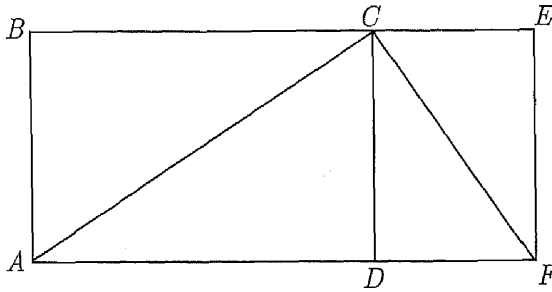
شكل 11 - 18

قطرا المستطيلين المتعاكسين متعامدان.

نظرية: 13-11

البرهان

لقد ناقشنا آنفاً الحالة التي فيها يقع أحد المستطيلين المتعاكسين داخل الآخر. والآن سنناقش الحالة التي لا توجد فيها أي منطقة مشتركة بين المستطيلين المتعاكسين ( انظر الشكل 11 - 19 ).



شكل 11 - 19

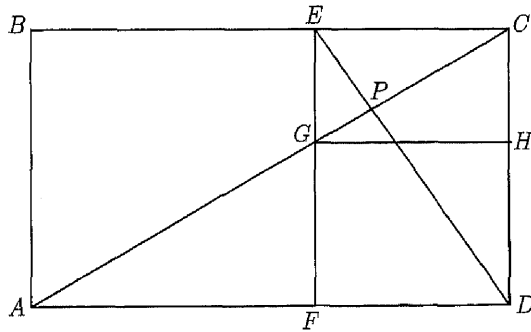
المستطيلان  $ABCD, CEFD$  في الشكل 19 - 11 متشابهان. إذن  
 $\Delta CDA \sim \Delta FDC$  ، ومن نتائج هذا التشابه  $\angle FCD \cong \angle CAD$  . وبما أن  
 $\angle CAD$  تتمم  $\angle DCA$  ، إذن  $\angle FCD$  تتمم  $\angle DCA$  . إذن  $\overline{AC} \perp \overline{CF}$  .

إذا تعامد زوج من الأقطار المتناظرة في مستطيلين وكان عرض  
 أحد هذين المستطيلين هو طول المستطيل الآخر ، فإن  
 المستطيلين يكونان متعاكسين.

نظرية: 11-14

البرهان

في المستطيلين  $ABCD, CEFD$  لدينا  $\overline{AC} \perp \overline{ED}$  عند النقطة  $P$  ( انظر  
 الشكل 20 - 11). سنحاول الآن إثبات أن هذين المستطيلين متشابهان.  
 كلتا الزاويتين  $\angle CED, \angle DCA$  تتممان  $\angle ECA$  . إذن ،  $\angle CED \cong \angle DCA$  ،  
 وهذا يمكننا من استنتاج أن  $\Delta CED \sim \Delta DCA$  ، وهذا يقتضي أن يتشابه  
 المستطيلان  $ABCD, CEFD$  ( لأن الأضلاع المتناظرة متناسبة ).



شكل 20 - 11

لنظرية 14-11 تطبيقات شيقة، فهي على سبيل المثال تعطينا طريقاً مختلفاً لإنشاء المستطيلات الذهبية. فستطيع ببساطة أن نبدأ بالمستطيل الذهبي  $ABCD$ . ثم نرسم من النقطة  $D$  عموداً على  $AC$ . ومن نقطة تقاطع هذا العمود مع  $BC$  التي نرسم لها بـ  $E$  نرسم عموداً إلى  $AD$ ، لنكمل المستطيل الذهبي الثاني. ويتكرر مثل هذه المعالجة نحصل على العديد من المستطيلات الذهبية.

### المثلث الذهبي The Golden Triangle

لعل إعجابنا بالمستطيل الذهبي يدفعنا للبحث عن أشكال ذهبية أخرى، وهنا يظهر مثلث سبصينا بالدهشة والإعجاب أيضاً، وهذا المثلث مبني على النسبة الذهبية وعلى عدة خصائص شيقة أخرى تناظر بشكل ما خصائص المستطيل الذهبي.

وسنبدأ بمثلث متطابق الضلعين قياس زاوية رأسه  $36^\circ$ ، ثم نشئ  $BD$  منصفاً للزاوية  $\angle ABC$  (انظر الشكل 11-21). ومن ذلك نستنتج أن  $m\angle DBC = 36^\circ$ ، وعليه  $\triangle ABC \sim \triangle BCD$ . والآن لنفرض أن:  $AD = x, AB = 1$  ولأن  $\triangle ABC$  متطابق الضلعين. إذن، نستنتج أن  $BC = BD = AD = x$ . ومن تشابه  $\triangle ABC, \triangle BCD$  نجد أن  $\frac{1}{x} = \frac{x}{1-x}$ . وهذا يقود إلى أن:

$$x^2 + x - 1 = 0 \Rightarrow x = \frac{\sqrt{5} - 1}{2}$$

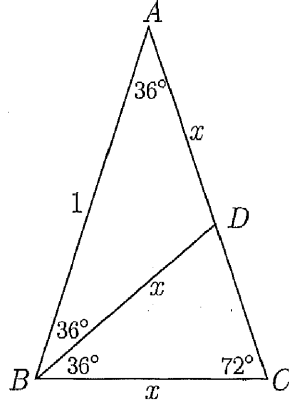
( تم حذف الجذر السالب حيث إننا نتعامل مع أطوال ). ويمكننا تسمية

$$\frac{1}{x} = \phi = \frac{\sqrt{5} - 1}{2}$$

حيث النسبة ( ضلع ÷ قاعدة ) للمثلث  $ABC$  هي  $\phi$

ولذلك نطلق على  $\triangle ABC$  المثلث الذهبي.





شكل 21 - 11

وبأخذ المنصفات التالية تتابعياً  $\overline{BD}, \overline{CE}, \overline{DF}, \overline{EG}, \overline{FH}$  لزوايا القاعدة لكل مثلث قياسات زواياه  $36^\circ, 72^\circ, 72^\circ$ ، سنحصل على متسلسلة من المثلثات الذهبية ( انظر الشكل 11 - 22 )، وهذه المثلثات الذهبية ( والتي قياسات زواياها  $36^\circ, 72^\circ, 72^\circ$  ) هي  $\triangle DEF, \triangle EFG, \triangle FGH, \triangle ABC, \triangle BCD, \triangle CDE$ ، ولو كانت المساحة تسمح لأمكننا رسم العديد من منصفات الزوايا وبالتالي تكوين مزيد من المستطيلات الذهبية.

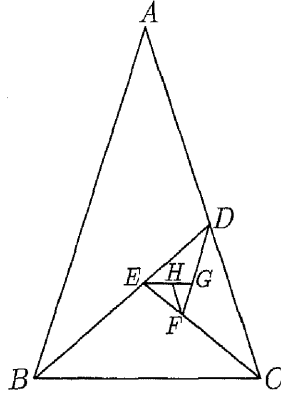
سنلاحظ أن دراستنا للمثلث الذهبي تتوازي مع المستطيل الذهبي، وسنبداً بفرض أن  $HG = 1$  ( الشكل 11 - 22 )، ولأن النسبة (ضلع  $\div$  قاعدة) في المثلث الذهبي هي  $\phi$ ؛ إذن في  $\triangle FGH$ :

$$\frac{GF}{HG} = \frac{\phi}{1} \Rightarrow \frac{GF}{1} = \frac{\phi}{1} \Rightarrow GF = \phi$$

$$\frac{FE}{GF} = \frac{\phi}{1} \Rightarrow \frac{FE}{\phi} = \frac{\phi}{1} \Rightarrow FE = \phi^2 \quad \text{في المثلث الذهبي } EFG :$$

$$\frac{ED}{FE} = \frac{\phi}{1} \Rightarrow \frac{ED}{\phi^2} = \frac{\phi}{1} \Rightarrow ED = \phi^3 : \triangle EFG \text{ وفي}$$

$$\frac{DC}{ED} = \frac{\phi}{1} \Rightarrow \frac{DC}{\phi^3} = \frac{\phi}{1} \Rightarrow DC = \phi^4 : CDE \text{ في المثلث الذهبي}$$



شكل 11 - 22

وكذلك في المثلث الذهبي  $BCD$  :

$$\frac{CB}{DC} = \frac{\phi}{1} \Rightarrow \frac{CB}{\phi^4} = \frac{\phi}{1} \Rightarrow CB = \phi^5$$

وأخيراً، في المثلث الذهبي  $ABC$  :

$$\frac{BA}{CB} = \frac{\phi}{1} \Rightarrow \frac{BA}{\phi^5} = \frac{\phi}{1} \Rightarrow BA = \phi^6$$

وباستخدام معرفتنا لقوى  $\phi$  ( وقد حصلنا عليها سابقاً ) يمكننا تلخيص النتائج

التالية :

$$HG = \phi^0 = 0\phi + 1 = f_0\phi + f_{-1}\phi$$

$$GF = \phi^1 = 1\phi + 0 = f_1\phi + f_0$$

$$FE = \phi^2 = 1\phi + 1 = f_2\phi + f_1$$

$$ED = \phi^3 = 2\phi + 1 = f_3\phi + f_2$$

$$DC = \phi^4 = 3\phi + 2 = f_4\phi + f_3$$

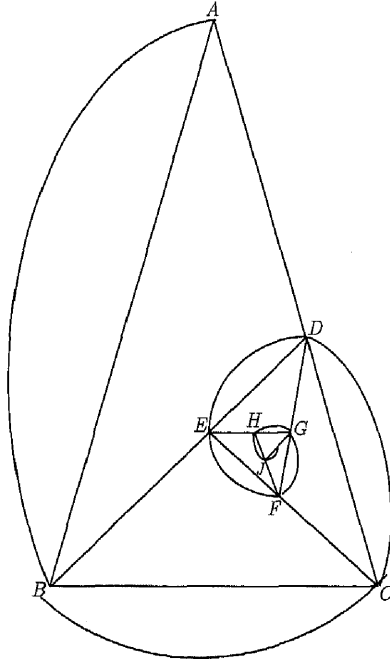
$$CB = \phi^5 = 5\phi + 3 = f_5\phi + f_4$$

$$BA = \phi^6 = 8\phi + 5 = f_6\phi + f_5$$

وكما فعلنا مع المستطيل الذهبي نستطيع استنتاج الحلزون اللوغاريتمي بواسطة رسم أقواس تصل بين رؤوس المثلثات الذهبية المتتالية ( انظر الشكل 23 - 11 ) ونستطيع رسم هذا الأقواس الدائرية كما في الشكل 23 - 11.

وهكذا رأينا أن هناك عدداً كبيراً من العلاقات الرائعة والشيقة والتي تنبثق من النسبة الذهبية، فبعد أن تعرضنا للمثلث الذهبي، يكون التحرك المنطقي هو التحرك نحو تطبيقات تدور حول المضلع الخماسي المنتظم والنجمة الخماسية، التي هي في الأساس تتألف من عدد من المثلثات الذهبية. ونحن نقدم عدداً من هذه العلاقات كتدريبات نتركها لك للعمل عليها مع أملنا أن يشجعك ذلك على زيادة جرعة دراستك للنسبة الذهبية وأعداد فيبوناتشي. وأثناء ذلك بالتأكيد سوف تقدر الصلة الوثيقة بين الهندسة وفروع الرياضيات الأخرى.

...	J	H	G	F	E	D	مركز الدائرة عند النقطة
...	$\widehat{FG}$	$\widehat{EF}$	$\widehat{DE}$	$\widehat{CD}$	$\widehat{BC}$	$\widehat{AB}$	القوس



شكل 11 - 23

تدريبات

أثبت كلاً من العلاقات التالية في التدريبات 1 - 4 :

- |                                      |  |   |
|--------------------------------------|--|---|
| $\frac{l_{12}}{l_4} = l_8 - 1$ .b    | $\frac{f_{12}}{f_6} = f_5 + f_7$ .a        | 1 |
| $\frac{l_{15}}{l_5} = l_{10} + 1$ .b | $\frac{f_{10}}{f_5} = f_4 + f_6$ .a        | 2 |
| $\frac{l_9}{l_3} = l_6 + 1$ .b       | $f_{11} = f_5^2 + f_6^2$ .a                | 3 |
| $\frac{l_6}{l_2} = l_4 - 1$ .b       | $f_9^2 - 4 \cdot f_4 \cdot f_7 = f_6^2$ .a | 4 |

استخدام الجدول الموجود في الشكل 9 - 11 لإكمال الفراغ في التدريبات 5 - 10

$$f_n^2 + f_{n+1}^2 = (\dots) \quad .5$$

$$f_{2n} = f_{n+1}^2 - (\dots) \quad .6$$

$$f_{-n} = f_n \cdot (\dots) \quad .7 \text{ (ربما ستحتاج لإكمال الجدول 9 - 11).}$$

$$f_{n+1} + f_{n-1} = f_{2n} \div (\dots) \quad .8$$

$$(\dots) \cdot f_6 = f_{n+3}^2 - f_{n-3}^2 \quad .9$$

$$\sum_{m=1}^6 f_m = (\dots) - 1 \quad .10$$

$$\text{مثلاً } \sum_{m=1}^5 f_m^2 \text{ هندسياً.} \quad .11$$

$$\text{مثلاً } \sum_{m=1}^8 f_m^2 \text{ هندسياً.} \quad .12$$

عبر في التدريبات 16 - 13 بطريقة أخرى تحتوي على حدود من أعداد فيوناتشي.

$$\sum_{m=1}^n f_{4m-1} \quad .14$$

$$\sum_{m=1}^n f_{4m} \quad .13$$

$$\sum_{m=1}^n f_{4m-3} \quad .16$$

$$\sum_{m=1}^n f_{4m-2} \quad .15$$

أثبت التدريبات 21 - 17 باستخدام الاستقراء الرياضي.

$$\sum_{m=1}^n f_m^2 = f_n \cdot f_{n+1} \quad .18$$

$$\sum_{m=1}^n f_{2m} = f_{2n+1} - 1 \quad .17$$

$$f_{2n} + f_{n-1}^2 = f_{n+1}^2 \quad .20$$

$$f_n^2 - f_{n+2} \cdot f_{n-2} = (-1)^n \quad .19$$

$$f_{2n} = f_n \cdot f_{n-1} + f_n \cdot f_{n+1} \quad .21$$

22 - 25. أثبت بالاستقراء الرياضي كل النتائج التي حصلت عليها في التدريبات

26. أثبت أن مجموع المجاميع الواردة في التدريبات 16 - 13 تساوي  $\sum_{m=1}^{4n} f_m$ .

استخدام الجدولين بالشكلين 11-11، 9، 11 - لإكمال الفراغ في التدريبات

$$27 - 30$$

$$(\dots) + l_{n+1}^2 = 5f_{2n+1} \quad .27$$

$$(\dots) = 2 + l_{4n} \quad .28$$

$$5f_{2n}^2 = (\dots) - 2 \quad .29$$

$$5f_{2n}^2 = (\dots) - 4 \quad .30$$

$$.31 \text{ مثل } \sum_{m=1}^5 l_m^2 \text{ هندسياً.}$$

$$.32 \text{ مثل } \sum_{m=1}^8 l_m^2 \text{ هندسياً.}$$

عبر في التدريبات 36 - 33 بطريقة أخرى تحتوي على حدود من أعداد فيبوناتشي.

$$\sum_{m=1}^n l_{4m-1} \quad .34$$

$$\sum_{m=1}^n l_{4m} \quad .33$$

$$\sum_{m=1}^n l_{4m-3} \quad .36$$

$$\sum_{m=1}^n l_{4m-2} \quad .35$$

37. أثبت نظرية 9 - 11 باستخدام الاستقراء الرياضي.

38. أثبت نظرية 10 - 11 باستخدام الاستقراء الرياضي.

39. أثبت - بمثال - كيف يمكننا تمثيل أول 25 عدداً طبيعياً كمجموع من أعداد

مختلفة من أعداد لوكاس.

40. أثبت كيف يمكن لأي عدد من الأعداد الطبيعية أن يتم التعبير عنه كمجموع

أعداد مختلفة من أعداد فيبوناتشي.

ولحل هذا التدريب إليك بعض الإرشادات :

( على سبيل المثال  $f_3 + f_7 = f_3 + f_5 + f_6 = 15$  أو  $f_4 + f_6 + f_9 = 45$  ،  
..... إلخ). أولاً حاول أن تمثل الأعداد من 1 إلى 100 كحدود من أعداد فيوناتشي. ثم  
حاول أن تثبت أن أي عدد طبيعي يمكن تمثيله كحدود من أعداد فيوناتشي. هل يمكن  
لنا أن نعبر عن جميع الأعداد الطبيعية كحدود من أعداد فيوناتشي إذا فقد أي عدد  
من أعداد فيوناتشي؟ أو إذا فقد أي عددين من أعداد فيوناتشي؟ وضح بالأمثلة أنه  
إذا فقد  $f_1$  فإن أي عدد طبيعي يمكن تمثيله كحدود من أعداد فيوناتشي (باستثناء  $f_1$ )  
فقط بطريقة واحدة إذا لم يتم اختيار حدين متتاليين  $(f_k, f_{k+1})$  على سبيل المثال  
 $f_2 + f_4 + f_7 = 17$  .

41. قم بإعداد جدول للفروق بين حدود متسلسلة فيوناتشي. وقد يساعدك في عمل  
هذا الجدول إذا بدأت من الجدول المتاح بالشكل 24 - 11 وقمت بعد ذلك  
بإكماله. لاحظ النمط!

5	-3	2	-1	1	0	1	1	2	3	5	8
-8	5	-3	2	-1	1	0	1	1	2	3	
13	-8	5	-3	2	-1	1	0	1	1		
-21	13	-8	5	-3	2	-1	1	0			
34	-21	13	-8	5	-3	2	-1				
-55	34	-21	13	-8	5	-3					
89	-55	34	-21	13	-8						
-144	89	-55	34	-21							

شكل 24 - 11





$$l_7 .47 \qquad f_7 .46$$

$$f_9 .49 \qquad l_9 .48$$

أثبت كلاً من المتطابقات التالية في التدريبات 55 - 50 باستخدام صيغة بينيه لكل من

$$.l_n , f_n$$

$$5f_n = l_{n-1} + l_{n+1} .51 \qquad l_n = f_{n-1} + f_{n+1} .50$$

$$5f_n = l_{n-2} + l_{n+2} .53 \qquad l_n = f_{n-2} + f_{n+2} .52$$

$$5f_{2n+1} = l_{n+1}^2 + l_n^2 .55 \qquad 5f_n^2 = l_n^2 - 4(-1)^n .54$$

$$.56 \text{ أثبت باستخدام الاستقراء الرياضي أن } f_n = \frac{a^n - b^n}{a - b} \text{ حيث } a = \frac{1 + \sqrt{5}}{2},$$

$$.n = 1, 2, 3, \dots, b = \frac{1 - \sqrt{5}}{2}$$

.57 أثبت باستخدام الاستقراء الرياضي أن:  $l_n = a^n + b^n$  حيث  $a, b$  تم تعريفهما

في التدريب السابق.

$$.58 \text{ إذا كان خارج القسمة } \dots + f_n x^{n-1} + \dots + f_1 + f_2 x + f_2 x^2 + \dots + f_1 \frac{1}{1-x-x^2}$$

حيث  $f_n$  هو الحد النوني من متتابعة فيبوناتشي. فوضح لماذا هذه العلاقة

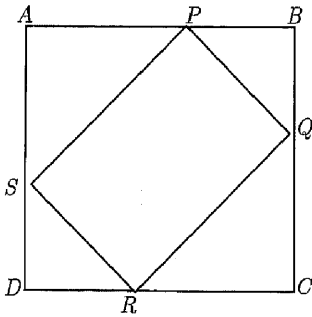
صحيحة؟

.59 باعتبار أن قوى  $a = \phi$  (النسبة الذهبية) هي:

$$\begin{aligned}
 a &= \frac{1 + \sqrt{5}}{2} \\
 a^2 &= \frac{6 + 2\sqrt{5}}{4} = \frac{3 + \sqrt{5}}{2} \\
 a^3 &= \frac{8 + 4\sqrt{5}}{4} = \frac{4 + 2\sqrt{5}}{2} \\
 a^4 &= \frac{14 + 6\sqrt{5}}{4} = \frac{7 + 3\sqrt{5}}{2} \\
 a^5 &= \frac{22 + 10\sqrt{5}}{4} = \frac{11 + 5\sqrt{5}}{2} \\
 a^6 &= \frac{36 + 16\sqrt{5}}{4} = \frac{18 + 8\sqrt{5}}{2}
 \end{aligned}$$

ناقش هذه النتائج ومثل قوى  $a = \phi$  بدلالة  $a$  مثل:

$$\begin{aligned}
 a^2 &= \frac{3 + \sqrt{5}}{2} = \frac{1 + \sqrt{5}}{2} + 1 = a + 1 \\
 a^3 &= 2a + 1 \\
 a^4 &= 3a + 1
 \end{aligned}$$



شكل 26 - 11

60. استنتج بعض العلاقات الإضافية بين

النسبة الذهبية وأعداد فيوناتشي ولوكاس.

61. أثبت أن أطوال أضلاع أي مثلث لا يمكن

أن تكون ثلاثة أعداد متتالية سواء من

أعداد فيوناتشي أو لوكاس.

62. أثبت أنه إذا كانت النقاط  $P, Q, R, S$

تقسم كل ضلع من أضلاع المربع  $ABCD$

إلى النسبة الذهبية كما يتضح في الشكل

26 - 11، فإن الرباعي  $PQRS$  يكون

مستطيلاً ذهبياً.

63. حدد الجزء الذهبي على النجمة الخماسية المنتظمة في أكبر عدد ممكن من الأماكن داخلها.

64. حدد الجزء الذهبي على الخماسي المنتظم في أكبر عدد ممكن من الأماكن داخله.

65. أثبت أن الإنشاء التالي يقسم  $\overline{AB}$  حسب النسبة الذهبية: أنشئ  $\overline{BC} \perp \overline{AB}$

عند النقطة  $B$  بحيث  $BC = \frac{1}{2}(AB)$ . ارسم  $\overline{AC}$  (انظر الشكل 11 - 27).

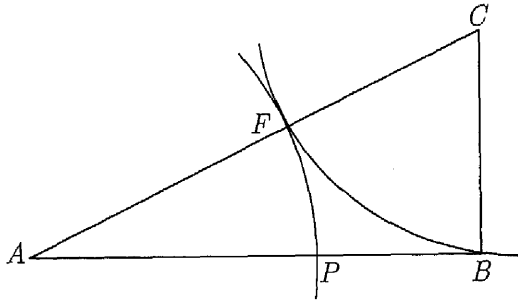
ثم ارسم الدائرة التي مركزها  $C$  ونصف قطرها  $\overline{BC}$  لتقطع  $\overline{AC}$  في النقطة

$F$ . مركزها  $C$  ونصف قطرها  $\overline{BC}$  لتقطع  $\overline{AC}$  في النقطة  $F$ . النقطة  $P$  هي

نقطة تقاطع الدائرة التي مركزها النقطة  $A$  ونصف قطرها  $\overline{AF}$ ، وهي النقطة

$$\frac{AB}{AP} = \frac{AP}{PB}$$

التي تقسم  $\overline{AB}$  إلى القسم الذهبي أي



شكل 11 - 27

66. أثبت في الشكل 11 - 22 أن مساحة  $\triangle BCD$  : مساحة  $\triangle ABD$  : مساحة

$$1 : \phi : \phi^2 = \triangle ABC$$

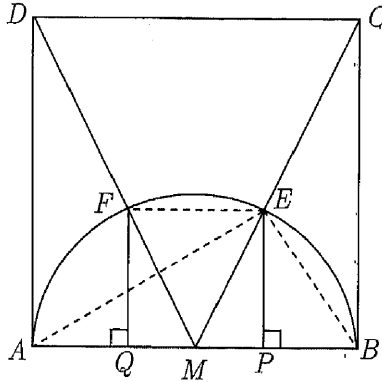
67. أثبت أن  $\sin 18^\circ = \frac{1}{2\phi}$ .

68. أوجد  $\cos 27^\circ$  بدلالة  $\phi$ .

69. أثبت أن منصف زاوية الرأس في المثلث الذهبي يقسم كلاً من منصفي الزاويتين الباقيتين حسب النسبة الذهبية.

70. أثبت أن الإنشاء التالي يقسم  $\overline{QB}$  حسب النسبة الذهبية: ابدأ بالمرجع  $ABCD$  (انظر الشكل 28-11). ثم ارسم نصف دائرة داخل المربع على  $\overline{AB}$  والتي نقطة منتصفها هي النقطة  $M$ ، ثم ارسم  $\overline{CM}, \overline{DM}$  ليقطعا نصف الدائرة في  $E, F$  على الترتيب. ومن النقطة  $E$  أسقط عموداً على  $\overline{AB}$  يقطعها في النقطة  $P$ ، ومن النقطة  $F$  أسقط عموداً على  $\overline{AB}$  يقطعها في النقطة  $Q$ .

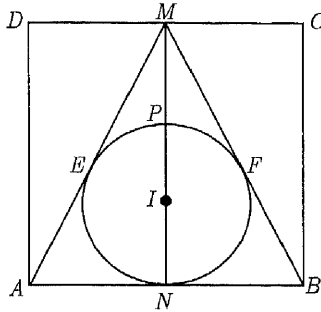
$\frac{PQ}{BP} = \phi$  (الخطوط المقوشة في الشكل 28-11 تم رسمها كإرشاد).



شكل 28-11

71. أثبت أن الإنشاء التالي يقسم  $\overline{MN}$  حسب النسبة الذهبية: ابدأ بالمرجع  $ABCD$  حيث  $M$  منتصف  $\overline{CD}$ . ارسم الدائرة  $I$  كدائرة داخلية للمثلث  $AMB$  تمس أضلاعه  $\overline{AM}$ ,  $\overline{BM}$ ,  $\overline{AB}$  عند النقاط  $E, F, N$  على الترتيب (انظر الشكل 11 - 29)، وعليه يكون

$$\frac{MP}{PN} = \frac{PN}{MN} \text{ حسب النسبة الذهبية}$$



شكل 11 - 29

72. أثبت أن أطوال المتوسطات الخارجة من زوايا القاعدة في المثلثات المتتالية تشكل متسلسلة فيبوناتشي.

73. أثبت أن مساحة الخماسي المنتظم الذي طول ضلعه  $s$  تساوي  $\frac{5s^2\phi}{4\sqrt{3-\phi}}$

## ثبت المصطلحات

أولاً: عربي - إنجليزي

### أ

Altitudes of a triangle	ارتفاعات المثلث
Collinearity	استقامة (نقاط تقع على مستقيم واحد)
Mathematical induction	استقراء رياضي
Midline of a triangle	الخط المنصف للمثلث
Construction	إنشاء
Abraham Bosse	أبراهام بوس
Apollonius	أبولونيوس
Arabic numbers	أرقام عربية
Exradii lengths	أطوال أنصاف اقطار الدوائر الخارجية للمثلث
Fibonacci numbers	أعداد فيبوناشي
Lucas numbers	أعداد لوكاس
Perpendiculars	أعمدة

Shortest distance	أقصر مسافة
Equiradii	أنصاف أقطار الدوائر الأربع لمثلث

## ب

Pappus of Alexandria	بابوس الإسكندري
Pascal, Blaise	باسكال ، بلييز
Ptolemy	بطليموس
Poncelet, Jean- Victor	بونسيليه ، جان فيكتور
Betweenness	بينية

## ن

Nomenclature	تسمية
Similarity	تشابه
Similarity of triangles	تشابه المثلثات
Charles Julien Brianchon	تشارلز جوليان براينشون
Charles Davies	تشارلز ديفيز
Harmonic division	تقسيم توافقي
Equivalence	تكافؤ
Concurrency	تلاق في نقطة
Proportion	تناسب

## ث

Duality	ثنوية
---------	-------

ج

Gerard Desargues

جيرارد ديزارغ

Gergonne, Joseph-Diaz

جيرجوني ، جوزيف دياز

Giovanni Ceva

جيوفاني شيفا

ح

Fourth proportion

حد رابع متناسب

Logarithmic spiral

حلزون لوغاريتمي

خ

Euler line

خط أويلر

Simson line

خط سيمسون

Pentagon

خماسي

د

Nine-point circle

دائرة النقاط التسع

Circumcircle

دائرة محيطية بمثلث

Equicircles

دوائر مماسة لأضلاع مثلث

ر

Cyclic quadrilateral

رباعي دائري

Robert Simson

روبرت سيمسون

Vertices

رؤوس

Rene Descartes

رينيه ديكارت



### ست

Stewart, Matthew	ستيوارت ، ماثيو
Hexagon	سداسي
Smogorzhevski	سموجرفيسكي

### ش

Trapezoid	شبه منحرف
Quadrilateral	شكل رباعي

### ص

Analogue spherical	صورة كروية مناظرة
Brahmagupta's formula	صيغة براهاماجوبتا
Binet form	صيغة بينيه

### ط

Proving methods	طرق البرهان
-----------------	-------------

### ف

Architecture	فن معماري
Fibonacci	فيوناشي
Vieta,Franciscus	فيتا، فرانسيسكوس
Pythagoras	فيثاغورس
Fermat	فيرما

## ق

Secant	قاطع
Sector	قطاع
Diagonals of a quadrilateral	قطرا شكل رباعي
Segment	قطعة
Conic sections	قطوع مخروطية

## ك

Karl Feuerbach	كارل فيورباخ
Elements	كتاب العناصر لإقليدس
Almagest	كتاب المجسطي لبطليموس

## ل

Legender, Adrien	لجندر، أدريان
Lucas, Francois-Edouard- Anatole	لوكاس، إدوارد فرانسوا أناتول
Leonardo of pisa	ليوناردو بيزا

## م

Miquel	مايكل
Inequalities	متباينات
Parallelogram	متوازي أضلاع
Pedal triangle	مثلث المواقع
Orthic triangle	مثلث المواقع من نقطة تقاطع ارتفاعات المثلث

Pascal triangle	مثلث باسكال
Acute triangle	مثلث حاد الزوايا
Right triangle	مثلث قائم الزاوية
Equilateral triangle	مثلث متطابق الأضلاع
Isosceles triangle	مثلث متطابق الضلعين
Medial triangle	مثلث متوسط
Scalene triangle	مثلث مختلف الأضلاع
Obtuse triangle	مثلث منفرج الزاوية
Triangles in circle inscribed	مثلثات منشأة داخل دائرة
Redundant set	مجموعة الفائض
Radical axes	محاور أساسية
Locus	محل هندسي
Square	مربع
Excenter	مركز الدائرة الخارجية
Incenter	مركز الدائرة الداخلية
Circumcenter	مركز الدائرة المحيطة
Area	مساحة
Apollonius problem	مسألة أبولونيوس
Golden rectangle	مستطيل ذهبي
Reciprocal rectangles	مستطيلات متعاكسة
Cevian	مستقيم مار برأس

Polygon	مضلع
Rhombus	معين
Fallacy	مغالطة
Tangent	مماس
Angel bisector	منصف زاوية
Perpendicular bisectors	منصفات عمودية
Parallel	مواز
Moritz Pasch	موريتز باش
Feet	موطئ مستقيم على آخر

## ن

Napoleon	نابوليون
Nagel	ناجل
Ratio of similitude	نسبة التشابه
Golden ratio	نسبة ذهبية
Semiperimeter	نصف المحيط
Radius	نصف قطر الدائرة
Inradius	نصف قطر الدائرة الداخلية للمثلث
Circumradius	نصف قطر الدائرة المحيطة بالمثلث
Orthocentric system	نظام تقاطع الارتفاعات
Concyclic points	نقاط على محيط دائرة واحدة
Midpoint	نقطة المنتصف

Equiangular point

نقطة تساوي الزوايا

Oorthocenter

نقطة تقاطع ارتفاعات المثلث

Centroid of triangle

نقطة تقاطع المتوسطات في المثلث

Centerpoint

نقطة متوسطة

Newton

نيوتن

ـ

Heron of Alexandria

هيرون الإسكندري

و

William Wallace

وليام والاس

Chord

وتر

ثانياً: إنجليزي - عربي

**A**

Acute triangle	مثلث حاد الزوايا
Almagest	كتاب المجسطي لبطليموس
Altitudes of a triangle	ارتفاعات المثلث
Analogue spherical	صورة كروية مناظرة
Angel bisector	منصف زاوية
Apollonius	أبولونيوس
Apollonius problem	مسألة أبولونيوس
Arabic numbers	أرقام عربية
Architecture	فن معماري
Area	مساحة

**B**

Betweenness	بينية
Binet form	صيغة بينيه
Bosse, Abraham	أبراهام بوس
Brahmagupta's formula	صيغة براهاماجويتا
Brianchon Charles Julien	تشارلز جوليان براينشون

**C**

Centerpoint	نقطة متوسطة
Centroid of triangle	نقطة تقاطع المتوسطات في المثلث
Ceva	شيفا

Cevian	مستقيم مار برأس
Charles Davies	تشاؤلز دافيز
Chord	وتر
Circumcenter	مركز الدائرة المحيطة
Circumcircle	دائرة محيطة بمثلث
Circumradius	نصف قطر الدائرة المحيطة بالمثلث
Collinearity	استقامة ( نقاط تقع على مستقيم واحد )
Concurrency	تلاق في نقطة
Concyclic points	نقاط على محيط دائرة واحدة
Conic sections	قطوع مخروطية
Construction	إنشاء
Cyclic quadrilateral	رباعي دائري

**D**

Diagonals of a quadrilateral	قطرا شكل رباعي
Duality	ثنوية

**E**

Elements	كتاب العناصر لإقليدس
Equiangular point	نقطة تساوي الزوايا
Equicircles	دوائر مماسة لأضلاع مثلث
Equilateral triangle	مثلث متطابق الأضلاع
Equiradii	أنصاف أقطار الدوائر الأربع لمثلث
Equivalence	تكافؤ

Euler line	خط أويلر
Excenter	مركز الدائرة الخارجية
Exradii lengths	أطوال أنصاف اقطار الدوائر الخارجية للمثلث

### F

Fallacy	مغالطة
Feet	موطئ مستقيم على آخر
Fermat	فيرما
Fibonacci	فيوناشي
Fibonacci numbers	أعداد فيوناشي
Fourth proportion	حد رابع متناسب

### G

Gerard Desargues	جيرارد ديزارغ
Gergonne, Joseph-Diaz	جيرجونى ، جوزيف دياز
Golden ratio	نسبة ذهبية
Golden rectangle	مستطيل ذهبي

### H

Harmonic division	تقسيم توافقي
Heron of Alexandria	هيرون الإسكندري
Hexagon	سداسي

### I

Incenter	مركز الدائرة الداخلية
Inequalities	متباينات
Inradius	نصف قطر الدائرة الداخلية للمثلث



Inscribed triangles in circle

مثلثات منشأة داخل دائرة

Isosceles triangle

مثلث متطابق الضلعين

**K**

Karl Feuerbach

كارل فيورباخ

**L**

Legender, Adrien

لجندر، أدريان

Leonardo of pisa

ليوناردو بيزا

Locus

محل هندسي

Logarithmic spiral

حلزون لوغاريتمي

Lucas numbers

أعداد لوكاس

Lucas, Francois-Edouard- Anatole

لوكاس، إدوارد فرانسوا أناتول

**M**

Mathematical induction

استقراء رياضي

Medial triangle

مثلث متوسط

Midline of a triangl

الخط المنتصف للمثلث

Midpoint

نقطة المنتصف

Miquel

مايكل

Moritz Pasch

موريتز باش

**N**

Nagel

ناجل

Napoleon

نابوليون

Newton

نيوتن

Nine-point circle

دائرة النقاط التسع

Nomenclature	تسمية
<b>O</b>	
Obtuse triangle	مثلث منفرج الزاوية
Orthic triangle	مثلث المواقع من نقطة تقاطع ارتفاعات المثلث
Orthocenter	نقطة تقاطع ارتفاعات المثلث
Orthocentric system	نظام تقاطع الارتفاعات
<b>P</b>	
Pappus of Alexandria	بابوس الإسكندري
Parallel	مواز
Parallelogram	متوازي أضلاع
Pascal triangle	مثلث باسكال
Pascal, Blaise	باسكال ، بليز
Pedal triangle	مثلث المواقع
Pentagon	خماسي
Perpendicular bisectors	منصفات عمودية
Perpendiculars	أعمدة
Polygon	مضلع
Poncelet, Jean Victor	بونسيليه ، جان فيكتور
Proportion	تناسب
Proving methods	طرق البرهان
Ptolemy	بطليموس
Pythagoras	فيثاغورس

## Q

Quadrilateral

شكل رباعي

## R

Radical axes

محاور أساسية

Radius

نصف قطر الدائرة

Ratio of similitude

نسبة التشابه

Reciprocal rectangles

مستطيلات متعاكسة

Redundant set

مجموعة الفائض

Rene Descartes

رينيه ديكارت

Rhombus

معين

Right triangle

مثلث قائم الزاوية

Robert Simson

روبرت سيمسون

## S

Scalene triangle

مثلث مختلف الأضلاع

Secant

قاطع

Sector

قطاع

Segment

قطعة

Semiperimeter

نصف المحيط

Shortest distance

أقصر مسافة

Similarity

تشابه

Similarity of triangles

تشابه المثلثات

Simson line

خط سيمسون

Smogorzhevski	سموجر فيسكي
Square	مربع
Stewart, Matthew	ستيوارت ، ماثيو
<b>T</b>	
Tangent	مماس
Trapezoid	شبه منحرف
<b>V</b>	
Vertices	رؤوس
Vieta,Franciscus	فيتا ، فرانسيسكوس
<b>W</b>	
William Wallace	وليام والاس



## كشاف الموضوعات

المستطيل الذهبي ٣٥٦	أ
النسبة الذهبية ٣٢٧	ارتفاعات المثلث ٢٤٧
إنشاءات الدائرة ٣٠٥	الأشكال الرباعية ١٨١
إنشاءات المثلث ٢٦٣	الأشكال الرباعية الدائرية ١٩٠
أعداد فيوناتشي ٣٣٣	التقاطع في نقطة ١٢
أعداد فيوناتشي وأعداد لوكاس في الهندسة ٣٥٠	التشوية ٦٥
أعداد لوكاس ٣٤٤	الدائرة الداخلية للمثلث ٢١٩
أنصاف أقطار الدوائر الأربع لمثلث ٢٢٦	الدوائر الخارجية للمثلث ٢١٩
ن	المتباينات ١٢
تطبيقات نظرية بطليموس ٢٠٣	المتوسطات ١٦٣
تطبيقات نظرية شيفا ٤٩	المثلث الذهبي ٣٦٣
تطبيقات نظرية منيلوس ٧٢	المثلثات المتطابقة الأضلاع ١٢٥
تلاقي المستقيمت في مثلث ٣٩	المحاور الأساسية ١٠٥
توسعة نظرية فيثاغورس ٧	المساحة ١٥

**ن**

- نظرية بابوس ٩٢  
 نظرية باسكال ٨٣  
 نظرية براينشون ٨٩  
 نظرية بطليموس ١٩٧  
 نظرية ديزارغ ٧٨  
 نظرية ستوارت ١٤٨  
 نظرية شيفا ٤٢  
 نظرية فيثاغورس ٦  
 نظرية فيوريخ ٢٥٨  
 نظرية مايكل ١٥٦  
 نظرية منيلوس ٦٧  
 نقاط التماس ٢١٩  
 نقطة المسافة الصغرى ١٢٨  
 نقطة تساوي الزوايا ١٢٠  
 نقطة جيرجون ٥٦  
 نقطة مايكل ١٥٩

**ث**

ثلاثيات فيثاغورس ٨

**خ**

- خصائص خط سيمسون ١٠٠  
 خط سيمسون ٩٥

**د**

دائرة النقاط التسع ٢٣٩

**ص**

صيغة براهاماجويتا ١٩١

**ع**

عكس نظرية بطليموس ٢٠١

**م**

- مثلث مايكل ١٥٩  
 مسألة أبولونيوس ٣٠٥  
 مسلمة موريتز باش ١٠٤  
 مغالطة ١٨  
 مماسات دائرة النقاط التسع ٢٥٦  
 منصفات الزوايا ١٣٥







